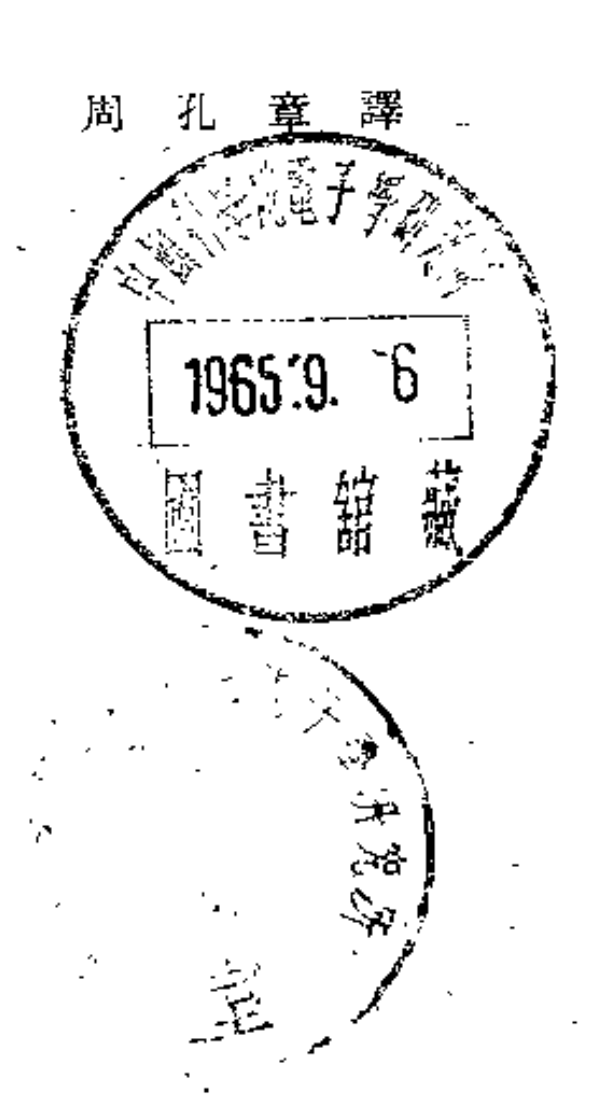
半导体电子学

半导体电子学



4 学 出 版 社 1961

2976

ПОЛУПРОВОДНИКОВАЯ ЭЛЕКТРОНИКА государственное энергетическое издательство, 1959

N 8 10 12 /04

原书是 1957 年 3 月在以 A. C. 波波夫命名的无綫电和电信学会举办的全苏华导体电子学翻习班上所进行的演斟的原文。

书中的主要內容是: 牛导体器件工作的物理基础, 低頻緩路和直流放大器,高頻和脉冲緩路.

本书可供科学工作者、工程师和高等学校师生题讀之用、

半导体电子学

周孔章舞

4 4 4 A A A B B (北京朝史男大桥 117号) 北京电书刊出版业营业許可配出字第061号

中国科学院印刷厂印刷 新华书店总經售

1961年9月第 一 版

书号: 2401、字数: 240,000

1961年9月第一次印刷

开本:850×1168 1/32

(**☆**) 00001—15,000

印张 19 1/B

定价: 1.10 元



本論文集是以 A. C. 波波夫命名的全苏无綫电和电信学会在、1957 年春为半导体电子学静习班所举办的静座的誹稿。

这个誹习班的任务是向其学員介紹半导体及其特殊性中的現象的基本物理知識,以及在各种綫路(低頻的、高頻的和脉冲的)中应用半导体器件的問題.

謝座由三部分組成:

- 1. 半导体器件工作的物理基础。
- 2. 低頻綫路及直流放大器.
- 3. 高頻和脉冲緩路。

半导体誹习班的誹座按其內容說来是供下列人員之用的:

- 1. 从事或接触半导体器件应用的广大工程技术工作者。
- 2. 其他专門机构的工程技术人員,这些专門机构要求按其专业在各种綫路中掌握半导体器件的应用。

演講的原文在 1958 年春准备付印时曾經作者审查 并修改。但是,在半导体电子学发展得这样迅速的情形下,許多新的問題在本书的篇幅中自然不可能得到应有的反映。

关于本书内容方面的批評和愿望請寄交下列地址: Москва, центр, ул. Герцена, 10, Центральное правление всесоюзного научно-технического общества радиотехники и электросвязи им. А. С. Попова.

J. 10

目 录

| 序言(| į |) |
|--|-----|---|
| 基本的物理概念 | | |
| 半导体的电性能, | 28 | ý |
| 半导体二极管 | | |
| 华导体三极管···································· | 50 |) |
| 半导体三极管作为放大綫路的元件E. II. 加尔彼林(| 106 |) |
| 半导体三极管放大线路的供电电路的稳定 | | |
| B. H. 格沃尔強(| 131 | (|
| 直流放大器··························A. Γ. 菲利波夫(| 147 |) |
| 跟踪系統放大器中的半导体三极管IO. 14. 科涅夫(| 167 |) |
| 高頻半导体放大器A. A. 庫利科夫斯基(| 191 |) |
| 面結合型三极管的过渡与頻率-相位特性 | ٠. | |
| T. M. 阿加哈年(: | 219 |) |
| 半导体三极管视频放大器T. M. 阿加哈年(| 238 |) |
| 面結合型三极管的启动和张弛綫路 | 251 |) |
| 半导体直流电压变换器···································· | 266 |) |
| 牛导体器件的电压稳定器 | 275 |) |

基本的物理概念

Е. И. 加尔彼林 (Гальперин)

引 曾

由于有可能在科学和技术的各个領域內应用半导体器件,引 起了半导体技术的蓬勃发展。

半导体温差电偶所发揮出的較大温差电动势, 开辟了直接将热能变成电能以及获得发热与致冷的途径: 半导体光电元件的灵敏度很高, 因而在有成效地直接将太阳能变成电能方面, 提出了新的可能性. 近几年中弄清楚了, 許多化学反应的催化剂按其本质能来就是半导体. 半导体二极管和三极管已經获得极其广泛的应用. 在发明半导体三极管以后的八年之内, 半导体三极管已經令人信服地显示出了它和电子管相竞争的能力, 并为設备小型化开辟了新的可能性.

由于半导体三极管和电子管的工作机构有着重大区别, 簡单 搬用研究电子管綫路的經驗不总是可能和合理的, 而且常常有可能发现不了只是半导体器件綫路所具有的特点。

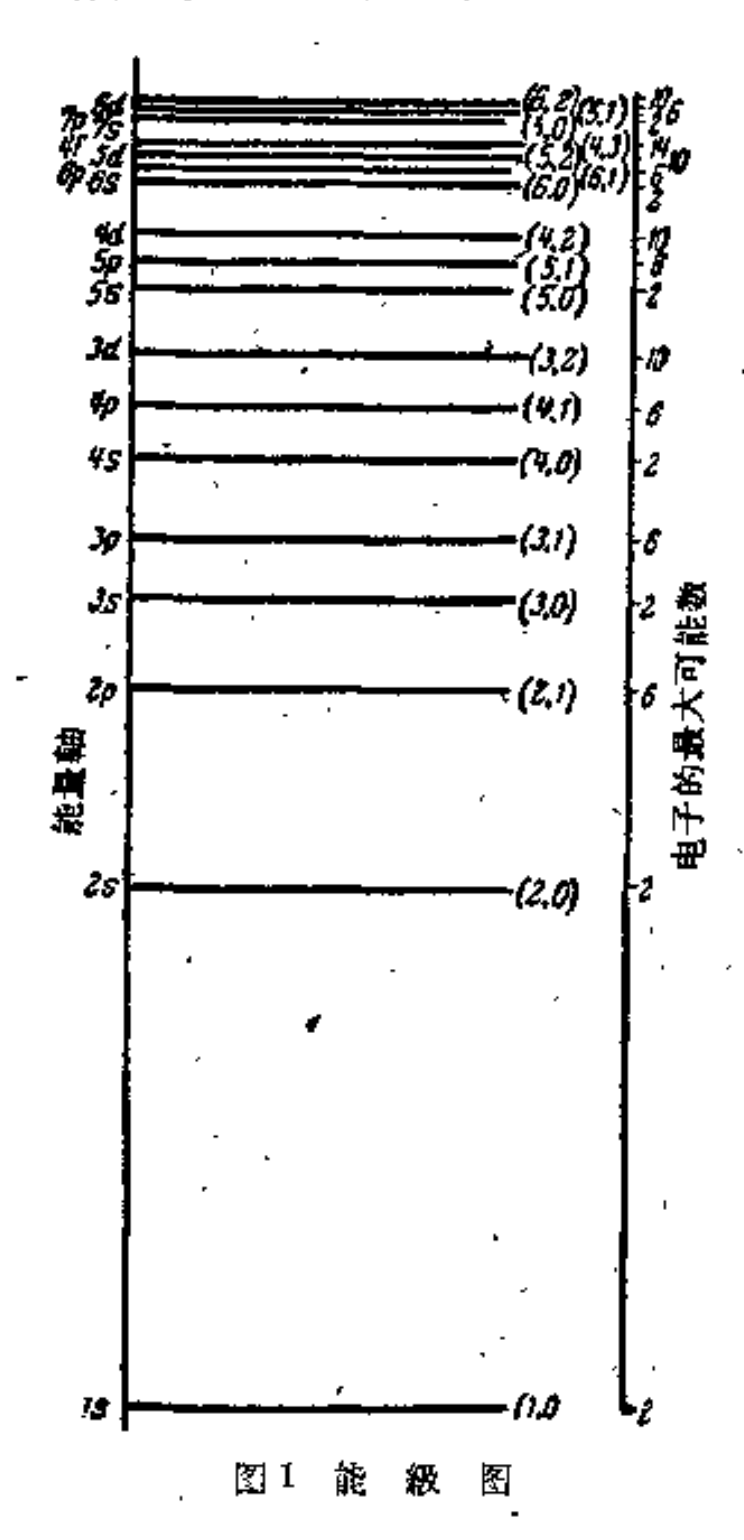
合理的应用半导体器件要求通晓其工作的物理原理。而要学习这些器件工作的物理原理,如果不通晓有关固体导电的理論又是不可能的。

以量子力学为基础的近代固体物理可以說明,为什么具有依 次相同原子間距的固体在电性能方面有着这样大的差别。

为了了解为什么在某一类固体(金属)中有电流发生,而在另一类固体(电介质)中不发生电流,首先必须知道电子在原子中的运动规律。

1. 原子的电子壳层

任何元素的原子都由带正电的原子核和电子所組成,电子在原子核周围形成一系列半径逐渐增大的壳层。 电子的大小 約为 10^{-13} 厘米;原子核大小的数量級为 10^{-12} 厘米;原子的电子壳层的延伸度等于 10^{-8} 厘米.



原子核与电子間及电子 与电子間的相互联系有着其 微观的特殊規律性,在这些 規律性中主要的是量子化和 泡利原理,即电子状态的不 相容原理.

的軌道围繞原子核而运动,这些軌道决定于其能量. 确切地說,由于电子的波动特性,其运动不是沿軌道进行,而是在某一区域内进行,而軌道是电子在这区域中的最大可能位置.

量子力学証明,服从量子化的不仅是能量,还有电子在原子中运动的某些其他特性: 軌道动量力矩,这个力矩在給定方向上的投影,以及电子的固有机械力知(自旋). 后者是与质点围绕其自己的轴綫旋轉有关的机械力矩的量子类比.

原子中每一个确定的运动状态对应于一个能級,每一个軌道对应于严密确定的电子能量或能級;这些能級的总和形成原子中的电子能譜。这个能譜由一系列为禁区所分开的綫所組成。如果說,电子处在某一能級上,就指的是电子处在原子中某一确定的运动状态,这个状态是在能量标尺上用这个能級所描述的。

泡利原理是另一特殊的規律性,这个原理排斥了处在每一状态中的电子数多于两个的可能性。同时,只有在固有动量力矩(自旋的)是反向的条件下,两个电子才可能处在同一状态下。泡利原理决定电子在复杂原子中的分布。

利用能量图是研究电子軌道的最簡单方法; 許可的运动状态的能量, 或軌道, 用水平綫沿垂直的能量标尺画出。每一能級的位置决定于电子的能量, 电子能量又与数 n 及为数 l 所决定的围繞原子核的动量力矩有关。 这些数通常称为: n ——主量子数, l —— 軌道量子数。这两个数都是正整数, 而且对于给定的 n, l 可以采取从 0 到 (n - 1) 的数值。

因此,如果用这两个数 n 和 l 来标記能級,就得到如下的能級;

对于
$$n=1$$
, $l=0$ —能級 $(1,0)$;
 $n=2$, $l=0,1$ —能級 $(2,0),(2,1)$;
 $n=3$, $l=0,1,2$ —能級 $(3,0),(3,1),(3,2)$.

图 1 所示就是某些化学元素的能級图。还有另外一种用得相当普遍的标記能級的方式,在其中 1 的数值照如下方式用字母来代替:

在这个系統中,能級分別这样来标記:能級(1,0)用 1s 标記,能級

(3,2)用 3d 标記,以及等等。图 1 中列出了能級的两种記法。在 具有一定 l 的軌道上,最大可能的电子数等于 2(2l + 1),即

| ! ₩ | 0 | ₇ 1 | 2 | - 3 | |
|----------------------|---|----------------|----|-----|--|
| 軌道上最大可能的电子数等于 | 2 | 6 | 10 | 14 | |

这些数字示出在图 1 左边, 并称为能級的退化度。

从图 1 看出,能級图由一系列的邻近能級所組成,这些邻近的能級形成能級組,或者称为壳层,壳层彼此之間以很寬的間隔分开。照例,能級是按照主要的轨道力矩来分組的,只有异常的能級 d和 f 除外,能級 d和 f 具有較大的能量,因而离开具有同一主量子数的那些能級較远。这种情况就使得,具有較小的 n 的能級 d, f 反而比具有較大的 n 和較小的 l 的能級隔得更远一些。例如,能級 3d,即(3,2)比能級 4p,即(4,1)更远一些;能級 4f,即(4,3)比能級 5d,即(5,2)更远一些;而能級 5d,即(5,2)又比能級 6s,即(6,1)更远一些;以及等等。

由泡利原理所决定的电子能級图,可以說明元素在門捷列夫 周期系*中位置的次序。

在門捷列夫周期系中,每一元素和上一元素不同之处就在于, 其电子壳层多包含一个电子。在第一个元素氫的原子中含有一个 电子,这个电子处在最低的能級 1s 上。次一元素氦的电子壳层 含有两个电子。它們也处在最低的能級 1s 上并具有不同的自旋取 向。

在趣的原子中,其壳层由三个电子組成,只有两个电子能处于最小能量的状态并位于能級 1s 上。 第三个电子(按照泡利原理)不可能处在同一能級上,因而位于次一能級 2s 上,能級 2s 分布

参看6頁的表。对于金属(用粗体字表示)列出了在相应温度下的电阻率,单位为微数姆·風米、对于某些典型的半导体,在小圆圈中示出了禁带的电子伏特数。

在第二組能級中。

因此,根据泡利原理将电子充满在元素原子的能級中,就可以决定元素化学性质的周期性。門捷列夫表中每一个周期对应于完层中一个确定的能級組,組中的元素数决定子該壳层的能級組中的最大可能电子数。第一組包含只具有一个能級 15 的元素。氫(一个电子)和氦(两个电子)的电子壳层占据这个能級。

对应于第二个壳层的第二个周期由能級 25 和 2p 組成,在 其中可有不多于八个的电子,因而,这个周期只能含有八个元素 (从鋰到氖).

- 处在完全被充满的能級組的状态下的电子,与原子核結合得特別字固,不参与原子間化学鍵的形成。它們称为內电子。

处在未被充满的能級組的电子,离开原子核較远,与原子核間 的相互作用也比內电子为弱。

元素的原子价决定于外面未被充满的完层的电子数。属于門 捷列夫表中同一族的元素的原子具有同样多的价电子。 所以,每 一族中各元素具有相同的原子价和相似的化学性质。例如,在第 1 族元素中只含有一个价电子,在第 2 族元素中含有两个价电子, 以及等等。

第 0 族对应于能級中空的能量状态完全被充满,在第 0 族元素中不含有价电子。 将能級图(图 1)和門捷列夫周期表相比較可以指出,对于具有同样化学性质的同一族元素,其外面的电子能、級具有相同的 1, 所不同的只是 n 之值。因此,元素化学性质的周期性是以量子規律性为基础的。

当两个原子相遇时,电場使得外电子的运动特性有重大的改变,因而,在一定条件下发生化学結合,形成了分子。当化合时,元素力图或者是完全給出价电子,或者是使电子数增加到壳层完全被充满。

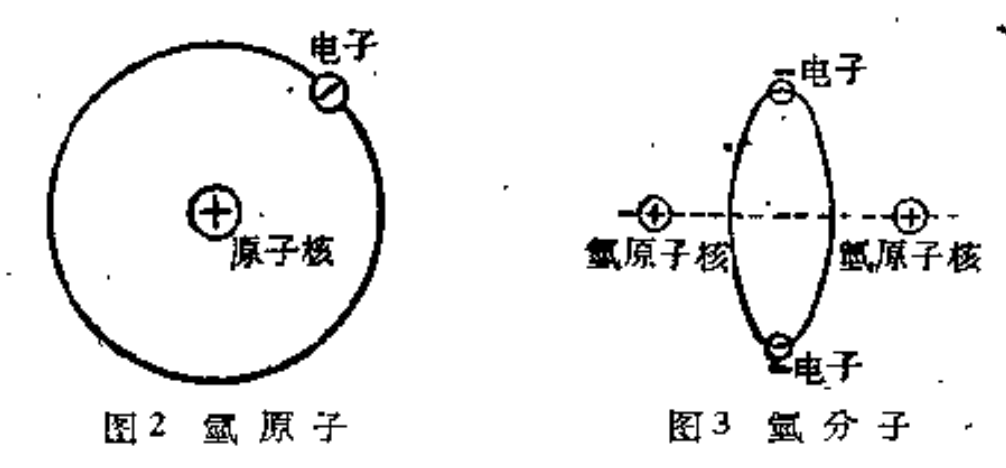
量子力学也可以决定可能的分子結构和可能的 化 合物。 例如, 氫分子只可能是 H₂, 在这种情形下具有相反自旋的两个电子将壳层完全充满。孤独的氫原子由带正电的原子核——原子和沿

門接到宋元樂問題系

| ſ | | Ţ | <u> </u> | i | 1 | · | | | | , <u> </u> | <u> </u> | ີ [| $\overline{}$ |] | • |
|---|-------------|-----------------|---------------|-----------------------|--------------------|-----------------------------------|---|------------------|------------------------|---------------------------------|----------|-------|---|-----------------|----------------|
| | 0 | He He | Ne 24 | | | ³⁶ Kr ³⁶ | | . ‱ %. | | TRUM GG. | ! · | | Lu" | | |
| | | | | | 1 (20°) | | d 46 11.0 | | t % 10 (20°) | | | | Yb | | |
| | | , , | | | 27 9.8 Ni (20°) | | 45 469 Pd | | 7, 6,10 P | | . | | Tu. | | Mv. |
| | > | | | | 10 Co | - | 7.64 Rh (20°) | | 9.5 (20°) Ir | | - | | Er. | | F.m |
| | _ | | | | Fe (| | Ru * | | 0s " | | <u> </u> | | Ho". | | |
| \ | N II | a | £ | ت * | Mn | e E | Tc . | E\$ | Re 18.9 | At At | | | j Ž | | Ct. |
| ֓֞֜֜֜֓֓֓֓֓֜֜֜֜֓֓֓֓֜֜֜֓֓֓֓֓֜֜֜֜֜֓֓֡֓֜֜֜֜֡֓֓֓֡֓֡֡֡֓֜֡֡֓֡֓֡֡֡֡֡֓֡֓֡֡֡֓֜֡֡֡֡֡֓֜֡֡֡֡֡֡ | | | • | (25) S | Cr (28°) | 3, (T) | Mo (20°) | 036 Te | 5,5 (20°) | $^{g_{\epsilon}}_{\mathbf{P}0}$ | (£) | N. | Tb | * | Bk" |
| - | × | , | Z | 1 | 23 26 (20°) | AS | 4 (3.2 (20°) | S | 1,715.5 | رة B | , | *鐮糸元素 | £q. | **郑北元茶 | B |
| - | _ | . / | ਦੁ | (E) | (20°) V | Ge (20°) | 49.0 Nb | Sn (20°) | 32.8 Ta | Pb (20°) | (Pa) | | Eu | * | Am |
| | <u>^</u> | | 40 | * (E) | Ti 22 | (CZ) | Z | 11,5 50 (20°) | Hff , | (22 82 (202) | E | | Sia | | |
| | Ħ | | a | 282 " AI (20°). AI | Sc" | 89 (989) | l' . | 300 30 In | La * 58 (20°) | 18.3 " TI | AC ** | | | | o Pu |
| - | 25 | - |) (.0) (0) | 2 4B (20°) | 20 4.8 (20°) | Zn | $\mathbf{r}^{^{36}}_{^{(20^{\circ})}} \mathbf{Y}$ | "Cq | . ' ' | 25.5 Hg (5.36.7) | | | $\mathbf{d}^{"''}_{(z_0)}\mathbf{Pm}^{"}$ | | 28.6 (00) |
| - | | | (217) Be | 43 Mg | (0°) Ca | Cu (20°) | $\frac{12.3}{(20^{\circ})}$ Sr | Ag 76 (20°) | 20.8 | Au (-35 | | | r 565.5 Nd (187) | | 3, D |
| 110 | | | [.i.] | Na | g _r 34 | 1.69 (20°) | Rtb | (20°) | . 3 | (20°) | Fr. | | $^{3k}_{(26)}\mathbf{Pr}^{''}_{(26)}$ |] | (20) Pa |
| <u>*</u> | 基 | , •• | ત | က် | | ;• | R | | 4 | . | ~ | | Ce (; | | Th (|

其軌道围繞原子核旋轉的一个电子所組成(图 2).

在氫分子中,两个靠近的原子的存在大大改变了电子运动的特性,而两个原子结合成一个整体. 氫分子中原子核和电子的可能布置之一示于图 3 中.



因此,看得出,电子在分子中的运动特性不同于在孤独原子中的运动。

电子在原子中按能級的通常分布是使得原子具有最小的(在所有的可能值中)能量,也就是电子力图位于最靠近原子核的轨道上。原子要处在这种未激发的状态下,直到有任何外部作用給予它以額外的能量为止。

当吸收光綫或原子与另外的原子碰撞时,任何电子都可以从 它通常所在能級轉移到一个未被占据的較高能級上,結果形成激 发原子

在电子相反轉移的情形下,原子发光或者是在碰撞过程中将能量以热能的形式交与另外的原子,即以无規則运动动能的形式交与另外的原子。在获得极高能量的情形下,电子可以完全脱离原子,在这种情形下就能是游离状态。这时,由子沒有电子与电子壳层及原子核的相互作用,已不是单独的能級;电子开始象通常的基本质点一样不遵守微观的規律。

在原子的游离状态下电子是自由的;它不受原子的約束而可不依賴于原子而移动(以任何速度);并具有任何能量.

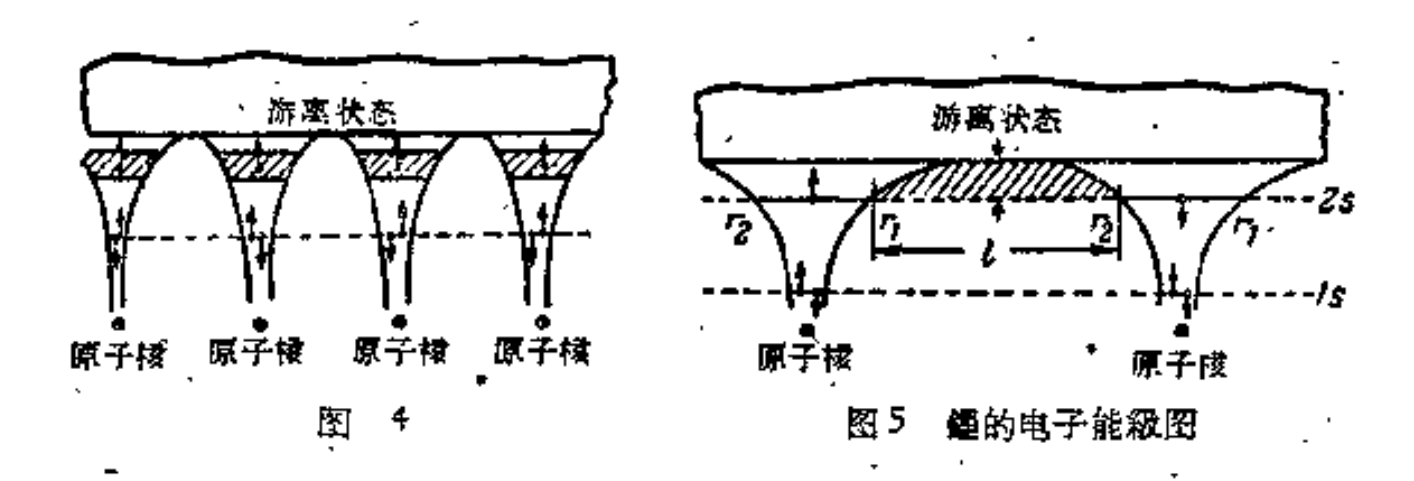
2. 固体中电子的能量状态

未受畸变形式的单个原子的牲质出現在气体中,在气体中原

子間的相互作用是极微小的。在固体中邻近的原子相当接近,以致外部壳层互相接触甚至彼此重迭。在这种情形下,与电子相作用的不仅有原子本身的原子核,而且有邻近原子的原子核。由于电子受这些原子核的吸引,它在原子中所受束縛将減弱,因而区分原子的位垒高度将减小。結果,电子的运动特性大大改变,形成了集体軌道而不是单个原子的軌道,且同样的能级联合成整个固体的总能级。这也引起电子能谱的改变。

电子不仅与单个原子有相互作用,而且与大多数原子有相互作用,这就使得,第一,能级发生位移,第二,能级扩展为能带。不象单个原子的狹窄能級,其中只能容納不多于两个电子,在固体中形成寬的能带,能带中的能級数等于給定固体中的原子数。同时,在固体的能量图中能級排列的次序可以不符合于在原子中能級排列的次序。在固体中电子按照泡利原理重新排列,以使得能谱中所有低的能級都被占据。

作为例子,我們来研究鋰金屬形成的过程. 設最初鋰原子相 隔較大的距离. 图 4 中繪出了鋰原子的电子能級,其中在低能級



15 上有两个电子,而在次一能級 25 上有一个电子。 曲綫表示电子在原子中的位能,决定于原子核对电子的静电引力。如果电子的运动按照古典物理的規律来进行,它离开原子核的距离就不可能超出相应的能級与位能曲綫的交点之外,即不可能超出点 11 和 12 (轉弯点)之外,在这些点处电子的全部能量将变为位能。

如果原子間相隔距离較大,則只有在游离状态下电子才可能 从一个原子轉移到另一个原子. 当原子接近时,如图 5 所示,由于 邻近原子核的影响,电子与其原子核的束縛减弱,区分原子的位 垒高度将較小. 显然,邻近原子对价电子和内电子的影响是不同 的.

邻近原子对内部壳层(其軌道很小)的电子影响不大,因为这些电子离开它們比本身原子核要远得多. 故固体中内电子的状态与孤独原子中内电子的状态相差很少. 原子核与其内电子一起在固体中就象是一个整体——該元素的离子.

价电子离开原子核很远,与原子核的束缚較弱,其他原子对它們的影响很大,——要知道在固体中邻近原子間的距离具有和价电子尺寸相同的数量級。在晶体中真正的原子間距下,对于价电子的位垒高度很小,而其寬度等于 10⁻¹⁰ 厘米; 因为电子可以离开古典的轉弯点同样的距离,故电子不仅有可能經位垒上面从一个原子进入另一原子,而且有可能穿过位垒。这种轉移称为隧道效应,这是純粹的量子現象。由于隧道效应,价电子在固体中变为共有化的。

晶体中价电子共有化的实现,不是由于邻近原子电場作用使原子游离的結果,而是由于隧道效应使电子从原子向原子运动的结果.

再以鋰为例来看有N个原子的固体的构成。 在这种情形下,因为每一原子在低能級上具有两个电子,而原子数等于 N,故有 2N 个电子处在第一个能級上,而N个电子处在第二个能級上。

当原子接近到等于原子間距时,就形成两个能带:低能带,由 N个能級組成并含有 2N 个电子;高能带,也由N个能級組成但含 有N个电子.

图 6 表示随着原子之間的距离的減小,能級如何变成能带的情形。低能带很少发生变化,其平均能級仍然保留不变。最大的改变果然是发生在上面的价电子带。一个能级向上位移,其他的在下,而价电子能級变为能带,由 N 个彼此接近的能級所組成。

对应于这些能級的状态的差别已經不在于电子在那一个原子中移动,而在于电子的能量值及其沿晶体运动的速度。靠近晶体中所形成的能带的底部和頂部这个速度接近于零,而对于接近于能带中間的状态则为最大值。

在真实的原子間距 a_0 之下,基本的能級 E_1 实际上不改变,而价电子能級 E_2 变为宽的能带。 能带内中間的粗綫是这样来作出的,即在任何原子間距之下,在其上及下都有 N/2 个能級。

因为系統的最稳定状态应該是使得其全部能量为最小值,而在每一能級上可能有两个电子,故鋰晶体中的N个价电子将位于低的半个能带上,每一能級上两个电子。同时,从图上看出,晶体中一个价电子能級占有的平均能量 6. 小于鋰原子中的价 电子能量 E2. 在晶格中鋰原子接近时所发生的这个价电子能量的減少,大于鋰离子释放的靜电能量。 所以,当鋰原子接近时其整个系統的能量減少,鋰晶体中的結合力就是以这点为先决条件的。在其他金属中也有同样性质的結合力(所謂金属結合力).

在图 6 的左边示出了对于原子間距 a 的基本能級和价电子能带。 阴影部分的能級为电子所占据,空白部分的能級則是空着的。 但是, 价电子虽然在晶体中运动、由于其运动的杂乱无章它們

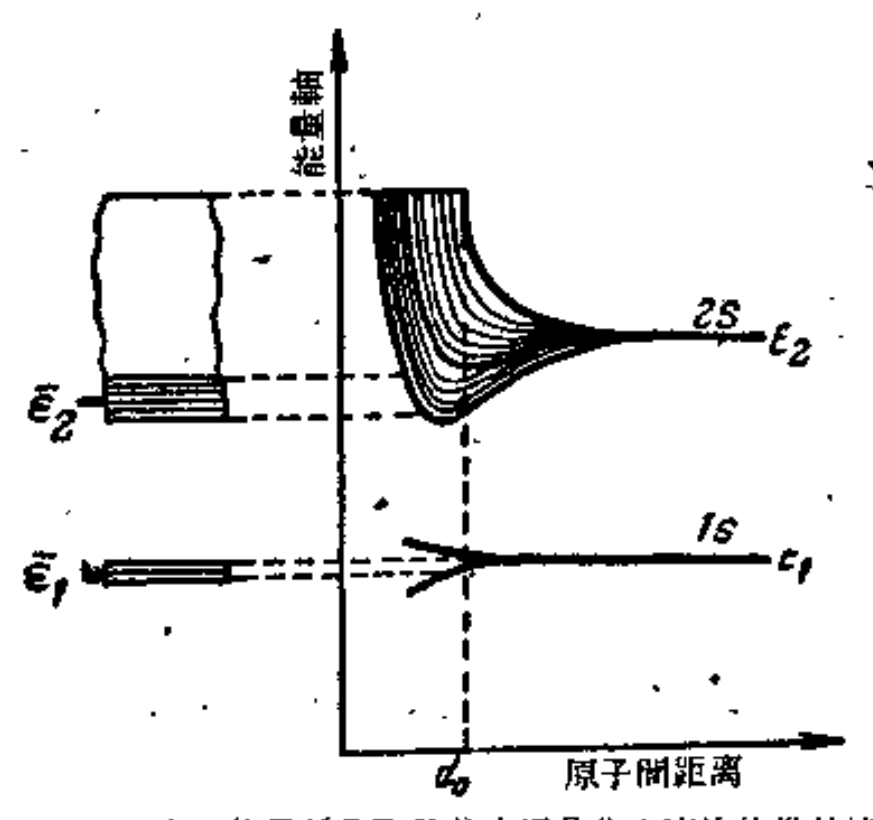
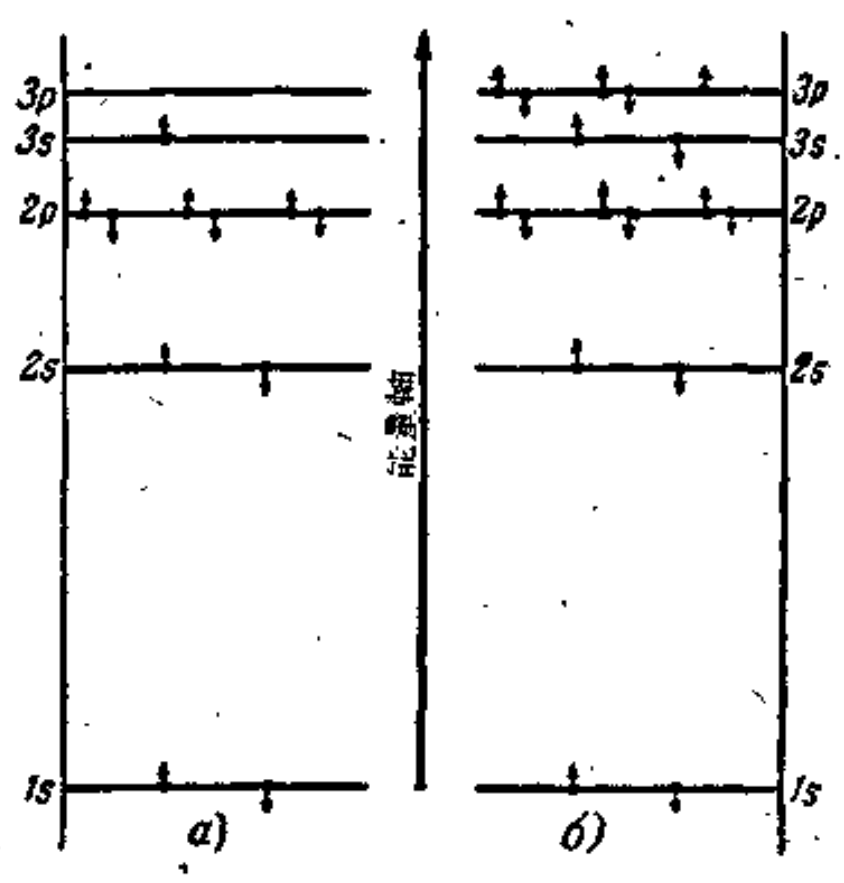


图 6. 键的价电子能级的分裂及其在键晶体中变为能带的情形

并不产生电流。要发生电流必须将运动加以整理。場力应当加速沿某一方向运动的电子,而减慢沿相反方向运动的电子。但电子的加速或减慢会不可避免地引起其能量的改变,也就是从某一能级轉移到另外的能級。例如,在鋰中这是可能的,因为价电子带的部分能級是空着的。当加以电場时电子按能級重新分布,发生电子运动沿一定方向的整理,即发生电流。

在其他金属中也有同样性质的电流, 价电子能带只部分地被 充满, 是决定金属导电性能的共同情况, 未被占据的能級直接与 被占据能級毗連, 因而电場可以加速和減慢电子, 将其从某一能級 轉移到另外的能級.

在离子晶体,例如食盐 NaCl 中,则完全是另外一种情形. 鈉的电子壳层由 11 个电子组成,其中 10 个为内电子,1 个为价电子,了个价电子。因此,子(图7). 氯中有 17 个电子:10 个内电子,7 个价电子。因此,在第三組能級中,鈉原子中只有一个电子,而氯原子有七个电子。因为在第三組能級中可以容納八个电子,故在氯原子的第三組能級中有一个空閉位置。



当由N个纳原子和N个象原子形成晶体时(图 8), 鈉的价电子能級分裂对重迭, 电子沿纳原子运动形成电子能带. 象的价电子能級同样因电子沿象原子位移变成电子能带. 由于稳定状态要求最小的能量而象的价电子能級位置低,故鈉的N个价电子轉移到 N/2 个位置低的能級,这些能級对应于沿象的陣点运动的状态. 同时,象的能带完全被充满,而鈉的能带是完全空閑的. 所以,NaCJ 晶体不是由 Na 原子和 CI 原子組成,而是由 Na⁺和 Cl⁻离子組成. 这些离子的静电吸引保証了晶体中的結合. 古典物理不能解释为什么形成离子,为什么价电子从 Na 原子轉移到 CI 原子. 只有近代的固体量子理論才給出这个問題的解答.

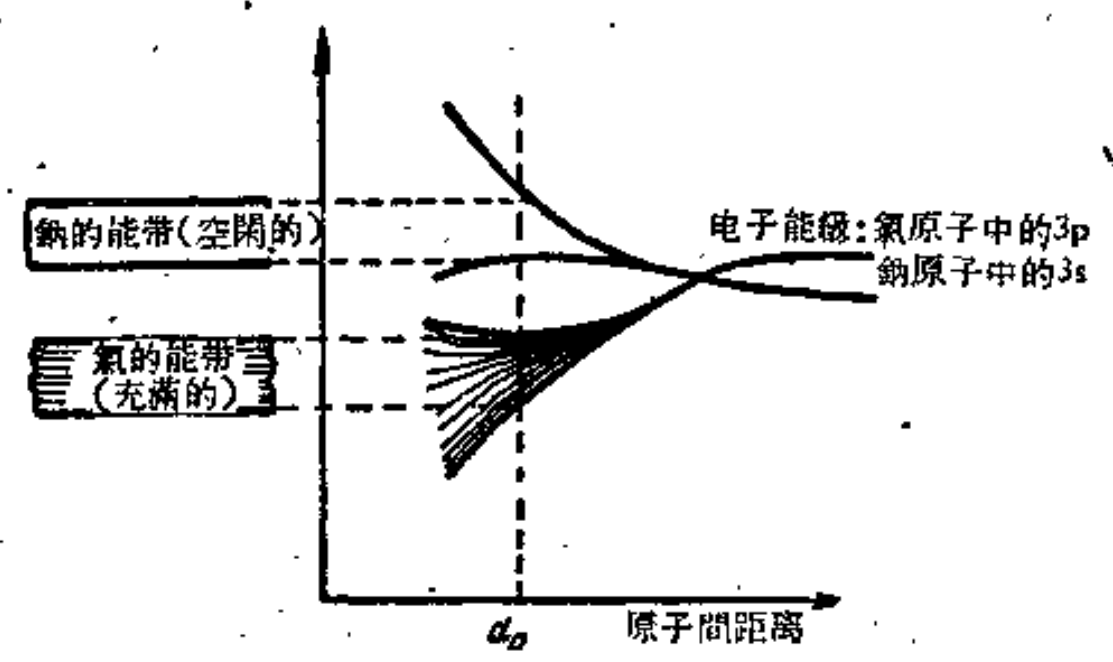


图 8 由劉和氣原子中的价电子能級形成 NaCl 晶体的能級

由于在能带中沒有自由的能級,电場不能将价电子的逐動加以整理,即不能产生电流. 要产生电流必須加速某一些电子,減慢其他电子,即将电子轉移到另外的能級状态. 但这是不可能的,因为象能带的每一能級上已經有最大可能的电子数(两个). 因此,电場不能在离子晶体中产生电流,即离子晶体是电介质. 所研究的、鋰金属和簡单食盐离子晶体的电子结构的例子,指出了金属和电介质在电阻方面有着重大差别的原因.

3.金 諷

金属恆具有部分充满的电子能带,自由的未充满的能級与其

·直接毗邻。自由能級的存在,有可能在外电場作用下使电子轉移到另外的能級,并产生电子規則(加以整理的)运动——电流——的条件。首先,在固体状态金属应当是所有具有奇数原子价的元素。与理論完全符合,具有奇数原子价的元素,在其晶体中基本晶胞含有奇数个原子,是导电的(金属)。

在所有具有奇数原子价的元素是固体状态电介质的情形下, 在其晶格的基本晶胞中原子数是偶数. 晶格的基本晶胞可以是原 子、分子或离子. 例如氫,在其中晶体氫的基本晶胞——分子—— 含有两个原子,故氫是电介质.

同时,某些具有偶数原子价的元素(它应該是电介质)在某些情况下却是导电的。这发生在这种情形,即当形成固体时彼此接近的价电子能級分裂得很強烈,以致从其中发生能带的重迭,而形成的共有能带中含有自由能級。鈹就是这种情形的例子。当从鈹原子形成固体时,属于同一电子能級組位置接近的第二和第三个能級分裂(图9),发生能带的重迭。結果形成单一的能带,其中部分能級被占据,部分是自由的。因此場可以加速价电子,而鈹是金属。因此,在所有金属中,价电子带或者是部分充满,或者是与其他能带重迭。

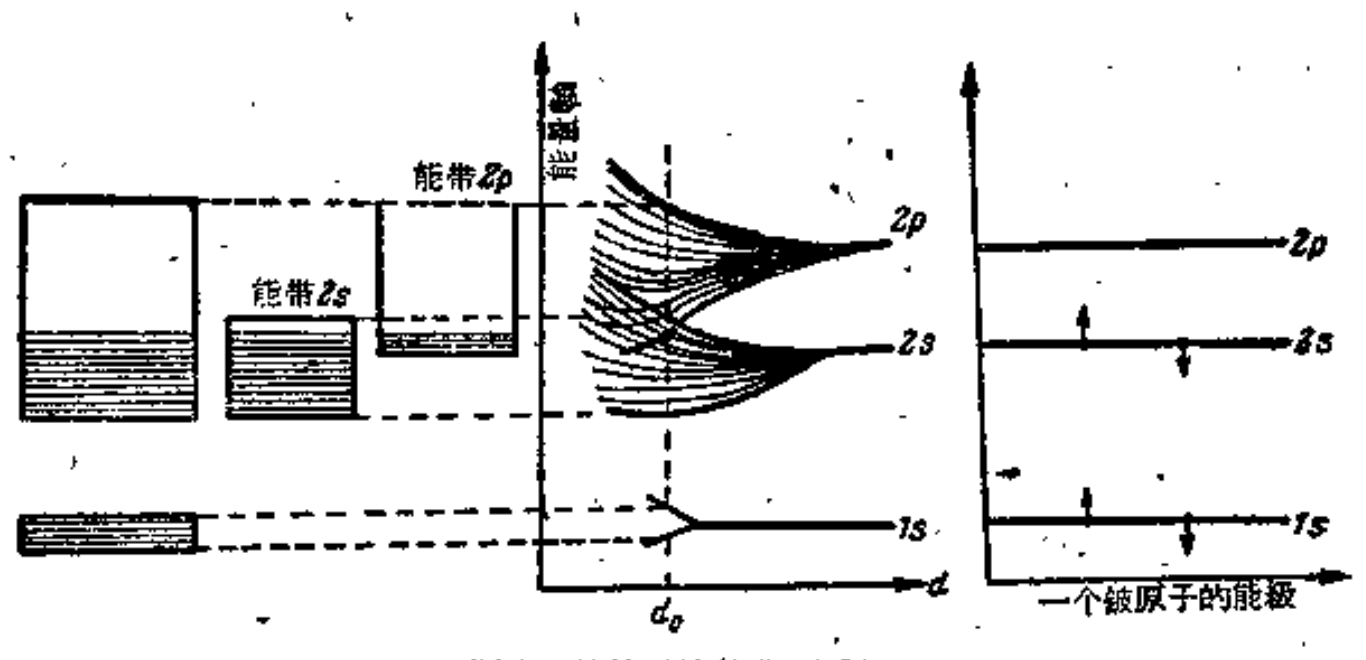


图9 敛的重迭能带形成图

参加电流的电子称为自由电子。在所有金属中,一立方厘米中的自由价电子数具有10²²的数量級且与温度无关;而同时,不同

金属的电阻值能相差几十倍且与温度有关。要了解这个现象的原, 因,必須更詳細地研究导电机构幷弄清楚是什么决定金屬的电阻 值。

电阻率等于

$$\rho = \frac{E}{j}$$

其中 / 是电流密度;

E 是电場強度。

自由电子数愈多,其規則运动的速度愈高,电流密度;就愈大:

$$j = env$$
,

其中 6 是电子电荷;

- n 是自由电子数;
- v 是电子速度,

由于电子在晶体中的碰撞与能量损耗,其速度不能无限增加,而达到某一固定值,在这数值下电子从电場得多少能量,就交給晶格多少。同时 " 正比例于电場強度 " = µE, 电子的规则运动速度与电場强度間的比例系数称为电子的迁移率。电子的迁移率在数值上等于,当場强为 1 伏/厘米时电子在給定物体中运动的平均规则速度。在室温下純金属的 µ 为 10--50 厘米²/伏· 秒。

将 j = env 和 $v = \mu E$ 之值代入 ρ 的表达式中,得到:

$$\rho = \frac{E}{i} = \frac{1}{en\mu},\tag{1}$$

即自由电子数愈多以及其迁移率愈大,金属的电阻就愈小。在具有理想的正常几何結构的晶格中,电子完全不受阻碍,且由于隧道效应它可以自由地从陣点轉移到陣点。

在实在的晶体中,无論是由于机构的畸变(原子的,陣点間引入的,杂质的,空陣点引起的,以及等等),或者是由于晶体的热振动,几何的周期性都被破坏,这种周期性的被破坏要阻碍电子的运动。因为在所有金属中,自由电子数大約是相同的,故电阻值主

要决定于电子迁移率之值。电子自由行程的长度愈大,电子所受阻碍就愈小而其迁移率也就愈大。

在其他条件相同之下,不同金属的 1 不同, 科决定于其晶体结构的組成及其被整理的程度。 自由行程长度 1 随着温度的升高, 晶格热振动的增大和杂质含量的增长(杂质会破坏晶格被整理的程度)而减小。故金属的电阻随着温度的升高而增大, 而合金的电阻恢大于其組成中的金属的电阻。例如, 尼赫罗姆合金(镍路铁合金)的电阻比路的电阻大 8 倍, 比鉄或鎳的电阻大 10 倍.

在純金属中,自由行程长度受原子热振动的限制,与温度成反 比例:

$$l_m \approx \frac{1}{T},\tag{2}$$

而电阻随着温度成正比地增长.

在含杂质的金属中,l 与杂质含量 N_a 成反比例,而与温度关系不大:

$$l_n \approx \frac{1}{N_n},\tag{3}$$

其中 N_* 为杂质原子数;

1, 为电子的自由行程长度。

在中間的情形下,限制电子自由行程长度的两个因素同等重要,这时不应当将自由行程长度相加,而是将碰撞数相加,碰撞数是自由行程长度的倒数:

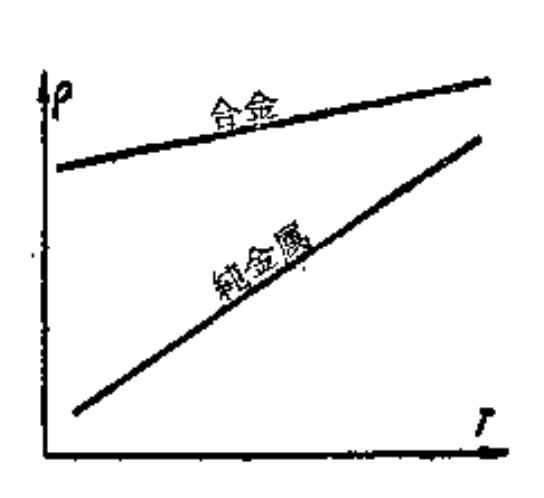


图 10 金属和合金的电阻 与温度的依从关系

$$\frac{1}{l} = \frac{1}{l_m} + \frac{1}{l_n}; \quad l = \frac{l_m \, l_n}{l_m + l_n}. \tag{4}$$

正因为如此,当温度改变时合金可以得到最稳定的电阻值。在低温下,由品格热振动所引起的对电子运动的阻碍不再是重要的,电阻值只决定于机构组成中的缺陷对电子的阻碍。因此,直到絕对零度合金仍保留最終的电阻值,而純金属的单晶体不具有这种殘

智的电阻值.

4. 电 介 厦

在电介质中价电子带完全被充满,因而外电場不能在其中产生电流。如果沒有由品格熱振动引起的电子热抛射,其情形就是如此。由于熱激发的結果,电子可以从充满的价电子带轉移到次一称为导带的自由带,它就可以参加电流了。例如,在 NaCl 的情形下,电子可以从氯的能带落到鈉的自由带中,在鈉的自由带中有許多室的能級因而有可能由外电場来加速电子。电介质中的电子流极小,因为在室温下良好电介质中的自由电子密度为1厘米3中有1—100个电子,而在导体中为1厘米3中10²²个。电介质中电子的迁移率与金属中的迁移率沒有本质上的差别,在室温下后者比前者大10—100倍。

根据公式

$$\rho = \frac{1}{ln\mu};$$

$$\frac{\rho_{\rm M}}{\rho_{\rm A}} = \frac{l n_{\rm M} \, \mu_{\rm M}}{l n_{\rm A} \, \mu_{\rm A}} = \frac{n_{\rm M} \, \mu_{\rm M}}{n_{\rm A} \, \mu_{\rm A}} = \frac{10^{22} \cdot (10 - 50)}{(1 - 10^2)(0.5 - 5)} \approx 10^{20} - 10^{23},$$

来計算一下电介质的电阻比金属的电阻大多少倍,公式中下标 M表示金属,下标 A表示电介质. 因此,电介质的电阻比金属的电阻大 10²⁰—10²¹ 倍. 随着温度的升高热激发数也增大.

虽然在电介质中电子的迁移率也随着温度的升高而减少,其原因和金属中的情形一样,但是,迁移率的减少要比自由电子数的增长来得緩慢得多。热激发数正比例于:满带 N_a 中的电子数,以及任何原子当其振动时能具有足够能量将电子經禁区寬度 ΔE 范及任何原子当其振动时能具有足够能量将电子經禁区寬度 ΔE 范内自由带中的概率。 这个概率又与指数因子 $e^{-\frac{2\pi}{kT}}$ 成正比例,实中 $k=1.38\times 10^{-16}$ 尔格/度是波耳茲曼常数; T 是偿尔文 絕对温度。

对于 T = 300°K, kT = 0.026 电子伏. 热激发数

$$n \approx N_{\rm s} e^{-\frac{\Delta E}{kT}},\tag{5}$$

因而,禁区寬度 AE 愈小以及温度愈高,热激发数就愈大. 禁区寬度愈大,发生这个过程的可能性愈小,电介质的电阻就愈大. 随着温度的升高电介质的电阻将减小. 为了說明热抛射数与禁区寬度及温度的依从关系,列出了下表.

| ΔE | 热搜 | 射 数 | | | | |
|-------------|---------|------------------|--|--|--|--|
| | T=300°K | T=450°K | | | | |
| 10 | 10-05 | | | | | |
| 5 | 1Ġ95 | | | | | |
| ક | 10-6 | 10° | | | | |
| 2 | 102 | 100 | | | | |
| 1 | 1047. | 1014 | | | | |
| 0.75 | 1073 | 1015 | | | | |
| 0.5 | 1013 | 10 ¹⁰ | | | | |
| 0.1 | 1018 | 1018.5 | | | | |

′ 热搅射数与 △E 和 T 的依从关系

从表上看出,对于实际所遇到的温度,当 $\Delta E > 1$ 电子伏时热抛射数非常小,而这种物质才是电介质。通常,在电介质中 $\Delta E > 1.5$ 电子伏. 这表也很好地說明了,为什么当温度升高时电介质的絕緣性能变坏.

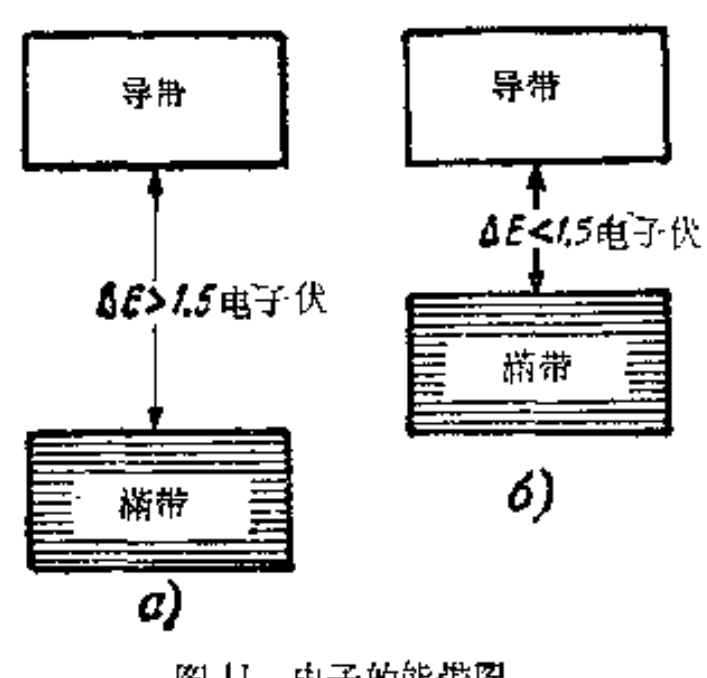
在电介质中,由于电子浓度这样微小,強电場不能对电子发生 重大影响,而是对离子发生重大影响,尤其是当离子离开了陣点位 于陣点間的时候,因为这时离子所受束缚大大减弱. 所以,电場可 以使这些离子发生位移,产生离子电流. 在全电导的情形下,电流 通过时有物质的移动同时发生.

在高温时电介质的全电导开始起作用。此外,当有光照射时由于内光电效应引起的光电导,电介质的电阻也要减小。

因为光能与光的頻率有关,自然,頻率愈高,其基本质点—— 光子的能量愈大,如果这个能量等于或大于能带間禁区的能量宽 度,光子就可以把电子从低能带迁移到高能带中。在禁区約为 5 电子伏的电介质中,这相当于光譜的紫外綫区域。

5. 半 导 体

滿带和空带相隔很近的晶体是半导体。 鍺是半导体的例子, 在鍺中能带間的能量距离等于 0.75 电子伏,而同时,在电介质中 $\Delta E > 1.5$ 电子伏(图 11)。按电阻值說来,半导体介乎金屬与电



介质之間.但按其結构說來, 宇 导体接近于电介质.

在良好的 导体—— 金属中,电阻率在 10⁻¹—10⁻³ 欧·厘米的范围之内。在极坏的导体——电介质中,电阻率之值。通常大于 10¹³ 欧·厘米。 华导体的电阻率之值占有很大范围:从 10⁻³ 到 10¹⁰ 欧·厘米。 华导体的主要特点不在于其电阻值在数量上与金属和电介质

的差别,而在于在各种因素(温度、光綫等等)作用下其电导值能够改变。

象电介质中一样, 半导体中的价电子数正好等于能带中能级数的两倍,即价电子带是全满的。在絕对零度下, 半导体的价电子带完全被充满, 而半导体就和电介质一样。

半导体不同于电介质之处在于,通常的电介质只有在极高温度下才具有明显的电子导电性,在多数实际情形下这是不能实现的,因为通常这已超出了其熔点之上,而半导体在室温下就已失去了其电介质性能。 随着温度的升高电子的热抛射数按指数增长,因而,自由带中的电子数及满带中称为空穴的空位数都增多了.

相应地,华导体的导热率也增大了.

現在來研究牢导体的电阻如何随温度而改变。溫度改变时半导体中的电子迁移率改变得相当小。 如果在金属中 $\mu \approx T^{-1}$,则对于半导体按照原子在晶格中的結合特性 $\mu \approx T^{-\frac{3}{2}} - T^{-\frac{3}{2}}$ 。 在金属中,由于自由电子浓度恆定不变,电阻的温度依从关系完全决定于迁移率。在半导体中,由于电子浓度和也与温度有密切的关系,迁移率的温度依从关系所起作用反而很小。上面已經指出,热抛射数随温度指数地增长,故可以认为,半导体的电导率大致按同一規律随温度而增长,即

$$\sigma \approx \sigma_0 e^{-\frac{\Delta E}{2kT}}.$$
 (6)

和电介质一样, 半导体的电导率随温度而增长, 这与金属不同,在金属中电导率随温度增长而减小。通常, 半导体的温度依从关系便于表为半对数的比例尺。如果就 σ 的表达式取对数, 即得到:

$$\ln \sigma = \ln \sigma_0 - \frac{\Delta E}{2k} \cdot \frac{1}{T}. \tag{7}$$

这个关系的图形如图 12 所示,其中直綫的斜度等于 $\frac{\Delta E}{2k}$. 从 2k 这个直綫的斜度可以决定禁带寬度,禁带寬度是半导体的重要特性.

当引进杂质时电阻急剧减少,是半导体的第二个重要性能, 在半导体的晶格中引入某些具有不同原子价的其他元素时,出 現附加的能級,其位置与自由带(或满带)极为接近,因此,抛

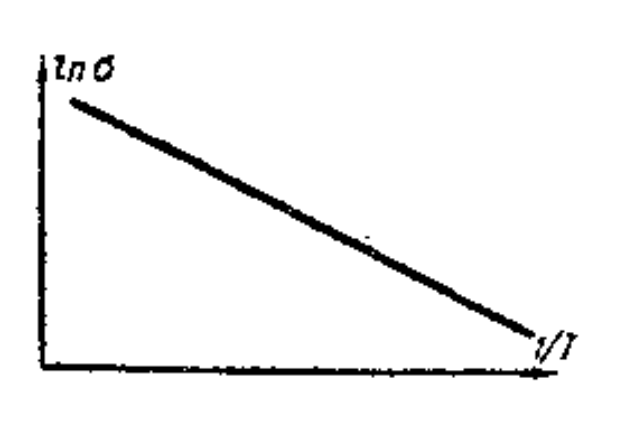


图 12 华导体的 Ino 与温度的依从关系

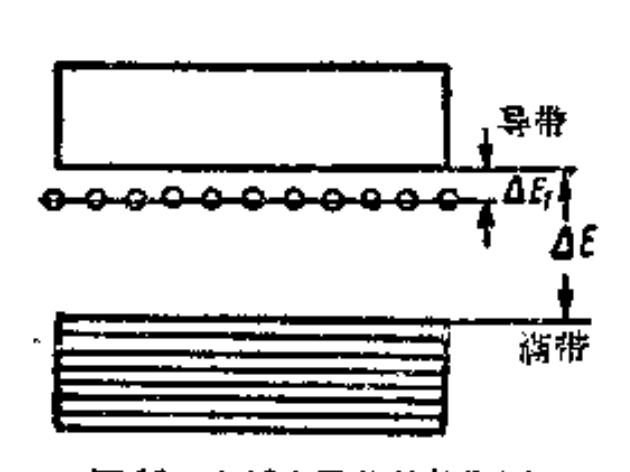


图 13 杂质半导体的能级图

射其中电子所需能量比抛射半导体本身的电子所需能量要不得多(图 13). 例如,对于最普通的半导体: 鍺 $\Delta E = 0.75$ 电子伏, 硅 $\Delta E = 1.12$ 电子伏; 而对于鍺中的杂质砷 $\Delta E = 0.01$ 电子伏.

因为使电子脱离杂质能级所需的能量很小,故即令在室温下 也有大部分电子进入自由带中,杂质的引入使自由电子浓度增大

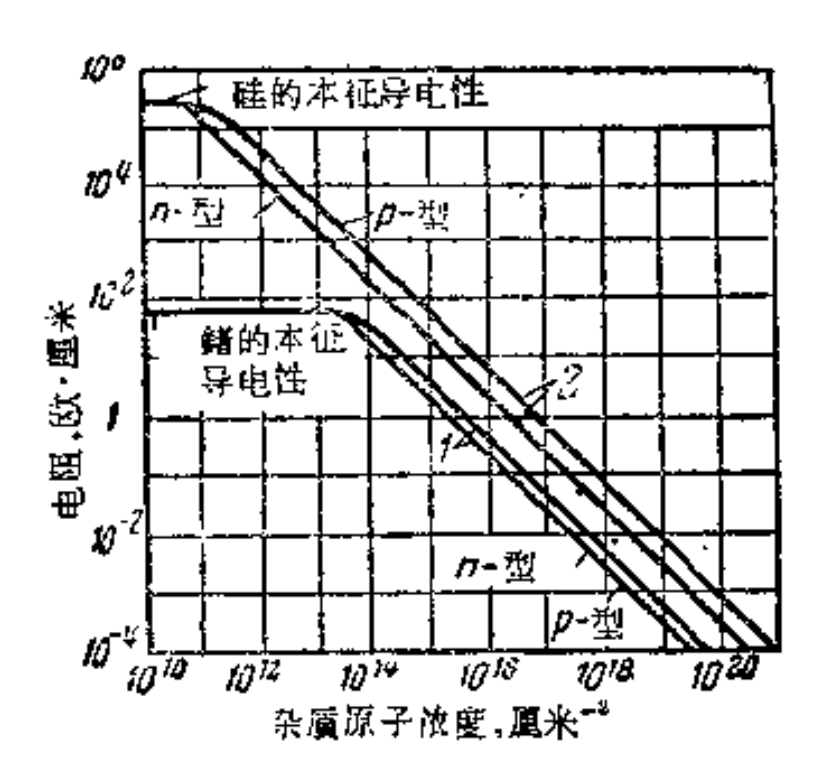


图 14 华导体电阻与引入的杂质浓度的依从关系 1——对于鳍: 2——对于硅

很多倍,因而半导体的电。 阻大大降低。 图 14 中國 出了鍺和硅的电阻随引入 的杂质 浓度 而变化的曲 栈。

当引入的杂质浓度很小或与半导体的自由电子浓度相比拟时,它对电阻的影响很小。例如,室温下路中的自由电子浓度为1厘米³内10¹³,从图14看出,这样的杂质浓度对结的电阻影响很小。当杂质

浓度为 10¹⁴时,电阻已下降了几倍,而当杂质浓度为 10¹⁵时,电阻下降了几乎 50 倍。如果記得,1厘米³中的原子数約为 10²²,则 10¹⁴—10¹⁵ 数量級的杂质浓度对半导体本身原子总数 之比 只不过 10¹⁴—10⁻⁷.

所引用的例子指出, 半导体的导电性与加入其中的微量杂质有着多么密切的关系, 以及半导体材料的純度具有何等重要的意义, 杂质华导体的电导决定于半导体的本征电导与杂质所生成的电导, 并用下列公式来表示:

$$\sigma = \ln \mu_p + \ln \mu_p, \tag{8}$$

其中π是半导体的电子浓度; p 是杂质的电子浓度; μ, 和 μ, 分别 是半导体和杂质的电子迁移率. 杂质半导体中电子浓度与温度的依从关系的对数曲线输出在图 15 中. 从曲线看出,它包含三个具有特征性的区域。区域 I,即低温区,在这区域中晶格的振动能量小于 ΔE (参看图 13) 不足以将电子从漏带迁移到导带中去,但大于 ΔE (参看图 13) 不足以将电子从漏带迁移到导带中去,随着温度的升高,这相当于在图 15 中从右向左移动,晶格的振动能量增大,杂质的电子浓度也相应地增大。这个区域将一直延伸到所有杂质电子都进入导带中为止。点6 对应于这样的温度,即在这温度下所有杂质电子都轉移到了导带中,但晶格的振动能量还不足以迁移半导体本身的电子。 所以,存在有电子浓度保持恒定的温度区域。在点 a 处,晶格的振动能量已經足够大,而电子浓度由于半导体满带中的电子也开始增大。因此,在区域 II (这个区域是本征电导区)中电子浓度决定于半导体满带中的数值,而在区域 1 和 II 中电子浓度决定于杂质满裕中的数值及杂质的浓度。

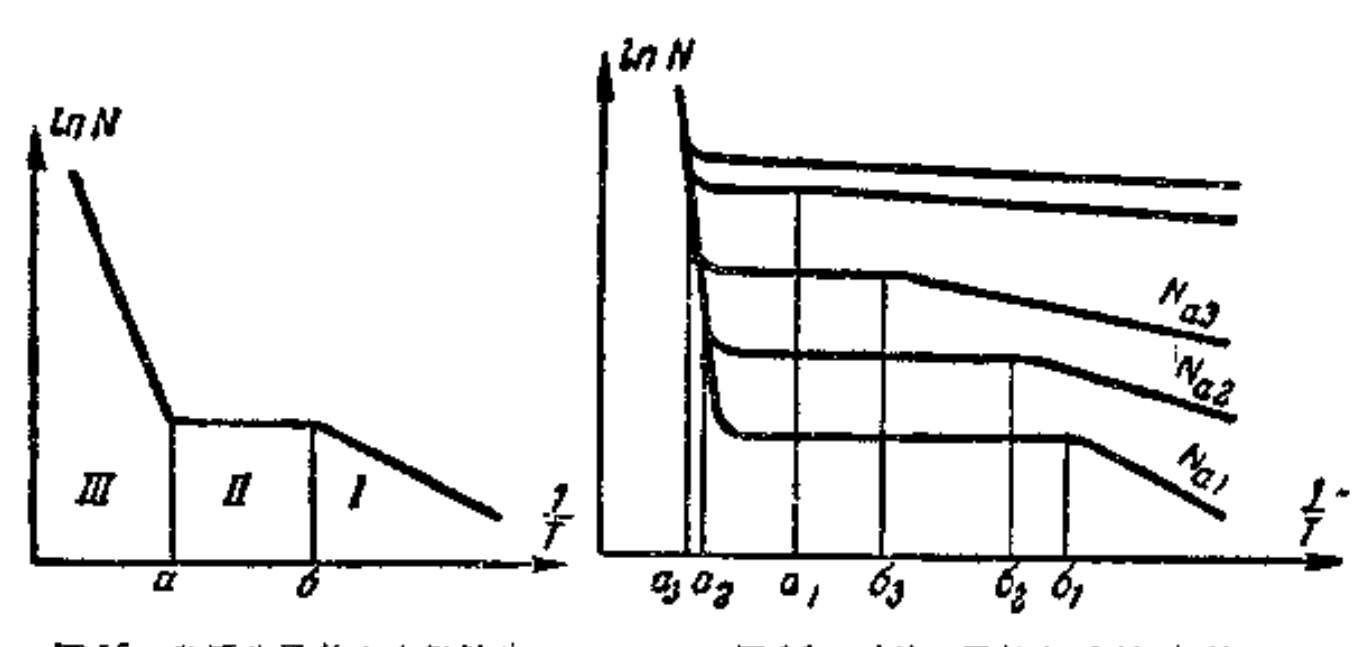


图 15 杂质半导体中电子浓度 与温度的依从关系 I ——杂质电导区; II ——所 有杂质原子的价电子都解 移到

與由带中; Ⅲ----本征电导区

图 16 对于不同的杂质 浓度 值 $(N_{a_1} < N_{a_3} < N_{a_3})$,杂质半 导体中电子浓度与温度的依从关系

图 16 中繪出了对于不同的杂質浓度值,杂质半导体中电子浓度与温度的依从关系。从图 16 看出,杂质浓度愈大,在較高温度下所有杂質能級轉为滿带的时刻(点 61,62,63)来得愈迟。 对应

于从杂质电导区轉到本征电导区的过渡点 a1,a2,a3 也要移动.

如果引入的杂质是其原子价比半导体原子价大一的元素,则 有多余的电子,而电导决定于电子浓度。这种半导体称为电子半 导体,而杂质称为施主杂质(图 17,a)

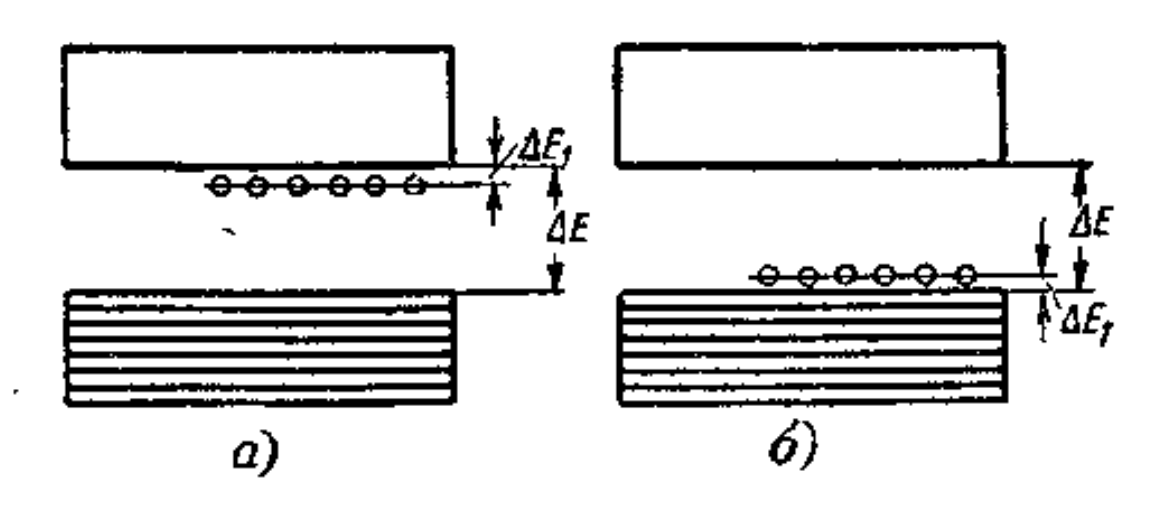


图 17 杂质半导体的能级图 a——电子的; 6——空穴的

如果在半导体中引入其原子价比半导体原子价小一的杂质,则在靠近满带处出现未充满的空能级。因为这些能级离开半导体的满带比离开导带要近得多,故在相当小的晶格振动能量(这对应于較低温度)下它能将电子从满带中移出(图 17,6)。当电子轉移到附近的空能级时,满带中又出现未充满的能级,即空位,而称为"空穴"。这种半导体称为空穴半导体,而杂质称为受者杂质。受者杂质数的增多引起空穴浓度的增大,这又引起半导体电导的增大,即引起其电阻的减小。

图 18 給出了, n 型电子的及 p 型空穴的杂质鍺的电阻率与温度的依从关系。上面的曲綫对应于本征鍺,下面的曲綫对应于杂质鍺。在每一曲綫上示出了,对于正常温度由杂质浓度所决定的电阻率之值。引入的杂质愈多,銷的电阻愈低。果然,鍺的电阻愈低,即其中的杂质愈多,杂质鍺的电阻值等于本征鍺的电阻值的温度就愈高。将这些曲綫和图 16 相比較,可以发現曲綫在进程上有某些差别。图 16 中具有浓度为常数而与温度无关的区域,而在图 18 中,杂质鍺的电阻最初有某些增长,然后降落并与本征鍺的电阻变化曲綫相合。这是由于,杂质半导体中电子迁移率与温度

的依从关系具有明显的极大值,如图 19 所示。极大值在这曲綫上的位置与杂质浓度有关:随着浓度的增高此极大值向較高温度方面移动。与此相对应,杂质鳍的电阻的变化进程也具有极大值,当所含杂质浓度增大而杂质鳍的电阻降低时,这个极大值也要移动。

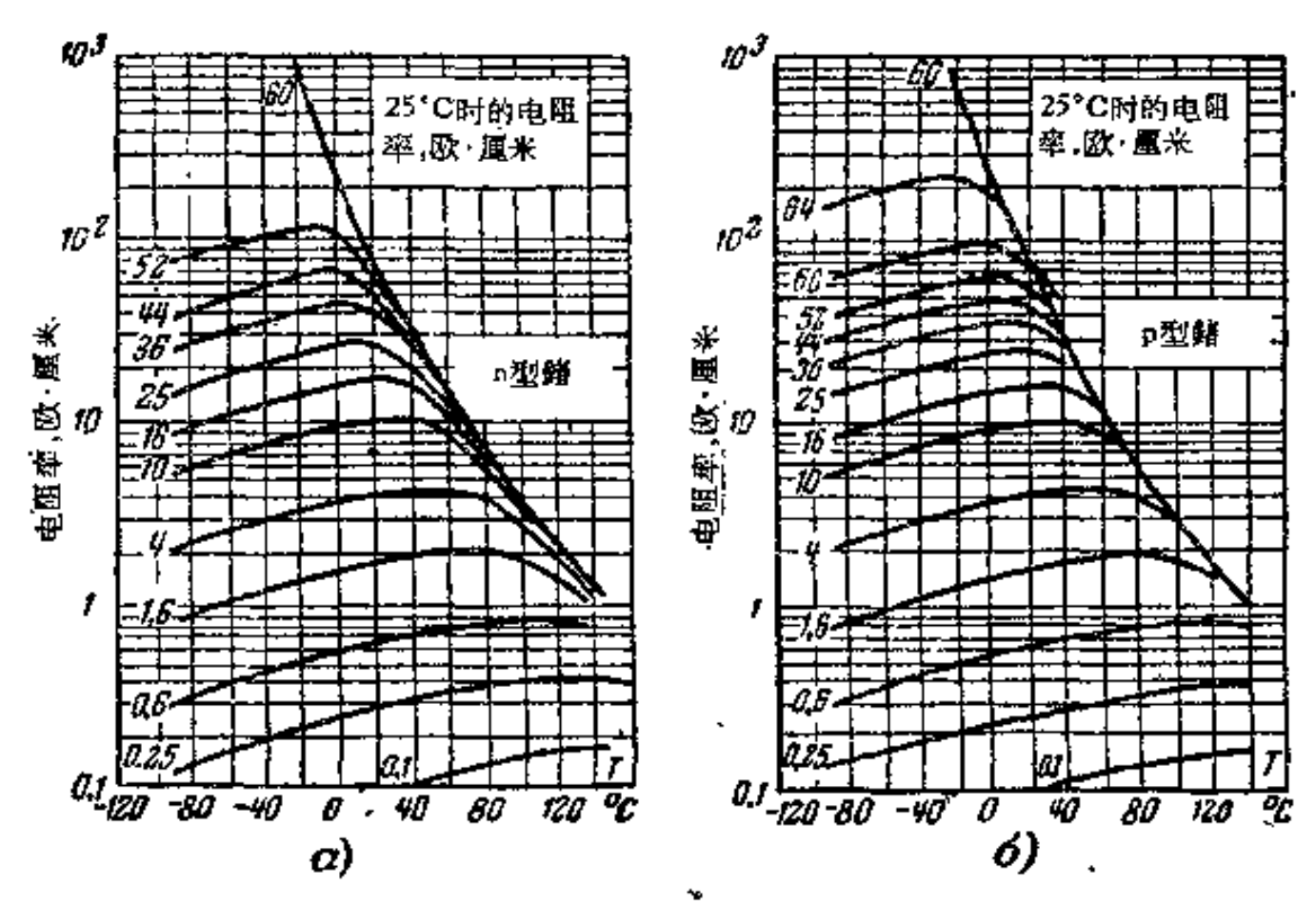


图 18 - 3的电阻率与温度的依从关系 a --- n 型; 6--- p 型

因为大多数半导体器件都是由具有不同类型导电性的半导体

形成的結所組成,故在杂**质**半导体的电阻等于本征电阻的温度下,結自然要退化而器件不再工作。

半导体器件中所采用的杂质半导体 也 的电阻愈低, 其容許的工作温度碗愈高。 图19 例如, 对于 10 欧姆的鍺最高工作温度 整 靠近 80℃, 而对于 1.6 欧姆的鍺則为 120℃.

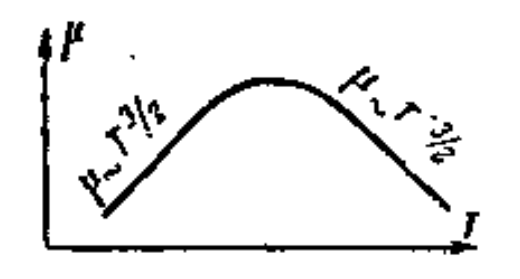


图 19 杂质半导体中电子迁移率与温度的依从关系

6. 霍耳效应

如果把載流导体置于磁場中,在导体中就发生电荷,因而呈现

出横向的电位差。这个现象称为霍耳效应,

所发生的电位差的符号与載流者电荷的符号有关,这可以决定导电的类型,因而解决了决定半导体是电子的,还是空穴的这样一个問題.

我們求研究引起霍耳效应的过程。 設載流导体安置在 磁場中, 在外加电压作用下, 具有平均恒定速度 v 的电荷将在导体中移动(图 20);

磁場作用在运动电荷上的力称为罗淪茲力力,并等于

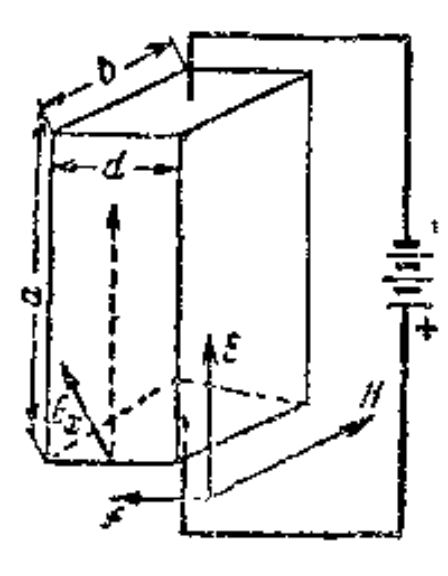


图 20 霍耳欢应的歌明

 $f = e(\mathbf{vH})$.

其中c为电子电荷;

v 为电子速度;

H 为磁場強度.

如果 0 和 H 互 相 垂 商 、 則

$$f = evH.$$

在罗淪茲力作用下,电子或空穴的运动路径要发生弯曲,引起横向电場的出現,这电場的場強 E_x 将一直增大到由其作用引起的力 eE_x 等于 f 为止,即

$$eE_x = evH$$
,

由此得出,导体中所发生的横向电場強度等于

$$E_z = \nu H$$
,

而所发生的霍耳电位差为

$$v_x = E_x d = vHd$$
,

其中 4 为样品寬叟。

看得出,霍耳电位差只与电子速度和磁場強度有关。实际上, 宜于将 v_x 用易于测量的量 H和 I 来表示:

从而有

$$v = \frac{1}{en} \quad \forall v_x = vHd = \frac{1}{en} jHd.$$

因为电流

故

$$I = jb\dot{x},$$

$$j = \frac{I}{b\dot{x}},$$

$$v_x = \frac{1}{en} \frac{IH}{b},$$
(9)

其中 6 是与磁場方向一致的尺寸。这尺寸愈小, ox 就愈大。

在給定温度下 $\frac{1}{en}$ 之值是常数, 并称为霍耳常数 R:

$$\sigma_x = R \frac{IH}{b}, \qquad (10)$$

即霍耳場強与电流及磁場強度成正比例。

在引导上列公式时沒有考虑各个电子速度的不均匀性,如果考虑到这点,则

$$R = \frac{3\pi}{8} \frac{1}{en}.$$
 (11)

测出了霍耳电压,就可以按照其规律决定导电的性质,如图 21 所示。

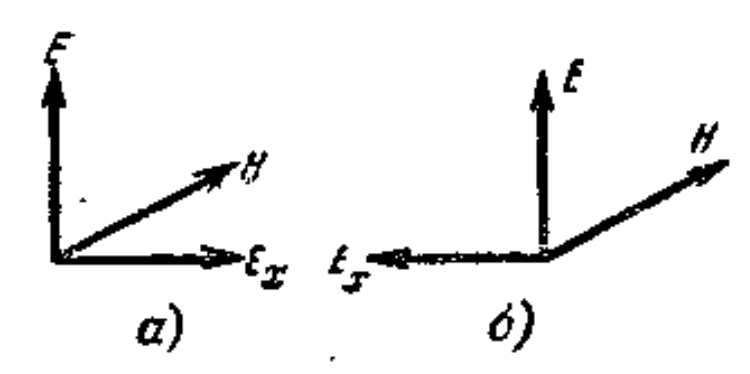


图 21 按照霍耳电压的规律决定导电性质 a—— 空穴半导体: 6——电子半导体

如果測出翟耳电位差,电流及場验,可以决定翟耳常数 R,因为

$$R = \frac{bv_s}{IH}. (12)$$

在研究金属和半导体的电性能方面,霍耳效应起着重大的作用。知道了給定材料的霍耳常数,可以决定載流者浓度,再测出电导率,就可决定其迁移率。

因为 $R = \frac{3\pi}{8} \frac{1}{en}$,故測出了 R 可以决定浓度,浓度等于

$$n = \frac{3\pi}{8eR},\tag{13}$$

測出电导率 $\sigma = en\mu$, 并利用霍耳常数的表达式(11), 我們得到:

$$\sigma R = e n \mu \frac{3\pi}{8} \frac{1}{e n} = \frac{3\pi}{8} \mu, \qquad (14)$$

从而有

$$\sigma R = \frac{3\pi}{8}\mu,\tag{15}$$

这就可以决定載流者的迁移率。

虽然霍耳效应在 1879 年就已发現,但其实际利用是在具有大的載流者迁移率的华导体材料有可能发展后才开始的,因为在这种材料中霍耳效应呈现得非常明显.

直接根据决定霍耳电位差的公式,可以按照电流值利用霍耳 效应来决定磁場強度(或反之)、事实上,

$$v_x = R \frac{IH}{b}$$
.

显然,测出 v_* 和 I 或 H,可以分别决定H 或 I.

如果令流过样品的电流 I 为恆定值,则 $v_x = H$,而且,无論对于恆定直流或者对于交变电流这都是正确的.

因此,利用霍耳效应,可以借助了半导体发送器来实现: 恆定和交变磁場強度的測量;电流、电压和功率的測量(一直到最高的頻率); 波导管中电磁波功率的測量;量的乘和除,因为 $v_x = IH$; 調制,检波以及等等。

目前,利用霍耳效应来作一系列地实际应用正在发展阶段。

参考文献

- [1] Адирович Э. И., Электрическое сопротивление твердых тел, Изд. «Знание», 1953.
- [2] Щалыт С. С., Электропроводность полупроводников, вып. 1—2 из серия «Полупроводники и их техническое применение», ПДНТП. 1956.
- [3] Стильбанс Л. С., Термоэлектрическое охлаждение, вып. 12—13 серии «Полупроводники и их техническое применение», ЛДИТП, 1956.
- [4] Регель А. Р., Полупроводниковые измерителя напряженности магнитного поля, вып. 5 серии «Полупроводники и их техническое применение», ЛДНТП, 1956.
- [5] Иоффе А. Ф., Физика попупроводников, Изд. АН СССР, 1957.
- [6] Иоффе А. Ф., Основные представления современной физики, ГТТИ, 1949.
- [7] Зейтц Ф., Физика металлов, ГТТИ, 1954.
- [8] Веселов М. Г., Элементарная квантовая теория атомов и молекул, ГТТИ, 1955.
- [9] Адирович Э. И., Некоторые вопросы теории люминесценции кристаллов, ГТТИ, 1957.
- [10] Кобленц А. я Оуэнс Г., Транзисторы—теория и применение, ИИЛ, 1956.
- [11] Стретт М., Полупроводниковые приборы, ГЭИ, 1956.
- [12] Ил, Полупроводниковые триоды и их применение, ГЭИ, 1957.
- 113. Шокли В., Теория электронных полупроводников, ИИЛ, 1953.

华导体的电性能

Н. А. 彼宁 (Пенин)

• 引 雪

半导体在固体中占有一大部分,其电阻率的数值介于金属和 絕緣体的电阻率的数值之間。半导体最突出的特征是其电阻率与 温度有密切的关系,并且电阻率随温度的升高而下降。

在为数很多的现有各种华导体之中,直到现在,只有少数几种 获得了实际的应用。在无綫电技术发展的最初阶段,在晶体检波 器中就已采用了半导电的晶体:方鉛矿、紅鋅矿、金鍋砂、黄鉄矿以 及其他的各种元素的化合物。此外,所謂原子半导体,即具有半导 电性质的化学元素有:硒、碲、硅和鍺。 硒用来制造已經获得广泛 应用的硒整流器。由硅和鍺制成的不仅是整流器和检波器,而且 还有半导体放大器·一三极管。

錯是典型的原子半导体. 无論是考查半导体中电流流通的机构,或者是考查整流和放大性能的发生,以绪为例来說明都是最方便的. 因此,下面我們将只研究錯的性能.

所有以下的叙述,至少在性质上也是和硅以及其他半**导体**有关的,

1. 錯晶格的結构

在绪晶体中,原子問有着束縛力,这种力的发生可用氫分子的形成作为例子来說明. 我們知道,在一般情况下氫气质点不是单个的原子,而是由两个氫原子构成的分子. 按照簡化的表示法,氫原子含有一个带正电的原子核——质子和一个沿其軌道围繞原子核旋轉的电子. 质子的重量大約为电子的 2000 倍,如果两个氫

原子相互閩的距离比較大,它們本身之間实际上沒有相互作用. 但是,当这个距离很小时,原子的电荷間的相互作用就要增大,以 致电子围繞原子核运动的特性可以大大改变,而且原子将結合成 一个整体。

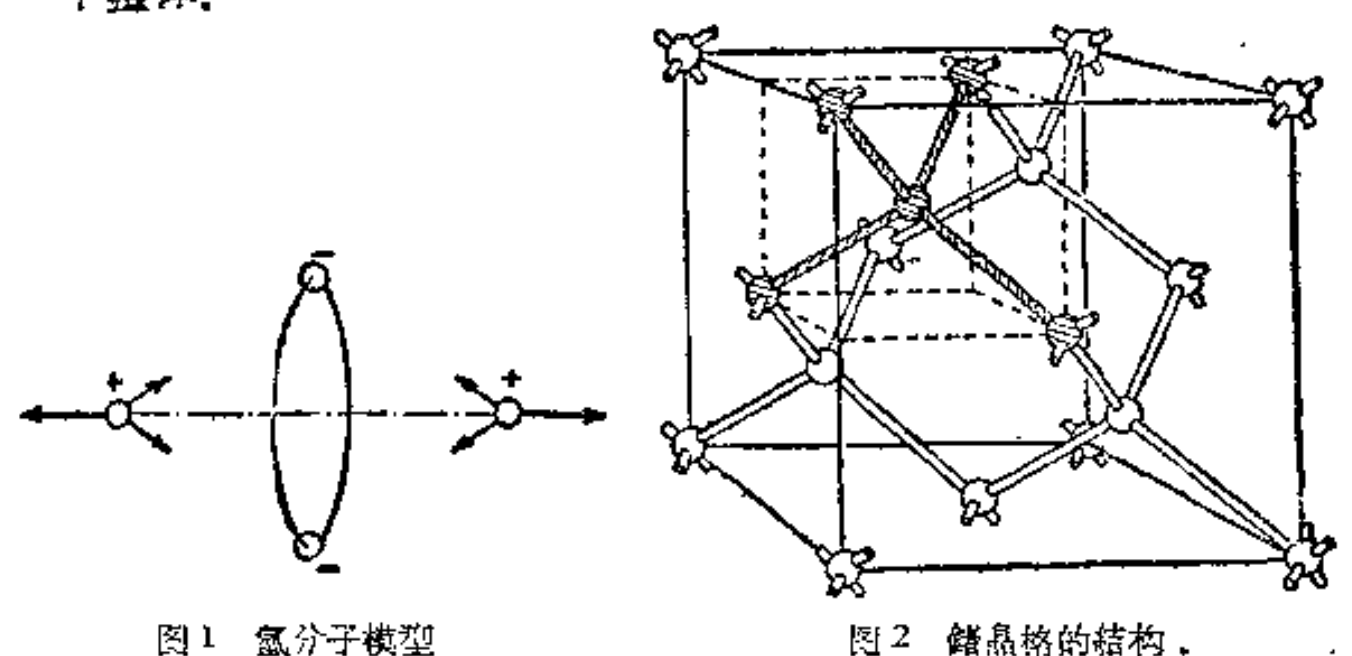


图1 氯分子模型

两个相互束缚的原子的原子核和电子的一种可能布置,簡略 地示出在图 1 中,在这种布置下,两个正原子核間有相互排斥力, 而它們对沿公共軌道运动的电子又有吸引力,因此达到平衡,由两 个氫原子构成的这种系統的能量低于 两 个 单 个 原 子 的 总 能量. 所以,为了将氫分子重新分成两个单个的原子,必須消耗一定的能 畳.

因此,在氫分子中,原子是借助于本身的电子彼此結合在一起 的。 这种由两个电子将同种原子束缚在一起的結合, 称为双电子 鍵或其价鍵。

理論上指出,双电子鍵是最牢固的,排出一个电子就減小了結 合力,而加上多余的电子结合力实际上并不加强.

当形成鍺晶体时、原子間也发生类似的結合力。 鍺是元素周 期系第四族中的元素,因而具有四个价电子。 这种元素的原子的 电子壳层总共含有 32 个电子,但只有四个电子参预化学反应或导 电过程, 其余的电子与原子核紧密地結合,形成具有合成电荷等 于 +4e 的牢固原子根,其中 e 是电子电荷,每一个鍺原子都可以 和另外四个原子形成双电子键,这种情形出現在金鋼石型的晶格

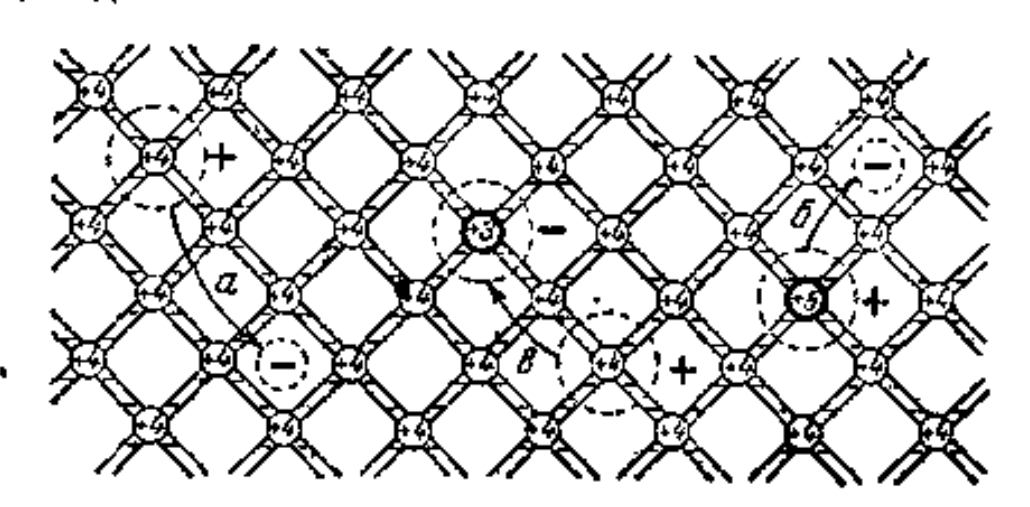
| | |

图 2 所示为缩晶格的结构。在这种晶格中、每一原子被四个邻近原子所包围,这四个邻近原子与該原子間的距离是相同的。两个邻近原子間的最小距离为 2.41 × 10⁻⁸ 厘米。在基本晶胞中总共有八个原子; **绪**的晶格常数等于 5.61 × 10⁻⁸ 厘米。

可以記得, 晶格中布有原子之处称为陣点。 凡是所有原子都 处在适当的晶格陣点上, 既没有空余的陣点, 也不含有多余的原子 的晶体, 通常称为理想晶体。

2. 半导体中导电性的发生

图 3 簡略地表示錯品格中电子鍵的結构。用相当于两个电子的两条綫表示結合力。每一原子都被四个邻近原子所环繞,因而每个原子总共被八个电子束縛着,四个是自己的,其余四个各属于一个邻近原子。由于原子的正电荷被电子的負电荷所抵消,整个晶体是中性的。



理想晶体在接近 -273℃ 的极低温度下,每个电子都被束缚着,因而不参预导电过程,即理想的錯晶体在低温下实际上是电介质. 如果有某些电子脱离了束缚,在晶体中就有了导电性.

例如, 电子鍵可以因受热而破裂。 当晶体受热时原子就发生 振动,且在足够高的温度下,任何电子就有可能得到克股原子結合 力所必須的能量、結果,有一个电子解脫出来,形成一个帶正电的 离子、換句話說,产生一个空位,这空位可以重新被电子占据(图 3,a)。这种对电子的空位通常称为"空穴"。

被解脫出来的电子具有負电荷,而形成的空穴具有正电荷,因为从整个說来是中性的原子中排出了負电荷,剩下的就是正电荷。因为被解脫出来的电子不能跑到晶体中已被占满的任何电子鍵出去,所以在热运动的影响下,它們将象气体分子一样地作不規則运动。 如果現在在晶体中加以电場,作不規則熱运动的自由电子还要沿作用力的方向移动(漂移),因而产生电流。在电場不太強的情况下,电子的漂移速度 ν 正比例于电場強度 E,即 $\nu = \mu_n E$ 。比例系数 μ_n 称为电子的迁移率;对绪来說,在完善晶体中电子迁移率的数值約为 3500 厘米 2 /伏・秒

自由电子引起的导电性称为电子导电性。电子导电性的大小用电导率 $\sigma_n = e\mu_n n$ 来表示,其中 n 是电子浓度。

由于共价鍵的破裂而形成空穴,在晶体中可能引起另外一种电荷的轉移.上面已經指出,空穴的形成相当于正离子的产生.形成的正离子可能被邻近中性原子因热拔动而解脱出来的电子原子,而在其附近又形成了另一个正离子.换言之,一个空穴破填满,而在另一处又出現一个新的空穴。结果,空穴就从一个原子轉到另一个原子,沿着晶体移动.

在外加电場作用下,空穴将沿着与电子运动相反的方向移动(图+). 空穴移动的速度与电場強度成正比例,然而,在鳍中空

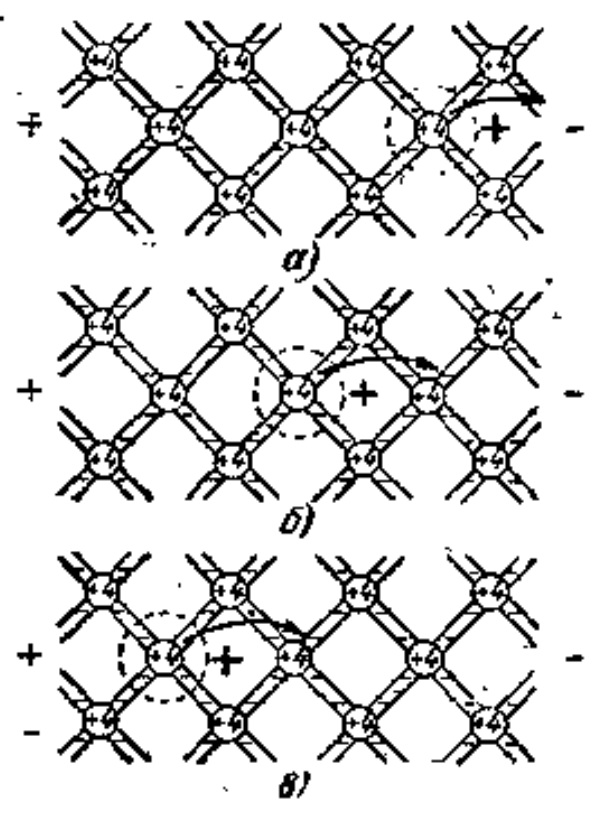


图 4 空灾电流的发生、箭头表示电子轉移的方向

由于电子往右移动的结果,空穴往左移动; a,6,B---由于电子从邻近原子的轉移而依次发生的空穴状态

穴的迁移率約为电子迁移率的二分之一.

由空穴移动而引起的导电性通常称为空穴导电性,而电流称为空穴电流。 空穴电导率用相应的公式 $\sigma_{p} = \epsilon \mu_{p} p$ 来表示,其中 p 是空穴浓度。 空穴移动的方向相当于正电荷运动的方向,因此, 空穴电流就好象是正电荷运动的结果。

3. 半导体的本征导电性。

共价鍵破裂时,在理想品体中要同时产生数目相等的自由电子和自由空穴,因而导电性也是由两种符号的电荷同时实现的. 这样的导电性通常称为本征导电性.

在任何温度下,晶体中总有着一定的电子空穴对的平衡效度。同时,由于热运动的結果,电子和空穴的产生与消失(复合)在不断的进行,而且在单位时間內电子空穴对产生的数目等于消失的数目。消失的电子与空穴的数目正比例于电子与空穴順利相遇的数目,而这个相遇的数目又与电子和空穴的浓度成正比例。

$$np = Ae^{-\frac{E_g}{kT}} = n_i^2. \tag{1}$$

在具有本征导电性的半导体中n=p=n. 对于雏, $E_n=0.72$ 电子伏,而在室温下 $n_1=2.5\times 10^{13}$ 1/厘米³.

本征电导率可以用公式 $\sigma_i = e(\mu_n + \mu_p)n_i$ 来表示,在室温下 绪的 σ , 値約为 0.02 1/欧・厘米.

在硅中,破坏共价鍵的能量 $E_n = 1.12$ 电子伏. 与此相符,在室温下純硅晶体的空穴或电子浓度为 $n_i = 6.8 \times 10^{10}$ 1/厘米³. 在室温下, 硅的本征电导率为 1.57×10^{-5} 1/欧·厘米, 即为锗的本征电导率的 1/1300.

4. 含有各种杂质的半导体的导电性

在半导体中可能有这样的情况,这就是自由电子数不等于自由空穴数,而电流的形成主要是由于一种符号的电荷运动的结果,例如,在绪中加入另外的原子,即杂质,就可以使得一种类型的电荷数多于另一种类型的电荷数。

掺入鍺中使得电子数多于空穴数的杂质,即产生主要是电子导电性的杂质,称为施主杂质.例如,用于鍺中的典型施主杂质有砷和銻.引起空穴导电性的杂质,称为受者杂质。例如,銦和鎵是. 鍺的这种杂质.

我們来研究,在鍺中引入杂质原子时,电子和空穴导电性是如何形成的.假定,晶格中的某一鍺原子为砷原子所代替(图3,6).砷具有五个价电子,其中四个与四个邻近鍺原子形成共价鍵,而第五个电子是"多余的"、不完备的.由于鍺的介电常数很大(6 = 16),这个电子与砷原子間的結合力将減弱,而易于脱离砷原子,例如,由于热振动的结果.砷原子在鍺中的离化能約为0.01 电子伏,因此在室温下,这相当于0.025 电子伏的能量,实际上所有砷原子都将是离子化的. 被解脱出来的电子可以参预导电过程,而砷的正离子仍旧不动。自然,晶体的中性并没有被破坏,即正电荷数等于负电荷数.

因此,在晶体中加入施主杂质,将使自由(移动的)电子数多于自由空穴数,即晶体的导电性将主要是电子导电性。 在这种情况下电子是多数载流者,而空穴是少数载流者。

品体中的杂质原子愈多,自由电子数超出自由空穴数也愈多. 并且,因为电子和空穴复合的数目增多,自由电子浓度的增多会使 空穴浓度有一定的减少。 在平衡状态下,多数载流者和少数载流 者浓度間的关系仍然是

$$np = n_t^2$$

但是,现在n>p,故n>n,而p<n. 例如,如果1厘米³的晶体中含有 10^{16} 个种原子,由于它們的离化能很小,实际上这个砷原

子的数目就是自由电子的数目,故按照关系 $np = 6.25 \times 10^{26}$ 1/厘米 就求出室温下的空穴浓度:

$$p = \frac{6.25 \times 10^{26}}{n} = 6.25 \times 10^{10} \text{ 1/B} \text{ m}^3,$$

即差不多是电子浓度的 1/10%

在鍺中加入受者杂质,例如鎵,就产生空穴导电性、鎵原子总共有三个价电子,因此当一个鍺原子被鎵原子代替时,在鍺晶格中和镓相邻的四个鍺原子之中只有三个完成了其价键,而另一个即没有完成其价键,由于任何邻近键的破裂,这个键可以被电子所充满(完成共价键)(图 3,8),而在邻近的原子中则形成了空穴,同时,鎵原子是带負电的,而且仍旧不动。

因此,加入受者杂质,可使品体中自由空穴数超过自由电子数,于是空穴成为多数载流者,而电子是少数载流者。

因此,主要的导电性是空穴导电性。同时,和电子导电性的情况一样,空穴与电子浓度之間的关系仍和式(1)相同。

多数載流者是电子的半导体称为 n 型半导体, 而多数載流者 是空穴的半导体称为 p 型半导体.

5. 光电导, 非平衡载流者、寿命

不仅仅是在热运动的作用下,可以在鍺中由于电子鍵的破裂而产生本征导电性;当光照在晶体上时也发生同样的作用。如果用波长足够短的光照射在鍺晶体上,则当吸收时光量子可能将其能量交与某一电子,使电子从其电子键中解脱出来。 結果产生数量相等的附加电子和空穴。 实驗指出,相当于波长不到 1.7 微米的每个光量子,在鍺中生成一对电子和空穴。

因此,在光作用下的电子浓度和空穴浓度将人于沒有光照时的平衡浓度。自由载流者浓度的增大引起品体电导率的增大。所产生的空穴和电子的数目,因而品体的电导率,正比例于吸收的光量子数,即正比例于光的强度。在光作用下产生的附加电导率,通常称为光电导。

光停止作用后光电导就消失了,也就是晶体中态穴和电子的浓度减少,重新达到对应于晶体温度的平衡浓度值。因此,在光作用下产生的附加空穴和电子,称为非平衡载流者。这个术語着重指出了它們存在的暫时性。有光作用在晶体上时它們才存在,光作用停止后它們也就消失。

实驗指出,在光照射停止后,非平衡載流者,例如空穴的浓度 按下列規律隨时間而減小:

$$p = p_0 + \Delta p_0 e^{-\frac{r}{\tau}}, \qquad (2)$$

其中 p_0 是平衡的空穴浓度; Δp_0 是在光作用下空穴浓度的最初增量; $p-p_0$ 是多出的空穴浓度,即超出平衡值的浓度; τ 是非平衡 截流者浓度減少到 $e\approx 2.7$ 倍时的时間間隔。这个量通常称为非平衡截流者的寿命。但是,应当把寿命和某一确定的空穴存在的时間区别开来。某一确定的空穴存在的时間可以和寿命 τ 相差很大。当光的作用停止后,有一些空穴立刻和电子复合,同时另一些空穴则可能存在得比时間 τ 长得多。断开光源后,在相当长的时間内仍然有可能观察到电导率的增高,这就证明了还有一些非平衡空穴和电子存在。因此,寿命 τ 是大多数非平衡载流者存在的平均时間。

在任何晶体中,寿命的数值都决定于晶体的晶格缺陷或外加杂质的浓度和效力,并且是材料的主要特性.

如果非平衡的空穴或电子受电場作用在晶体中运动,則在寿命 τ 之內它們将平均前进一个距离 $L_E = \tau \mu E$,这个距离称为迟延长度。

如果沒有外电場,也就是在浓度差的作用下由于扩散产生了 非平衡載流者的定向运动,則在寿命 7 之內,它們能够前进的平均 距离可用下列公式表示:

$$L_{D} = \sqrt{D\tau}, \qquad (3)$$

其中D是扩散系数,等于 $\frac{kT}{c}\mu$.

量 L_D 通常称为少数載流者, 例如 空穴在电子型 鍺中的扩散 长度. 在良好晶体中,扩散长度可达几毫米,这对应于寿命为几千 微秒.

制造半导体三极管时为了正确选择材料,这只是一个例子,知道扩散长度是具有意义的。

半 导 体 二 极 管

H. E. 斯克沃佐娃(Скворцова)

最初的半导体二极管,其中包括 A. C. 波波夫用来作为检波器的,是点接触型二极管。面結合型二极管的出现要晚得多.除去半导体薄片之外,任何晶体二极管的結构都含有两个金属电极,其中一个与半导体形成綫性即非整流接触,而另一个电极在某些二极管的结构中形成整流接触,而在另一些二极管中则是非整流接触。 虽然按照整流接触的结构,二极管也可以分成点接触型的和面結合型的,但从作用于其中的整流机构的观点看来,还远沒有能够找出它們之間的界限。并且,在 A. Φ. 約飞院士的一篇著作中曾談到,最初的无綫电爱好者已經在点接触的情形下得到了电子空穴结,这和具有不同类型导电性的两半导体之間在面接触情形下所得到的属于同一类型。

目前,在二极管中采用鍺和硅作为主要的半导体材料.为了得到具有确定均匀参数的二极管,必須采用均匀的半导体——单晶体. 单晶体的制备方法与生产特殊填空炉的問題有关,因为必須在填空中获得极高的温度. 例如,鍺在約为930℃的温度下熔化.我們知道,用硅制成的半导体器件在对周围温度的反应方面,要比鍺的器件弱得多. 因而,研究工作者对硅极为重視. 然而,为了获得硅的单晶体就要求更高的温度(約1400℃). 因此,关于选择坩堝材料及在填空中获得极高温度的加热方法的問題,是极其复杂的,而且在頓大程度内阻碍了半导体技术的发展.

1. 点接触型和面結合型二极管的結构

在点接触型半导体二极管(图1)中,整流作用应当发生在半导体1和金属电极2之間的接触点附近。点接触型二极管的这个金属电极通常用鎢絲或鉑絲制成,而且絲的接触端要經特殊歷失。对于用作检波器的半导体二极管,絲磨尖的末端的直径等于1.5一2微米。因为所用金属絲的直径通常很大,故为了制成接触的弹簧,用电解或机械方法将絲磨尖。

在装配半导体二极管之前,半导体品体的表面要經精密加工。例如,銷品体在切片后要經歷光幷用養沸的強双氧水腐蝕。

另一金属电极 3 具有比电极 2 大得多的面积, 它只是用来将、二极管与外电路相連接。 这个电极和晶体間的接触电阻很小, 并且沒有整流的性质。

在点接触型半导体二极管中,整流作用看来应当发生在金属电极与半导体間的边界上。但是,例如在鍺检波器中,这是有点接触的,由于治成(沿正方向通以 250 毫安的直流电流)的結果,在点接触金属电极和半导体間可以发生这样一个区域,其中的导电性与制作二极管的半导体的导电性不同。这又可以引起整流接触的复杂机构的发生。

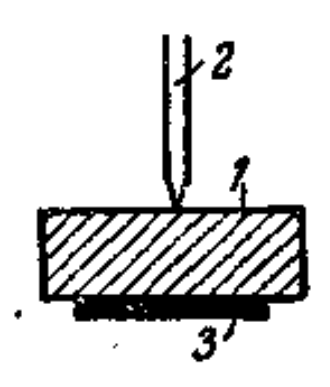


图 1 点接触型二极管

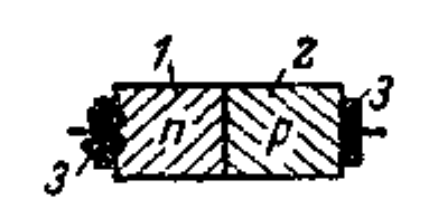


图 2 面結合型二极管

在面結合型二极管(图 2)中, 具有不同导电类型的两半导体 薄片之間生成整流接触, 发生在具有不同导电类型的两片半导体 之間的整流接触, 称为电子室穴结, 例如, 从鍺薄片的两面引入不 同类型的杂质(用扩散的方法),就可以得到电子空穴結。但是,获得电子空穴結最常用的方法之一,是将翻金属与电子型储相熔合(图 3),在锗片上放一小块銦,并置于温度为 500 — 550 ℃ 的炉中,熔化后的銦洒在鍺片的表面上,并且溶解到鍺中一定的深度。当



图 3 用合金法制成 p-n 結的步驟 p----熔化前; 6-- -最初熔化 的銀頒在錯長而上; B----在高 溫下烧炼后

鉛或錫作成, 錦是施主杂质, 在熔合之后, 靠近电极处形成了一个薄层, 薄层具有比晶体还高的电子导电性。因此, 它与电子型半导体相接的边界处沒有整流作用。

2. 形成整流接触的机构

因为整流接触是决定半导体二极管性能的基本元件,故为了了解二极管的工作原理必须研究,第一,形成这个整流接触的机构,第二,电流流經整流接触的机构.

整流层的形成及整流时所进行的物理过程,便于对电子空穴 結来詳細研究,因为在金属和半导体交界处的整流作用在本质上 具有同样的性质.

任何整流器的整流性能都与内部接触电場的发生有关,即与接触电位差的存在有关。在研究更普遍的情形——电子空穴結之前,先簡要地誹一下金属与伴导体的接触,这也是最初在整流理流方面的研究。在这种接触下,整流层形成的机构是以热电子发射理 論为基础的。如果电子在电子型半导体中的逸出功小于电子在接触金属中的逸出功,则当接触时电子从半导体轉移到金属中,因此,在半导体中靠近接触处生成正的体电荷区,其中載流者(現在就是电子)的数量远小于半导体其余部分中的数量。因此,在半导体和金属間发生高电阻区,其中出现可以得到整流作用的接触电場。

現在我們以在交界处具有导电型式突然变化的电子姿穴結为 例来研究接触电場产生的原因。

图 4 中給出了結中杂质浓度、空穴浓度、电子浓度及体电荷密度的分布图形。 在結的左边半导体含有施主杂质,而右边含有受

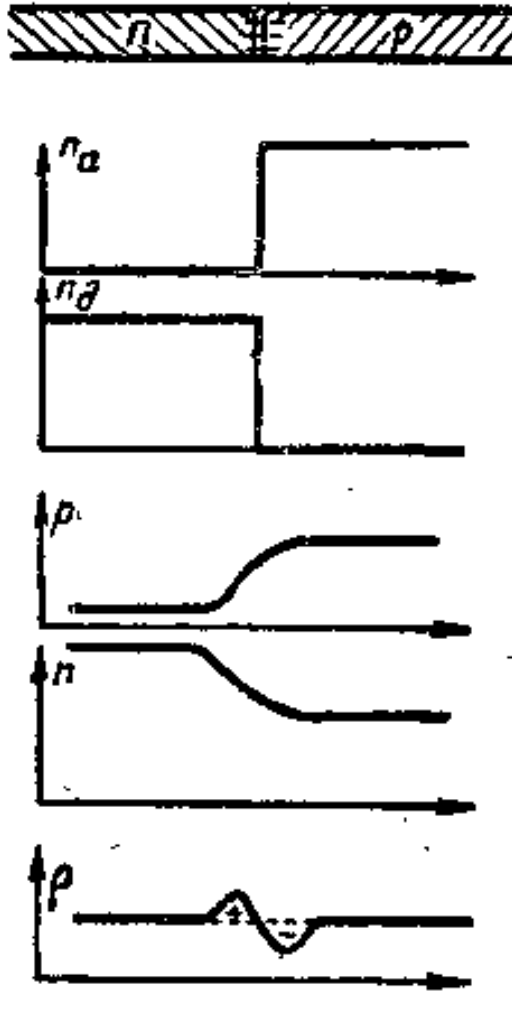


图 4 施主浓度 n_π、受者浓度 n_a、空穴浓度 ρ、电子浓度 n 及 体电荷密度 ρ 的分布

者杂质,即左边具有电子导电性,而 右边具有空穴导电性。电子浓度和 空穴浓度在整个晶体中的分布图形 是对于沒有外电場的情形,即在热 平衡条件下所描述的。

的, 位垒高度决定于两区域間接触电位差的数值, 在沒有外加电場的情形下,电子空穴結中建立了平衡状态,这时經过結的电流等于零,但这并不意味着沒有空穴和电子經过結的运动。

由于热运动的结果,将有电子从电子型半导体及空穴从空穴型半导体走出通过变界处,这些电子和空穴具有足以克服反向电場的能量。因为电子和空穴的电荷是相反的,故它們所荷载的电流指向同一方面。

相反地,在所发生的接触电場作用下,将有电子从空穴区域中流出,在空穴区域中电子是少数载流者,然而是一定有的,同时也

有空穴从电子区域中流出。 这些載流者的流通就产生了传导电流,其方向与多数載流者的扩散电流相反,后者是由于載流者的热运动及结两边的浓度差而发生的。因此,在平衡状态下,扩散电流为接触电場作用下发生的传导电流所补偿。

于是,由于建立平衡状态所产生的电荷分布在电子空穴結交界处的附近,并且,在电子区域中是未被抵消的固定受者正电荷,在空穴区域中是未被抵消的固定施主負电荷。因此,在交界面附近的电子区域中缺少电子(和半导体层中的电子密度相比),而在交界面附近的空穴区域中则相应地缺少空穴。所以,随着多数载流者浓度的降低,交界区域处的电阻将增大。这个含有体电荷且电阻增大了的区域,通常称为阻挡层。体电荷区或阻挡层的厚度与半导体的电导率有关,即与其中的载流者浓度有关。电导率愈大、因而浓度愈大,含有同样体电荷的阻挡层就愈薄。

对于电子宏穴結,位望的高度,即接触电位差之值,自然应当与晶体阴区域中的杂质浓度有关(在杂质全部游离的情形下可以 认为,载流者浓度等于杂质浓度).

这个关系表示如下:

$$\varphi_k = \frac{kT}{e} \ln \frac{n_n}{n_p} = \frac{kT}{e} \ln \frac{p_p}{p_n}, \qquad (1)$$

其中 φ_k 是接触电位差;

々是波耳茲曼常数;

T 是絕对温度;

n。和 p, 是电子区域中的电子浓度和空穴浓度;

p, 和 n, 是空穴区域中的空穴浓度和电子浓度;

e 是电子电荷.

可以看出,接触电位差也与周围温度有关。

对于鍺的电子空穴結, φ_k 之值不超过 0.72 电子伏, 也就是对 应于使共价键破裂并产生电子空穴对的能量值。

最大的电場強度发生在电子空穴結的边界处,結附近杂價浓度的变化愈陡,即結中的浓度梯度愈大,阻挡层中的电場強度电射

愈大.

制成不同厚度的电子空穴結是有重大意义的,特別是从高压二极管的观点看来,因为改变結的厚度可以改变其中的电場強度.变化从熔化物中拉单晶的速度,可以在这个晶体中得到不同厚度的結,同时浓度的分布可以从极为陡峭变化到极为均匀.

3. 整流过程

現在講到电子空穴結中的整流过程.为此我們來研究,当电子空穴結上有外加电場时,流經結的电流的性质.前面已經談到,当无外加电場时,从电子区域流向空穴区域的电流被反向的电子流所平衡.同样地,相遇的空穴流也是相等的.外加电压使这种情形大大改变.如果加到結上的电压的极性是这样的,即正极接向结的电子部分,而負极接向結的空穴部分,就会使得空穴区域中对于空穴的位垒增高,以及电子区域中对于电子的位垒增高.至于由少数载流者(即电子区域中的空穴及空穴区域中的电子)引起的传导电流,则因接触电場对它們并无阻碍,故在外加电压下这些电流之值实际上沒有改变.因此,在当外加电压的极性是正极速向电子部分时,从空穴区域出来的空穴流域小,而从电子区域出来的空穴流域小,而从电子区域出来的空穴流域小,而从电子区域出来的空穴流域小,而从电子区域出来的空穴流域形势,这就表示,如果将外加电压增长下去,流經結的电流将趋近于一个数值,这个数值等于从空穴区域出来的电子流与从电子区域出来的空穴流之总和,也就是趋近于鲍和电流 10 的数值:

$$I_0 = I_{90} + I_{A0}, (2)$$

对于給定晶体飽和电流是一常数,

我們以空穴区中的轉移为例来研究飽和 电流 In 形成 的机构,因为任何空穴区域中的电子由于热运动的原因偶然落到阻挡层边緣附近,就将被接触电場吸引到电子区域中去,故电流将只与落到阻挡层作用区中的电子数有关,而和外加电压沒有多大关系.

在寬度等于空穴半导体中电子的扩散长度 L_n , 并与阻挡层毗

邻的区域内的电子,将从晶体内落到阻挡层的单位表面(1厘米²) 上. 在离开結較远处所形成的那些电子,則由于复合作用不能走到阻挡层。因为由于热激发所产生的电子数等于由于复合而消失的电子数,即等于数值 n_p/τ_n ,其中 τ_n 为电子的寿命,故經过位垒的电流值将是:

$$I_{00} = e \frac{n_p}{\tau_n} L_n = e n_p \sqrt{\frac{D_n}{\tau_n}}, \qquad (3)$$

其中 D, 为电子的扩散系数。

可以看出,飽和电流值将随着寿命 r, 的增大而減小. 对于經 过位垒的空穴流,类似的想法也是正确的. 于是,总的飽和电流将 决定于少数载流者的浓度和两个区域中它們的复合速度. 这个电 流称为反向电流,与外加电压沒有什么关系,甚至几乎完全与外加 电压无关.

当电子空穴結上加以相反极性的电压时(正极接到空穴型半导体, 負极接到电子型半导体), 位垒高度降低, 因为結附近有一部分体电荷进行了复合。因此, 从电子区指向空穴区的电子电流增大, 而同时相反的电子流——从空穴区出来的——即仍然不变。

对于空穴流也发生同样的情形。 在这种情形下, 合成电子电流主要决定于从电子区出来的电子流, 而合成空穴电流主要决定于从空穴区出来的空穴流。 因为电子和空穴带有相反的电荷, 故两个电流将沿同一方向流动。这个由于位垒高度降低而增大了的电流称为正向电流。 經过結的总电流与外加电压的依从关系用下列公式表示:

$$I = I_{2} + I_{\pi} = I_{0}(e^{a\mu} - 1), \tag{4}$$

其中 I, 是电流的电子成分;

In 是电流的空穴成分;

 α 是冪指数中电压前的系数, $\alpha = \frac{e}{kT}$ (其中 e 是电子电

荷, 《是波耳茲曼常数, T是絕对温度》;

11是外加电压,

在足够高的电压下 $e^{aa} \gg 1$,电流按指数規律随外加电压而增长. 当电压为負值时, e^{-aa} 之值极小, 在这种情形下結中所流电

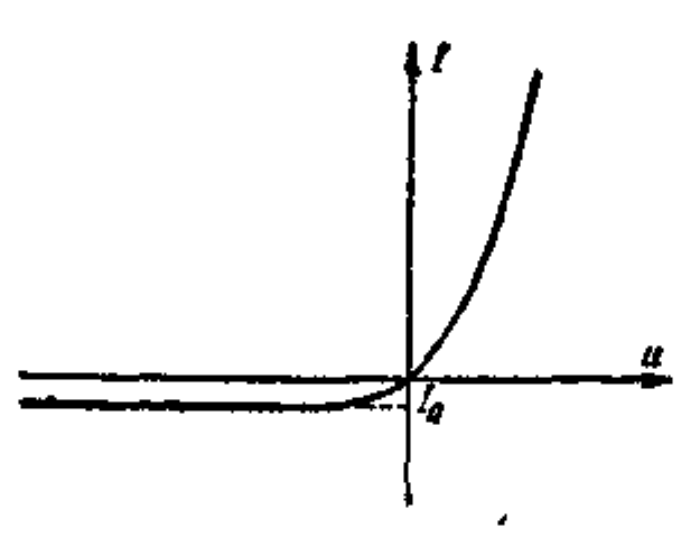


图 5 具有 p-n 結的半导体二极管 的伏安特性曲綫

流之值等于 10, 即飽和电流 (图 5). 因此,流經二极管的电 流的大小和方向与外加电压的 大小和符号有关. 这就可能将 电子空穴結用作整流器及无綫 电接收設备中的检波元件.

与結的小电阻相对应的方向,称为通流或正的方向。 与大电阻相对应的相反的方向,称为阻流或反的方向.

实驗所得电子空穴結的伏安特性曲綫与理論十分符合。在室 · 温下α之值約为 40, 这与按照公式

$$a = \frac{e}{kT}$$

計算所得結果一致.

对于电子空穴結在反向电压下观察到良好的电流飽和区、但是应当提到, 半导体检波器 (点接触型二极管)的伏安特性曲綫与理論有某些差別。 例如, 具有重要意义的 a 之值比理論值要小两倍或两倍以上, a 可以說明給定二极管的整流效率。所以, 目的在于說明点接触型二极管中 a 的实际值与理論值的偏差的研究工作, 是很重要的。

在相当大的反向电压下,电子层穴结的伏安特性曲綫开始与图 5 中所示曲綫不符合,这是由子强电場的作用使得反向电流开始迅速增长,継續增大反向电压就会使結击穿。伏安特性曲綫开始改变形状而电流急剧增长时的电压,称为击穿电压。对于大功率二极管,这个心压是主要的参数之一。

目前已制出能經受电流密度达每厘米°几百安, 拜具有击穿电压約为几百伏的绪整流器, 也制出了具有击穿电压等于几千伏的

硅二极管, 二极管中的击穿过程还沒有研究得很清楚, 击穿过程 是不可逆的,因为經击穿后二极管不能恢复其原有性能,

击穿机构可能是这样的:在大的反向电压下发生大的 电 場, 引起电流的急速增长。同时产生了相当高的温度,以致发生热击 穿。

当电流流經电子空穴結时,注入起着重要的作用。注入应了解为,在具有一定类型导电性的半导体中渗入少数截流者的过程。当电流沿正向流过时,电子从电子区域驅入空穴区域中,而空穴驅入电子区域中 由于这种渗入的結果,如果载流者的寿命足够大,就可以使少数载流者(即电子区域中的空穴和空穴区域中的电子)的浓度增大很多。而且这些少数载流者,例如空穴渗入到电子型缝中后,必然伴随着发生复合作用,也就是这些少数载流者又会消。失。但这个复合过程是逐渐进行而不是瞬时完成的,因而某些少数载流者能够进入远远超过阻挡层宽度的深处。

少数截流者进入的深度决定于,第一,运动的速度,第二,寿、命。

与电子区域中空穴浓度增大的同时,电子浓度也同样增大,这是由于有电子自連接导綫进入以补偿空穴的电荷,使得在阻挡层以外晶体的中性不被破坏。因而,在结的附近电流含有电子和空穴两个成分,而在远处只有多数截流者的成分:在空穴区域中只有空穴成分,在电子区域中只有电子成分,因为随着进入晶体中的深处少数截流者由于复合而消失。 当正向电流流經电子空穴結时,晶体层中少数载流者浓度增大的现象称为注入;对于許多类型的 字导体器件的运用,注入具有极重要的意义。

如果在空穴和电子区域中多数载流者的浓度不相等,例如,空穴区域中的空穴浓度比电子区域中的电子浓度大 100 倍,则空穴电流将比电子电流大 100 倍,即在加以正向电压时几乎所有流过结的电流都是由空穴所传递的。因此,在电子区域中注入的空穴将胜过在空穴区域中注入的电子。

4. 半导体二极管的頻率特性

用作整流器的华导体二极管,应当可以应用在从最低頻率开始的各种頻率的情形下。所以,研究二极管頻率特性的机构是非常重要的,这可以,第一,說明为什么当电压頻率增高(过了某一頻率之后)时整流效率在实际上会降低,第二,如何制造用于高頻的特殊二极管。

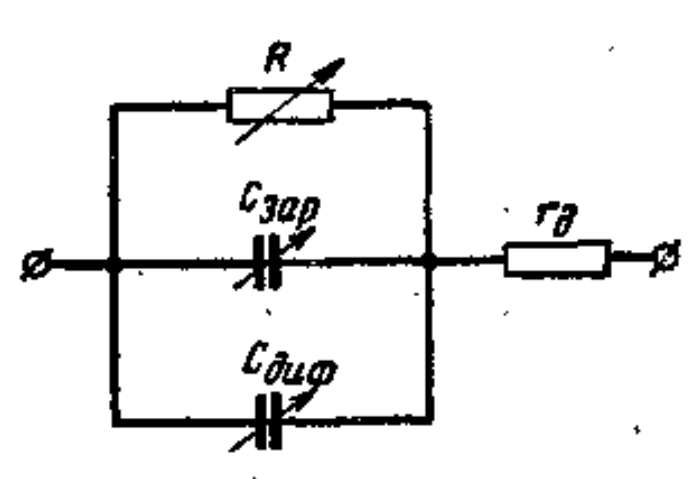


图 6 华导体二极管的等效綫路

为了描述电子空穴結的頻 率特性,可以利用图 6 所示的 等效綫路,在这个綫路中,R 是与外加电压的大小和符号有 关的整流层电阻; Csaf 和 Cgnd 是由多数和少数載流者所引起 的电容,也和外加电压的大小 及符号有关; rg 是半导体层的 电阻.

$$R = \frac{\sqrt{2}}{\alpha(I+I_0)} - \frac{1}{\sqrt{1+\omega^2\tau^2+1}},$$
 (5)

其中 I 是流經二极管的直流电流;

 I_0 是飽和电流;

- τ 是半导体中少数截流者的寿命;
- ω是引向二极管的交流电压的角頻率。

在沒有注入的情形下,描述整流层电阻与电流的依从关系的方程式变得簡单,并具有下列形式:

$$R = \frac{1}{\alpha(I + I_0^*)}.$$
 (6)

至于 Csap, 则其存在是由于阻挡层中具有体电荷。当引进交流电压时,阻挡层与一平板电容器相似,在外加电压变化时它时而

先电时而放电。反向电压的增大使体电荷区扩大,因而使阻挡层的电容减小。 反之,正向电压的增大使体电荷区缩小,而电容增大, Caap 与电子空穴结的主要特性的关系由下式决定:

$$C_{\text{sap}} = S\sqrt{\frac{\varepsilon e N}{8\pi(\varphi_b - u)}},\tag{7}$$

其中 S 为結的面积;

ε 为介电常数;

N为戴流者浓度;

 φ_k 为接触电位差。

在这个公式中,反向电压算作正的,而正向电压算作员的.

由少数載流者注入引起的,单位面积的电子空穴結电容 $C_{\text{диф}}$,与少数載流者的寿命,外加电压的頻率及流經二极管的直流电流的大小有关,并以下式表示:

$$C_{\text{диф}} = \frac{\alpha (I + I_0)}{\sqrt{2}} \frac{\tau}{\sqrt{1 + \omega^2 \tau^2 + 1}}. \tag{8}$$

从所列出的表达式可以看出,电子室穴結的欧姆电阻和电容与少数载流者的寿命及外加电压的頻率的关系是这样的: τ 減小 时电容下降,而ω增大时电阻和电容都减小.

目前,对电子空穴結的电容和电阻与τ、ω、直流电流值的依从关系进行研究,已經确实值得注意,因为无論是对于高頻率整流时所发生的快速流动过程进行物理考查,或者是为了制造用于高頻工作的二极管,这都是非常必要的.

5. 温度对半导体二极管性能的影响

現在講到溫度对半导体器件性能的影响的問題。在研究半导体二极管的工作与温度的依从关系之前,有必要着重提一下象热敏电阻这一类的半导体器件、因为它們是半导体中电阻随温度而变的特別明显的例子。

前面已經談到,由于品格热振动在半导体中产生了决定电导率并用浓度来表征的自由电荷,同时,随着温度的升高又由于载

流者浓度的增多电导率将急剧增长。 例如,温度每升高1℃ 半导体的电导率增长3-6%,升高10℃ 約增长75%,而当温度升高100℃ 时电导率增长約50倍。

例如,利用惠斯吞电桥测出半导体的电阻值,可以判断其温度,因而,为了技术的目的可以用半导体来作温度計.

在华导体器件中,温度的影响也作用到其他的量,如 φ_k . 前面已經指出,二极管中的整流效应应当起源于发生在电子空穴结交界处的接触电位差 φ_k ,而接触电位差是温度的函数(1).

从伏安特性曲綫的表达式(4)也可以明显看出温度对整流性能的影响。 、

根据以上所述可知, 半导体的电导率及决定二极管整流性能的接触电位差,都是温度的函数. 这就决定了,当周围温度升高时半导体二极管的参数要发生明显改变;因而,如果沒有特殊的温度补偿,在許多綫路中应用半导体二极管是会受到限制的. 例如,第二极管只有在温度不超过 +70一+80℃ 时能够工作。由于在硅中破裂共价键所必須的能量較大, 硅器件具有較高的温度上限(+110一+120℃),但对于許多电子綫路的应用范围,这个温度也不能认为是足够高的.

容許的耗散功率随周围温度升高而降低,也应当认为是半导体器件的重大缺点。而对于具有高的固有温度的填空电子管,当温度变化到 470℃ 热交换情况也沒有任何重大改变。对于半导体器件,当周围介质温度在这同一温度范围内变化时,热交换情况要发生重大改变,因器件耗散功率发生的热量也被难于散出,因而使得器件严重过热以致温度超出容許值以上。 所以,决定了器件的最大容許耗散功率,应当考虑到决定于器件结构与其在綫路中的支撑的散热情况,以及器件工作时的周围介质的极限温度。

虽然半导体器件有着周围温度对其性能发生重大影响的这一严重缺点,但它具有許多胜过电子管的优点。由于沒有加热阴极, 半导体器件消耗的功率要小得多。此外,因为它們不要求抽填空 (当电子管工作时填空可能变坏),其率固性及使用期限高于电子 管,由于其结构的特点、它們对于机械过载具有大得多的稳定性。 华导体器件的尺寸和重量很小也是其重大的优点。

参考文献

- [1] «Кристаллические дегекторы», Изд. «Советское радио», 1950.
- (2) Теория электронных полупроводников, ИИЛ, 1953.

半导体三极管

Я. А. 費多托夫 (Федотов)

引言

目前,在具有极不相同电特性的各种器件中, 半导体 放大器(三极管、四极管,等等)是用得很广泛的一种.

在1948年制成了第一个实用的半导体放大器件——点接触型三极管,这是装在一个绪晶体上的两个点接触型二极管. 稍迟一些,出现了关于制成面結合型三极管的报导. 从那时起,半导体放大器件发展得极为迅速. 还在1952年,就已发表了关于研制工作频率达100兆赫的高頻器件(四极管)与工作电流为几安的功率三极管等方面的第一次结果. 新型的器件。也已开始出现: 隧道(場)三极管、双基极二极管、多发射极器件、雪崩式三极管、对称三极管,以及等等.

所有这些器件的公共之处是它們都具有电子空穴結,电子空穴結是这些器件中不可缺少的主要元件。

看来,面結合型三极管是最簡单的器件,无論从研究两个电子 空穴結的相互作用看来,或者从研究确定器件各种性能(如其作用 原理、特性与参数)的某些特点看来,都是如此。

1. 面結合型及点接触型三极管

1. 两电子空穴結的相互作用

面結合型三极管(IIIIT)是在一个单晶錐上用各种方法得到的两个电子室穴结。为了簡单,我們只研究所謂一維的情形。 *假

定整个过程在无限大的品体 休积中进行。 这样, 就可以 不考虑晶体表面上的 現象. 电子区域和空穴区域間的分 界面可以表为与紙面垂直的 无限延伸的平行平面(图 1,a)。 在这种情形下可以訊 为、半导体中电荷分布状态 的改变只沿 * 軸的方向传 播。在三維空間的其他两个 方向上(与紙面垂直的 / 軸 和 z 軸) 不发生任何改变. 这就必須扒为, 对 9 坐 标和 2坐标的微商等于零,因而 只研究对 x 坐标的微商, 坐 标原点(x=0)位于左边那 个結的平面上、

首先假定,結閒距离 x=V 远大于少数 載流者 在中間区域内的扩散长度. 同时,每一个結都可以看成 是独立的,不考虑它們的相 互作用.

对于所研究的結构,每 一个結中都将得到阻碍多数 載流者經过結的区域进入相 邻区域的位垒、和单个結的 情形一样。 在这种情形下, 半导体体积中能带的位置如 图 1,6 所示。

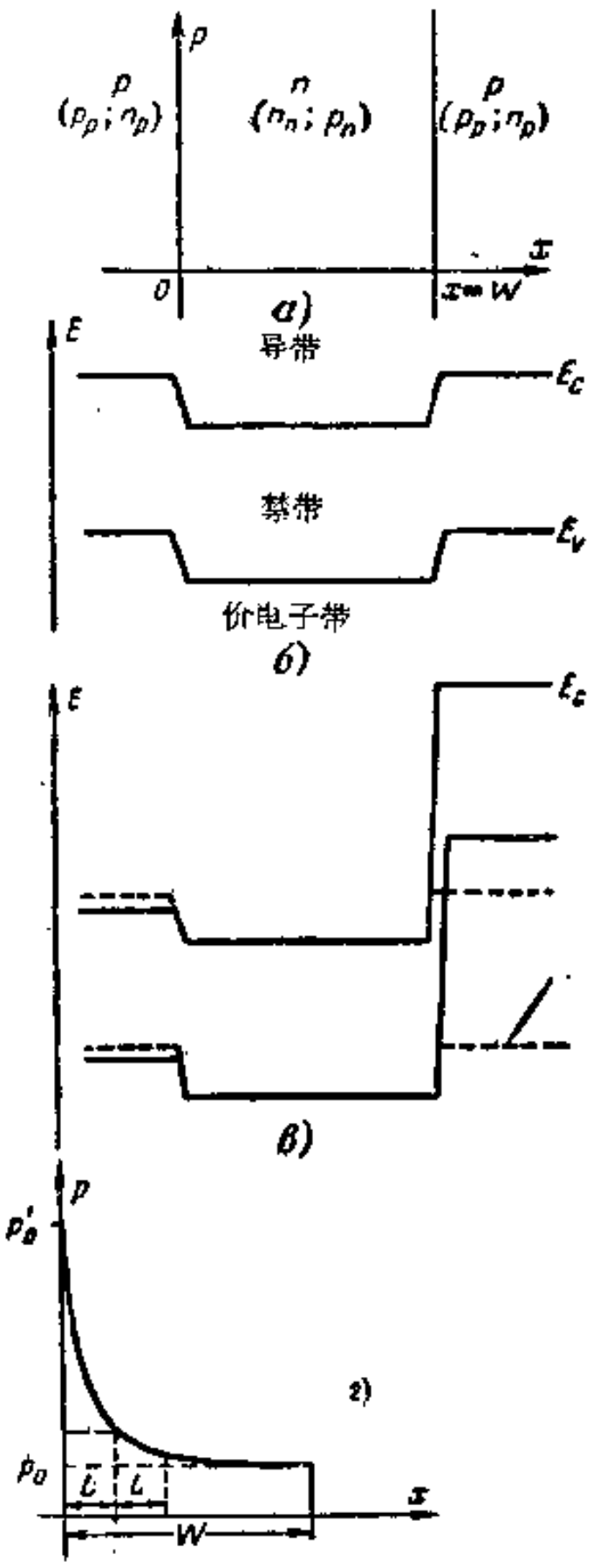


图 1 面結合型三极管的一維模型 a——p—n—p 型的一維結构; 6——在平衡 状态下半导体区域中的能带(E。——导带的"底", E。——介电子带的"填"); B——在 外加电压下能带位置的改变,左边的結处于 通流方向,右边的结处于 其流方向(虚綫表示在平衡状态下能带边界的位置); r——当 注入时中間区域內少数載流者的效度分布

設对左边的电子空穴結沿通流方向加以电压,这时,左边位 垒的高度降低(图1.8),从右向左通过的电子数和从左向右通过 的空穴数都增多。因为在这个情况下,少数截流者的轉移(电子从 户区到 n 区,空穴从 n 区到 p 区)实际上并没有改变,故流經結的 电流增大,而在左边及中間区域内,出现附加的非平衡少数 载流 者,这是由左边 p 区向 n 区以及由 n 区向左边 p 区的注入所引起 的。

为了使討論簡化,假定 p 区中的宏穴浓度远大于 n 区中的电子浓度。 这个假定是符合合金 p-n 結的实际情况的,因而完全可以采用。这个条件可以写成:

$$p_p \gg n_{n_*} \tag{1}$$

同时注意到,少数戴流者的浓度間的关系則是相反的:

$$n_p = \frac{n_i^2}{p_p} \ll p_n = \frac{n_i^2}{n_n}$$
 (2)

由外加电压山所引起流經結的总电流

$$i_1 = i_{n1} + i_{p1} = (I_{n0} + I_{p0})(e^{\frac{eu_1}{kT}} - 1),$$
 (3)

一般說来是包含电子电流和空穴电流两个成分的。但当不等式 (1)成立时,电子电流的成分;。可以略去,因而认为,流經結的全部 电流都系由左边 P 区通过結进入 n 区的空穴所荷載。

当必須佔計由中間区域非平衡載流者的注入所引起的电流相 对值时,利用所謂注入系数,它表示由載流者注入到中間区域引起 的电流在流經結的全部电流中所占的分数:

$$\gamma = \frac{i_p}{i_n + i_p} = \frac{1}{1 + i_n/i_p}.$$
 (4)

在一次近似下可以认为,从左向右的注入电流;,和从右向左的电流;,,是与相应区域中多数载流者的浓度成正比例的.于是

$$\gamma = \frac{1}{1 + n_n/p_p} = \frac{1}{1 + n_n n_p/n_i^2}.$$
 (5)

可以看出,注入系数随着比值 n_n/p_n 的减小而趋近于 1 ,而总是小于 1 的。根据这个量的定义也可以得出这同一結論。因为我

們假定, 比值 n_n/p_n 远小于 1, 故在以后的討論中将扒为 $\gamma \approx 1.0$.

根据对于单个 p-n 結工作的分析知道,当在結上沿通流方向加以外电压 u,时,在我們所研究的情形下,在 n 区中的分界面附近要产生某一超出平衡少数载流者浓度的少数载流者浓度:

$$p_0' = p_n e^{\frac{\sigma u_1}{kT}} = p_n + p_n (e^{\frac{\sigma u_1}{kT}} - 1).$$
 (6)

象面結合型二极管中一样,在中性 n 区中非平衡室穴体电荷的出現引起了电場的出現,这个电場把补偿的附加負电子体电荷吸引到正的体电荷区域中来。过程建立的时間 极短,为 10⁻¹⁰—10⁻¹¹ 秒的数量級,因而可以认为,与中間区域中出現某一数量少数非平衡载流者的同时,在其中也出現同样数量的多数非平衡载流者。同时,中間区域仍然保持电的中性。因此,当在左边結上加以正向电压时,中間区域靠近結处出現某些附加的非平衡电子和空穴浓度。这些载流者将沿 z 軸的方向传播。

因为平均說来这个移动不可能在中間区域的任何区段上引起 体电荷的出現,故电子与空穴将同时移动。为了简单,以后我們将 只研究空穴的移动,空穴是該区域中的少数截流者。因为在給定 材料中,非平衡截流者存在的时間受寿命 τ 之值的限制, τ 是材料 的参数,故非平衡少数截流者所走过的平均距离将受扩散长度 L 的限制。 非平衡截流者的浓度 p' 将沿着 x 軸由于复合按照下列 規律而衰減:

$$p'(x) = p_n + p_n(e^{\frac{eu_1}{kT}} - 1)e^{-\frac{x}{L}}.$$
 (7)

少数载流者的浓度将趋近于平衡浓度 p.,.

因为我們选取結問距离远大于扩散长度,故在紧邻右边結处,少数載流者的浓度与 n 区中少数載流者的平衡浓度 p n 沒有差別(图 1, r). 因此,电流流經左边的結时完全不影响右边的結.

在右边的結上沿封鎖方向加以电压 u_2 . 这将便位 垒 增高 很多。 当封鎖电压高于 1 伏时,流經結的电流将实际上只决定于少数載流者的移动。因为我們假定 $n_p \ll p_n$,故經过結的反向电流主

要由从"区到》区的空穴流所組成:

$$i_2 = i_{n_1} + i_{p_2} \approx I_{p_3} (e^{-\frac{eu_2}{kT}} - 1) \approx -I_{p_3} = e^{\frac{n_3^2}{n_n} \sqrt{\frac{D_p}{\tau}}}.$$
 (8)

經过結的反向电流值主要决定于材料的性能(7,n_n)及温度(n²)。对于給定的温度和給定的半导体,在电压低于击穿电压下,飽和电流是一常数,它决定加有反向偏压的结的伏安特性曲綫的形状。

如果現在开始減少距离 W,則可以看出,当結上加有同样偏 压时右边結中的电流将增大,这是由于从左边 v 区向 n 区引进了 非平衡少数载流者浓度的原故。

当 $W \ll L$ 时可以认为,經过右边結的电流决定于浓度 p_0 。 因为 p_0 的大小决定于加在左边結上的电压 u_1 ,并表征流經左边結 的电流 i_1 ,故可作出結論,經过左边結的电流的任何改变要引起經 过右边結的电流的改变。

虽然在上面我們也假定了基极厚度远小于扩散长度 L,但根据許多理由必須考虑到,在距离 W 处由于复合非平衡載流者要有某些減小,虽然为数是不多的(百分之一或更小)。由于这点,电流的相对改变将略小于其改变的起因,即略小于 p_0 的改变。 利用传输系数 β 就考虑了这个效应,传輸系数表示,在左边注入的非平衡載流者之中有多大一部分到达了右边的結。

此外,应当記得,两个結的相互作用会引起非平衡載流者分布規律的某些改变。例如,如果沒有第二个結可以訊为,在距离。 $x \gg L$ 处,非平衡載流者的浓度实际上降落为零,而現在,我們在 n区中距离W处安置了第二个結,且 W 可与扩散长度相比拟,則 空穴中只有不大一部分将由于复合在 n 区中消失。大部分空穴到 达右边的结,被结中电場捕获而投入右边的 P 区中,因为电荷在 结中的漂移速度远远超过其扩散的传播速度,故可以推测,在右边 结的边界处 (x = W) 少数載流者的浓度将等于零。所以,为了决定电流 i ,如果直接按照公式(7) f i i i 第出右边结中的非平

衡裁流者浓度,再将所得数值代入表达式(8)中进行計算,是不可以的。正确的答案只能从扩散方程式的解答中得出。

当直流电流和电压的变化足够小时,根据非平衡少数截流者扩散方程式的解答,可以得出传输系数随 W/L 而变的下列关系:

$$\beta_0 = \operatorname{sech}(W/L) \approx \frac{1}{1 + \frac{1}{2} (W/L)^2} \approx 1 - \frac{1}{2} (W/L)^2, \quad (9)$$

只有当注入的非平衡載流者浓度与基区中平衡載流者浓度 (p_n) 相比是足够小的时候,上述解答才是正确的。 如果电流和电 压的变化是正弦信号,且其振幅与直流电流和电压相比是足够小的,则一般說来表达式(9)适合于趋近于零的信号頻率。

在上面所引出的例子中,我們研究了利用一个結(左边的)的 电流来控制另一个結(右边的)的电流的机构的主要特点,这是面 結合型三极管作用原理的基础。

图 2, a 簡略地示出了,其結构相当于以上所述的半导体三极管。这种器件称为 p-n-p 型三极管。外面的黑色矩形表示线性接

触(即非整流接触),这些接触分别与晶体的电子导电性区域和空穴导电性区域相接,并和三极管的引线联在一起,利用这些接触就可将外电压引向 p-n 結.晶体中具有电子导电性或空穴导电性的区域就是三极管的工作电极。

三极管中左边的 p 区称为发射 极,因为它向中間区域发射电荷,中 間区域是結間的相互作用区、收集

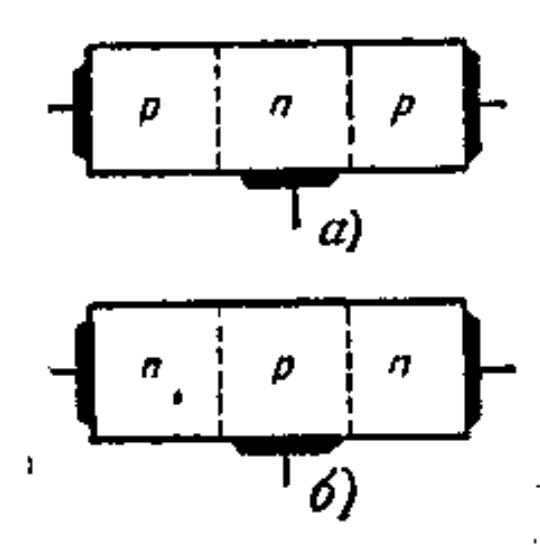


图 2 面結合型三极管的示意图 a——p-n-p 型; 6——n-p-n 型

发射出的电荷的右边 p 区, 称为集电极, 中間区域称为基极,

实际的面結合型三极管 (IIIIT),不管其构造和工艺如何都由 单品鍺制成,在其中,两个具有相同类型寻电性的区域被具有相反 导电性的中間区域所分开。在上面所研究的例子中,我們是假定 两个P区被其間的n区所分开。如果两个n区被P区所分开(图2,0),也可以得到同样的结果。在这种情形下,加于发射极和集电极的电压的极性应該改变。 鍺中具有电子导电性的区域,即发射极将向空穴鍺的基极注入电子,决定电子在基极中的行为的关系,则和前例中决定非平衡少数空穴的行为的关系相同。这种三极管称为n-p-n型三极管。因为这两种类型三极管的基本关系完全相同,以后只研究p-n-p型的结构,而在有必要时预先說明一下n-p-n型结构的个别特点。

注入系数γ和传輸系数β是三极管的內部参数。实际上采用 另外的参数——在外部端鈕的电流放大系数 α——要方便得多。

我們所研究的情形相当于将三极管接成共基极綫路,因为基极是輸入和輸出电路的公共电极。在共基极綫路中,对于小的电流变化 Δi₁和 Δi₂,电流放大系数显然等于:

$$\alpha = \frac{\Delta i_2}{\Delta i_1} = \gamma \cdot \beta, \tag{10}$$

因为集电极电流的变化等于发射极电流空穴成分的变化乘以传輸 系数 β:

$$\Delta i_2 = \Delta i_{12} \cdot \beta,$$

而发射极电流空穴成分的变化又等于发射极电流的整个变化乘以 注入系数:

$$\Delta i_{1p} = \Delta i_1 \cdot \gamma$$
.

2. 面結合型三极管的伏安特性曲綫族

一般說来,根据三极管联接法的不同,以及自变量和因变量 (电流和电压)选择的不同,对于同一三极管在入端和出端可以得 到形状极不相同的大量伏安特性曲綫族。在本节中只研究一个伏 安特性曲綫族——接成共基极綫路的三极管输出特性曲綫族。这 族曲綫是輸出电流(集电极-基极电路中的电流)与输出电压(集 电极-基极端纽上的电压)的关系曲綫,是在不同的输入电流(发 射极-基极电路中的电流)值之下得出的。 这族特性曲綫对于我們极其重要,因为它反映了三极管中用 发射极电流控制集电极电流的主要过程。

假定发射极电流等于零,得到第一根曲綫.为此,将发射极电路开路,在集电极电路中接上可调的电压源及测量仪表,对于不同的集电极电压测出集电极电流值,并作出相应的曲綫(图 3).

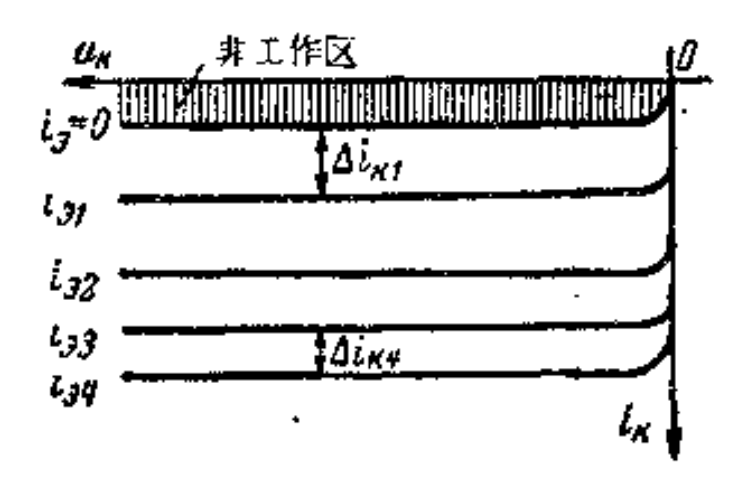


图 3 面結合型三极管的 伏安特性曲綫族

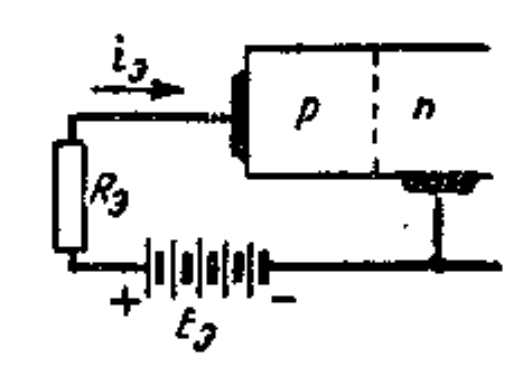


图 + 发射极电路偏压的示意图

在某一发射极电流值之下就得到次一曲綫,为此,在发射极电路中接入与限流电阻 R。 串联的电池 E。(图 4). 在发射极电流 io, 下得到与第一根曲綫相似的第二根曲綫,但沿电流轴移开一些. 将发射极电流依次継續增大,得到对应于发射极电流 io, io, 等等的一系列曲綫.

假定发射极电流是这样改变的,即使其增量保持常数: $\Delta i_{01} = (i_{01} - 0) = \Delta i_{02} = (i_{02} - i_{01}) = \Delta i_{03} = (i_{03} - i_{02}) \cdots$. 但曲綫族間沿电流軸方向相隔的距离并不相等,这就表明,当发射极电流改变时电流放大系数 α 之值不是常数.

通常我們不研究发射极电流为負值的区域。負的发射极电流 相当于在发射极上沿封鎖方向加以电压。这时,电流經发射結的 流通将决定于封鎖二极管中一般的过程,而与基区中的注入及非 平衡載流者的出現无关。在負的发射极电流之下,沒有注入现象, 我們說发射极对集电极沒有影响。

必須指出,如果集电极电压选取得足够大,以致伏安特性曲綫 走出了击穿前的区域,而进入了击穿区域,即当集电极电压增大时 曲綫的斜度将迅速增大。当电压足够高时,单个结中所发生的电流增长的雪崩过程,是特性曲綫斜度增大的原因。

集电結旁路漏电的存在,使得在集电极-基极电路中出现附加的电流分量,这电流分量是随电压作綫性改变的。

所以, 当 $i_0 = 0$ 时伏安特性曲綫的方程式具有如下的形式:

$$i_{E0} = -(I_s + r_y \cdot u_K), \qquad (11)$$

其中 ry 是結的旁路漏电阻,显然,对于族中其余的特性曲綫,这个量也应加入在方程式中:

$$i_{ii} = -\left(I_{s} + r_{y}u_{ii} + \alpha_{0}i_{\bullet}\right). \tag{12}$$

电流 in 是集电结的空载不可控电流,它可以表征集电结的性能. 正是这样,在共基极綫路中当发射极开路时测得的集电极电流的这个数值,通常被指定作为半导体三极管的参数之一. 同时还指出测量这个电流时的集电极电压值. 在给定电压下作为三极管参数的这个电流記为 In,并称为集电结的反向电流或集电极漏电流。电流 In——这是在给定集电极电压下,三极管可以工作的集电极电流实际最小值. 从下列观点看来 In 之值也是具有重要意义的:即当温度变化时这个电流要发生最强烈的变化,这基本上决定了三极管对温度的不稳定性.

关于 ao 之值应当說到的是, 合 yo = 1 并从关系式 (9) 决定了 Bo 就可以推测, 随着基极厚度 W的減小, ao 之值将无限趋近于 1. 对于一維面結合的情形, 所有这些在实际上都是正确的. 实际的三极管(例如图 5 簡略示出的面結合型合金三极管)的发射极和集电极具有有限的尺寸, 如果集电结的面积选得大于发射结的面积, 则空穴的主要部分将到达集电结. 但是, 从发射结边緣注入的那部分空穴将不沿对着集电极的方向运动, 而是向錯体积深处或紧邻发射结的晶体表面方面运动. 这时 ao 之值将减小,这不仅是由于非平衡载流者在基极中介乎发射极和集电极間的体积内的复合,而且也是由于表面复合以及在体积中离开电极方面的复合. 这个二维的模型对于計算要复杂得多, 因为必须考虑结的几何形状及表面复合.

但是, 結的直径通常远大于結問距离 W. 这就自然减少了边 緣效应的影响。此外, 总是这样来选取发射結和集电結面积的比

值,以使得实际的三极管接近于理想的一维情形. 事实上,按照三极管给定几何尺寸和材料参数算出的电参数是与测出的参数十分符合的.

只要将发射結和集电結的面积加以相反的改变(即实际上将集电結接成发射結,发射結接成集电結),就是在同样的結問距离下α。 之值也会大大改变。因为实际的情形已不符合于一维的模型。这时,静态特性曲綫族将分布得较密。在具有特性曲綫扫描仪的情形

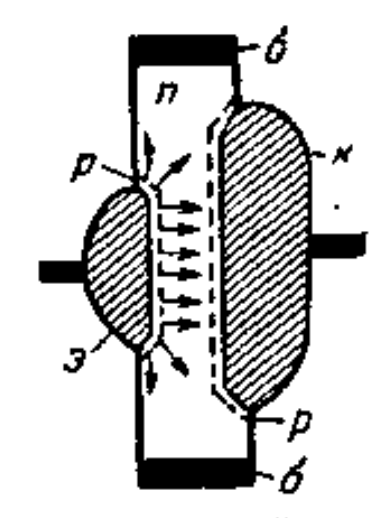


图 5 发射极 和集电极 具有有限尺寸的面結合 型合金三极管

下,如果不知道三极管管座的接法,可以在共基极綫路中交换发射极和集电极的位置,并在示波器螫光屏上观察輸出伏安特性曲綫族来决定三极管的电极。应当指出,对于自动調整綫路中的某些应用,宜于制造所謂的对称三极管,也就是具有完全相同的发射极和集电极的三极管。无論采用那一种接法,这种三极管都具有完全相同的特性曲綫。

必須还指出面結合型三极管靜态特性 曲綫 的一个特点: 当 $u_R = 0$ 时,只有对应于 $i_0 = 0$ 的第一根曲綫集电极电流才等于零. 对于所有其余对应于发射极电流具有某些数值的曲綫,当电压 u_R 为很小的正值时集电极电流才等于零.

面結合型三极管电极中电流的分布。 基极电阻。三极管接成共发射极

半导体三极管是具有三个引綫的設备,和任何其他綫路元件 一样,克希荷夫定律对它是正确的。

流向三个引綫的电流之总和应等于零:

$$i_9 + i_R + i_6 = 0,$$
 (13)

作用在每两个引綫間的电压也是这样;

$$u_{0,6} + u_{0,8} + u_{8,6} = 0. (14)$$

下标 9.6、9.K 和 K.6 分别表示加于发射极与基极間、发射极与 集电极間以及集电极与基极間的电压。

我們来研究在发射极加以单位跃变电流的情形下,共基极接法的三极管电极中电流的分布。对应于这个情形的綫路图如图 6 所示,图 7 所示则是电流的时間图。当加以具有陡峭波前的脉冲时,实际三极管中所发生的过渡过程则不加研究。

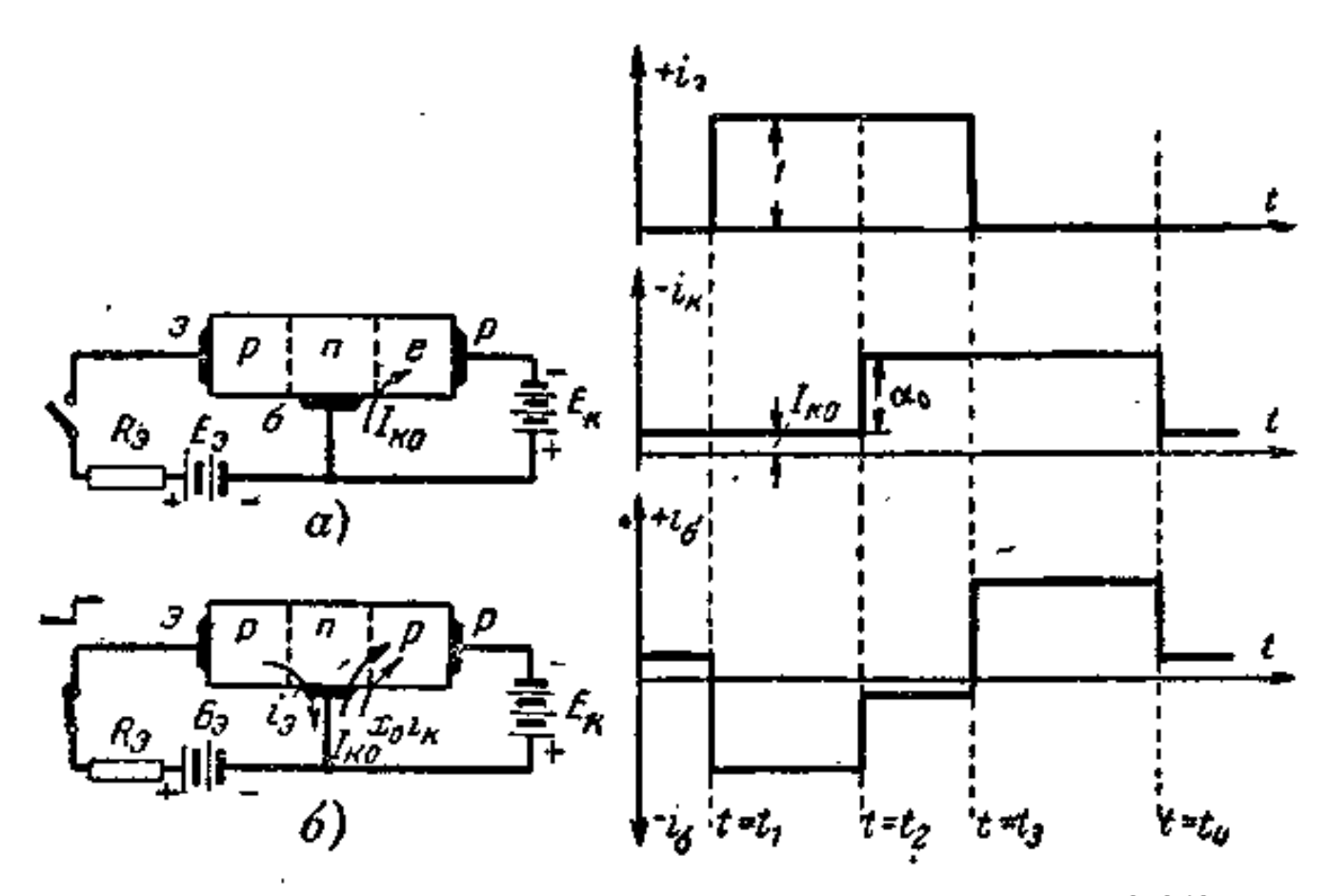


图 6 在三极管的发射极上加以 跃变电流的乐意图 a·——开关开启, $t_0 = 0$; 6·——开关閉合, $t_1 = 1$

图 7 在发射极上加有転变电流 时,三极管电极中电流分布的时 間图(不考虑过渡过程)

在t=0的瞬間,三极管发射极中的电流为零.这时,輸出电路中将有对应于集电极与基极間所加某一电压 U_{50} 的电流 I_{10} 流通.可以认为,当电极中电流有任何改变时,电压 U_{50} 都不改变。采用电流流向三极管的方向作为正方向,而电流从三极管流出的方向作为負方向。

从瞬間 t=0 开始到对应于三极管发射极中出现电流的瞬間 $t=t_1$ 为止,集电极引綫中的电流等于 $-I_{20}$,而基极引綫中的电

流为 + Im.

在瞬間 $t=t_1$, 三极管发射极引綫中电流的数值从 $t_2=0$ 突变到 $t_2=1$. 在这一瞬間,有一定数量的空穴从发射极进入到基极中,这些空穴在发射极中的浓度对应于电流 $t_2=1$. 空穴正电荷的电場要将电子引进休电荷区域中,而使得电子在基极体积中运动,在基极体积中,建立电的中性所须时間极短,因而在所有实际情形下都可以认为电的中性是一瞬間建立起的。为了补偿空穴体电荷所必须的电子經过基极引綫进入到基区中。注意电流綫是閉合的。在发射极引綫中,这个电流是传导电流——通常金属中的电子流。在发射极区域中,这个电流是传导电流——多数(对于发射极区域) 載流者(空穴)电流。在直接与发射結相邻的基区中,这个电流也是多数(对于基极区域) 載流者(电子)的传导电流、而最后,在基极引綫中,这个电流又是通常金属中的传导电流、因此,在瞬間 $t=t_1$ 基极电流改变了一个数值 $\Delta i_6=-1$ (电子运动的方向与技术上规定的电流方向相反)。

从瞬間 $t = t_1$ 开始到某一瞬間 $t = t_2$ 为止, 基极中将有电流: $t_0 = I_{100} - 1$.

最初进入基区的空穴,由于扩散将沿着从发射极到集电极的方向移动。因为发射极电流保持不变,接連不断的空穴将从发射极进入基区中。与此同时,接連不断的电子从基极引綫进入基区中。补偿了空穴体电荷之后,补充进入基区的非平衡电子将随同空穴一起向集电极传播。随后,某些空穴将与电子复合,而成对的非平衡电荷也将同时消失。从电流在发射极一基极电路中流通的观点看来,非平衡截流者向集电极方向的运动以及它們的复合,是沒有任何意义的。

集电极-基极电路中的电流保持不变,仍然等于 I_{M0} . 三极管电极中电流的总和等于零:

$$1 + (I_{E0} - 1) - I_{E0} = 0.$$

在瞬間 1 = 12,最初的空穴和伴随它們的电子到达了集电极. 结中的电場吸引空穴而阻碍电子通过結,非平衡空穴通过結进入 右边的 P 区(集电极区域),而非平衡电子在基极中形成負的体电荷。 負的体电荷的电場沿基极引綫方向吸引电子; 經过基极引綫进入的电子数,正好等于經过結進入集电极区域的空穴数。基极再变为电的中性。在集电极一基极电路中就出現了这样的电流,其载流者在集电結区域和集电极 P 区中是空穴,而在基区中是电子。考虑到电流放大系数 $\alpha_0 = \gamma_0 \beta_0$ 是小于 1 的量,集电极电流所改变的数值为

$$\Delta i_{\rm H} = -\alpha_0 \cdot 1.$$

基极电流也改变这同一数值,但应取相反的符号。 因此,从瞬間 t = t₂ 开始、电极中的电流及其增量应如下:

$$i_0 = 1;$$
 $\Delta i_0 = 0;$ $i_0 = I_{E0} - 1 + \alpha_0;$ $\Delta i_0 = + \alpha_0;$ $i_{E} = -I_{E0} - \alpha_0;$ $\Delta i_{E} = -\alpha_0.$

电流的总和及电流增量的总和仍然等于零。应当指出,在基极中同时建立了等于发射极-基极和集电极-基极电路中的电流之差值的电流¹⁾:

$$i_6 = I_{80} - (1 - a_0), \tag{15}$$

自然,实际上在单位时間內,基极中将只有保証等于 $i_0 = 1$ 和 $i_1 = -I_{10} - \alpha_0$ 之差的电流的那些电子数流过。 可以指出,在另一方面,为了在基极中引起电流 $i_0 = (1 - \alpha_0) - I_{100}^{20}$ 。 应当将发射极一基极的位垒高度改变这样一个数值,这个数值与单位发射极电流的流过位垒相适应。

如果在某一瞬間 t = t₃, 发射极电流消失,注入也就停止。在 这个情形下,电子停止进入基极,基极电流要减少一个等于发射极 电流的数值:

$$\Delta i_6 = -i_8 = -1. \tag{16}$$

因为在基极体积中仍然有非平衡載流者,这些載流者还要向 基极中注入直到瞬間 t = t₃为止,且不能立刻到达集电极,正电荷

¹⁾ 这是按照取 i_{10} 的实际方向作为正方向来说的,即 $i_{10} = I_{10} + \alpha_{0}$,而 $i_{0} = I_{10} - (1 - \alpha_{0}) - -$ 譯者注。

²⁾ 这是按照 66 的实际方向写出的 --- 譯者注。

和負电荷的分开以及集电极-基极电路中的电流将一直維續到最后一对非平衡載流者到达集电結,即瞬間 t = t₁之时为止。此后,集电极电流减少了数值 + α₀, 三极管又回到了在瞬間 t = t₁所处的状态。

从以上所有的叙述可以得出結論,在面結合型三极管中有三个电流流通:

is---发射极-基极电路中的可控电流;

 $i_{\rm E} = \alpha_0 i_{\rm 0}$ ——集电极-基极电路中的可控电流;

Ixo---集电极-基极电路中的不可控电流(漏电流).

再研究一个对理論和实际都具有意义的特殊情形. 假定运用 在稳定状态(t₂ < t < t₃)的电流和电压值是这样选择的,以使得

$$I_{10}=1-\alpha_{0.}$$

这就是說,在基极引綫中不可控集电 极 电流 I_{m} 与电流 $i_{n}=1$ 和 $\Delta i_{n}=-\alpha_{0}$ 之差相平衡,后者是由于非平衡截流者 复合 所 发 生 的. 在这种情形下,基极引綫中的合成电流将等于零:

$$i_6 = I_{E0} - (1 - \alpha_0) = 0$$

这也表示,基区与輸入和輸出的公共点处于同一电位。因此, 在这种情形下,基极引綫的导綫可以断开而工作情况不遭受任何 破坏。当研究接成共发射极綫路的三极管工作时,我們再回头来 誹这个情形。

关于基极电流的問題极为重要,首先,因为鍺体积具有一定的电阻,基极电流流过鍺体积就要在其中产生电压降.因此,当在輸入端加以电压时,不可认为这个电压加在发射結.发射結上的电压等于两电压的代数和:外电压与鍺体积中发射极和集电极間因基极电流流过所产生的电压降.

从表达式(15)可以看出,根据复合电流与漏电流之間的关系基极电流可以是正向的或負向的。因此,发射結上的电压可以大于或小于加在輸入端的电压。应当指出,在研究面結合型三极管的性能时,通常把三极管分为两部分:理論模型,其中不考虑基极体电阻;与基极电路串联的基极体电阻(或分布电阻),§1中所引

出的基本关系仅适用于理論模型.

因为基极电流在与其平行的两結間流过, 故滅小結間距离等 于对基极电流减小华导体的横截面, 发射結与集电 結間 距离 愈 小、基设体电阻之值愈大。

如果三极管的发射极和集电极是圆形的,則在一次近似下基极体电阻之值将只决定于基极厚度(結間距离)与材料的电阻率 $\rho = 1/\epsilon \mu N$,并可按下列公式計算:

$$r_6 = \frac{1}{8\pi e \mu W N} = \frac{\rho}{8\pi W}. \tag{17}$$

現在来研究接成其发射极嶘路的三极管。在这种情形下,基极电流将是輸入电流。集电极电流仍然是輸出电流。这个綫路的电流放大显然将决定于,集电极电流增量与引起它的基极电流增量之比值。因为在同一的結間电压值之下,电极中电流的分布不会因将基极接地改为发射极接地而改变,故对于其发射极綫路的三极管的电流放大系数,可以利用上例加以整理而得出:

$$b_0 = \frac{\Delta i_{\rm H}}{\Delta i_6} = \frac{-\alpha_0}{-(1-\alpha_0)} = \frac{\alpha_0}{1-\alpha_0}.$$
 (18)

从这个表达式看出,如果 α_0 足够接近于 1 ,则 b_0 之值可以远大于 1 . 例如,当 $\alpha_0 = 0.9$, $b_0 = 9$; 当 $\alpha_0 = 0.95$, $b_0 = 19$; 而当 $\alpha_0 = 0.99$, $b_0 = 99$. 可以注意, α_0 不超过 10% 的差值,会引起 b^0 之值大于 10 倍的改变.

$$i_{\delta} = I_{E_0} - i_{\bullet}(1 - \alpha_0),$$
 (19)

应当記得,电流 Im 之值也与集电极电压值有关。在另一方面, co之值随状态不同而改变,例如, co 随集电极电压的改变而改变,特别是随发射极电流的改变而改变。

基极电流改变的数值 Aid 与必要的发射結位垒高度的改变值 有关,后者应保証发射极电流的改变为 Aid, 于是

$$\Delta i_0 = \Delta i_0 (1 - \alpha_0).$$

共发射极綫路中的輸出电压是集电极与发射极間的电压。可以設想,将供电源接于輸出端面将輸入端(基极)开路。在这种情形下,电流和电压由式(19)对应于基极电流为零的情形来确定。按照式(19),三极管的状态对应于特性曲綫上这样的一点,在这点要满足条件:

$$I_{100}=i_{2}(1-\alpha_{0}),$$

卽

$$i_{\bullet} = \frac{I_{\Theta}}{1 - \alpha_0}.$$
 (20)

当基极电流等于零时, 集电极电流将等于:

$$i_{\rm K} = \alpha_0 i_0 + I_{\rm EQ} = \frac{\alpha_0 I_{\rm EQ}}{1 - \alpha_0} + I_{\rm EQ} = (b_0 + 1) I_{\rm EQ},$$
 (21)

及

$$i_{\kappa}=i_{\vartheta}$$

因此,当三极管接成共发射极綫路时,在零輸入电流(i6 = 0)下的集电极电流等于,将三极管接成共基极綫路时在零輸入电流(i6 = 0)下的集电极电流之(b0+1)倍.

应当注意,当基极断綫时,如果三极管仍接有供电源,集电极电流就可能急剧增长,而可能使三极管提坏.这也就是为什么在使用面結合型和点接触型三极管时,建議总是首先将基极接入綫路而在最后开断。

4. 体电荷区的扩大

当研究非平衡少数载流者在基区深处传播的过程时,利用空 穴电流密度的方程式:

$$j_p = e\mu_p p E - eD_p \frac{dp}{dx},
 \tag{22}$$

这是对一維情形写出的,即假定 dp/dy = 0 和 dp/dz = 0.

因为基区保持电的中性,且外电压全部降落在发射极和集电极,故在足够精确的程度下基极的电場強度可以认为是等于零的.

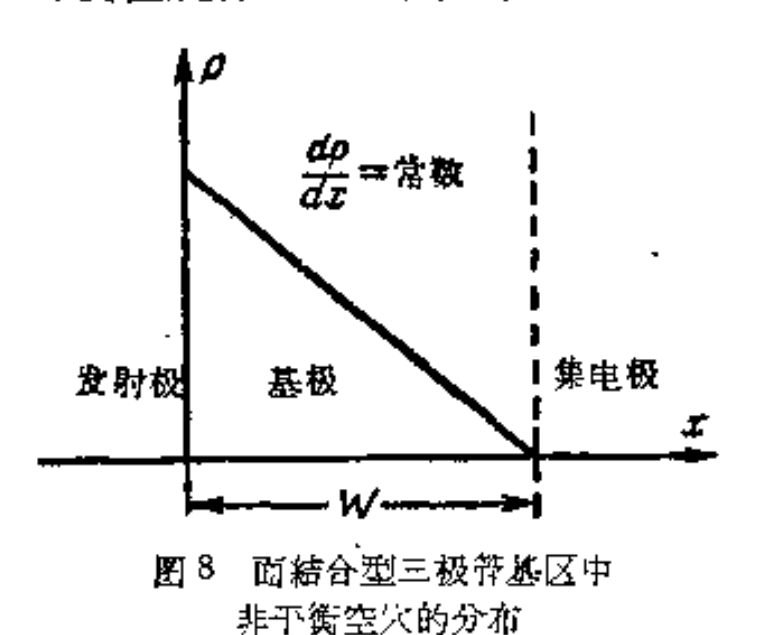
在这种情形下

$$j_p = -eD_p \frac{dp}{dx}.$$
 (23)

利用这些边界条件可以积分得出, 空穴电流密度与发射结中 的空穴浓度 po 和基极厚度W有关, 其关系为

$$j_p = \frac{eD_p p_0'}{W}. \tag{24}$$

表达式(23)表明,当电流密度 p_0 不变时基区中空穴浓度的梯度 dp/dx 是一常数,因为 e(电子电荷)和 D_p (空穴迁移率)是物理常数. 浓度梯度恆定不变則是說,基极中的空穴是按綫性規律而分布的,在发射結边緣处(x=0)其值为 $p=p_0$,并逐漸降落到在集电結处(x=W)的值 p=0. p-n-p型三极管基极中空穴分布的綫性規律如图 8 所示.



比較表达式(23)、(24) 和(6),可以得出如下結論:

- 1. 当发射极电压改变时,发射结中的空穴浓度发时,发射结中的空穴浓度发生改变。在发射极电压保持恆定的情形下,发射极中的空穴浓度保持不变。
- 3. 当空穴电流密度不变时(因而发射极电流 i₀=S₀i₀

不变,其中S。是发射結的面积),空穴浓度梯度dp/dx(即空穴在基极中的分布特性綫的斜角)以及,一般說来,电子浓度梯度dn/dx保持不变。

3. 当发射极电流(空穴电流密度)不变时,改变基极厚度 W 应当引起发射结中空穴浓度的改变(24).

如果在三极管的集电結上加以反向偏压,则和所有半导体二极管一样,是在封鎖方向加以偏压,它就具有結的厚度随其上的电压值而变的特性。这就使得发射結和集电結間的距离減少某一数值 ΔW.

集电結体电荷区寬度改变的影响,以及与其有关的当发射結 工作时基极厚度改变的影响,在一般情况下是足够复杂的。因此, 为了了解这个影响的特性,我們来研究两个极限的情况,即对应于 直流电流流过发射結和直流电压加于发射結的情况。

在第一个情形下我們假定,流經发射結的是,由某一电流发生器在三极管輸入端所产生的恆定发射极电流 i_0 = 常数. 在这种情形下,空穴电流密度 i_0 = i_0/S_0 也是常数. 現在假定,集电結上的电压由于任何原因改变了一个数值 $\Delta u_{\rm E}$, 而引起 集电结的扩大和基极厚度的减小. 因为发射极电流 i_0 和空穴电流密度 i_0 这时仍是常数,故空穴浓度梯度也保持不变(图 9). 基极中靠近发射结处的空穴浓度则减少了一个数值 $\Delta p'$.

根据式(6)的关系可以判断,由于靠近发射极处空穴浓度的改变必然有发射結上电压的改变,故集电結上負电压的改变要引起发射結上电压的改变。可以这样說,集电結区的扩大引起了发射結和集电結間电压負反饋的出現。在另一方面,这可以解释为什么当有电流时发射結中阻要发生改变,因为当电流不变时只有电阻的改变才能引起两区域間电压的改变。

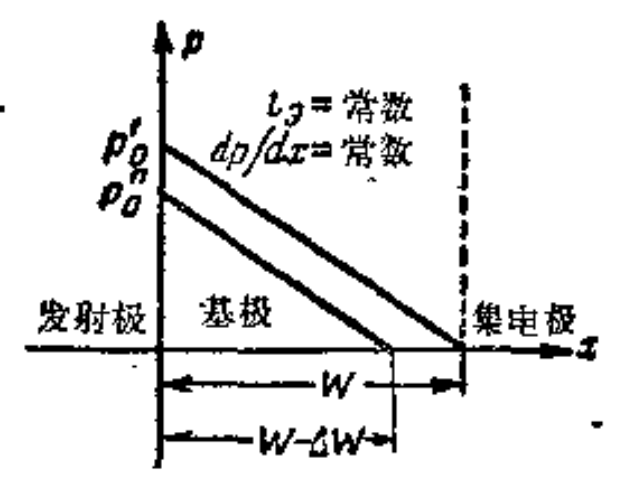


图 9 在发射极直流电流下基区中 空穴分布随結的厚度改变面改变

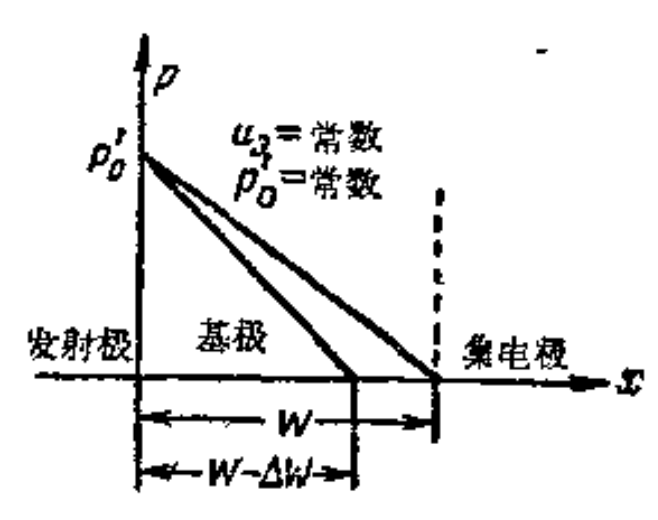


图 10 在发射极直流电压下基区中 空穴分布随結的厚度改变而改变

在第二个情形下我們假定,給定幷維持发射极上的直流电压.这时,基极厚度的改变不应当引起最初浓度的改变.因为加于其上的边界条件仍然有效,故在这种情形下,当靠近发射极处空穴浓度不变时由于浓度梯度的改变要引起空穴,电流密度的改变(图10),当结上电压不变时經过結的电流的改变,也可以看作是結的电阻的改变。

$$\mathcal{E}_{0} = p_{0,R} \Delta u_{R_{\bullet}}$$

量 μ_{θ,E} 是一比例系数,它具有从集电极向发射极的电压反馈 系数的物理意义。

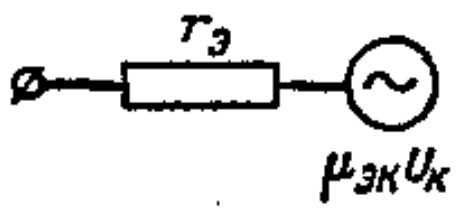


图 11 在小正就信号下考 處了集电結作用 的发射結 等效緩路 因此,对于頻率足够低的小正弦信号,发射結可以表为两个元件的形式(图11),这两个元件是:

a) 通常二极管的微分电阻,其值仅决定于經过发射結的直流电流 iso:

$$r_0 = \frac{kT}{eig_0} \approx \frac{26}{ig_0(毫安)}$$
 欧;

6) 与电阻 r_0 串联并反映結開相互作用的等效电动势发生器 $\mu_{\bullet,\kappa}U_{\kappa,\bullet}$

μ_α , 之值决定于基钑厚度的相对变化 ΔW/W 与引起这个变化的集电极电压的变化 Δux 之比值:

$$\mu_{\bullet,R} = \frac{kT}{e} \frac{1}{W} \frac{\Delta W}{\Delta u_R}.$$
 (25)

通常, μ, x 之值具有 10⁻³—10⁻³的数量級, 对与三极管的工作状态有极密切的关系, 尤其是与集电极直流电压有极密切的关系.

因为集电結空間电荷区扩大的效应,在結上电压不变的情形 下要引起发射极电流的减小,故其对外表现在一定程度上与基极 体电阻对发射极电流的影响相似,所以,等效电动势发生器 µn, xUx 可以改算成某一有效基极电阻,既反映基极体电阻的存在,及反映 結問相互作用的影响。

5. 集电极中具有陷井的面結合型三极管 与点接触型三极管

除去上面所研究的 p-n-p 型結构之外, 还可以設想具有四个不同导电性区域的 p-n-p-n 型結构的三极管(图 12).

研究发生在这种结构中的物理过程极为有益,因为在某种程度上可以了解发生在点接触型三极管中的过程。 虽然不能肯定說,点接触型三极管和这种四层的结构是完全相似的,但因为对点接触型三极管

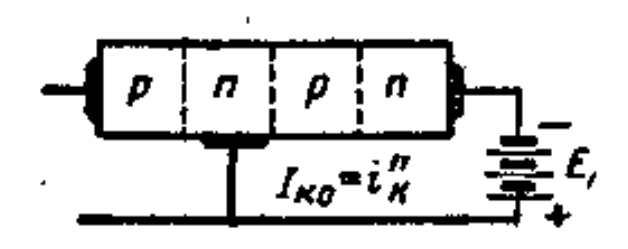


图 12 集电极中具有两个结 (陷井)的 p-n-p-n 型結构的 面結合型三极管示意图

集电极中的过程研究得不够,沒有其他足够簡单的模型用来清楚 說明所得电流放大系数大于1的现象,故利用 p-n-p-n 型結构来 作为点接触型三极管的模型。

如果把 p-n-p-n 型三极管接成和通常 p-n-p 型三极管接法相同的綫路,即把右边 n 区作为集电极并在其上加以对基极(中間 n 区) 而言的負偏压,而发射极(左边 p 区) 暂时保持断路;则接通供电源后由三个区域组成的三极管部分可以看作是独立的 n-p-n 型三极管,其发射极和集电极接到了供电源。这个假想三极管的基极在綫路上沒有接通,这是工作在零基极电流状态下的三极管.类似的情形我們已在上面研究过.

因为在給定情形下,与我們有关的是 n-p-n 型三极管,而不是 p-n-p 型三极管,故显然,处于正电压下的电极应当是这个假想三极管的集电极,而处于負电压下的电极是发射极. 换句話說,加于假想三极管的电压极性是这样的:中間的 p-n 結在反方向加以偏压,且几乎全部供电源电压都降落于其上,而右边 p-n 結則在正方向加以偏压. 电路中的电流由式(21)的关系决定. 把属于这个假想三极管的量記以"",我們就写出:

$$i_{\mathbf{x}}^{"}=i_{\mathbf{x}}^{"}=(b_{0}^{"}+1)I_{\mathbf{x}_{0}}^{"}$$

可以看出,对于我們所研究的整个 p-n-p-n 型結构,这个电流 是当发射极开路时的集电极电流。属于我們所研究的整个結构的 量不記以标記。因此

$$I_{R0} = i_{R}^{"} = (b_{0}^{"} + 1)I_{R0}^{"},$$

即 p-n-p-n 型結构的起始集电极 电流 等于单个 結的 起始 电流 的 (b_0+1) 倍。这是 p-n-p-n 型結构的特点之一。

因为假想 n-p-n 型三极管的发射极是輸出电极,而假想三极管的集电极接向接地点,故完全可以款为,假想三极管是接成共集电极綫路。假想三极管的基极,即中間的 p 区,是輸入电极。

对于接成共集电极的三极管,电流放大,即輸出电流的变化与引起它的輸入电流的变化之比值将等于:

$$\frac{\Delta i_n''}{\Delta i_n''} = \frac{\Delta i_n''}{\Delta i_n'' - \Delta i_n''} = \frac{1}{1 - \Delta i_n''/\Delta i_n''} = \frac{1}{1 - \alpha_0''}.$$

因此,假想三极管基极电流的变化应当引起等于其 $1 \frac{1}{1-\alpha_0'}$ 倍大的輸出电流的变化。

如果現在在左边 p-n 結加以正向偏压,則它将向中間 n 区注入空穴,空穴将向中間 p-n 結的方向扩散,并被 p-n 結的場吸引而落到中間的 p 区。这时,容易看出,左边三层象接成共基极綫路的 p-n-p 型三极管一样地工作。这个左边假想三极管的发射极电流,显然将等于 p-n-p-n 型結构的发射极电流,。

因此, p-n-p-n型結构好象是两个彼此迭在一起的面 結合型三极管,其中第一个是接成共基极的 p-n-p型三极管,而第二个是接成共集电极的 n-p-n型三极管.

把实际的 p-n-p-n 型結构分成两个假想的三极管,如图 13,a 所示。因为区域 n₁ 和 n₂ 实际上是用基极引綫与接地点相連的同。 一 n 区,故完全可以把 p₁ 和 p₂ 区域用导体相連,而将 n₁ 和 n₂ 区域 分别单独接地(图 13,6)。

在这个方案中,我們的結构是两个三极管,其中一个的輸入是

另一个輸出端的負載.

整个结构的电流放大决定于下列关系:

$$\alpha_{0} = \frac{\Delta i_{R}}{\Delta i_{9}} = \frac{\Delta i_{9}^{"}}{\Delta i_{9}^{"}} = \frac{\Delta i_{6}^{"}}{1 - \alpha_{0}^{"}}$$

$$= \frac{\Delta i_{R}^{"}}{1 - \alpha_{0}^{"}} = \frac{\alpha_{0}^{"} \Delta i_{9}^{"}}{1 - \alpha_{0}^{"}} = \alpha_{0}^{"} \Delta i_{9}^{"} = \alpha_{0}^{"} \frac{1}{1 - \alpha_{0}^{"}}. \quad (26)$$

因此,在每一假想三极管的电流放大系数(a。和 a。)都小于1的条件下,整个 p-n-p-n型结构的电流放大系数可能远大于1.可以推测,相类似的过程也发生在点接触型三极管中.

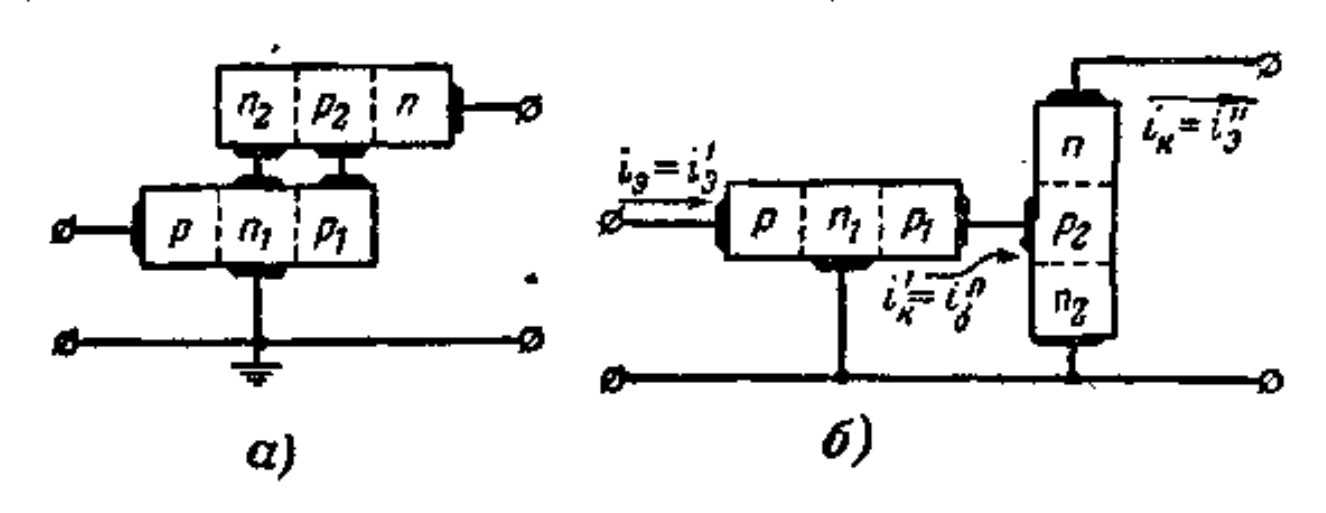


图 13 作-n-p-n 型三极管分成 p-n-p 和 n-p-n 型两个三极管

点接触型三极管在一般情形下是装在同一绪晶体上的两个点接触型二极管(图 14)。

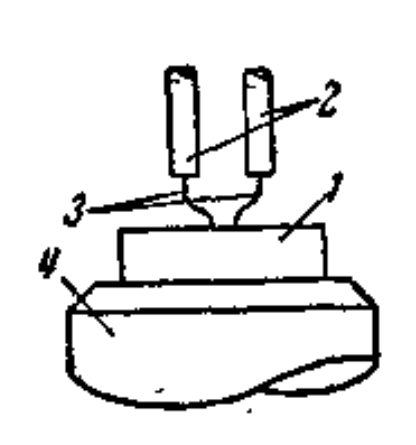


图 14 点接触型三极管的示意图 1——鍺鼠体; 2——发射极和集电极的引続; 3——弹簧接触; 4——作为基极引级的接接柱,晶体焊在它上面

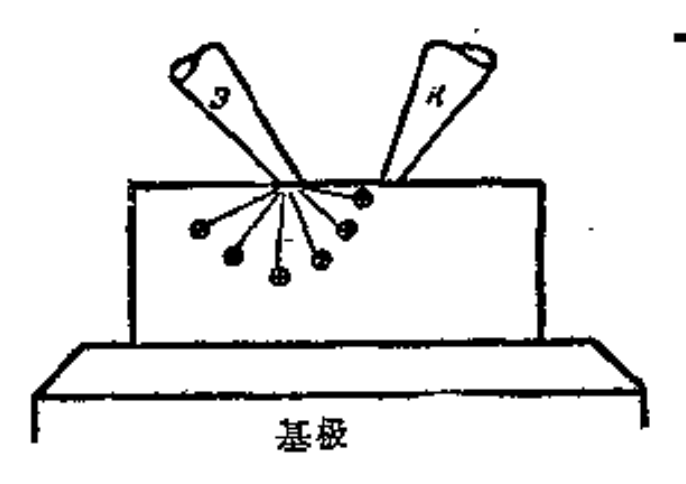


图 15 当沒有集电极电流耐点接触型 三极管基区中空穴的散流

象在面結合型三极管中一样,由点接触及基根的非整流接触 組成的二极管之一按正方向連接,并且是发射二极管,第二个二 极管按反方向連接,是集电二极管。

点接触集电极和发射极位于同一平面上,虽然其間的距离很小,也应該是难于成为向基极注入非平衡截流者的结的。

从图 15 可以看出,非平衡載流者在基极体积中,一般說来是以离开发射极接触的方向沿华径散开的。在这种情形下,只有极少一部分注入的电荷到达集电极。似乎只能期望 α₀ 之值约为 0.1 或更小.

实际上集电极获得和当大量的非平衡載流者.集电极的点接触所具有的面积非常小。因此,电流缓是弯曲的,而其最大的密度将正在集电极点接触的下面。由于密度很大的电流集中在非常小的晶体区域内,当电流沿晶体体积流过时所发生的电場已不可忽

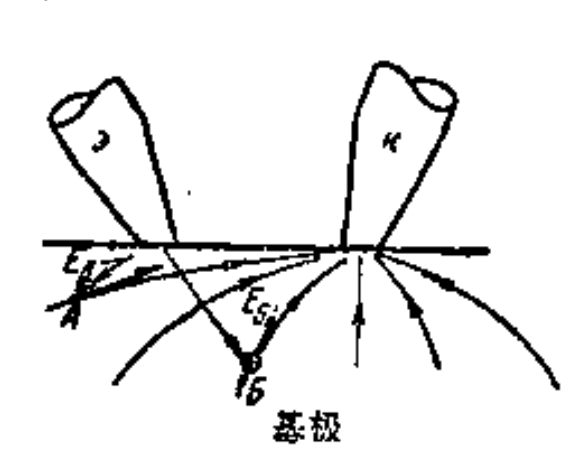


图 16 点接触型三极管基区中空穴在集电极电流場中的漂移

略. 电場力将沿着电流缓切綫的方向, 在集电极点接触之下的电流綫 大致如图 16 所示。

对于由电子型错晶体构成的点接触型三极管,集电极-基极电路中的电流是电子电流,电子是基区(即绪的主要体积)中的多数载流者。这个电子电流是从集电极沿基极向

欧姆接触方向散开的。因为在技术上电流的方向相当于正电荷运动的方向,电流綫应具有相反的方向。在点 A 和 B 标有相当于电 場強度的向量 E_A 和 E_B .

落入电流綫場中的正电荷将被这电場引向集电极点接触的方向.这些正电荷可能是从发射极注入到基极中的空穴,这是点接触型三极管的特点之一.在点接触型三极管中,非平衡少数截流者从发射极向集电极的传播不单纯是扩散过程,而是与电荷在电場中的漂移有关的.

減小加于集电极与基极間的电压要引起集电极-基极电路中

电流的减小,相应地也就引起电場力的减小. 当集电极电压很小时,在注入的载流者传播过程中漂移成分和由电子热运动所决定的扩散成分相比也就减小了. 在这种情形下,少数载流者(空穴)将沿整个基极体积散开,并且与电子复合。只有极小一部分电荷到达集电极. 发射极对集电极电路的作用急剧减弱,将实际上失去控制作用.

因为在面結合型三极管中,注入的截流者从发射极向集电极的移动基本上与集电极电压无关,故面結合型三极管可以在集电极电压約为1 伏或更低的情形下正常工作。点接触型三极管在这种电压下則是不能工作的。研究点接触型三极管的 放大性能指出,有某一临界集电极电压值存在;在接近这个数值时可以观察到放大随着集电极电压的减小而急剧降低。当集电极电压低于临界值时,点接触型三极管失去放大性能。对于所有型式的点接触型三极管,这个集电极临界电压之值实际上約为5 伏。

电流放大系数 α_0 (从发射极到集电极) 大于 1 的存在,是点接触型三极管的另一特点。如果假定点接触型三极管的集电极具有陷井,即整个点接触型三极管是 p-n-p-n 型結构 (图 17),就容易解释这个现象。在 p-n-p-n 型結构的情形下,容易解释为什么有电流放大系数 $\alpha_0 > 1$ 的存在 (26),以及为什么当发射极开路时集电极电流之值很大 $[I_{m0} = (b_0'' + 1)I_{n0}'']$.

发射极和集电极电路間的反饋是点接触型三极管的次一特点,这是与其工作的物理原理有关的. 集电結体电荷区扩大的效应,对于点接触型三极管沒有多大重要意义.

基极体电阻是发射极与集电极电路間发生耦合的主要元件。 当 ao 之值足够大时,集电极电流增量可以超过发射极电流增量好 几倍。 是两个电流之差的基极电流将具有我們定作正向的方向, 即将流向基区中。

在缩体积(基区)中这时发生与外电压 E。极性相同的电压降, 外电压的极性是使发射极工作在通流方向(图 18)。这就是說,集 电极电流的增大,不管引起它的原因为何,要引起发射结上开启电 压的增大,因而,引起发射极电流的增大。但发射极电流的增大又引起集电极电流的增大,直到 co 倍大为止。如果在发射极和集电极的外电路中沒有限流电阻,则在三极管的电极中开始出現电流的雪崩式增长。这个效应对点接触型三极管在放大綫路中的应用有某些限制,但对于构成脉冲发生器和触发綫路则有广泛应用。

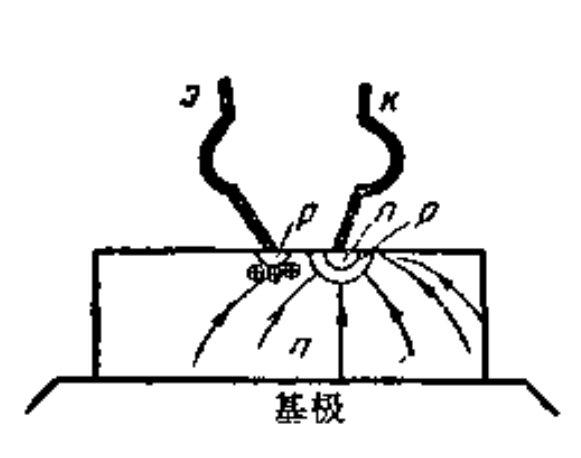


图 17 点接触型三极管表为具有 陷井的三极管的形式

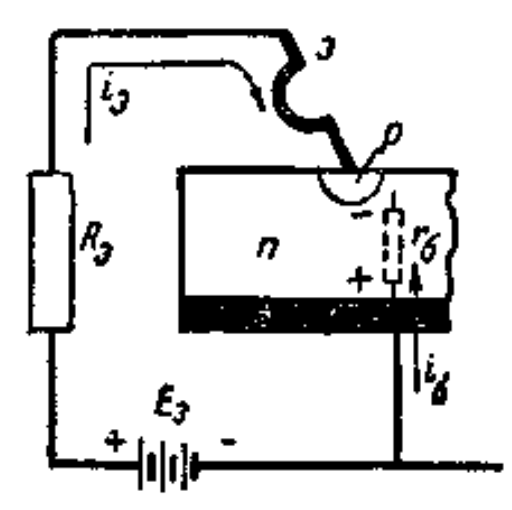


图 18 基极电流对发射极 电流的影响

在某些情况下, 雪崩式过程可以引起三极管引綫的损坏. 問題是反向电流随着結的温度改变发生了強烈改变. 温度的升高引起电流的增长, 而电流的增长(特別是当集电极面积很小时)引起电流密度的增长因而进一步发热. 这个过程也发生在任何二极管中, 通常是由结的散热过程来获得平衡, 但在点接触型三极管中由于正反饋很大就表現得特別強烈. 从这个观点看来, 必須这样来选择点接触型三极管的外电路, 以使得在任何工作状态下电极中的电流都不可能超过容許的最大值.

II. 面結合型三极管的参数与頻率的依从关系

1. 扩散过程对面结合型三极管頻率特性的影响

上面已經指出,非平衡載流者是以扩散方式沿着从发射极到 集电极的方向而传播的。每个載流者电荷所具有的热运动速度显 然彼此不同。因此,同时进入基区的一组电荷将在不同时間到达 集电結。如果假定,发射极电流具有短脉冲的形式,这短脉冲具 有理想的前沿(立刻达到最大值)和理想的后沿(立刻降落到零), 則集电极电流将不具有这种前沿和后沿。由于电荷运动速度的不 同,集电极电流脉冲的前沿和后沿都将延长。 发射結与集电結間 的距离愈大,速度之值相差就愈大,脉冲的变形也就愈大。不仅是 对于单个脉冲,就是对于周期变化的信号、脉冲或正弦的情形也是 如此。

由于以扩散方式传播的电荷的热运动速度之不同,引起当频 率增高时集电极中周期信号电流振幅的减小。当发射极电流振幅 不变时,这无异于当頻率增高时电流放大系数的降低。电流放大 系数随频率的降低是由基极厚度所决定的。

显然,集电极电流的任何变化都要比引起它的发射极电流的变化迟一个时間,这个时間是基极中扩散的平均传播时間 τ_D. τ_D 决定于基极厚度和扩散系数(即过程传播的速度),而与信号的頻率无关。因为較大的基极厚度对应于较大的扩散时間 τ_D,故对于同一频率在具有較大的結閒距离的三极管中,将比在具有較小結閒距离的三极管中得到較大的电流間相角差值。

因为电流放大系数 α 是集电极电路中的信号电流与发射极电路中的信号电流之比值,故可得出結論,即面結合型三极管的电流放大系数 α 与頻率有关, 幷用模 [α] 和相角 φ α 米表征.

模和相角的頻率依从关系决定于扩散的平均时間,即决定于基极寬度及扩散載流者的迁移率。发射极与集电极間的距离愈大,α的模随頻率的降落开始得就愈早,而相角φα也增长得愈快。

率,称为电流放大的极限頻率

$$\omega_{\alpha} = 2\pi f_{\alpha}$$

显然,对于具有不同基极厚度的三极管,尽管它們是由具有相同扩散系数的材料所构成,也会得到不同的电流放大极限頻率值.

以上我們只研究了电荷在基极中从发射結到集电結的迁移过程,因此,严格說来,研究的不是扩散过程对整个电流放大系数的

影响,只是对电流放大系数表达式 $\alpha = \gamma \cdot \beta$ 中的参数 之一一迁移系数 β 的影响。通常认为,注入系数 γ 不随頻率而变,且极接近于 1. 从这个观点看来,在至少是几个兆赫的頻段內可以足够精确地认为,整个电流放大系数随頻率的改变决定于迁移系数 β 随频率的改变。

振幅頻率特性 $|\beta|$ (ω)和相角頻率特性 $\varphi_{\delta}(\omega)$ 通常是沿标称軸来画出的. 沿橫軸取頻率相对值 ω/ω_{δ_0} , 而沿級軸取模 $|\beta|$ 的現在值与其低頻值 β_0 之比. 相角之值則直接沿級軸取出. 相应的特性曲綫示于图 19 中. 通常就把 $|\beta|/\beta_0(\omega/\omega_{\delta})$ 的这些特性曲綫用作 $|\alpha|/\omega_0(\omega/\omega_a)$ 的特性曲綫. 实驗的校驗証明,在大多数情形下这个假定是正确的.

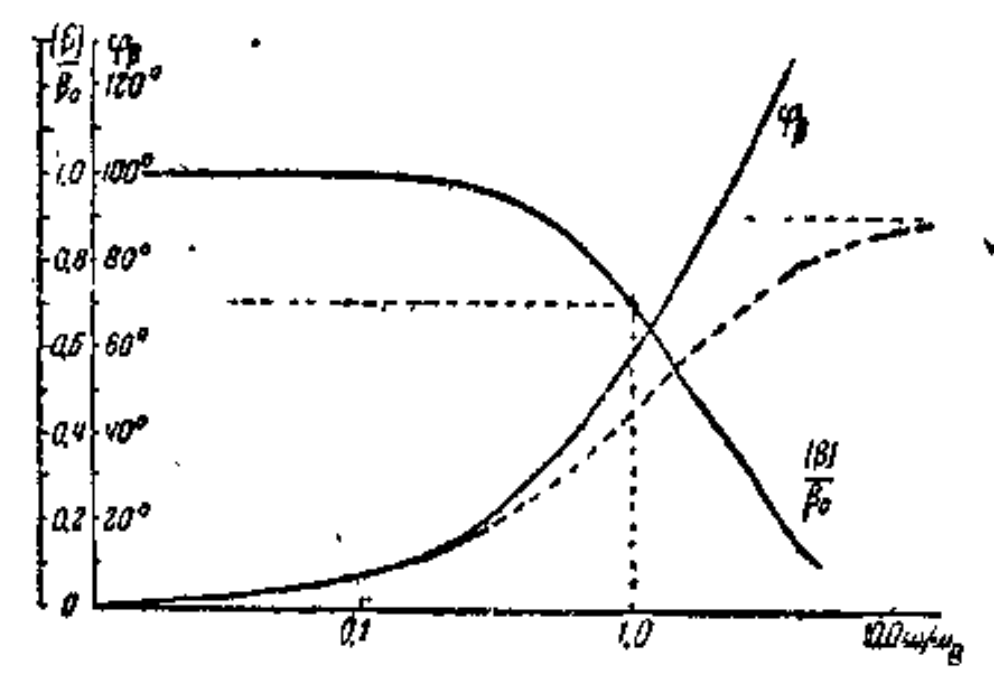


图 19 以相对单位表示的迁移系数的振幅概率 特性曲緩和相角頻率特性曲線

观察这些特性曲綫可以看出,它与 RC 电路的特性曲綫极为相似. RC 电路的振幅频率特性和相角頻率 特性在图 19 中用虛 綫示出. 可以看出, RC 电路的振幅曲綫足够精确地与理論上的振幅曲綫相電合. 这个电路的相角曲綫則有很大的偏差,尤其是在頻率高于极限值的范围 ($\omega/\omega_{\beta} > 1.0$). 在实际情形下,相角 φ_{β} 在頻率 $\omega/\omega_{\beta} = 1.0$ 处靠近 60° ,并随着頻率的升高而継續增大到超过 90° 的数值. RC 电路的相角曲 綫 則 不 能 有 大于 90° 的角度.

專实上, RC 电路的振幅特性是从下列条件得出的:

$$|Z| = \frac{R}{\sqrt{1 + (\omega RC)^2}}.$$
 (27)

在条件 $\omega RC = 1$ 之下,RC 电路阻抗的模随頻率下降为 $1/\sqrt{2}$,这使得当輸入端电流不变时輸出端的短路电流也下降为 $1/\sqrt{2}$. 設在滿足这个条件下 $\omega = \omega_a = \omega_B$,我們得到,輸出电流对輸入电流的相角等于 45°.

利用长綫来和基极中的 扩散过程等效,可以得到更 精确的結果。 在这种情形 下,能够更精确地与理論相 符合。 这不是偶然的,因为

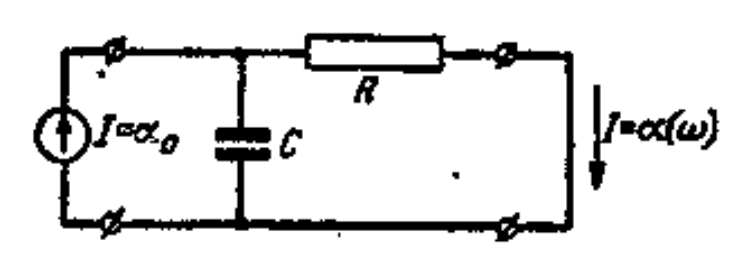


图 20 給自α(ω)的近似关系的 RC 电路

与輸出对輸入之比值的相位連續增长和模数連續降低有关的扩散 过程,完全和有損耗介质中振动的传播或一定长度的长綫中波的 传播相似,长綫的长度是发射极与集电极間距离的比拟。

实际上这种模型极为复杂,对于計算很不方便。故通常利用 RC 电路来模拟扩散过程已属满意,而当計算 $\alpha(\omega)$ 的关系时利用 对 RC 电路已得到的公式:

$$\alpha = \frac{\alpha_0}{1 + j \frac{\omega}{\omega_0}}.$$
 (28)

在这种情形下

$$^{\dagger}\alpha^{\dagger} = \frac{\alpha_0}{\sqrt{1 + \left(\frac{\omega}{\omega_a}\right)^1}};$$
 (29)

$$\varphi_{\pi} = \operatorname{arctg}\left(\frac{\omega}{\omega_{\alpha}}\right).$$
(30)

如果必須在接近于 ω_a 的頻率或超过 ω_a 的更高頻率下更精确地計算相角时,在三极管的等效綫路中要对相位进行修正.

可以指出,在頻率 $\omega/\omega_a=0.1$ 以下,模 $|\alpha|$ (或相应地 $|\beta|$)可以 以 以 为实际上与 頻率 无关。 在 頻率 $\omega/\omega_a=0.1$ 时相角 φ_a 之 值 靠

近 7°.

共发射极綫路中的电流放大系数将等于

$$\overset{*}{b} = \frac{\overset{*}{\alpha}}{1 - \overset{*}{\alpha}} - .$$
(31)

当頻率改变时这个量的改变比 α 快得多。在共发 射极 緩 路中,电流放大系数随頻率增长而迅速降落的主要原因,不是由于模 $|\alpha|$ 的改变,而是由于相角 φ_a 的增长,虽然模 $|\alpha|$ 的改变要引起差值 $1-\alpha$ 随頻率迅速改变。

在足够低的頻率下,发射极电流和集电极电流实际上是同相的。 因为 α₀ 之值与 1 相差总共不过百分之一,故对于正弦信号,集电极电流的振幅或有效值在低頻时也与发射极电流相差 极 小. 这些电流在图 21, a 中用两个同相的向量繪出.

共发射极綫路中的輸入电流是基极电流,它是发射极电流与 集电极电流之差。 如果取发射极电流为 1, 则集电极电流将具有 数值 ∞, 而基极电流具有数值 1 - ∞. 在图 21 中为了方便将基极 电流画成对应于非常小的 ∞ 值(約为 0.9).

頻率增高时集电极电流将落后于发射极电流。因为根据克希荷夫定律三个电流之和应等于零,故三个电流的向量形成閉合三角形。我們来研究对应于 $\omega = \omega_a$ 的向量图(图 21, 6)。在这种情形下,发射极电流 I_a 和集电极电流 I_a 的向量将相差一角度 $\varphi_a \approx 60^\circ$. 根据极限頻率的定义, I_a 向量的模减少为 $1/\sqrt{2}$, 并等于 $\alpha_0/\sqrt{2}$. 同时,基极电流的模则增长了几倍。因为在共发射极稳路中电流放大等于:

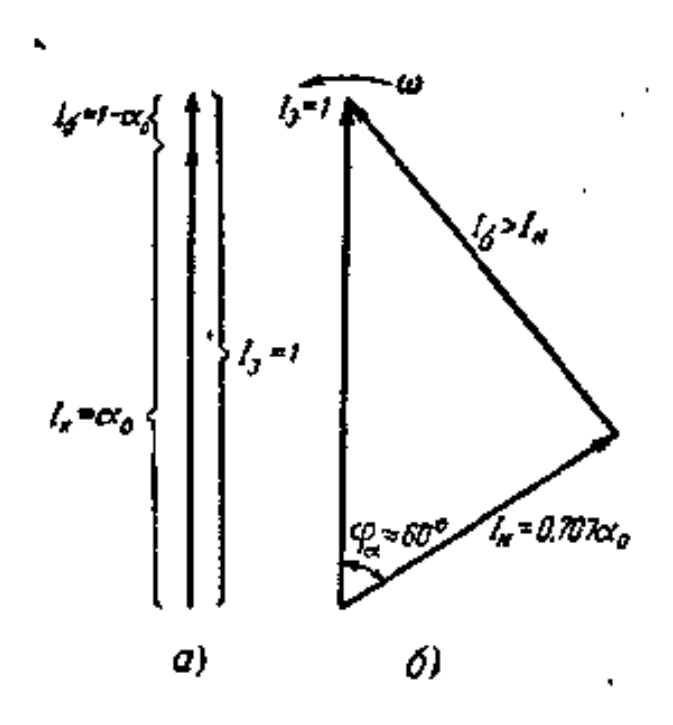
$$b=\frac{I_{\rm B}}{I_{\rm 6}},$$

故不难看出,在对应于共基极綫路电流放大系数降落到 $1/\sqrt{2}$ 的 頻率 $\omega = \omega$ 。 下,共发射极綫路的电流放大系数降落得更厉害。

还要指出, α 的最初值愈大,因而基极电流 $I_{61} = 1 - \alpha$ 的最初值愈小,共发射极綫路的电流放大系数就改变得愈厉害。

显然,如果将共发射极綫路电流放大系数的极限頻率 ω,定义

为:在这个頻率下 $b = \alpha/(1-\alpha)$ 之值減少为 $1/\sqrt{2}$,則我們得到 $\omega_b \ll \omega_a$,因为在接近于 1 的 α_b 值之下,发射极电流与集电极电流間的相位差很小,以致基极电流 I_b 的改变会使电流放大系数 b 改变好几倍。



 $l_{3}=l$ $l_{8}=\alpha_{0}$

图 21 相位差引起基极电流增长的作用

图 22 共发射极綫路中电流放大 极限頻率的决定

頻率 ω_b 和 ω_e 間的关系可以从图 22 的向量图中得到。 为了方便,这向量图不是按比例尺画出的。 令 ω_0 之值 足够接近于 $1(\omega_0 \approx 0.95-0.97)$,而在頻率 $\omega \leq 0.1\omega_e$ 的范围内角度 φ_e 很小,以致可以认为

$$tg\varphi_* \approx \varphi_a = \frac{\omega}{\omega_a}. \tag{32}$$

必須求出当

$$|b| = b_0/\sqrt{2}$$

时的頻率値 ω = ω,

如果假定,在这些頻率下集电极电流的模实际上仍然沒有改变,則要使电流放大 b 改变为 $1/\sqrt{2}$,基极电流 就 必 須 增 长 到 $\sqrt{2}$ 倍. 在这种情形下,必須从具有三边为 1, α_0 , $\sqrt{2}$ (1 $-\alpha_0$)的 斜三角形中求出銳角 $\varphi_a = \omega_b/\omega_a$. 我們得到:

$$\cos\varphi_a = \frac{4\alpha_0 - \alpha_0^2 - 1}{2\alpha_0}.$$
 (33)

将 cos p. 分解成級数料只取到平方項,就有

$$\frac{\omega_b}{\omega_*} = \frac{1}{\sqrt{\alpha_0}} (1 - \alpha_0) \approx (1 - \alpha_0). \tag{34}$$

因此,可以作出如下結論:

- 1. 其发射极綫路电流放大系数随频率迅速降落的主要原因不是 $|\alpha|$ 随頻率的降落,而是 $|\phi|$ 的增长 (假定 $|\alpha|$ = $|\alpha|$ 不随頻率而变).
- 2. 共发射极綫路电流放大的极限頻率比共基极綫路的极限頻率小,等于其 $1/(1-\alpha_0)$.

应当記住,这些結論是对于面結合型一維情形得出的,而且,只有在假定 & 之值随着基极厚度W的减小而趋近于1时才是正确的. 正因为如此,实际结果将得自这种情形:即 & 之值主要决定于体复合(即比值 W/L),而不是表面复合. 因此,对于实际的三极管,所得结果通常与式(34)的关系相差 10—15%,有时还要大些.

2. 集电极和发射极的充电电容和扩散电容

面結合型三极管的集电結和发射結都是体电荷区。从这一观点看来,象对于所有其他 p-n 結一样,可用充电电容来說明其特性。充电电容之值决定于加于結上的外电压与制成三极管的材料的性质。对于合金法 p-n 結,可以认为是只向一方面扩大的结,充电电容之值决定于下列公式:

$$C_{\text{sap}} = S \sqrt{\frac{\varepsilon \varepsilon_0 e N}{2(u_{\text{m}} + u_{\text{внещи}})}}.$$

¹⁾ и_{внеши} 为外电压——譯者注。

此处 48 是結中的接触电位差。

取封鎖方向作为外加电压的正方向。 发射結按正向連接,故 (us + usuemu) < us.

而对于集电結則 ивнопи ≫ ив.

接触电位差通常不大于 0.3—0.4 伏. 加于发射结的电压不应 超过此值. 可以认为,发射极位垒的工作高度不低于 0.1 伏. 如果 集电极的工作电压不大于 10—30 伏,則在发射极和集电极面积相 等的情形下,其充电电容之值将相差√100—300 倍,即相差 10— 15 倍. 通常,集电结的面积比发射结大 2.0—2.5 倍. 因此,大致 估計一下,发射结充电电容之值将超过集电结充电电容之值 5—10 倍.

除去决定于体电荷区寬度的电容的充电成分之外,发射极和 集电极还具有电容的扩散成分。发射結扩散电容所具有的物理意 义,与沿正向加以偏压的单个 p-n 結的扩散电容相同。 电容的存 在与基极中电荷的改变有关,电荷的改变则是由于非平衡载流者 和加于結上电压的改变所引起的。 和单个結的扩散电容一样,发 射极的扩散电容与发射极直流电流及基极中非平衡载流者存在的 时間成正比例。 但如果对于单个的 p-n 結,寿命 r 是基极中非平 衡载流者存在的平均时間;则对于三极管,基区中电荷存在的平均 时間决定于电荷从发射极扩散到集电结的平均时間 rp = 2.43;

$$C_{9,A} = \frac{e}{kT} i_{20} \frac{\tau_D}{2}. \tag{35}$$

因为

$$\frac{si_{00}}{kT}=\frac{1}{r_0},$$

而

$$\omega_{\phi} = \frac{2.43D}{W^2} \qquad \left(\tau_D = \frac{W^2}{D}\right),$$

故 Can 的表达式可以写成如下形式:

$$C_{\theta,A} = \frac{1.2}{r_{\theta}\omega_{\pi}} = \frac{W^2}{2r_{\theta}D}.$$
 (36)

发射极的扩散电容之值远远超过充电电容之值.

集电結电容扩散成分的出現,也是由于基极中有非平衡載流者.前面已經研究过,随着集电結的寬度改变了数值 AW,非平衡少数载流者体电荷在基区中的分布也要改变(参看图 10 和 11).在直流发射极电流下,浓度梯度保持不变,但最初的浓度以及基极中非平衡少数载流者总电荷值都要改变。因为集电結寬度的改变是由加于結上电压的改变所引起的,故这就表示,电压的改变引起电荷的改变。这些变化的比值就是集电极的扩散电容。

决定集电极扩散电容 $C_{K,A}$ 之值的表达式是足够复杂的,但如假定 $(W/L)^2 \ll 1$,就可加以簡化而写成:

$$C_{\text{H,H}} = i_{\text{H}} \frac{W}{D} \frac{\Delta W}{\Delta u_{\text{H}}}.$$

只要将发射极和集电极的工作电压比較一下就可得出結論: 为了使基极中的电荷改变同一数值,发射极电压的改变应当远小于集电极电压的改变。 这就表示,集电极扩散电容应远小于发射极扩散电容。 事实上,当发射极扩散电容为几千微微法或較好一些为几百微微法时,集电极扩散电容为几个微微法,甚至不到一个微微法.

必須指出扩散电容一个非常重要的性质:扩散电容的存在与 流經結的位移电流无关。

流經結的位移电流的存在决定于充电电容 Con和 Can.

因此,宜于研究在高頻下充电电容对发射結和集电結行为的 影响。

研究电流放大系数与頻率的依从关系时,我們會假定注入系数 Y 足够接近于 1 且与頻率无关:

$$a(\omega) = \gamma(\omega)\beta(\omega) \approx \beta(\omega).$$

这个假定只有在比較低的頻率下,即当发射結充电电容的容性电納远小于結的电导 1/r。时,才是正确的。 在发射极电流約为

0.5-1.0 毫安时,发射結电阻为 50-25 函。

如果发射結充电电容为 100 微微法, 則在 1.5 兆赫的 頻率下 它具有容抗 $X_c = 1000$ 欧. `当頻率更高时, 在比較大的 $C_{\theta,8}$ 值之下不可以忽略位移电流.

发射极全电流将由两个分量所組成:流經 ra 的电流与流經电容 Caa 的位移电流,前者是和向基极注入电荷并控制集电极电流有关的,后者则与注入无关。

随着頻率的增高,在发射极全电流中第二个分量的比重增大, 而第一个有功分量的比重减小。 注入系数 γ, 因而电流放大系数 α 将随頻率而减小。

集电結充电电容对結的性能的影响是非常大的。虽然集电結电容比发射結充电电容小5—10倍,但集电結电阻可能超过发射結电阻几万倍。因此,有时即使在几千甚至几百赫的頻率下,也必須考虑有位移电流流过集电結充电电容。例如,为工作在几百千赫以下的頻段內而設計的三极管,可以具有超过1兆欧的集电极电阻。同时,这个三极管的集电极电容可以是几十个微微法。在集电极电容为10微微法、集电极电阻为1兆欧之下,当频率为15千赫时集电极阻抗的电阻和电抗部分就已經相等。因此,在更低的频率下集电极电容的影响就已表现出来了。

3. 基极有效电阻随頻率的改变

基极有效电阻包含两个成分: 体积的或分布的成分 r₆,以及将集电結对发射結的作用換算成基极电阻的成分。利用集电极电阻 r_κ就可以将輸入电路中的等效电动势发生器 μ_{θ,κ}U_κ 換算成基极电阻中相对应的成分:

$$r_0^{\prime\prime}=\mu_{9,\mathrm{K}}r_{\mathrm{K}}$$

显然,随着正弦信号频率的增高,集电极电阻将改变其数值,在一方面,集电极电阻的改变与集电极电容的存在有关,而引起阻抗

$$Z_{R} = \frac{r_{R}}{1 + j\omega r_{R}C_{R}}$$

的改变;而在另一方面,集电极电阻的改变与集电结空間电荷区的扩大有关。 这个效应使得在结的电导中出现了扩散成分,这成分是随频率而急剧改变的。

就模 Z_{κ} 随頻率而減小这点說来,分压器 $r_{\delta}^{\kappa} - |Z_{\kappa}|$ 中两臂的比值要发生改变,加到輸入电路中与輸出电压成正比的那部分电压就是由这个分压器所决定的。 如果假定, $\mu_{\delta,\kappa}U_{\kappa}$ 之值是与频率无关的,即在任何頻率下,三极管开路輸入端所呈現的輸出电压 U_{κ} 中的那一部分都是相同的;因此可以判断,基极有效电阻中的 r_{δ}^{κ} 成分随頻率而改变的規律,应当与集电极阻抗的模 $|Z_{\kappa}|$ 随頻率而改变的規律相同。 在一次近似下可以认为,对于所有情况在用 r_{δ}^{κ} 随頻率而改变来表征的頻段內,集电极的电容 C_{κ} 和电阻 r_{κ} 是 与頻率无关的。

在大多数情形下,这个假定給出了与实验相差很小的结果,故可以认为, r 。的頻率依从关系决定于关系式

$$r_6'' = \mu_{0,R} \frac{r_R}{\sqrt{1 + (\omega r_R C_E)^2}}$$
 (37)

因为体积的成分 ré 只决定于三极管的几何尺寸与基极 材料的性质,故它实际上是与工作頻率无关的。 因此,随着頻率的增高,在足够低的頻率下測得的基极有效电阻值开始下降,并趋近于体积的成分 ré 之值. 当集电极电阻很大时,这个降落发生在三极管工作的低頻和中頻范围内;在三极管可能工作的高頻段内,和 ré 相比 ré 之值可以忽略。 从这个观点看来,整个基极有效电阻之值 Ro 称为低頻基极电阻,而体积的成分 ré 称为高频基极电阻.

随着集电极直流电压的增高,高频成分 rs 将增大,因为这时基极厚度将减小。

低類基极电阻随集电极电压而变的关系则极不相同,因为 r'6之值与基极厚度、 $\Delta W/\Delta u_E$ 和集电极电阻 rE 之值有关. 随着集电极电压的增高,基极厚度减小,但分子中所含的比值 $\Delta W/\Delta u_E$ 也同时减小. 另外,电阻 rE 也可以随着集电极电压的改变而改变其数值.

上面我們是根据 µ_{0,x} 之值与頻率无关的假定出发的。从分析 r₆ 的頻率依从关系的观点看来,这个假定是完全容許的。

μ_{θ,π} 随频率而变的特性与电流放大系数随頻率而变的特性一样。

实际上可以写出:

$$\mu_{\vartheta,\mathfrak{u}}(\omega) = \mu_{\vartheta,\mathfrak{u}_0} \frac{|\alpha(\omega)|}{\alpha_0}, \quad (38)$$

其中 μ_{θ, ιο} 是在足够低的頻率下測 出**的**值。

現在来研究基极体电阻 16 对 三极管輸出阻抗可能发生的影响。

在面結合型三极管的共基极綫 路中, 从輸出方面看来是与基极体

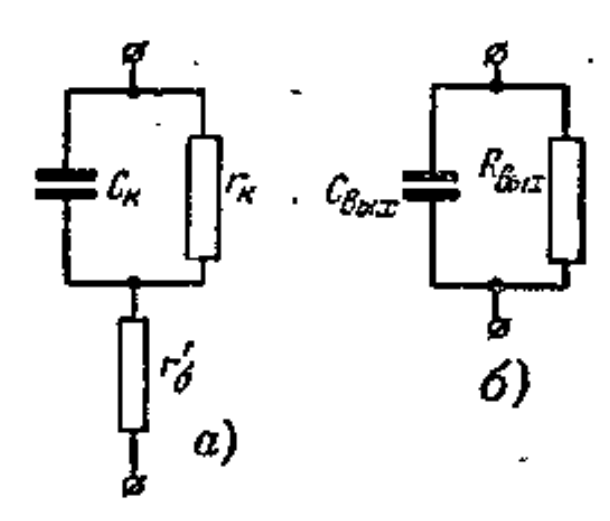


图 23 $r_{\rm K}$ 、 $C_{\rm K}$ 、 $r_{\rm O}$ ' 換算成輸出 参数 $R_{\rm BMX}$ 和 $C_{\rm BMX}$

电阻 r_6 串联的 p-n 結(图 23, a)。如果把复杂的 RRC 电路(由集电结电阻 r_8 、集电结电容 C_8 和基极 r_6 所組成)換算成接在輸出端的簡单 RC 电路(R_{RRX} 和 C_{RRIX}),并假定 r_8 、 C_8 和 r_6 之值与頻率无关,而且 $r_8 \gg r_6$,就得到下列 R_{RRIX} 和 C_{RRIX} 的表达式:

$$R_{\text{BMX}} = r_{\text{E}} \left[\frac{1 + (\omega r_{\delta}' C_{\text{E}})^{2}}{1 + \frac{r_{\text{E}}}{r_{\delta}'} (\omega r_{\delta}' C_{\text{E}})^{2}} \right]; \tag{39}$$

$$C_{\text{PMX}} = C_{\text{E}} \left[\frac{1}{1 + (\omega r_6' C_{\text{E}})^2} \right]. \tag{40}$$

将 r_K、C_K 和 r₆ 实际值的数字代入, 我們得到, 在很寬的頻段 内輸出电容实际上与电容 C_K 沒有差別. 同时,由于基极体电阻的 存在,輸出阻抗的有功部分 R_{MAX} 随頻率的增长可以減小很多. 电 阻減小到等于低頻值(接近等于 r_e) 的二分之一时的頻率值从下 列关系得出:

$$f_{0.5}(兆赫) = \frac{10^{6}}{2\pi C_{K}(微微法)\sqrt{r_{K}r_{6}'}}.$$
 (41)

令 Cx = 15 微微法, rx = 1 兆欧, r6 = 100 欧,得到:

fo.s ≈ 1 兆赫.

因此,基极体电阻是影响三极管輸出阻抗随頻率而变的因素 之一.

4. 面結合型三极管的高頻功率放大。"质量因数"

研究了面結合型三极管等效綫路参数的頻率依从关系可以指出,这些依从关系是相当复杂的,且在所有工作頻段內要考虑这些关系会引出非常繁杂的分析表达式,并使等效綫路变得更为复杂;同时也指出,无論是綫路还是表达式与其說具有实际的意义还不如說具有理論上的意义。但是,作出一系列的假定,利用簡化的关系对于各个頻段略去某些参数,就可以得到在一定頻段內是正确的等效綫路。上节中所叙述的等效綫路就具有这样的特性。利用这些綫路,可以計算具有匹配負載且其入端与信号源內阻相匹配的面結合型三极管的功率增益值。

許多作者根据某些形式不同的等效綫路証明了,在高的工作 頻率范围內,輸入和輸出两边都匹配的面結合型三极管的功率增 益与頻率的平方成反比例:

$$K_{p.\text{Marc}} = \frac{M}{f^2}.$$
 (42)

在这里, M 是由三极管参数所决定的某一系数. 显然, 为了在 給定頻率下得到足够大的增益, M 之值应当足够大. 在給定頻率 下, 三极管参数所决定的 M 值象大, 其放大就愈大.

就頻率說来,面結合型三极管的利用极限是这样一个頻率,在这頻率下对于給定的M值功率增益 $K_{p-Marke}$ 等于 1. 这个頻率称为功率放大的最高頻率 f_{Marke} .

在式(42)中令 $K_{p.maxo} = 1$, $f = f_{maxo}$, 就得到:

$$f_{\text{Marce}} = \sqrt{M}. \tag{43}$$

根据式(42)和(43)的关系还可以得到:

$$K_{p,\text{make}} = \left(\frac{f_{\text{make}}}{f}\right)^{i}, \tag{44}$$

从而可以作出結論,对于給定的三极管根据M之值(或 fuance 之值,实际上是一样的)可以估計:在选定頻率 f 下利用給定三极管可以得到的功率增益,以及就頻率說来利用給定三极管的絕对极限 (fuance). 从这个观点看来、M之值完全可以用作判断三极管頻率性能的"质量因数".

对于不同类型的面結合型三极管进行理論計算和实驗校驗引出**了下**列M值:

$$M = \frac{\alpha_0 f_a}{30 r_6' C_K}.$$
 (45)

因此,三极管的电流放大极限頻率 f_a 愈高,基极体电阻 f_6 愈小,集电极电容 C_8 愈小,三极管的頻率性能就愈好。

減小基极厚度W是改进面結合型三极管頻率性能的首要方法,也是最簡单的方法。但是,随着基极厚度的減小基极电阻rio要增大。減少三极管的基极厚度虽然能使电流放大的极限頻率值是高很多倍,但在放大綫路中的工作情况并不是非常好的。 为了在小的基区厚度下减少基极电阻值,要减小基极材料的电阻率,即增大基极中的杂质浓度 N。用这种方法来减少基极电阻将引起集电极电容的增大,而集电极电容又在很大程度上决定三极管的頻率性能。 集电极电容之值在很大程度上决定于加在集电极上的电压,而集电极的最大容許电压为击穿电压所限制,击穿电压又接近与基极中的杂质浓度成反比。 因此,基极中杂质浓度的增大不仅引起集电极电容的增大,而且也限制了工作于高的集电极电压下的可能性。

集电极电容也可以靠集电結面积来減少,但这又降低了容許 电流和容許耗散功率。

要改进三极管的頻率特性,对其几何尺寸与原材料性能的要求是十分矛盾的,在M的表达式中用三极管的物理参数和几何参数值代入就可以最全面地考虑这些关系.如果在代入后含去常系数和某些物理常数,我們就得到,M与下列表达式成正比例:

$$M \approx \mu_p \mu_n \frac{1}{W S_{\scriptscriptstyle \rm H}} \sqrt{u_{\scriptscriptstyle \rm H} N} \,. \tag{46}$$

分析表达式(46)可以看出, 质量因数与不同符号的载流者——多数和少数载流者的迁移率之乘积成正比例。 由此推出, 从三极管放大性能的观点看来, n-p-n型三极管不应具有超过 p-n-p型三极管的优点。

这是由于, n-p-n型三极管基极中的少数载流者是电子,在鍺中电子迁移率等于空穴迁移率的一倍。 相应地,在基极厚度和基极中杂质浓度都相等的情况下, n-p-n型三极管电流放大的极限 頻率值将比 p-n-p型三极管的大一倍。

相反地,基极电阻 re 之值决定于多数载流者的迁移率。 在 n-p-n 型三极管中,电流放大极限頻率的增长到一倍同时引起基极电阻的增长到一倍。故质量因数仍然不变。

同时应当指出,为了得到高頻面結合型三极管,从其利用的观点看来,估計各种半导体材料(硅、中間金属化合物以及等等)的性能时必須也按照迁移率乘积之值来估計,而不是按照最迅速的截流者——电子的迁移率来估計.

由于基极厚度W和集电結面积 S_R 对质量因数的影响不 要求特殊的說明,我們只再簡要地誹一下根号內的乘积 u_EN [表达式(46)].

上面已經指出,这些值是彼此有关的。 集电极电压的最大可能值为浓度值N所限制。因为电子空穴结的击穿电压接近与基极中杂质浓度成反比例:

$$u_{\text{sc. Makeo}} \approx \frac{1}{N} - \frac{1}{N^{0.7}},$$

故根号√u_EN 可以畝为等于 1.

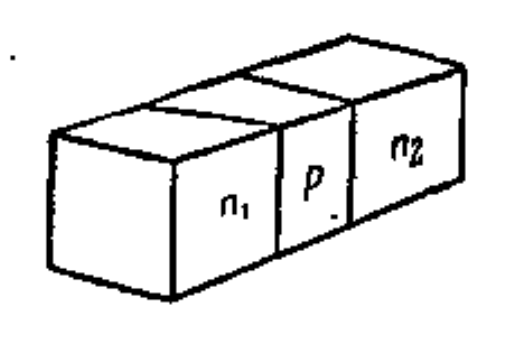
自然,对于表达式(46)我們假定,在这关系申沒有考虑的一些三极管結构尺寸是根据最佳关系来选定的。这涉及到,例如,保証最接近于一維情形的发射极和集电极面积的关系,以及基极引线牢固形式与牢固位置的正确选择的問題。自然,基极引线牢固之

III. 提高工作頻率的方法。高頻半导体器件

1. 面結合型四极管和衰面位垒三极管

面結合型四极管是这样一种器件,在其中由于减少了基极体 电阻而获得质量因数M的提高。

单晶鍺是制造高頻四极管的原材料,在鍺中用各种方法从熔化物的生长过程中得到 p-n 結. 从这个单晶中切下具有两个 p-n 結的一小块(图 24),这两个 p-n 結是在 n-p 和 p-n 的区域变界处形成的. 一般說來,这样的一块已經是面結合型三极管,只要再装上引綫就可以了,引綫与每一区域应形成非整流接触.



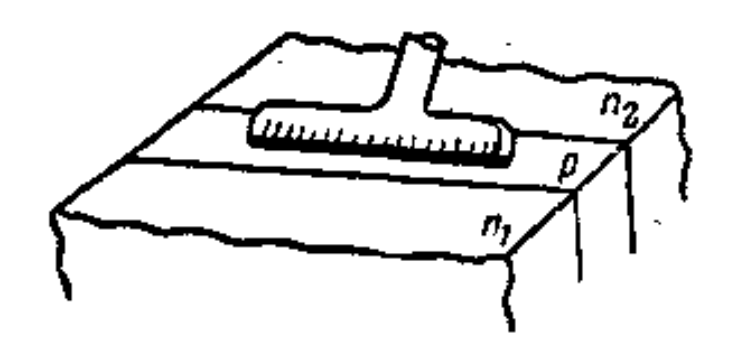


图 24 用生长法得到的 n-p-n 型結构

图 25 基极引綫的固定

显然,为了使三极管具有良好的高頻性能,原材料鉻块必須具有給定的尺寸. 这首先涉及到中間区域——基极的厚度. 单晶体的生长应該使得中間区域具有可能的最小寬度. 目前单晶体生长的制作方法,已可得到寬度只有几个微米的中間区域.

小块的横截面是影响三极管頻率性能的第二个因素,其数值 决定发射紀和集电結的面积,因而决定集电极电容的数值。 这个 电容也应当縮減为最小。

为了得到足够接近于1的注入系数 γ, 在两个 n 区中应当选取其中自由电荷浓度远大于中間区域自由电荷浓度的那一n 区作为发射极,

小块的商端镀以錫, 科将发射极和集电极的引綫銲在其上。

同中間区域的接触(基极引綫)是最复杂的。通常是用網金质絲鐸上来实現这个接触的。为了增大接触面积(減小基极电阻),絲的末端作成小鏟子的形状(图 25)。

在小块的对面,象第一个基极一样,在 P 区上銲上第二个基极,引綫之一作为主要基极的引綫,第二个作为輔助基极的引綫, 这样,三极管就变成了四极管.

图 26, a 中簡略地示出了 n-p-n 型四极管的结构。 主要基极 記以标号 6₁, 輔助基极記以标号 6₂。 輔助基极上沒有加对主要基 极而言的偏压。这时, 四极管工作在三极管的接法之下, 和通常的面積合型三极管一样。

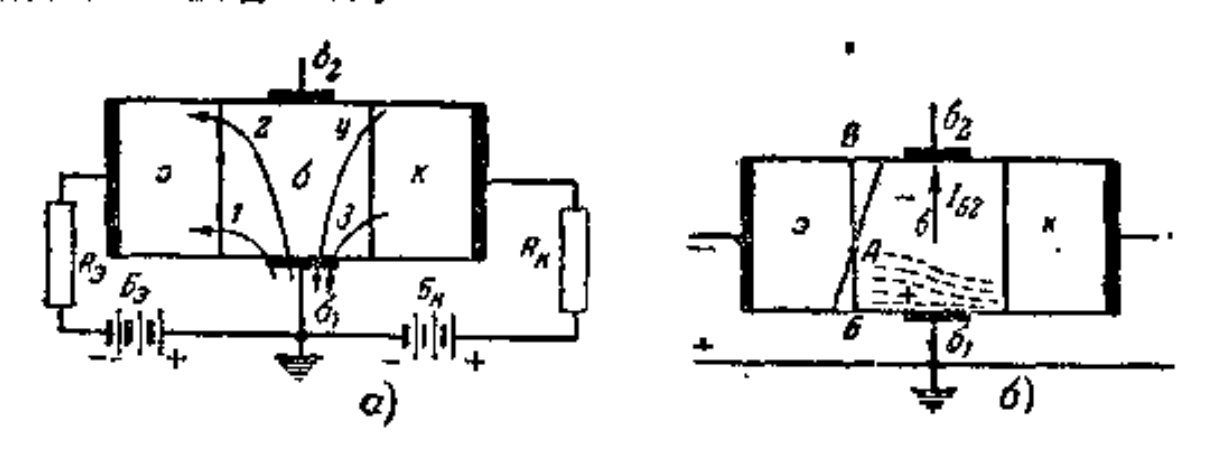


图 26 匹极登基极中电压和电流路经的分布 a——辅助基极上没有偏压; 6——辅助基极上有偏压

可以注意,在发射結和集电結面积上不同的各点处,电流路径数是不同的。 对于电流 2 和 4 ,基极表现的电阻将比对电流 1 和 3 所表现的大。显然,整个基极体电阻之值将具有某一中間值,这个数值大于对电流 1 和 3 的基极电阻值。

流过基极引綫 6, 和 6, 闭的电流,可以将发射极的工作区限制在与主要基极引綫直接毗邻的区域。在发射极-基极結上将有两个电压作用,一个是沿开启方向加于外端鈕的直流电压,第二个是由电流 I6, 流过基极在其中引起的压降, 其方向是和外电压相反的。

假定将电流 Is, 之值选得使在某一点 A处, 由电流 Is, 引起的 压降在数值上等于外加电压. 则在点 A处加于結的总电压将等于 零. 在結上位置比点 A 低的各点处, 将是外加开启电压占优势。 結的 AB 区段将开启。 在結上位置比点 A 高的各点处,则将是由电流 I6。引起的封鎖电压占优势。在 AB 区段内发射結是封鎖的。

如果現在增大电流 I6₂,則点A将向下移,发射結的工作面积要大大減小,从发射极到基极的电流綫路径縮短,基极电阻也就減小. 一般說来,可以用机械方法把原材料鍺块的截面积減小以获得同样的結果. 但利用电流 I6₂,可以将发射結的面积減小到用机械方法实际上不可能作到的尺寸.

集电结的面积决定于小块的整个面积,不依赖于电流 I6,的数值、因此,集电结电容实际上与輔助基极电流无关。 当輔助基极电流增大时,随着发射极工作面积的减小,基极工作体积也减小(图 26,6 中虛綫所示的基极区域).

此外,电流 I₆,的場在主要基极区域內将少数載流者——电子引向小块的表面。 因为表面复合速度远大于体积复合速度,故到达集电結的电荷对的数目将随着电流 I₆,的增大而减小。 电流放大系数 α 因而下降。

用生长法制成的面結合型三极管,以及相应的四极管,在零值輔助基极电流下,当接成共基极綫路时电流放大系数可以超过0.99. 对于共发射极綫路,这就有可能在低頻下使电流放大系数超过100. 当基极間有电流流过时, α₀之值可以几乎减少为零. 因此,利用輔助基极电流可以在宽广范围内改变共发射极綫路的电流放大系数. 这就决定了,可以将这种类型的四极管应用到具有調整放大系数的放大綫路中.

表面位垒三极管是这样一种高頻器件,在其中直接由基极厚度的减小及集电结面积的减小来获得工作頻率的升高。按其结构和工作原理說来,表面位垒三极管与通常的 p-n-p 面結合型三极管沒有什么不同。表面位垒三极管用如下方法制成。将具有高含量施主杂质(这是获得小的 ré 值所必要的)的 n 型鍺薄片置于电解槽中进行电化腐蚀。

腐蝕要一直进行到基极厚度 W 获得所必要的数值为止,这个数值仅是几个微米。 此后,改变加于电解液与鍺片間的电压的极

性,使鍺片变为阴极. 这时,金属(在大多数情形下是细)从电解液中沉淀在鍺片表面上. 被带到已腐蝕鍺表面上的小圆穴中的金属,就形成了"金属-牛导体"型的表面接触. 三极管实际上就已制成了,余下的是固定基极、发射极和集电极的外部引綫.

按照发射結和集电結的特性,这种三极管称为表面位垒三极管.表面位垒三极管的工作集电极电压通常不超过3—5 代.这是由于,在一方面,因为要在小的W下减小基极电阻值采用了具有高杂质浓度的錯,集电結的击穿电压很低.在另一方面,在小的W下增大集电結上的电压,因而集电结向基区深处扩展,有可能使发射结与集电结連在一起.将电极分开的相互作用区消失,三极管就不能工作。这个效应——"紧接效应"——无异于发射结与集电结間的击穿或短接,并可能引起发射极-集电极电路中电流的急剧增长,因而使三极管的引线损坏。

为了在基极中高杂质浓度和小的工作电压下得到小的集电結 电容,集电結面积必須減小到极小、結果,表面位垒三极管的容許 耗散功率是非常小的——不大于几十毫瓦。

2. p-n-i-p 型三极管及漂移三极管

为了得到小的基极电阻值,基极材料应当尽可能采用低欧姆的。但是,无限制地增大基极中杂质浓度是不可以的。 当用合金 法得到 p-n 結时 (例如具有銦的 n 型鍺),在熔化形成的发射結区域中,载流者浓度約为 10¹⁸—10¹⁹ 厘米⁻³。 要使发射极具有高的注入能力,基极中多数载流者的浓度应远小于发射极中多数载流者的浓度。只有在这种情形下可以认为,发射极-基极电路中的主要电流是由发射极注入到基极中的载流者所迁移,而只略去了从基极注入到发射极中的载流者所迁移的一小部分电流。

对于大概的計算可以假定,发射极中的浓度应当超过基极中的浓度 100 倍,以使得注入系数 7 足够接近于 1,且不致使电流放大系数 a 降低很多。

于是,基极中浓度的上限值将为1016—1017厘米-3的数量级、

在这种基极浓度值之下,击穿电压将很低,而集电极电容则增大很多。

要解决这种矛盾的要求,曾經寻求利用具有不均匀分布杂质的薄片来制造面結合型三极管。这种薄片的一面具有杂质含量很高的薄层,高杂质含量是为了保証获得小的基极电阻值。 薄片的

另一面具有极小的杂质浓度,以保証获得足够寬的集电結(图 27).基极引綫则作成围繞发射极的錫环的形式。

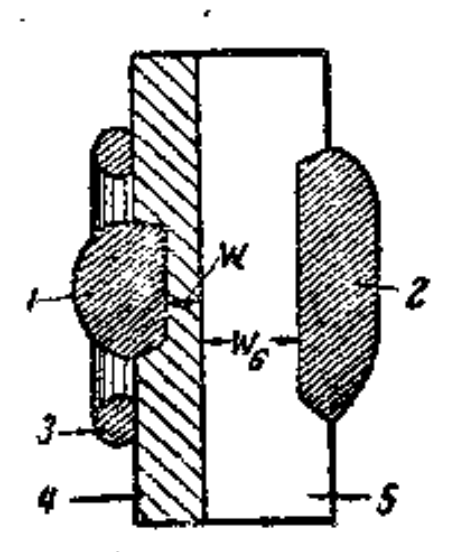


图 27 p-n-1-p型三极管 的示意图

什么重大改变,因为集电结的进一步扩大将发生在区域 4 中,而区域 4 中的杂质浓度是非常高的。

同时,集电结电容之值决定于其寬度 W₁,这个寬度 与电压 W_K > W_{K-MBH} 的关系不大。 因为区域 5 中的杂质浓度应当是极小 的,集电结击穿电压就应当是非常高的,而远远超过最小的工作电压.

如果将这种类型的三极管和通常的合金三极管(具有基极厚度W)相比較,則这种结构的优点将是很明显的。在同样的基极厚度和集电结面积之下,这种三极管将具有非常高的工作电压和较小的集电极电容。 换句話說,这种结构可以分别控制表达式(46)中的 4x 和 N 之值。

用 N_{\bullet} 来标記区域 4 中的浓度, N_{E} 来标記区域 5 中的浓度,且为了計算簡便假定 $u_{X_{\bullet}MMED} \approx 1/N_{E}$, 对于所研究的情形就将表达

式(46)改写成如下的形式:

$$M \approx \mu_{\rm f} \mu_{\rm n} \frac{1}{W S_{\rm E}} \sqrt{\frac{N_{\rm s}}{N_{\rm s}}}. \tag{47}$$

上面已經指出,基极中靠近发射結处載流者浓度的最大可能 值将限制在 10^{16} — 10^{17} 厘米⁻³ 的数量級. 靠近集电結处載流者浓度的最小值,則为給定温度下純淨半导体中載流者的固有浓度所限定. 当 $T=300^{\circ}$ K 时, $n_i=2.5\times10^{13}$ 厘米⁻³. 假定 $N_{\bullet}=N_{\bullet,\text{мано}}=10^{17}$ 厘米⁻³, $N_{\text{x}}=N_{\text{R},\text{мян}}=2.5\times10^{13}$ 厘米⁻³,我們就得到,p-n-i-p 型三极管可以具有比通常 p-n-p 型三极管(同样的儿何尺寸)大 60 倍的质量因数.

同时,三极管的这个名称p-n-i-p 也是易于明白的、因为 N_{E-MRH} $= n_i$,在基区与集电极区之間包含具有本征电导率 σ_i 的錯薄层。

实际上,要在M的值方面获得这样大的便宜是足够复杂的。如果工作电压选择得接近于結的击穿电压,且結是得自接近于50 欧·厘米的高欧姆鍺,才能够得到上面所說的数字60. 这个电压将具有几百伏的数量級。 如果假定, u_k = 500 伏,发射极电流 i_e = 0.5毫安, 則集电极耗散功率在考虑了电流 I_{k0} 后将超过250毫瓦. 这样大的耗散功率甚至比具有較大电极面积及較好散热条件的低頻三极管还大。此外,浓度N_k 的实际值接近于超过 N_{L-MAR} = n_i 的数量級。因此,实际上得不到这样高的M值。

在当W之值不超过几个微米(2-3 微米),而集电結寬度足够 大(超过 25 微米)的清形下,非平衡載流者在基极中从发射极到集 电結边界处的扩散时間,可以和非平衡少数載流者在同一結內的 漂移时間相比拟。电荷在結中的漂移效应与电于在真空二极管电 极間的漂移效应相似。

在通常的面結合型三极管和四极管中,平均扩散时間远大于漂移时間,故漂移时間可以忽略而认为只有扩散作用影响頻率的特性. 对于 p-n-i-p型三极管,在 W = 5 微米及 W_i = 25—30 微米之下,电荷在结中的漂移还可以有把握加以忽略. 在这种情形下,就作用原理和主要参数的物理含义以及依从关系而言, p-n-i-p

型三极管与普通的面結合型三极管沒有什么不同.

在升高温度下用扩散方法将可制合金的物质加入具有高电阻 率的缩中,是获得具有不均匀分布杂质的原材料薄片的方法之一.

在扩散下的分布規律要涉及相当复染的表达式——誤差分布函数. 对于許多实际情形,这个函数可以足够精确地用指数函数代替. 在这种情形下可以认为,当扩散时在表面上产生了某一附加的施主浓度 N_B, 并按指数規律而下降(图 28).

这种薄片也可以用来制造按其性能說来与 p-n-i-p 型三极管相似的三极管。从高欧姆鍺这一面将薄片磨损到厚度为 W +W,, 并鎔上銦的发射极和集电极电极以及錫的基极电极, 如图 27 所示,我們就得到集电极位于高欧姆区、发射极和基极位于低欧姆区的三极管。集电极上所加的电压值必须保証集电结能扩展到高电导率区域的边界处。

图 28 中虛綫表示 p-n-i-p 型三极管基极中的杂质分布。可以 假定,当杂质在基极中按指数規律分布时,基极体电阻之值将大于

从強合金区过渡到弱合金区时杂质浓度突然改变的情形。这是指数分布规律的缺点。 但是,这种规律也具有一个重要的优良性质,这种性质是决定具有所研究结构的三极管的工作特点的。,

問題在于,杂质(施主)浓度沿 y 軸方向的改变規律将与多数載流

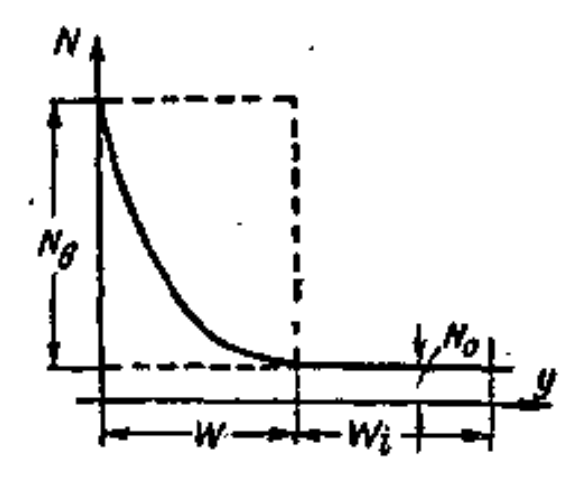


图 28 当薄片中加有可制合金的 材料时,在扩散下的杂质分布

者(电子)的分布規律相符合。因为对于給定温度多数和少数 載流者浓度的乘积是常数,故多数 載流者浓度沿少方向按指数律的下降将伴随着少数 載流者浓度按指数律的增长。电子浓度的负梯度和空穴浓度的正梯度的存在,使得电子具有沿少 軸方向传播的趋势。空穴则具有沿相反方向传播的趋势。在这个情形下,所发生的过程与形成 p-n 結时所发生的一样。随着电荷的轉移将发生阻碍电荷进一步传播的电場力。

应当指出,当浓度沿着从发射极到集电极的方向下降时,基区中所发生的电場对于多数載流者是阻碍的,因而,对于少数载流者是加速的.这就表示,在这种类型的三极管中,少数载流者从发射极向集电极的传播,不仅是借扩散来进行的,而且也是在基极中的内电場力作用——漂移——下进行的.这是 p-n-i-p 型三极管不同于称为漂移的这种三极管的特点.漂移三极管这个名称着重指出了基区中漂移的存在.

因此,在漂移三极管中,一方面可以实现 p-n-i-p 型三极管的所有主要优点,另一方面,由于基极中内电場的存在,就有可能在和通常的扩散三极管相同的基极厚度下得到大几倍的电流放大极限频率.

漂移三极管的实际工作电压超过扩散三极管的工作电压。当将漂移三极管和高頻三极管,例如表面位垒三极管相比較时,这个差别表現得更为突出。如果这两种三极管具有同样的功率放大最高频率(例如,約为60—100兆赫),則表面位垒三极管的工作电压一般不超过3—5 伏,而漂移三极管的工作电压通常超过20 伏,且可能是30—50 伏。

这个特点是漂移三极管的一个重大优点,特别是当在輸出端 必須具有足够大的电压降的情形。

漂移三极管对周围介质温度的改变更为敏感,是它的重大缺点,在这里必须考虑如下的因素:

- 1. 集电結位于高电阻率錯的区域內。 这就表示, 漂移三极管的电流 Im 将远大于用低欧姆材料制成的通常扩散三极管的漏电流.
- 2. 漂移三极管是高頻三极管, 并具有小的电极尺寸, 漂移三极管的散热条件通常不是很好的。每一毫氮的耗散功率所引起的 结的温度升高是足够大的。
- 3,由于工作电压高及空载电流大,漂移三极管将在相当大的 集电极耗散功率下工作,即集电结要在极度过热的情形下工作。
 - 4. 周围介质温度的升高引起集电結温度的升高及电流 In 的

增大,这又引起三极管的过热。

采用使散热条件最为有利的三极管结构可以使温度特性有某些改进,将錯漂移三极管改为硅漂移三极管可以使温度性能大大改进,但是应当記住,用高欧姆硅制成的漂移三极管和用低欧姆硅制成的三极管相比,仍然具有較坏的温度性能.

3. 隧道三极管和双基级二极管

所謂隧道三极管或場效应三极管是这样一种半导体器件,这种器件所利用的原理完全与以上所研究的各种类型器件不同,不是用电流来控制的。 与通常的面結合型和点接触型三极管不同,隧道三极管是用电压来控制的器件,

在 p-n 結上沿反方向加以封鎖电压,当电压改变时要发生结的扩大的这一现象,就是隧道三极管作用原理的基础。

隧道三极管的异簡单模型是,在 两端具有非整流接触的电子型針块的 一个側表面熔上烟电极(图 29).

在非整流接触 6_1 和 6_2 間接上供电源 E_2 和負載电阻,如图 29 所示.

經过錯块将有电流 5 流过,根据 欧姆定律, 6 之值将决定于負載电阻 及錯块的电阻之值、这个电流是由电 极61和 62 間,在电池 E2 所生的电場中

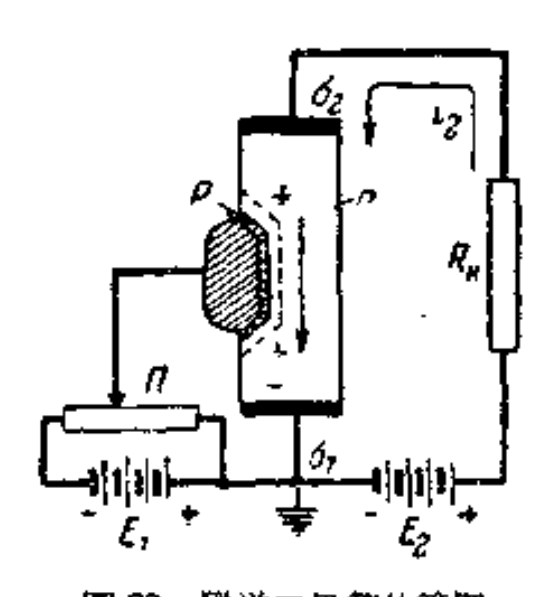


图 29 隧道三极管的簡图

运动的电子所荷載,現在电子是多数載流者。

現在在鋼电板和电极 6, 間加以电压, 在这个电压下結将被封鎖。采用电位計来降低这个电压,以便有可能改变其数值。

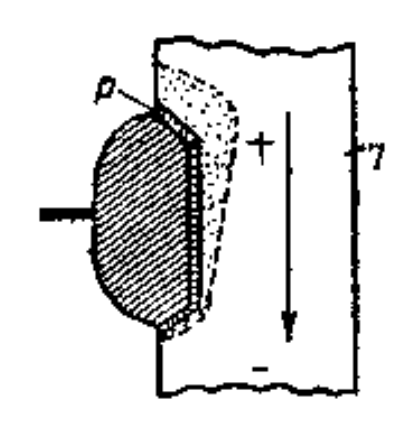
在 p-n 結上加以封鎖电压时,結的寬度要增大. 我們已經知道,对于餌的合金結,結在 n 型鍺区域中的扩大現象,特別是如果这个錯是具有高电阻率的,是合金結的一个特征. 当加以封鎖电压时結边界的位置在图中用虛緩大致示出, 結区域中的电場要阻碍电子向这区域內的深入.

根据 p-n 結的作用原理及靜特性曲綫的研究知道,在超过几十分之一伏的封鎖电压下,經过結的多数載流者电流就 終止了. 結的电流将只决定于少数載流者的电流。 因此,結的区域对于 n 区中的多数載流者(电子)的运动是封鎖的。当錯块的橫截面減小时,对于电流,2 的电阻值增大。同时,降落在区段 61-62 上的电压 也增大,負載上的电压則減小。

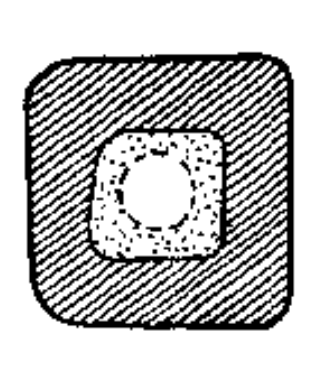
如果往右和往左移动电位計 Π 的滑动接头,以改变结上的封鎖电压值,则结的宽度将随着这个改变而改变。同时,绪块的截面及其在点 6_1 — 6_2 間的电阻值都将改变。 在电阻 R_1 上就出现交流电压。

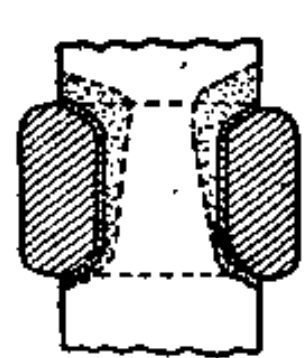
显然,这种三极管的放大性能将决定于区段 6₁—6₂ 的电阻的 調制深度。 因此要求鍺块的寬度与結的寬度相比拟。 此外,鍺块 材料的电阻率应当是足够高的,因为高欧姆材料能保証結的最大 寬度以及結随着电压改变时的最大改变。

最后应当注意到这一事实,即結上的电压是外加电压与体积中因电流 ½流过而产生的内部压降之和。从图 29 中看出,这个电压的接入是与外电压一致的。同时,作用在結上部的电压要大于作用在結下部的电压。結果,结的上部要比其下部寬一些(图30)









. 图 31 隧道三极管的圆环状结

为了增大調制深度,宜于将合金結作成围繞銹块的圓环的形式,在这种情形下,結就形成了一个心墙,其孔洞的直径随着加于結的电压的改变而改变(图 31)。这个心墙通常也称为隧道。

我們来研究,用什么方法可以得到隧道三极管的静特性曲綫族, 首先假定,加于合金电极与下面的非整流接触間的外电压等

于零。不論輸出电路的状态如何,将电极短接就得到零电压,如图 32 所示。

当电压 12 从零改变到 12 时,得到特性曲綫差不多是綫性的区段 OA(图 33)。这决定于,在位于范围 0一2的电流下,由电流 2流过而引起的内部压降不大改变阻挡层的寬度和隧道的截面。但

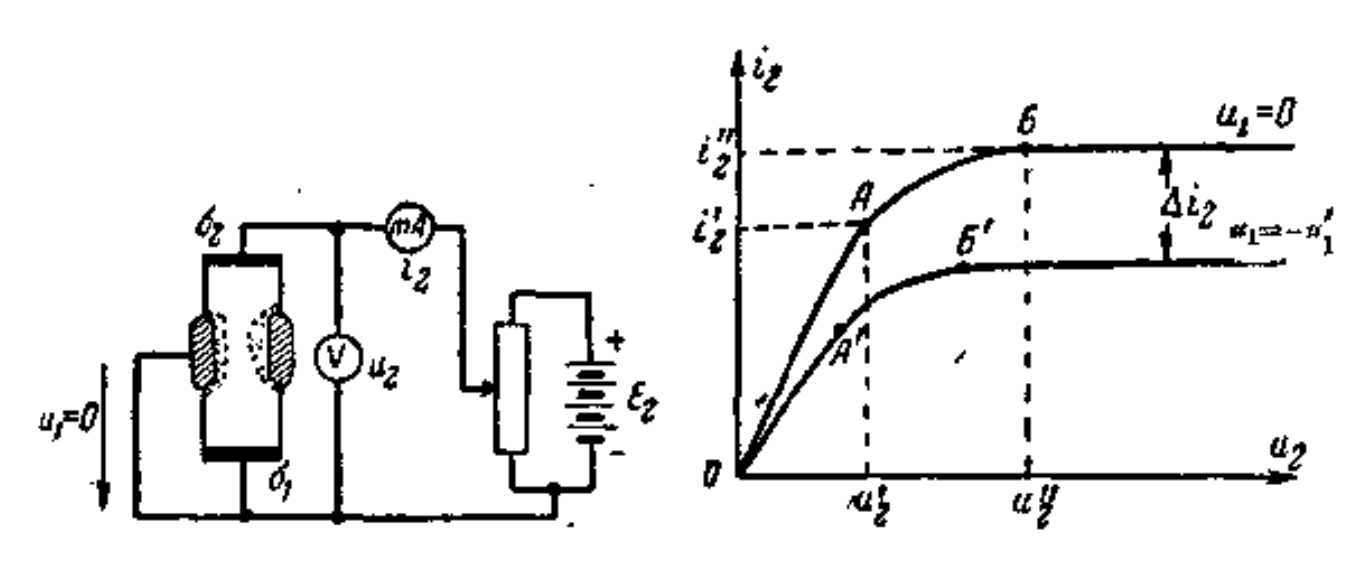


图 32 当 u₁=0 时隧道三极管 伏安特性曲綫的获得

图 33 隧道三极管的輸出伏安特性曲綫

是,截面的某些改变毕竟是有的,故特性曲綫在 OA 区段并不严格 遵守欧姆定律。 在超过 这的电流下,电流的进一步增长引起隧道 截面較明显的改变和其电阻的重大改变。

因此,电压 u_2 的改变引起流經結的电流的增长,而流經結的电流的增长又使結上的封鎖电压增大,这就产生了限制 i_2 的条件。再継續增大电压 u_2 不会引起电流 i_2 的更大增长。在这个区域内,隧道对电流增长的反应是非常强的。现在在輸入电极加以某一外部直流封鎖电压 u_1 。隧道的截面减小,其电阻则增大。 新的特性曲綫(对应于輸入电压 $u_1 = -u_1$)的起始区段 OA' 将具有对应于較大电阻值的斜度(图 33)。

因为隧道原来的截面較小,电流 i_2 的影响开始表現得早一些,特性曲綫从弯曲区段 A' B' 进入鲍和区发生在較小的电压 u_2 和电流 i_1 之下。对于一系列 u_1 < 0 的数值,用同样方法可以得到所有的特性曲綫族。

这些特性曲綫按其外貌非常象电子管的特性曲綫。隧道三极

管的放大性能可以用那种非常熟知的参数,例如跨导来表征:

$$S = \frac{\Delta t_2}{\Delta u_1}.\tag{48}$$

由于在控制原理和静特性曲綫方面,电子管与隧道三极管极为相似,有可能把調整电极 6, 与 6。間电子运动的电子空穴結队为是特殊的栅极。 在鍺体积中,受外电压 1/2 的場的作用电子从电极 6, 向电极 62 运动,电极 6, 可以看作是隧道三极管的阴极,电极 6 可以看作是阳极。

在文献中,目前采用如下的术語:对于电子空穴结——"閘門";对于电极 6₁——"入口";对于电极 6₂——"出口"。在以下的 叙述中,为了着重指出隧道三极管和电子管的极为相似,并利用无 綫电工程上习惯的术語,我們采用术語"柵极"、"阳极"和"阴极"。

隧道三极管是在目前还很少研究的器件,因此,要对其性能与特点給出簡要而足够完善的叙述是不可能的. 但是,在这里还是可以指出其某些特征,

首先,隧道三极管是在小信号下具有高輸入和高輸出阻抗的一种器件。事实上,隧道三极管在小信号下的輸出阻抗可用静特性曲綫斜角的余切来表征。 象电子管一样,輸出静特性曲綫的斜度决定隧道三极管的輸出电导 1/R。 輸出电阻 R,决定于輸出特性曲綫斜角的余切的倒数。 在工作区段内、特性曲綫的斜度极为接近于零。輸出电导也接近于零,而輸出电阻則足够高(几百千欧或几兆欧)。

隧道三极管的輸入电阻决定于封鎖二极管(棚极)的 徼 分电阻,这个电阻可以有几个兆欧。

所有的半导体器件,其中也包括隧道三极管的共同特点是在 电流与电压相互作用的体积中存在有分布电阻。这个电阻的存在 引起内部反饋以及一系列其他不良的現象。

对隧道三极管工作影响最大的是隧道与下面非整流电极—— 即极間的维体积电阻,因为这个电阻是输入和输出电路所具有的。

由电流与在这个电阻工引起的压降对结是封鎖的。椭极上负

电压的增大引起阳极电流的减小。同时,体电阻上的压降也减小。 結(耦极)上电压的合成变化小于外电压的变化。 这就是說,体电阻起着内部反馈电阻的作用。 与电子管相比拟,可以把这个电阻和接在电子管阴极的电阻同样看待。

根据邏輯上的想法和隧道三极管的工作原理,我們試來作出 其等效綫路。 首先,在輸入和輸出的公共电路中接入鍺体积分布 电阻,即接在隧道与阴极之間如图 34 所示,并記这个电阻为 ræ(阴 极电阻).

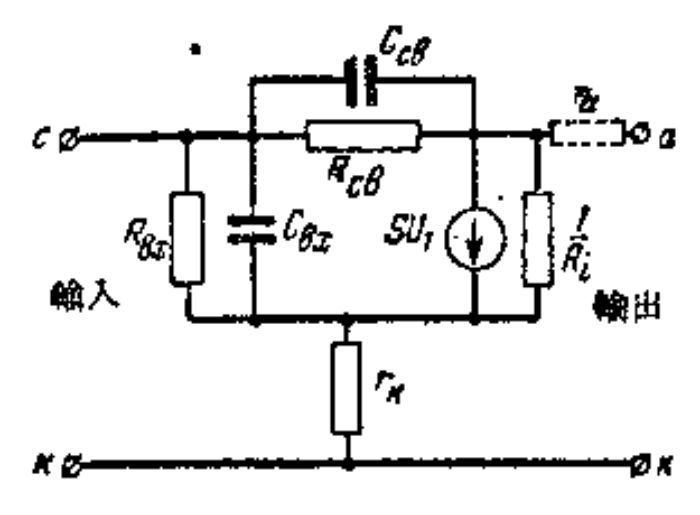


图 34 隧道三极管的近似等效援路

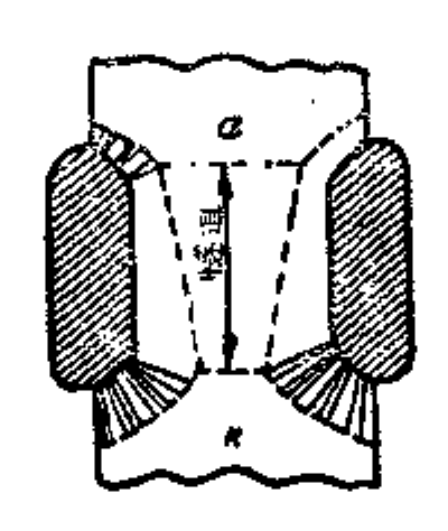


图 35 阳极与阴极简结的 电容假想分布

根据对伏安特性曲綫族的研究,三极管在輸出电路中的有源 元件表为电流发生器的形式:

$$I_2 = SU_1. (49)$$

其内电导是隧道的电导 1/R_i,

显然, 栅极的结既具有电阻也具有电容。为了使問題簡化、設想結的电容和电阻集中在图 35 的阴影区域内。 这些区域被具有高微分电阻的隧道区所分开。 区域之一与阳极毗邻,另一个与阴极毗邻,因此,可以认为,在栅极和阳极間及栅极和阴极限有纤联的 RC 电路作用, 这些 RC 电路經过体电阻 ru和 ru将栅极和相应地电极速在一起。

这些电路之一是栅极与阳极間的尺饋 阻抗, 并記为 Ron 和 Con. 第二个电路是輸入阻抗之值, 記为 Ron 和 Con. ,阻极的体电阻可以略去, 因为它只作用在輸出电路中, 且和隧道电阻 R, 相比

是很小的。

在实际上必須考虑到,柵极的結的电容和电阻是沿着結的整个表面而分布的,而且隧道电阻也是分布电阻。 等效綫路应当具

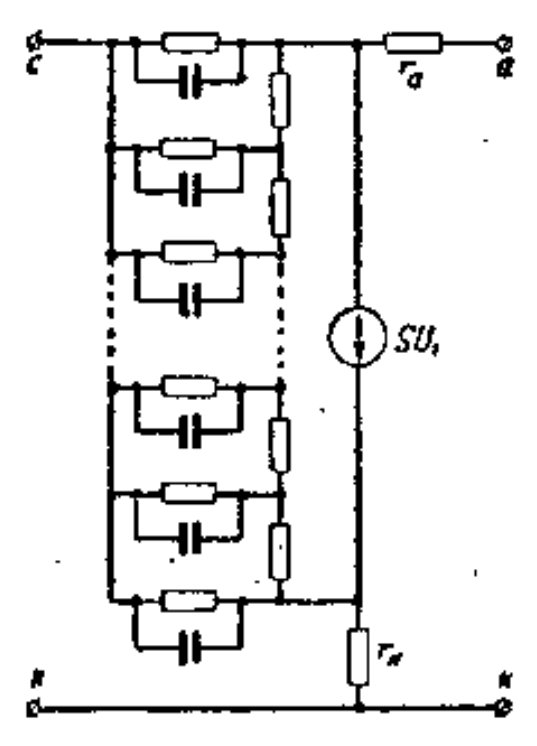


图 36 考虑了結的电容和电阻沿着 隧道的分布特性的等效緩路

有图 36 所示的形式。 这个綫路相当复杂,用它来研究某些关系是困难的。图 34 的綫路比較简单,且便于了解隧道三极管的某些性能。

电容 Cen 与电子管阳极-栅极 間的电容相似,是一过渡电容,电容 Cen 給出与頻率有关的正反饋.

在低頻下輸入阻抗决定于 R_{BX}.之值。 当頻率升高时,輸入阻抗的 电阻部分由于电容 C_{BX} 及串联电阻 r_E 的影响而下降[参看式(39)和 (40)]。此外,随着頻率的增高,經

过 Res Ces 电路的正反饋也增大,这也使得輸入电阻減小。隧道三极管的頻率性能,看来,主要决定于这些因素。

根据与电子管的极为相似可以判断, 具有隧道三极管的基本 **线路**应当与通常的电子管綫路很少有差别。 、

研究了第一批隧道三极管样品的参数指出,它的跨导約为0.2—1.0 毫安/伏,以及空载状态下的电压放大系数 $f_{x,x}$ 約为 100 或更高.自然,这些参数满足蓬奇-布鲁耶維奇关系:

$$k_{\mathbf{x},\mathbf{x}} = \mu = SR_{i\bullet} \tag{50}$$

在实际的隧道三极管綫路中,成功地获得了放大系数

$$k = SR_{H}, \tag{51}$$

在負載 10-30 千欧 下約为 6-10. 隧道三极管功率放大的最高頻率基本上是 10-20 兆赫.

必須注意, 隧道三极管应当具有高于通常的面結合型三极管的固有噪声。 这是由于,接成反向的結比接成正向的結具有較高的固有噪声。

在面結合型三极管中,接成正向的低噪声結(发射极)是輸入电极,具有較高噪声的电极(集电极)接成輸出,其噪声加在已放大的信号上。

在隧道三极管中, 計鎖的結接成輸入. 自然, 这不得不使其噪声性能变坏. 在文献中还沒有关于隧道三极管噪声系数值的精确数据.

研究隧道三极管的主要性能时,我們一直強調指出其与真空电子管的相似性. 不得不注意,这个相似性只在一定限制內是正确的. 加于隧道三极管电极的电压的极性就是这些限制.

假定在隧道三极管的阳极,加以对阴极說来不是正的而是負的电压。 因为隧道三极管的阳极和阴极是銦的非整流接触,故乍一看来似不应有什么改变。 但是因为电压极性的改变,同时引起隧道中电流方向的改变,因而引起隧道上压降符号的改变,就不能得到具有飽和区的伏安特性曲綫族。 事实上,因电流流过而引起的内部压降(参看图 29 和 30),对于栅极的结已經不是封鎖的,而是开启的了。 如果在这种情形下,在某一栅极封鎖电压 u₁ = -u₁下重复图 32 的实驗、則随着电流。的增长結上的封鎖电压减小、

而結的截面增大,这就使得 伏安特性曲綫向相反方面离 开綫性欧姆的情形(图 37).

在电流之的某一数值之下,内部开启电压之值将超过外部封鎖电压之值。結上的合成电压就是正向的,概极的二极管开启,而三极管的輸入电阻急剧下降。在这

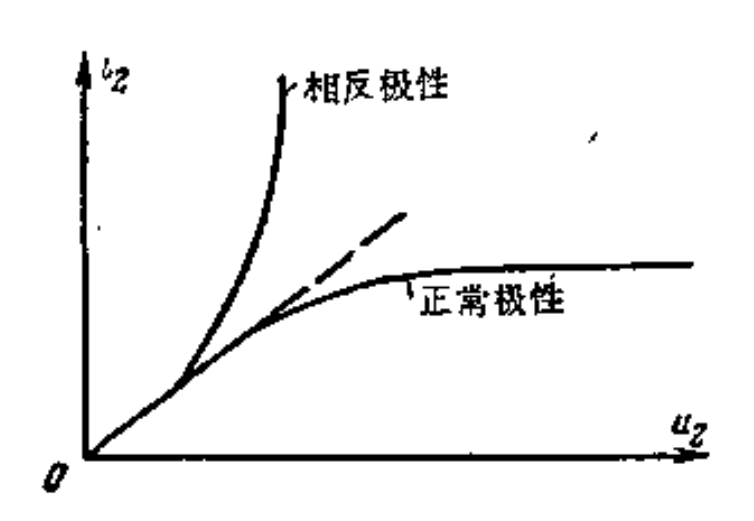


图 37 当阳极与阴极間电压具有不同 极性时隧道三极管的伏安特性曲綫

种情形下,三极管輸入电压的改变不会使結的寬度发生任何期显的改变.輸入电压对輸出电路电阻的調制則小到可以忽略.

当阳极电压具有正常极性而栅极上的外偏压是正向时,得到 类似的效应。三极管的輸入端也同样可用大电流(在低电压之下) 和低極入阻抗(在小信号之下)来表征。但是,可以指出,虽然栅极的结的宽度很小,且宽度随电压改变不大,三极管并没有失去放大性能。不但如此,如果在栅极正偏压的范围内测量其跨导,则发现当栅极的二极管开启时,三极管的跨导急剧增长。

因为流經結的电流密度决定于加在結上的电压值, 放結的面积愈大,对应于同样外加开启电压的电流也愈大, 显然,輸出端电流的变化将正比例于輸入端电流的变化。

因为对于电子空穴結,正向电压不大的改变将引起电流的重大改变,故这个器件将具有极大的跨导值。 同时,结的面积愈大,跨导也就愈大.

我們已經看出,控制电路中电流的方向是可以任意选择的。在某一极性下(参看例如图 29),内部反饋电压是封鎖的,而对于所研究的器件它将是負的。如果改变加于非整流接触間电压的极性,使其与图 29 綫路中的相反,则反饋将是正的,因为在这种情形下內部反饋电压已經是开启的了。 当非整流接触間电压不变时,可以在足够強的反饋下得到具有下降区段的輸入伏安特性曲綫。与点接触型三极管在恆定集电极电压下讀取的輸入伏安特性曲綫相似。 具有这种类型伏安特性曲綫的器件,可以极有成效地用在单管的脉冲发生器綫路中,象点接触型三极管那样。

这种器件已在实验室中制成,并是到双基极二极管的名称。 这个名称很好地反映了器件的結构特点,但沒有揭露其物理含义。 首先,这个器件是放大的半导体器件。在另一方面,它是象隧道三 极管一样的三极管。只是非整流接触之一对結說来起着基极的作用。 第二个非整流接触和第一个一起工作在独立的电路中,而且这电路不是輔助的,是主要的即控制电路,就象面結合型三极管中所发生的那样。从这个观点看来,"双基极二极管"这个名称是不完全恰当的.

双基极二极管的放大性能显然决定于多数平衡载流者与少数 非平衡载流者的浓度之比值以及它們的迁移率。平衡载流者的浓 度愈小,它們的迁移率也愈小,材料的电阻就愈高。 在这种情形 下,同样数量的注入的非平衡截流者将保証电导获得较大的相对 变化.

同时,利用高欧姆材料来制造双基极二极管会使温度特性大大变坏. 也就是从这个观点看来,宁愿采用硅来制造相类似的器件。

参考文献

- Гучер Ф., Приис М., Интерпретация величины α в транзисторах с р-п-переходом, «Проблемы современной физики», ИИЛ, 1955, 2, 99—105.
- [2] Эрли Дж., Распирение области пространственного заряда в плоскостном триоде. «Проблемы современной физики», 1935, 2, 105—116.
- [3] Ржанов А. В., Поверхностная рекомбинация и ее влияние на характеристики полупроводниковых приборов», «Радиотехника и электроника», 1956, 1, 8, 1086.
- Вул Б. М., Основы теории и некоторые результаты исследования германиевых диодов и триодов, «Радвотехника и электроника», 1956, 1, 8, 1040.
- [5] Притчард Р. Л., Представление кристаллических триолов в виде эквивалентных схем, Обвор (англ.), IRE Transactions, СТ-3, 1956...5.
- [6] Эрли Лж., Триоды плоскостного типа с переходами p-n-i-p и n-p-i-n,
 «Вопросы радиолокационной техники», 1955. 1, 36—48.
- [7] Дейси Г., Росс Н., Униполярный полевой транзистор, «Проблемы современной физики», ИИЛ, 1955, 2, 175—194.

半导体三极管作为放大綫路的元件

Е. И. 加尔彼林(Гальперин)

引 言

近代技术的发展要求电子設备必須解决为数日益增多的一切問題,如大大提高其可靠性,減少重量、体积及所消耗的功率等.現有的設备的設計与制造方法不可能在本质上解决这些問題.

提高設备的可靠性幷同时減少重量和体积的最有前途的途径之一,是利用新的半导体技术領域。半导体器件、鉄氧体和塞格湼特电介质的組合,可以从根本上縮減无綫电設备的尺寸,并改变我們对无綫电設备的体积和重量的概念。

虽然在最近几年內,在超小型管特別是鈦陶瓷管(其尺寸和寿命极接近于半导体器件)方面的研究有較大的成就,但半导体器件 毕竟是更方便和可靠的。半导体器件的高度可靠性在設备的設計 方面开辟了一种完全新的可能性,即在制作設备时可以不考虑其 中所含的級数。

半导体器件的广泛运用要求生产能和这些器件相比拟的超小型另件, 塞格涅特电介质、鉄氧体和新工艺的利用在这方面开辟 了极大的可能性,

半导体器件的制造工艺学还沒有达到稳定的状态。最近几年中在扩大温度和頻率极限方面获得了許多新的半导体器件,而且是不断地在扩大。例如,硅器件可以工作在200—250℃。 三极管的最高工作频率已达几百兆赫。虽然和真空电子管相比,半导体器件一直还具有較低的温度、频率、功率的工作极限,以及多少大一些的噪声电平,但目前它已經可以广泛应用在各种設备(其中包

括航空設备)中, 华导体器件在自动装置和計算;求解設备中的应用前途特别广泛。

例如,在計算机中采用半导体器件能够使供电源的消耗减少为1/20,以及机器的体积和重量大約減少为1/3,

1. 应用半导体三极管的特点

虽然,作为綫路元件,半导体器件和真空电子管在工作方面具有相似之点,但在用半导体器件构成綫路时,必须考虑到半导体三极管和真空电子管在工作机构方面的差别。

电子管綫路的知識对于在設备中采用半导体三极管可以是有用的,但必须相当小心。

企图将电子管綫路和半导体綫路过分精确地进行比較,例如, 企图逐字地遵守直接对比的原則,会有可能发現不了只是半导体 三极管綫路所具有的特点.

半导体器件作为綫路元件的主要特点是:

- a)由于輸入阻抗低,功率增益具有有限值;低的輸入阻抗在 輸入电路中引起不可免的損耗,而且,构成多級設备时要采用特 殊的办法。
- 6) 具有強烈的內部反饋,这使得必須把半导体三极管作为双向設备来計算。
- B) 半导体三极管的特性曲綫和参数与温度和状态有密切的 关系。
 - r) 半导体三极管的工作电压低,有可能用大电流来控制.

为了在应用半导体器件时得到最大的效率,必須不是簡单地 将电子管綫路搬用过来,而应該是考虑这些新器件的特点来修改 各个元件构成与組合的原則.

当配置綫路元件时,在設备各个級中将华导体三极管和电子 管加以簡单替代通常是很少有成效的,而且会引起許多不必要的 困难。

虽然半导体器件和电子管相比,具有較高的可靠性和較小的

体积和重量, 并可以在极小的供电电压下工作以及具有較高的效率, 但是由于它和真空电子管相比, 温度、頻率、功率的工作范围較小, 噪声电平較高, 且参数的不均一性較大, 故将半导体器件广泛应用于无綫电设备中还有困难。

三极管的特性曲綫和参数的温度依从关系与其作用原理有关,因而,由于采用了新的材料,虽然并不可能完全消除这一缺点,但在极大程度上可以加以削弱。

华导体三极管的特性曲綫和参数的温度依从关系要求必须采用特殊的供电綫路以获得对温度的稳定,这种特殊綫路可以自动 地調整工作点,以使得綫路参数保持不变.

引起半导体器件輸出阻抗随发生器阻抗而变、輸入阻抗随負 載而变的內部反饋的存在,以及半导体器件的低輸入阻抗和高輸 出阻抗,使得多級放大器的設計变得复杂。

在可能采用級間变压器的所有情形下,照例可得到較大的增益。由于原材料的不均匀及制造工艺的不完善,在同一类型内三极管参数的极不均一是其重大的缺点。

生产大批設备时必须考虑到参数的不均一性, 并且要求当更 换三极管或整个設备的这种設計时, 能够开始时在綫路中作个別 的調整,在后一情形下更换的元件不是三极管而是整介环节,这是 允許的,因为半导体器件的环节体积很小.

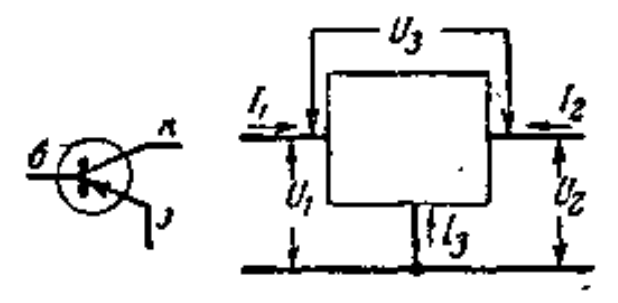
所有以上的叙述指出,应用学导体器件来代替电子管时,决不 是說作簡单的机械代替,而是要求根据新的三极管的特点来修改 数备設計的原則,并生产新的小型另件及与之相配的元件。

半导体器件設备的設計,照例,比电子管綫路的情形要复杂得多,要求解决的問題也广泛得多。 但是, 半导体器件設备的费用少, 体积小, 以及使用上的优点是足以补偿这些缺点的。半导体器件的蓬勃发展及其連續不断的改进, 使得以上所述缺点在逐漸减少,因而,在最近的将来其质量会大人提高, 其应用范围也会迅速扩大。

2. 半导体三极管的基本連接綫路

实际上,只要知道两个电流值 和两个电压值就已足够,因为

$$\frac{i_1 + i_2 + i_3 = 0}{u_1 + u_2 + u_3 = 0},$$
 (1)



因而,如果两个电流或两个电压值 ^{图 1} 为已知,则第三个的值可用这两个来表示。

图 1 华导体三极管看作三端网络

当半导体三极管用作放大器时,端鈕之一是輸入端,另一是輸 出端,而第三个是公共端。这时,重要的是两个电流;輸入的和輸 出的;以及两个电压;輸入的和輸出的。

这些电流和电压的方向定为正方向。

三个引綫中的每一个既都可作为輸入端,也都可作为輸出端, 但因为功率放大只可能沿一个方向进行,在这个方向下基极应当 永远是輸入端之一,而集电极永远是輸出端之一. 这样,就决定了 三极管的三种可能速接綫路: 共发射极、共基极和共集电极(图2)、

按照連接綫路的不同,輸入端和輸出端接以不同的电极,因而

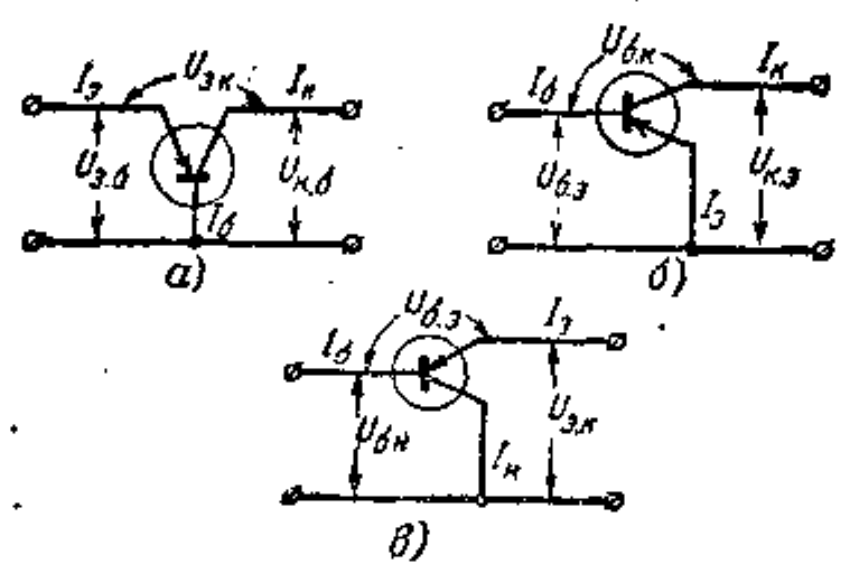


图 2 三极管的可能进接线路

得到輸入和輸出的电流和电压間的不同依从关系. 例如,在共发射极綫路的情形下,輸出和輸入电流間的依从关系决定于集电极电流对基极电流的比值,而在共基极綫路的情形下,决定于集电极电流对发射极电流的比值;自然,由于发射极电流远大于基极电流,故輸出电流对輸入电流的比值在共发射极綫路中相应地要高一些. 但是,这不是說,对于每一連接綫路都必須利用不同的特性曲綫.

事实上,知道了一种連接綫路的特性曲綫就已足够,因为按照 这个曲綫不难重新算出其他連接綫路的特性曲綫. 为此,只要选 定某一綫路作为出发,这个綫路应能保証从某一綫路的特性曲綫 換算成另一种綫路的特性曲綫时結果比較精确.

可控的基极电流是面結合型三极管极为重要的量,这个电流是发射极电流与集电极电流之差,因而远小于二者中的任何一个。因此,如果測出了发射极和集电极电流,然后取它們之差来决定基极电流,則因发射极电流与集电极电流彼此相差只有百分之几,就会得到較大的誤差。 相反地,决定了发射极电流或集电极电流和基极电流,换算时可以得到較高的精确度。所以,在作为出发的綫路中,基极应是懒入端。这样的綫路有两个:共发射极綫路和共集电极綫路,因而,共基极綫路不用来作为出发的綫路。

对于共集电极綫路(参看图 2,8),基极与集电极 間的电压 46.8 是輸入电压,而发射极与集电极間的电压 40.8 是輸出电压. 这两个电压之值都很大,且彼此相差很少,因为电压降主要决定于 集电結上的电压降,集电結是在反向加以偏压的,而发射极是在 正向加以偏压,自然,集电极电阻远大于发射极电阻.

如果在共集电极綫路中,用集电极与发射极間电压 uk, o 及集电极与基极間电压 uk, o 之差来决定基极与发射极間电压 ub, o,则因 uk, o 之值相差不大,自然会得到較大的誤差.

保証从一个綫路轉到另一綫路換算特性曲綫的最好綫路是共 发射极綫路,对于数值最小的基极电流和基极一发射极电压这个 綫路能給出精确的数值。 因此,按其基极綫路和共集电极綫路連接的宇导体三极管的特性曲綫,可以从按其发射极綫路連接的三极管特性曲綫精确地得到,而反过来作却不能保証必要的精确度。因此,关于面結合型三极管工作的最精确概念,可以得自在共发射极綫路讀取的特性曲綫族。对于这点应当补充,和其他綫路相比,其发射极綫路能得到功率放大的可能最大值。其发射极級另外的独有特点是,相位翻轉的性能以及电流放大和电压放大都可大于1. 这些性能使得其发射极級比其他連接綫路具有更广泛的应用。

因此, 共发射极綫路的特性曲綫不仅能給出有关三极管的較精确数据,而且在实际上也是用得較多的。但是,在半导体三极管发展的最初阶段,曾經广泛地推广从共基极綫路讀取的特性曲綫,而且目前还利用这些特性曲綫。这是由于, 在面結合型三极管出現以前,点接触型三极管接成共发射极綫路是不稳定的。

3. 半导体三极管的特性曲綫、参数和等效綫路

决定半导体三极管和电子管的物理过程是不同的,因此在計算方法和綫路构成方面也要有差别。在电子管的情形下,由于輸出电路对輸入电路的反应很弱,为了計算綫路的状态和参数知道一族輸出特性曲綫就已足够。在半导体三极管的情形下,由于内部反饋很強,必須至少知道两族特性曲綫——輸入特性曲綫和輸出特性曲綫。

根据选定因变量和自变量的不同,得到不同的特性曲綫和参数的系統. 象选择基本綫路的情形一样,我們必須对特性曲綫提出要求,并根据这些要求对特性曲綫作最后的选定.

对特性曲綫提出的主要要求是精确度,必須能精确地从特性曲綫决定出,表征三极管工作且計算时又便于利用的必要数据.

我們來研究幷比較华导体三极管特性曲綫已有的几种 系統, 首先研究以前应用最广泛的参数系統,

如果輸入和輸出电流 I_1 和 I_2 (图 3)被当作自变量,而輸入和輸出电压 U_1 和 U_2 被当作因变量,就得到如下的参数系統:

$$U_{1} = f_{1}(I_{1}, I_{2}), U_{2} = f_{2}(I_{1}, I_{2}),$$
(2)

其曲綫示出在图 4 中。

从所引出的特性曲綫族看出,它們总的說来是非綫性的。但 在弱信号的情形下,在特性曲綫中通常只是选定工作点附近很小一段是重要的,为了簡化計算可以把它看成是綫性的。

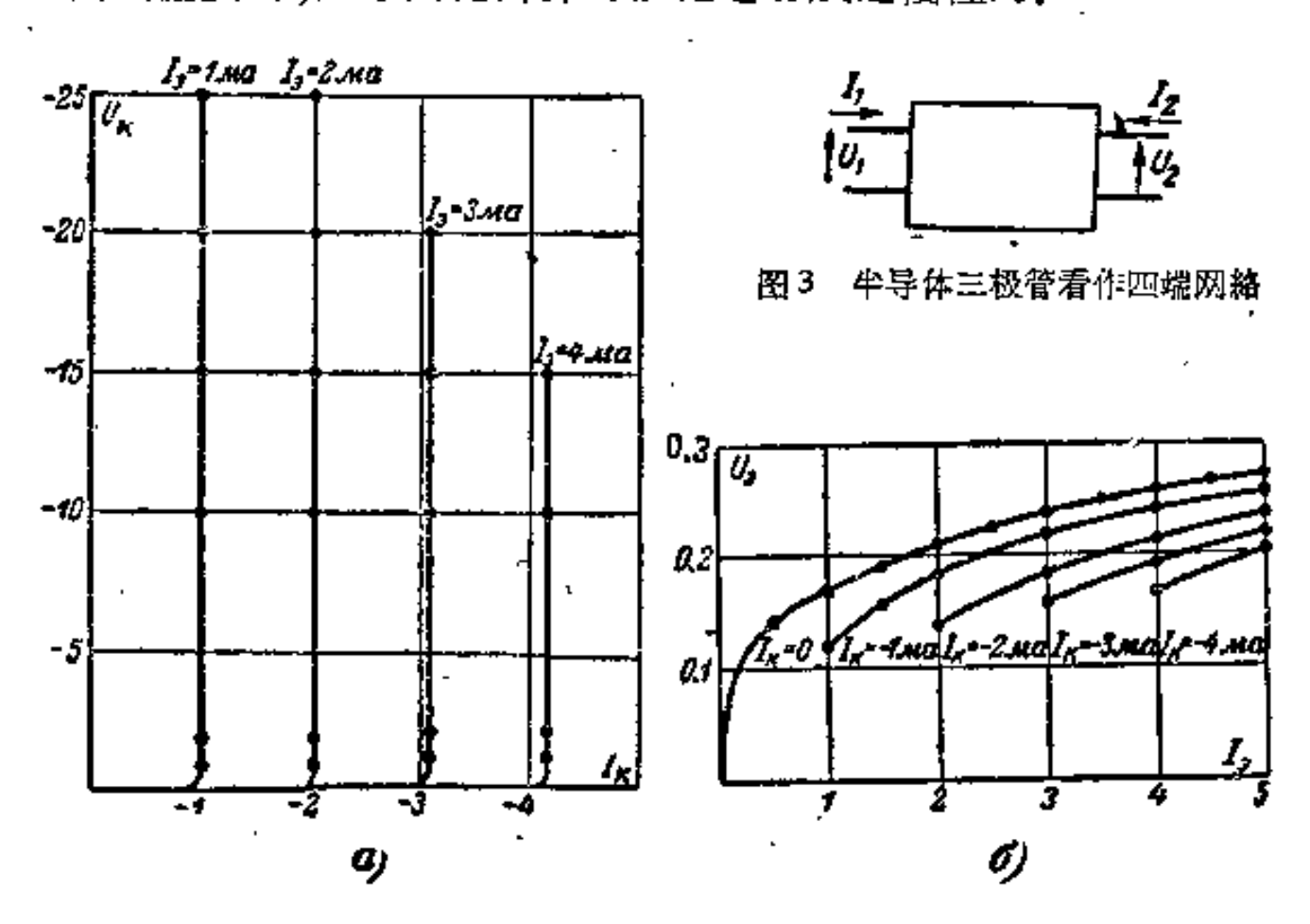


图 4 共基极领路的静特性曲綫 a——輸出特性曲綫; 6——輸入特性曲綫

函数关系表成如下形式:

$$\Delta U_1 = \frac{\partial U_1}{\partial I_1} \Big|_{I_2} \Delta I_1 + \frac{\partial U_1}{\partial I_2} \Big|_{I_1} \Delta I_2, \tag{3}$$

$$\Delta U_1 = \frac{\partial U_2}{\partial I_1} \Big|_{I_2} \Delta I_1 + \frac{\partial U_2}{\partial I_2} \Big|_{I_1} \Delta I_2, \tag{4}$$

其中 ΔU_1 是輸入电压的增量;

 ΔU_2 是輸出电压的增量;

AI1和 AI2 分別是輸入和輸出电流的增量。

我們来决定所得方程式(3)和(4)中輸入和輸出电流前面的系

数,这些系数就是給定系統的参数。

如果加以条件 $\Delta I_2 = 0$,这对应于輸出端开路的情形,则从式(3)得到:

$$\Delta U_1 = rac{\partial U_1}{\partial I_1} \Big|_{\Delta I_2=0} \Delta I_1,$$

从而有

$$\frac{\partial U_1}{\partial I_1}\Big|_{\Delta I_2=\emptyset} = \frac{\Delta U_1}{\Delta I_1}\Big|_{\Delta I_2=\emptyset},$$

上式是輸入电压对輸入电流的比值,也就是輸出端开路时的輸入 阻抗,并記为 z₁₁,其下标中第一和第二个数字分別表示与該参数 有关的电流和电压的番号。

在現在的情形下, z₁₁ 表示, 这个参数是輸入电压对輸入电流的比值。

也就是

$$z_{11} = \frac{\Delta U_1}{\Delta I_1} \Big|_{\Delta I_2 = 0} \tag{5}$$

是輸出端开路时的輸入阻抗.

同样地,从方程式(3)令 $\Delta I_1 = 0$,这对应于輸入端开路,得到 z_{12} 的表达式,其下标中第一和第二个数字又分别表示与这个参数 有关的电压和电流的番号:

$$z_{11} = \frac{\partial U_1}{\partial I_2} \bigg|_{\Delta I_1 = 0} = \frac{\Delta U_1}{\Delta I_2} \bigg|_{\Delta I_1 = 0}, \tag{6}$$

这是輸入端开路时的反向传輸阻抗.

在表达式(4)中令 $\Delta I_2 = 0$,同样地得到:

$$z_{21} = \frac{\partial U_2}{\partial I_1}\Big|_{\Delta I_2=0} = \frac{\Delta U_2}{\Delta I_1}\Big|_{\Delta I_3=0} , \qquad (7)$$

这是輸出端开路时的正向传输阻抗.

在表达式(4)中令 $\Delta I_1 = 0$,得到:

$$z_{2i} = \frac{\partial U_2}{\partial I_2} \Big|_{\Delta' := 0} = \frac{\Delta U_2}{\Delta I_2} \Big|_{\Delta I_2 = 0}, \qquad (8)$$

这些輸入端开路时的輸出阻抗。

对于等效綫路(图 5)按規定用小写字母来标記增量, 就得到

$$\left. \begin{array}{l}
 u_1 = z_{11}i_1 + z_{12}i_2, \\
 u_2 = z_{21}i_1 + z_{22}i_2,
 \end{array} \right\}$$
(9)

容易把图 5 的綫路变换成广泛应用的 T 型綫路, 共基极綫路的 T 型綫路表示在图 6 中, 其中 r6 是基极电阻, r。是发射极电阻, r。是共基极綫路的集电极电阻, rx 是等效发生器的电阻.

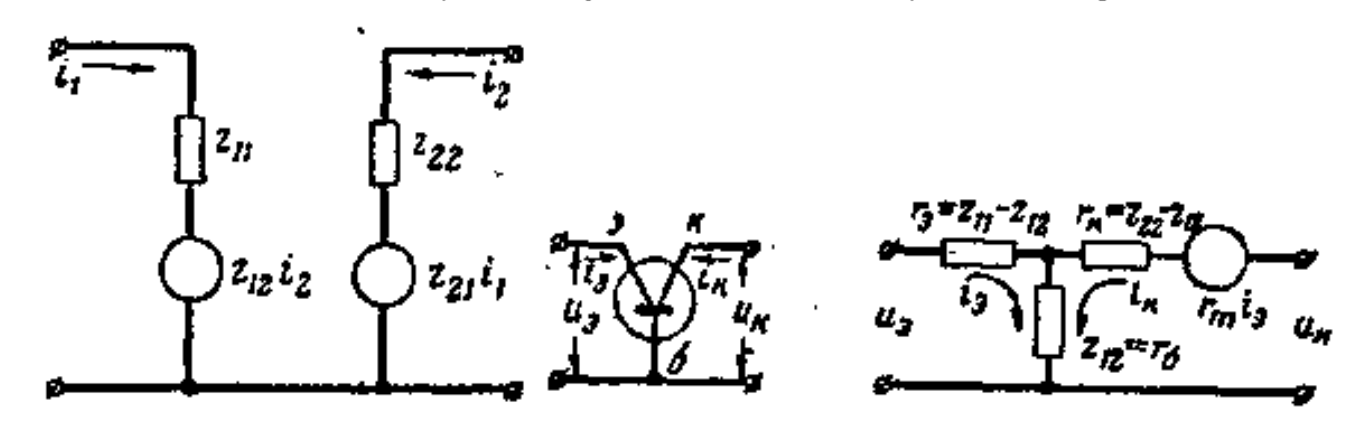


图 5 三极管的等效機路

图 6 接成共基极的三极管的工型綫路

这个綫路可以变换成具有抖联等效发生器的T型綫路(图7), 其中 a 是等效发生器的放大系数。 在图 6 和图 7 的等效綫路中,

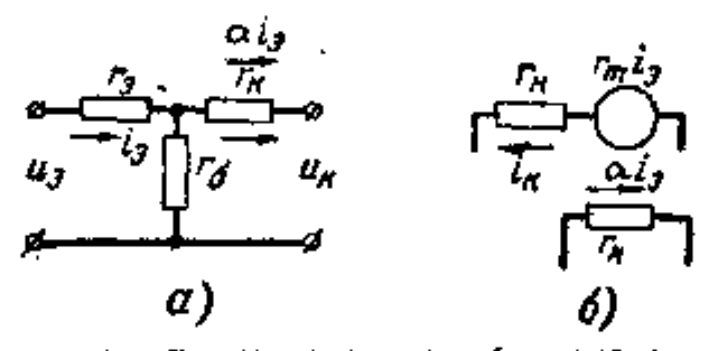


图 7 具有対联等效发生器的工型緩路

令相应区段上的电压相等,可以得到 a 的值,即

$$r_{\rm E}i_{\rm E}+r_{\rm T}i_{\rm B}=(i_{\rm E}+ai_{\rm B})r_{\rm E},$$

从而有

$$a = r_{\rm T}/r_{\rm B}. \tag{10}$$

电流放大系数是极为重要的参数:

$$\alpha = \frac{t_{\rm K}}{t_{\rm B}} \Big|_{U_{\rm K}=0} = \frac{z_{21}}{z_{22}} = \frac{r_{\rm T} - r_{\rm S}}{r_{\rm K} + r_{\rm S}}.$$
 (11)

T型綫路获得了广泛的应用,因为它給出了半导体三极管最清晰的图画。图 8,a 和 5 所示分别是共发射极綫路和共集电极綫路的等效 T型綫路。

表1中列出了,对于三种連接綫路用T型綫路参数来計算 z 参数的公式。

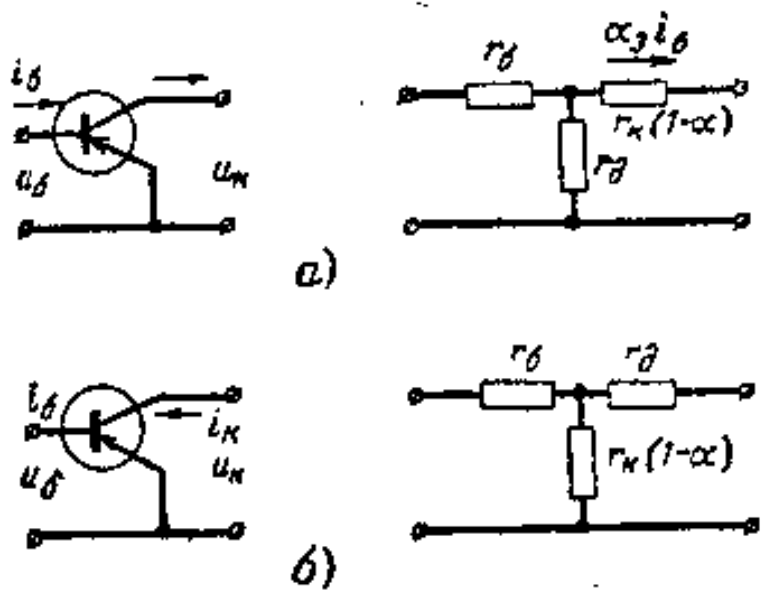


图 8 三极管的T型綫路 a----共发射极綫路; 6----共集电极綫路

在半导体三极管綫路中把电压作为自变量是否便利,是值得思考的. 和集电极供电源的内阻相比,集电极电路通常是高阻抗电路. 因此,看来,在这种情形下控制集电极电压要比控制其电流容易一些. 无論是采用电池,还是采用整流器作为供电源,通常都能保証相当恆定的电压.

| + * * * * * * * * * * * * * * * * * * * | 連 | 接接 | 路 |
|---|---------------------------------|--------------------------------|----------------------------------|
| 参数名称 | 共 发 射 极 | 共 基 极 | 共 集 电 极 |
| 2:1 | . 16+13 | r ₆ +r ₉ | $r_{\rm K}+r_{\rm G}$ |
| 5 12 | r ₉ | <i>r</i> 6 | $r_{\mathbb{K}}(1-\alpha)$ |
| 251 | -r _T +r ₃ | r_1+r_6 | r ₁₀ |
| .55 gg | $r_{\rm K}(1-\alpha)+r_0$ | $r_{\rm E}+r_{\rm G}$ | $r_{\rm K}(1-\alpha)+r_{\oplus}$ |

表 1 z 的計算公式

在另一方面,三极管的輸入阻抗通常远小于接向基极的偏电源的内阻,所以在这种情形下控制輸入电流要比控制基极-发射极电压容易一些,此外,輸出电流和电压是基极电压的非綫性函数.

在这方面, 半导体三极管和真空电子管之間具有很好的二重 相似性, 半导体三极管中的基极电流和电子管中的栅极电压是自 然的可挖量或自变量。电子管的栅极和阴极可以看作是沿反向加以偏压的二极管,因而在其中易于控制栅极电压而难于控制栅极电流。在另一方面,基极和发射极是沿正向加以偏压的二极管元件,因而在其中易于控制基极电流之值。

电子管输出端对栅极正弦电流的反应是非正弦的,同样地,华导体三极管输出端对基极正弦电压的反应也是非正弦的。由此,电子管和华导体三极管输入电路中电流和电压的作用,可以相互地来研究。因此,在許多情形下,华导体三极管的集电极电压和基极电流是"自然的"自变量。应用这些变量引出所謂混合的或 A 参数。在这种情形下,特性曲綫表为下则形式(图 9):

$$U_1 = f_1(I_1, U_2), (12)$$

$$I_2 = f_2(I_1, U_1).$$
 (13)

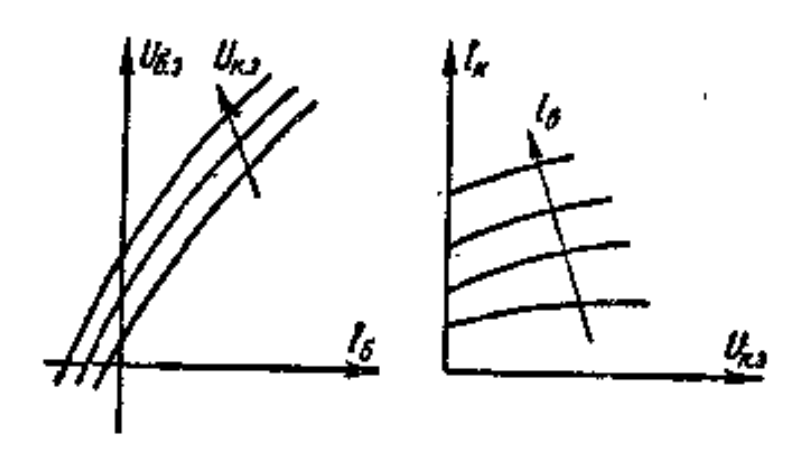


图 9 弗发射极凝路的三极管静特性曲綫

对于弱信号的情形,上列方程式可以解析地表成如下形式:

$$\Delta U_{1} = \frac{\partial U_{1}}{\partial I_{1}} \Big|_{U_{2}} \Delta I_{1} + \frac{\partial U_{1}}{\partial U_{2}} \Big|_{I_{1}} \Delta U_{2},$$

$$\Delta I_{2} = \frac{\partial I_{2}}{\partial I_{1}} \Big|_{U_{2}} \Delta I_{1} + \frac{\partial I_{2}}{\partial U_{2}} \Big|_{I_{1}} \Delta U_{2}.$$

$$(14)$$

从而有

$$h_{11} = \frac{\partial U_1}{\partial I_1} \Big|_{\Delta U_2 = 0} = \frac{\Delta U_1}{\Delta I_1} \Big|_{\Delta U_2 = 0} \tag{15}$$

是輸出端短路时的輸入阻抗;

$$\mu_{12} = h_{12} = \frac{\partial U_1}{\partial U_2} \Big|_{\Delta I_1 = 0} = \frac{\Delta U_1}{\Delta U_2} \Big|_{\Delta I_2 = 0}$$
 (16)

是輸入端开路时的反向电压放大系数:

$$\alpha = h_{21} = \frac{\partial I_2}{\partial I_1} \Big|_{\Delta U_2 = 0} = \frac{\Delta I_2}{\Delta I_1} \Big|_{\Delta U_2 = 0} \tag{17}$$

是輸出端短路时的正向电流放大系数;

$$\frac{1}{z_{22}} = h_{22} = \frac{\partial I_2}{\partial U_2} \bigg|_{\Delta I_1 = 0} = \frac{\Delta I_2}{\Delta U_2} \bigg|_{\Delta I_1 = 0}$$
 (18)

是輸入端开路时的輸出导納、

值得指出, h₁ 具有阻抗的因次, h₂ 具有导納的因次,而 h₂ 和 h₂₁ 沒有因次。

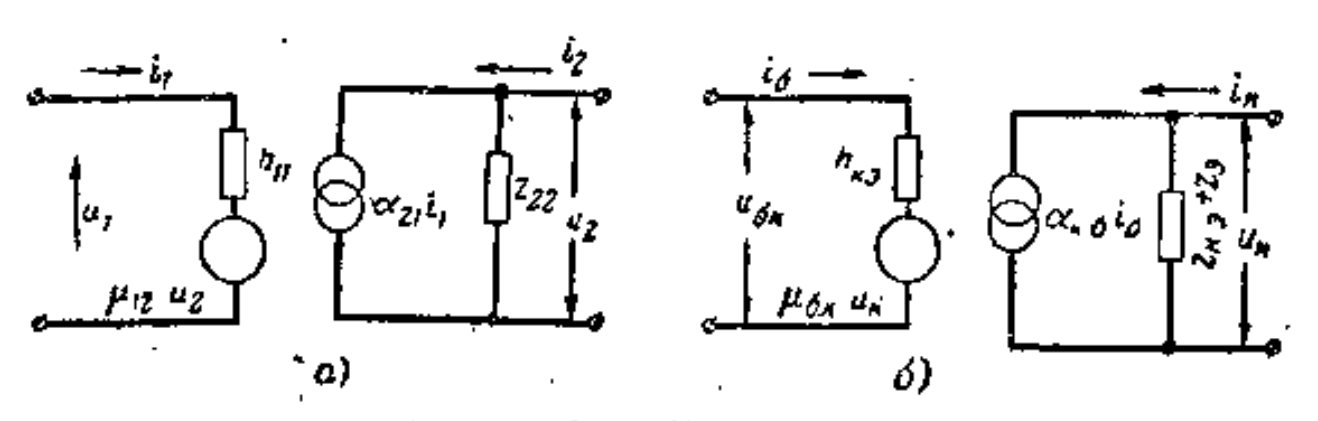
用小写字母来标記增量,参数的表达式可以改写成:

$$u_{1} = h_{11}i_{1} + \mu_{12}u_{2};$$

$$i_{2} = \alpha_{21}i_{1} + \frac{1}{z_{22}}u_{2};$$
(20)

其中
$$\mu_{12} = h_{12}, \quad h_{22} = \frac{1}{z_{22}}.$$

按照方程式(20),在图 10, a 中对于 h 参数系統引出了共基极的一般等效綫路,其中一个圆圈表示电压发生器,而两个圆圈表示电流发生器。对于其发射极綫路的特形,等效綫路输出在图 10, 6 中.



. 图 10 A 参数系統的等效緩路a----- 一般的等效綫路; 6----共发射极緩路

为了能对不同系統的参数进行换算,在表 2、3、4 中引出了一般的换算公式,以及对于三种接法的 2 参数和 A 参数之值。

表 2 z 参数和 h 参数間的相互关系

$$z_{11} = \frac{S}{I_{11}} = Sh_{11}$$
 $h_{11} = \frac{z_{11}}{S}$ $z_{12} = \mu_{12}z_{22}$ $\mu_{12} = z_{.2}/z_{22}$ $z_{21} = -\alpha_{21}z_{22}$ $\alpha_{21} = -z_{21}/z_{22}$ $\alpha_{21} = -z_{21}/z_{22}$ $\beta_{22} = 1/h_{23}$ 其中 $S = 1 - \mu_{12}\alpha_{21}\frac{z_{22}}{h_{11}}$

表 3 对于三种連接綫路用共发射极綫路測得参数計算 h 参数的公式

| 参数 | 共发射极 | 共 基 极 | 共 集 电 极 |
|---|--|--|--|
| $h_{ii}=1/\gamma_{ii}$ | h_{119} | $h_{116} = \frac{h_{119}}{1 + \alpha_{16}}$ | h_{119} |
| $\mu_{12} = h_{12}$ | μ _{б.к} | $\mu_{0.\mathbf{k}} = \frac{\mu_{0.\mathbf{k}} S_0}{1 - S_0},$ 如果[$\alpha_{\mathbf{k}.6}$] $\gg 1$ | $\mu_{5.9} = 1 - \mu_{5.8} \approx 1$, 如果 $[\mu_{5.8}] \ll 1$ |
| $\alpha_{21}=h_{21}$ | $a_{\kappa.6}$ | $\alpha_{\text{K-9}} = -\frac{\alpha_{\text{K-5}}}{1 + \alpha_{\text{K-6}}}$ $= -\alpha$ | $\alpha_{9.6} = -\left(1 + \alpha_{\kappa.6}\right)$ |
| $h_{22} = 1/z_{22}$ | h ₂₂₉ | $h_{223}(1+\alpha_{\kappa.6})$ | h ₂₂₃ |
| $S = 1 - \mu_{12} \times \alpha_{21} y_{11} z_{22}$ | $S_{a}=1-\mu_{0,x}\times \alpha_{x.6}y_{11a}z_{22a}$ | $S_6 = 1 + (1 + \alpha_{R.6})S_9$ | $egin{array}{c} S_{\mathrm{K}} \!\!=\! 1 \!+\! (1 \!-\! \mu_{5.\mathrm{K}}) (1 \!+\! lpha_{\mathrm{K}.6}) y_{\mathrm{K}.9} 	imes \ z_{229} \!\!\approx\! 1 \!+\! lpha_{\mathrm{K}.6} y_{119} z_{129} \ \mathrm{SFF} [lpha_{\mathrm{K}.6}] \!\gg\! 1, \mu_{5.\mathrm{K}} \ll 1 \end{array}$ |

表 4 用 T 型綫路参数計算 h 参数的近似公式

| 参数 | 共 发 射 极 | 共 基 极 | 共 集 电 极 |
|---|----------------------------------|-------------------------|---|
| hu | $[r_0+r_0(1-\alpha)]/(1-\alpha)$ | $r_{9}+r_{0}(1-\alpha)$ | $[r_0+r_0(1-\alpha)]/(1-\alpha)$ |
| h ₁₃ | $r_0/r_{\rm K}(1-lpha)$ | $r_6/r_{\rm K}$ | $r_{\rm K}(1-\alpha)/[r_9+r_{\rm K}(1-\alpha)]$ |
| h ₂₁ | $\alpha/(1-\alpha)$ | -α | $-1/(1-\tilde{a})$ |
| h ₂₂ | $1/r_{\rm R}(1-\alpha)$ | 1/r _K | $1/r_{\rm R}(1-\alpha)$ |
| 对于 $r_3 \ll r_K (1-\alpha), r_6 \ll \alpha r_K$ | | | |

4. 共发射极放大器

图 11, a 所示是共发射极綫路的工型等效綫路。 和 rx.s 相比略去 rs, 就得到图 11,6 所示比較簡单的等效綫路。

按照图 11,6 的簡化等效綫路,我們来計算放大器的 主要特性,在这种情形下,电流增益

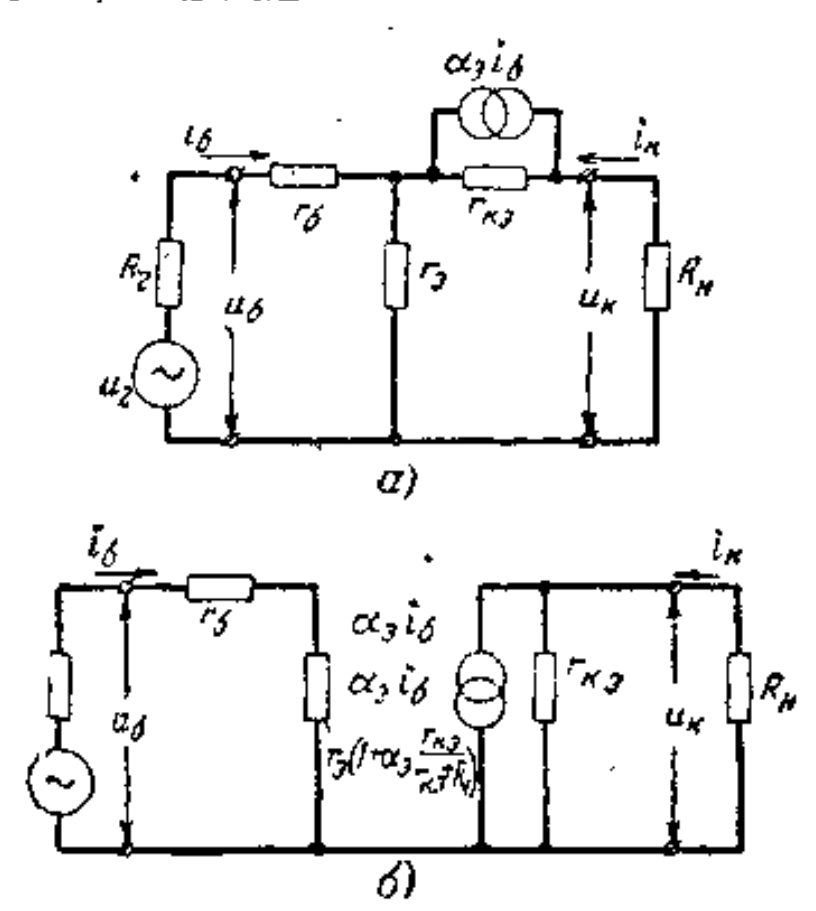


图 11 共发射极的等效緩路 a---T型綫路; 6-----簡化緩路

$$k_i = \frac{i_{\rm K}}{i_6} \approx \alpha_0 \frac{r_{\rm K,9}}{r_{\rm K,9} + R_{\rm K}};$$

輸入电阻

$$R_{\rm mx}=\frac{u_6}{i\epsilon},$$

其中 u6 等于 r6 和 ro 上的电压降之和. 沿电阻 ro 流过的电流 io, 可用 io 和 ix 以如下形式表示:

$$i_0 = i_K + i_0;$$

因为 in = kito, 故

$$i_n = (k_n + 1)i_0 = \left[1 + a_0 \frac{r_{K,0}}{r_{K,0} + R_{H}}\right]i_0.$$

从而有

$$u_6 = i_6 r_6 + i_9 r_9 = \left[r_6 + \left(1 + \alpha_9 \frac{r_{R,9}}{r_{R,9} + R_B} \right) r_9 \right] i_6, \quad (21)$$

ញ

$$R_{\rm BX} = \frac{u_6}{i_6} = r_6 + \left(1 + a_9 \frac{r_{\rm H,0}}{r_{\rm K,0} + R_{\rm H}}\right) r_{\rm B}. \tag{22}$$

电压增益

$$k_{\rm u} = \frac{u_{\rm K}}{u_{\rm 0}} = -\frac{i_{\rm K}R_{\rm H}}{i_{\rm 0}R_{\rm BX}} = -\frac{k_{\rm s}R_{\rm H}}{R_{\rm BX}}.$$
 (23)

功率增益

$$k_{\nu} = k_{\nu} k_{\nu} \tag{24}$$

輸出电阻的表达式具有如下形式:

$$R_{\text{BMX}} = (r_{6,6} + r_{6}) \left(1 + \frac{r_{6}\alpha_{9}}{r_{6} + r_{9} + R_{r}} \right). \tag{25}$$

当 R_R 远小于 r_K, 时,等效綫路还可以簡化,如图 12 所示。在 这种情形下,計算公式也可以簡化:

$$k_i \approx \alpha_0$$
:

$$k_{\mu} \approx \frac{-R_{\pi}\alpha_{0}}{r_{6} + (1 + \alpha_{0})r_{0}};$$

$$k_{p} \approx \frac{R_{\pi}\alpha_{0}^{2}}{r_{6} + (1 + \alpha_{0})r_{0}};$$

$$R_{\text{BX}} \approx r_{6} + (1 + \alpha_{0})r_{0};$$

$$R_{\text{BMX}} \approx r_{\text{N.0}} \left(1 + \frac{r_{0}\alpha_{0}}{r_{6} + r_{0}} + R_{r}\right).$$
(26)

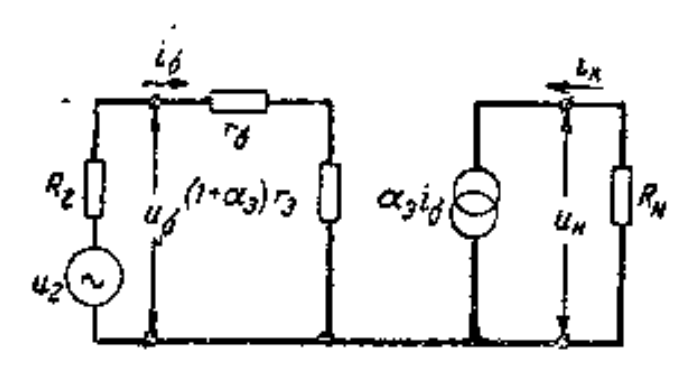


图 12 Rx &rx.a 时的简化等效綫路

为了确定共发射极放大器带有特征性的参数值,利用典型的面結合型三极管的参数举例說明。

 $r_0 = 25$ 欧; $r_6 = 500$ 欧; $r_{E,0} = 40000$ 欧; $\alpha_0 = 50$.

对于 $R_{\pi} = \frac{r_{\text{K,9}}}{20} = 2000$ 欧, $R_2 = 100$ 欧的情形, 得到: $k_i =$

50; $k_{\mu} = 55$; $k_{p} = 2750$; $R_{\text{BK}} = 1800$ 数; $R_{\text{BMX}} = 1.2 \times 10^{5}$ 数.

为了說明共发射极放大器主要参数的变化,在图 13 和 14 中作出了 k_i 、 k_a 、 R_{Balk} 和 R_{Balk} 随負載电阻 R_{Balk} 之值而变的曲綫,以及 R_{Balk} 随发生器內阻 R_{Balk} 而变的关系.

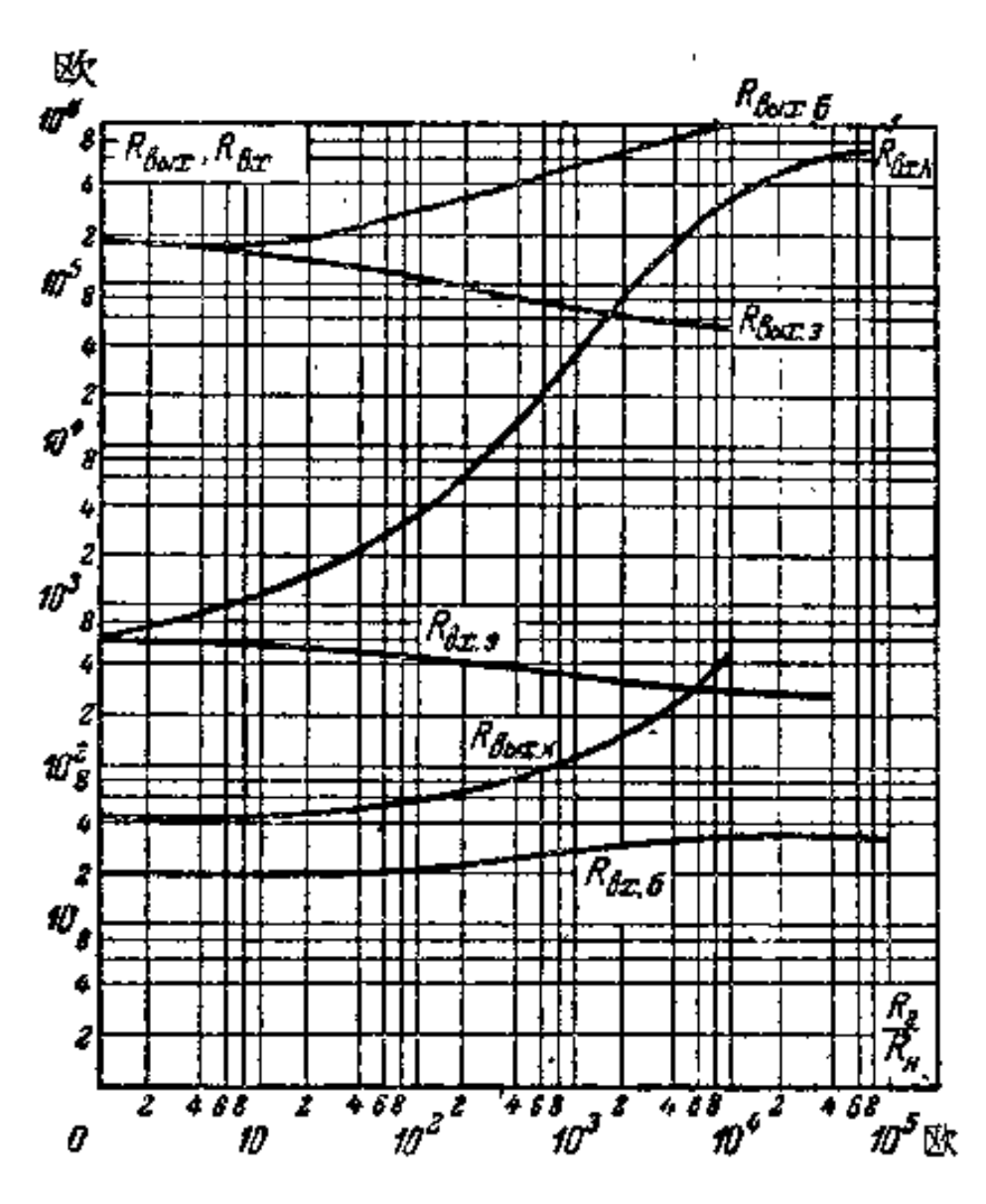


图 13 在共发射极溪路(下标 s),共集电极緩點(下标 κ)和共基极 緩路(下标 δ)中, $R_{\rm BX}$ 和 $R_{\rm RBX}$ 随 $R_{\rm H}$ 和 $R_{\rm P}$ 而变的关系

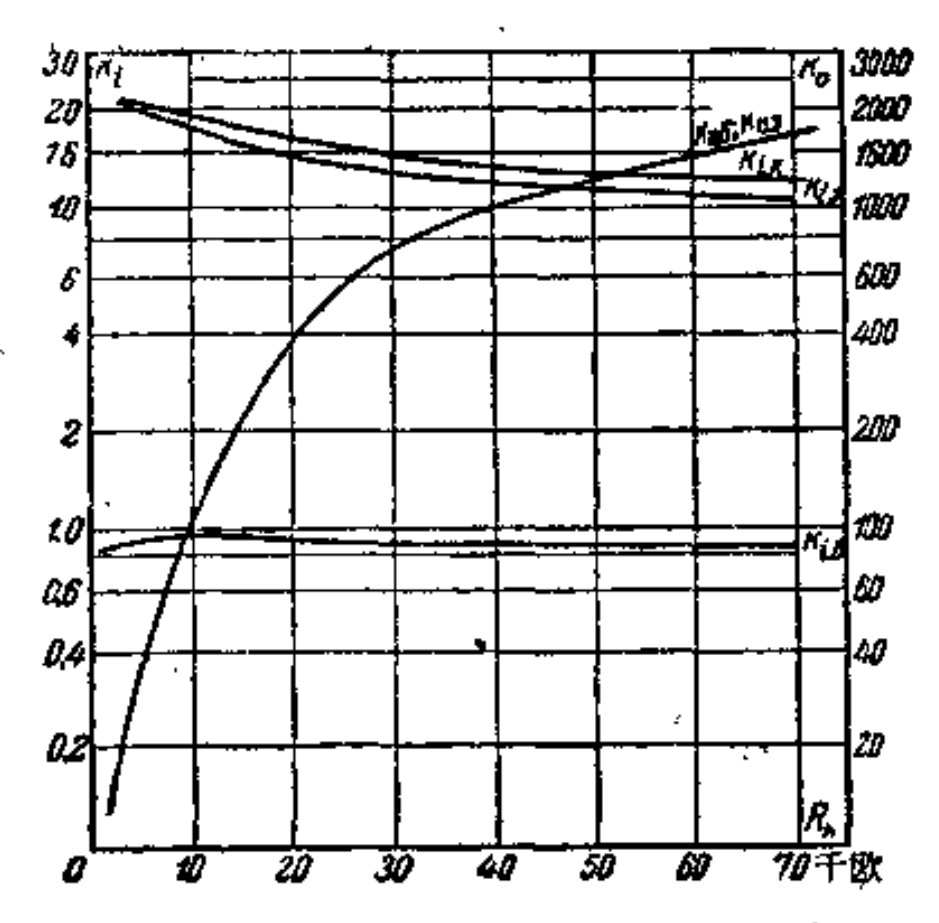
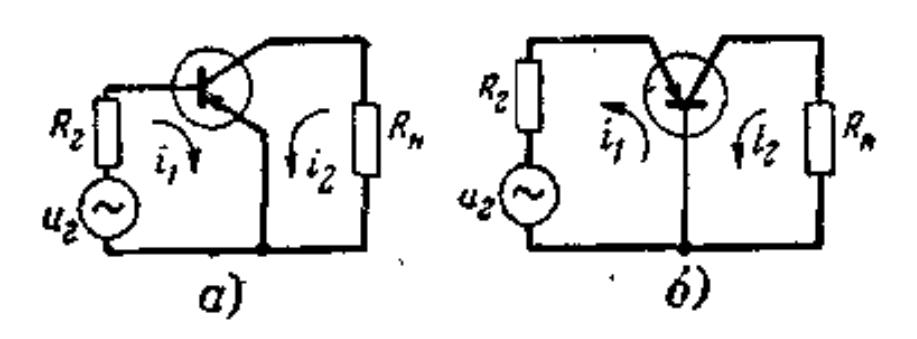


图 14 共发射极缓路的三极管的 标和 标 随 Rn 而变的关系

5. 共基极放大器

在半导体三极管中基极电流是可控电流。在共发射极放大器中,負載接在集电极与发射极之間,輸入信号源电流同时就是基极电流或可控电流(图 15)。



如果負載的一端不是接向发射极,而是接向基极,則輸入与輸 出电路的公共电极变为基极. 在共基极放大器中,可控电流变为 等于輸入信号源电流与負載电流之差. 因为輸出电流經过輸入电 路的信号发生器完全反回来落在輸入端,故共基极放大器具有百 分之百的負反饋,这容易解析地証明:

$$k_{i6} = \frac{i_{ik}}{i_{ib}} = -\frac{i_{ik}}{i_{ik} + i_{i6}} = -\frac{i_{ik}/i_{i6}}{i_{ik}/i_{i6} + 1} = -\frac{k_{ib}}{k_{ib} + 1}.$$

可以和具有反饋时一般的增益公式比較一下,具有反饋时的增益为

$$k_{o,o} = \frac{k}{1 + k\beta},$$

其中 β 是反饋系数;当百分之百反饋时, $\beta=1$,我們有:

$$k_{0,0} = \frac{k}{1+k}.$$

电压增益和功率增益为

$$k_{\mu \delta} = 1 - k_{\mu 9};$$

$$k_{\mu \delta} = \left(-\frac{k_{\mu 9}}{1 + k_{\mu 9}}\right) (1 - k_{\mu 9}),$$
(27)

因为在共基极綫路中

$$k_{\mu} > 1$$

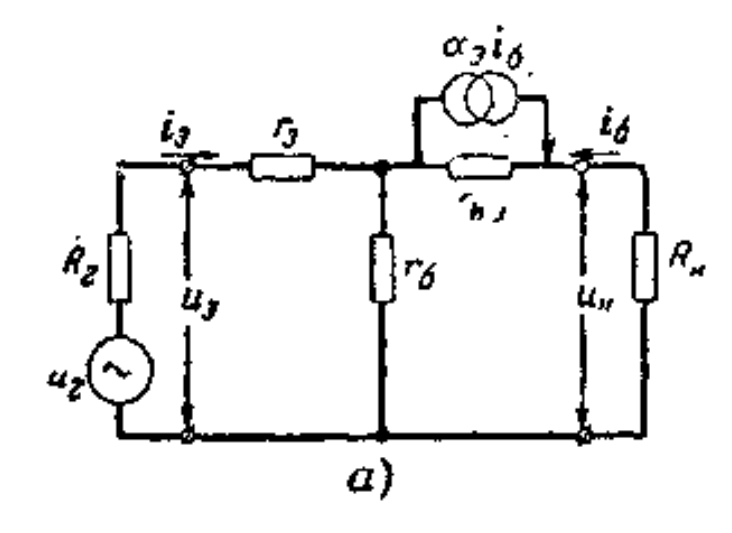
肗

$$k_{\mu 6} \approx k_{\mu 9}$$
, $k_{\mu 6} \approx \frac{k_{\mu 9}}{\alpha_9}$,

其中
$$\alpha_0 = \frac{1}{1-\alpha}$$
.

对于小的 R_a , 輸入电阻大約減小为 $\frac{1}{1+\alpha_s}$, 而輸出电阻增大到 $(1+\alpha_s)$ 倍。

輸出負載对輸入电阻 的影响不大。 由于 R_{BMX} 非常大、故在实际可能的 負載下、实現較大的功率 增益是不可能的。



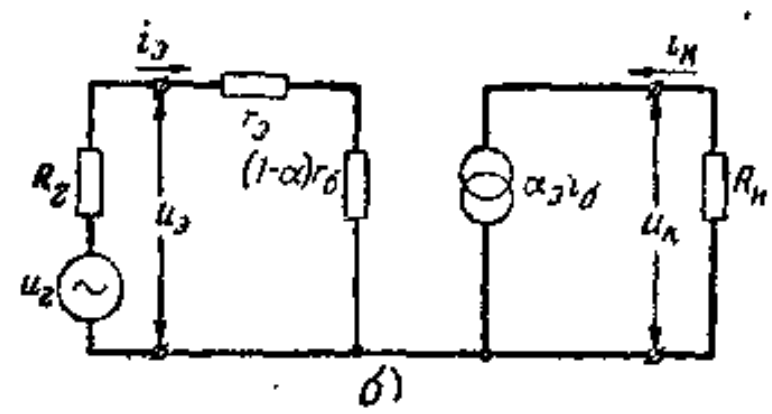


图 16 共基极放大级的等效綫路 a——完整的; 6———簡化的

为了得到計算参数的簡化公式,我們来研究共基极綫路的等效綫路(图 16, a)。

当 R₁≪ / k 时,将綫路簡化(图 16,6)得到簡化的計算公式:

$$k_{\mu}6 \approx -\alpha;$$

$$k_{\mu}6 \approx \frac{R_{\mu}\alpha}{r_{\theta} + (1 - \alpha)r_{6}};$$

$$k_{p}6 \approx \frac{R_{\mu}\alpha^{2}}{r_{\theta} + (1 - \alpha)r_{6}};$$

$$R_{\text{Bx},6} \approx r_{\theta} + (1 - \alpha)r_{6};$$

$$R_{\text{Bhx},6} \approx \left(1 - \frac{r_{6}\alpha}{r_{6} + r_{9} + R_{r}}\right)r_{\mu},$$

$$(28)$$

对于具有和上节其发射极綫路所举例題相同参数的三 极管,我們来計算共基极放大器的参数。 当 $R_{\rm H}=2000$ 欧, $r_{\rm H}=(1+\alpha)$ $r_{\rm H,0}\approx 2\times 10^6$ 欧, $\alpha=\frac{\alpha_0}{1+\alpha_0}=0.984$ 时,我們得到: $k_{i6}\approx 0.98$, $k_{i6}=56$, $k_{i6}\approx 55$, $k_{\rm H}\approx 35$ 欧;当 $k_{\rm H}\gg \alpha r_{\rm G}$ 时 $k_{\rm BMX}\approx 2\times 10^6$ 欧,当 $k_{\rm H}\ll r_{\rm G}$ 时 $k_{\rm BMX}\approx 10^5$ 欧,

6. 共集电极放大器

如果信号源接在基极与集电极之間,则集电极成为輸入与輸出电路的公共电极(图 17). 在这种情形下,輸出电压完全落在輸入电路而加于基极-发射极的端鈕,与輸入信号源电压相串联. 因此,和共发射极放大器的放大相比,共集电极放大器具有百分之百的电压負反饋.

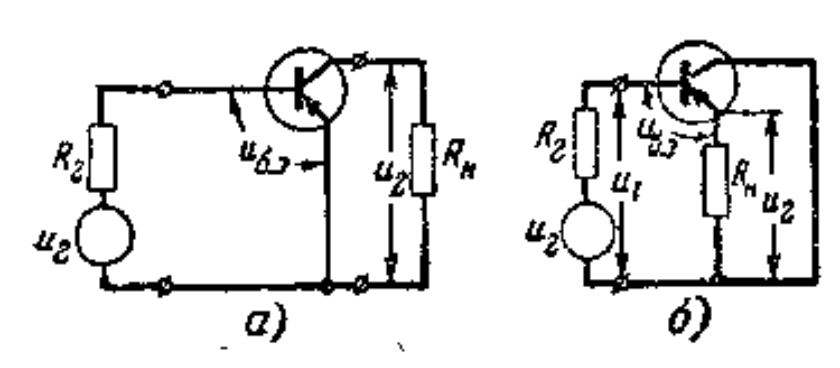


图 17 放大級的綫路。 a----共发射极; 6-----共集电极

和其发射极放大器相比較, 其集电极放大器的参数写成如下。 形式:

$$k_{ik} = -\frac{k_{ib}}{1 + k_{ib}};$$

$$k_{ik} = -(1 + k_{ib});$$

$$k_{iw} = \left(\frac{k_{ib}}{1 + k_{ib}}\right)(1 + k_{ib});$$
(29)

从上列表达式看出, 共集电极綫路的电流增益差不多和共发射极綫路的一样, 电压增益即小于 1, 而功率增益 k, 则比共发射极綫路和共基极綫路为小。

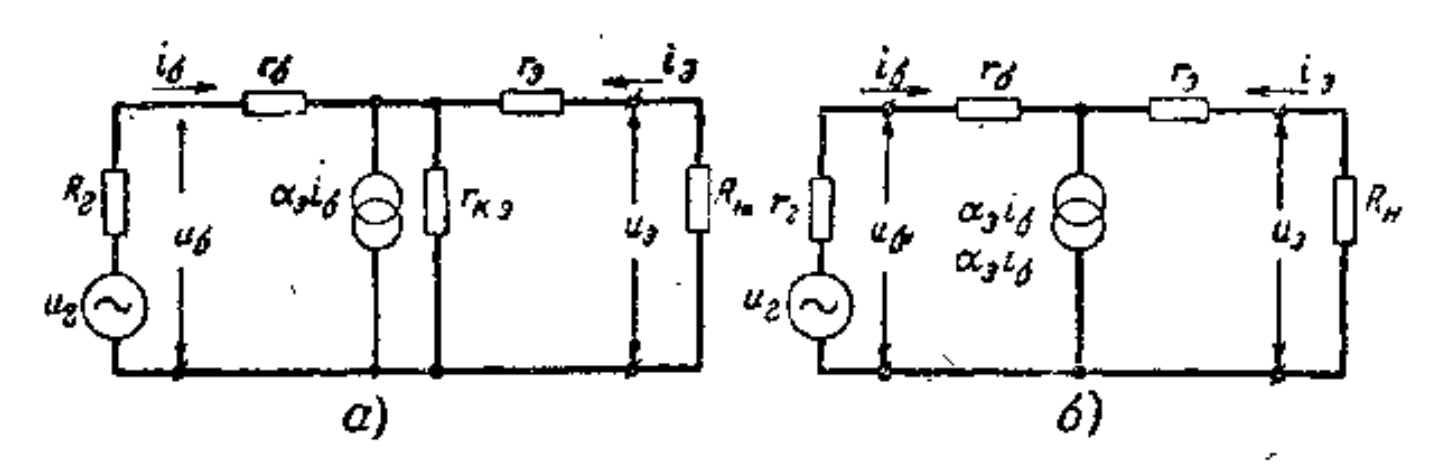


图 18 共集电极放大級的等效緩路 a----完整的; 6----簡化的

将共集电板放大器的等效綫 路图 18, a 簡化成图 18, 6 的 綫路,得到:

$$k_{tx} \approx -(1 - \alpha_{0});$$

$$k_{tx} \approx 1;$$

$$k_{tx} \approx (1 + \alpha_{0});$$

$$R_{tx} \approx (1 + \alpha_{0})(R_{tt} + r_{0});$$

$$R_{tx} \approx r_{0} + \frac{R_{t} + r_{0}}{1 + \alpha_{0}}.$$

$$(39)$$

在这个綫路中,輸入和輸出电阻与 R_n 和 R_r之值有密切关系. 維續对前面的例子进行計算. 对于共集电极放大器, 令 R_n= 2000 欧, 三极管的参数仍相同, 我們得到: R_n= 51, R_n=1,

 $k_{\text{PK}} \approx 51$, $R_{\text{BX}} \approx 10^5$ 欧;对于 $R_{\text{r}} \ll r_6$, $R_{\text{BMX}} \approx 35$ 欧; 对于 $R_{\text{r}} \gg r_6$, $R_{\text{BMX}} \approx 125$ 欧.

在图 13 中回出了共集电极放大器主要参数的变化曲綫(具有下标 K).

| 参数名称 | 共发射极 | 共 基 极 | 共 集 电 极 |
|------|-------------------|---|---|
| 輸入电阻 | R _{BX.9} | $R_{\text{BX-O}} = \frac{R_{\text{BX-O}}}{1 + k_{i_0}}$ | $R_{\mathrm{BX}.\kappa} = R_{\mathrm{BX}.9} k_{\mu_9}$ |
| 电流增益 | kis | $k_{i6} = -\frac{k_{i9}}{1 + k_{i9}}$ | $ki_{\rm R} = -(1 + ki_0)$ |
| 电压增盘 | Kuo . | $k_{u5} = 1 - k_{u3}$ $k_{u5} \approx k_{u3}$ | $k_{uv} = -\frac{k_{uv}}{1 + k_{uv}} < 1$ |
| 功率增益 | kpa . | $k_{p5} = \frac{k_{i^{\alpha}}(k_{n3}-1)}{1+k_{i3}}$ $k_{p5} \approx k_{p3}/k_{i3}$ | $k_{pii} = \frac{k_{ui}(1 + k_{ii})}{1 + k_{ui}}$ $k_{pii} \approx k_{pi}/k_{ui}$ |

表 5 三种連接綫路的放大器参数的比較

表 5 中列出了对于三种綫路的放大器的比較参数和計算公式 (不用在共发射极綫路中測得的 h 参数).

用共发射极綫路中測得的 A 参数表示的放大器計算公式列出 在表 6 中.

7. 考虑了噪声的半导体三极管等效綫路

虽然半导体三极管中的噪声在目前已能充分考查,但这方面的完整一般理論还沒有具备.在文献中已有了三极管中噪声起源理論的主要报导,以及个别典型器件的实驗数据.

面結合型三极管具有比点接触型三极管小得多的噪声 电平。在改进了制造工艺之后,面結合型三极管的噪声电平大大降低,但在高頻时毕竟还大于电子管的噪声电平。典型面結合型三极管的噪声頻譜通常具有图 19 所示的形状。可以观察到三个区域:在

表6 用k参数针算放大器的公式

| 洪 | 共 集 电 极 | $z_{\rm BX} = h_{11_9} + R_{\rm H}(1 + \alpha_{\rm E.6})$ $R_{\rm H} \ll z_{22_9}$ | $egin{align*}{c} y_{ m BMK,R} & rac{1 + lpha_{ m K.6} I_{1.9} z_{20.9}}{z_{20.9}} \ & z_{20.9} \ & egin{align*}{c} x_{ m J} \cdot \mu_{\delta,9} \ll l_{s} \cdot lpha_{ m K.6} \gg l \end{array}$ | $k_{\mu\nu} = -\frac{R_{\rm H}}{h_{\rm MS} + \alpha_{\rm E}.6 \frac{R_{\rm H}}{h_{\rm MS}}}$ | $k_{i9} = -rac{-(1+a_{\mathrm{R},6})}{1+h_{229}R_{\mathrm{H}}}$ |
|-----|-------------|---|--|---|---|
| 路,接 | 共 基 极 | $z_{\mathrm{BX},6} = \frac{h_{\mathrm{DS}}}{1 + \alpha_{\mathrm{K},6}}$ $\chi_{\mathrm{J}}^{-\frac{1}{2}} R_{\mathrm{H}} \ll z_{\mathrm{SSS}}$ | $y_{\text{max},6} = \left(\frac{1}{1 + \alpha_{\text{K},6}} + S_3\right) h_{223}$ $\text{Aff} = z_1 \ll \frac{h_{113}}{1 + \alpha_{\text{K},6}}$ | $k_{H5} = -\frac{R_{H}/h_{119}}{S_{s} + (1 + \alpha_{K.5}) + R_{H}h_{229}}$ $k_{H} \approx -\frac{R_{H}/h_{119}}{S_{s} + \frac{1}{1 + \alpha_{K.5}}}$ | $k_{i6} = \frac{-\alpha_{\text{R.6}}}{(1 + \alpha_{\text{R.6}}) + R_{\text{H}}h_{\text{ES}}}$ |
| 凝 | 大 发 射 极 | $z_{\rm BX,9} = h_{\rm Hy} \frac{\mu_{\rm G, K} \alpha_{\rm K,6}}{1/R_{\rm H} - h_{\rm Bz,9}},$ $z_{\rm BX,9} \approx h_{\rm H,9} - \mu_{\rm G, K} \alpha_{\rm H,G} R_{\rm H}$ $\overrightarrow{x}_{\rm f} \cdot \overrightarrow{1} \cdot R_{\rm H} \ll z_{\rm Bz,9}$ | $y_{\mathrm{Baix,3}} = h_{223} - \frac{\mu_{0} \mathrm{re}^{\mathbf{d}_{32,0}}}{\mathbf{z}_{2} + h_{119}}$ $y_{\mathrm{Baix,9}} \approx S_{9} h_{429}$ $\overrightarrow{x_{1}} + z_{r} \ll h_{229}$ | $k_{H2} = \frac{1}{(S_0/R_H - h_{213})h_{223}}$ $k_{H2} = R_H/S_3h_{113}$ | $k_{i9} = \frac{a_{\text{K}\cdot \delta}}{1 + R_{\text{K}}h_{229}}$ |
| | 参 で 発 | 輸入阻抗 $z_{\rm bx} = h_{\rm U_1} / R_{\rm H} + h_{\rm 22}$ | 輸出年約 yBLIX — Aza + 出a + Ca1 yBLIX — SAza + ALI yBLIX = SAza + ALI 対于 x ₁ > k ₁ 1 | 电压熔给 $k_{H} = -\frac{1}{(S/R_{H} - h_{MS})h_{LL}} \approx -R_{H}$ 对于 $R_{H} \ll z_{ES}$ | 电流母给 $k_i = rac{lpha_{21}}{R_{11} k_{23} + 1}$ |

 $f ≤ f_1$ 的低頻区,其中 f_ 在 1 到 50 千赫內变动:

$$F_{\rm in}=\frac{1}{i\gamma},$$

其中 $\gamma = 0.9-1.2$;从 f_1 到 f_2 的中間頻率区,其中 $f_2 \approx 100-500$ 千赫, $F_{m} = 常数 0 当 <math>f > f_2$ 时 F_{m} 增大.

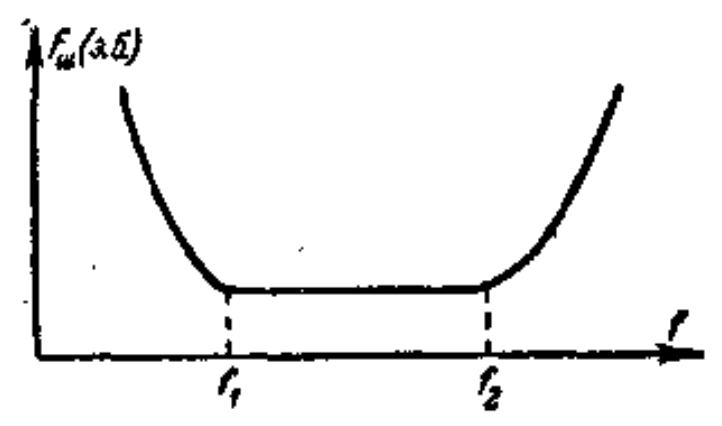


图 19 面結合型三极管的噪声系数与凝 率的依从关系(頻率沿对数标尺面出)

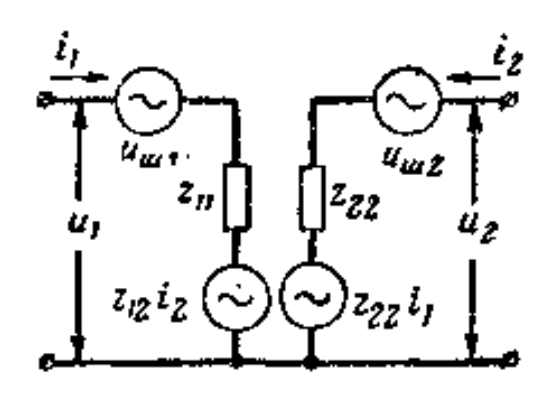


图 20_、噪声四端网络的 等效綫路

华导体三极管中的主要噪声源是:

- 1) 热噪声电动势,由电阻 ro 所引起;
- 2) 散粒噪声电动势,由发射极-基极結及集电极-基极結所引起,并决定于发射极电流 In 之值;
 - 3) 半导体噪声电动势,与頻率以及材料和制造工艺有关。

噪声半导体三极管可以看作是用六个参数来表征的噪声四端 网络,其中两个参数是噪声发生器,其余四个是通常的参数(图 20).

这个綫路的分析指出,对于所有三种連接綫路噪声系数大致 是相同的。在頻率1千赫下,噪声电动势的方均根值列出在表7 中。

| 对于点接触型三极管 | 对于面結合型三极管 |
|--|----------------------------|
| (微伏) | (後伏) |
| $u_{\mathrm{m},s}=1$, $u_{\mathrm{m},\mathrm{E}}=100$ | 0.005 - 0.04 $u = 10 - 40$ |

表 7 噪声电动势的方均根值

如果列出方程式并令 $\partial F_0/\partial R_r=0$,就可以求出使噪声电平为最小的信号发生器最佳电阻值 $R_{r,our}$. 在这种情形下,对于共

发射极綫路:

$$R_{\rm r,e,out} \approx \sqrt{r_6^2 + \left(\frac{u_{\rm HI,p}}{u_{\rm HI,R}}\right)^2 r_{\rm r}^2}; \qquad (31)$$

对于共基极綫路:

$$R_{\text{F.6.out}} \approx \sqrt{\left(\frac{u_{\text{HI},0}}{u_{\text{HI},K}}\right)^2 (r_6 + r_7)^2 + (r_9 + r_6)^2};$$
 (32)

对于共集电极綫路:

$$R_{\mathrm{r,k,off}} \approx \sqrt{r_0^2 + \left(\frac{u_{\mathrm{nf,b}}}{u_{\mathrm{m,R}}}\right)^2 r_{\mathrm{k}}^2}. \tag{33}$$

这些最佳电阻值随匹配条件而有所不同,但对于所有連接綫路則大致是相同的, 并在范围 $R_r \approx 3 \times 10^2 - 10^3$ 欧之内(图 21).

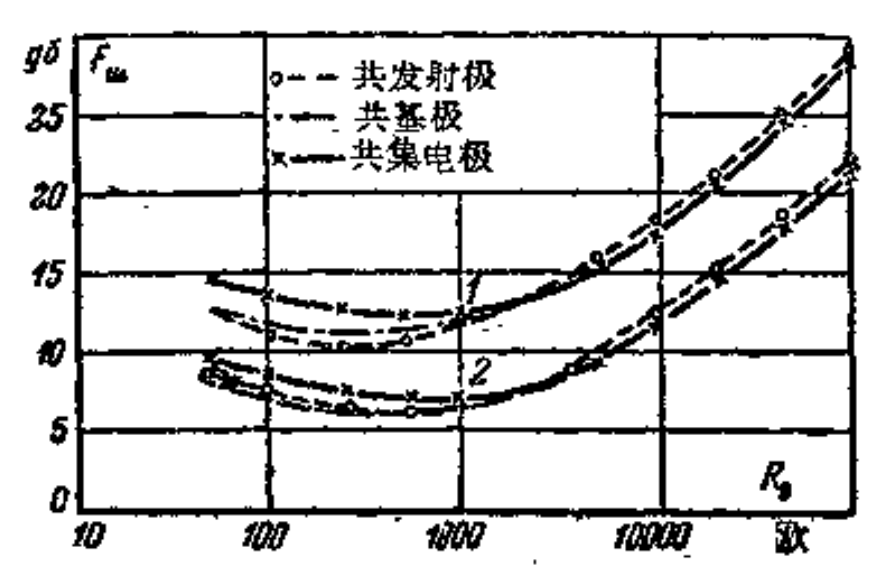


图 21 对于三种连接綫路的噪声系数与 Rr 的依从关系

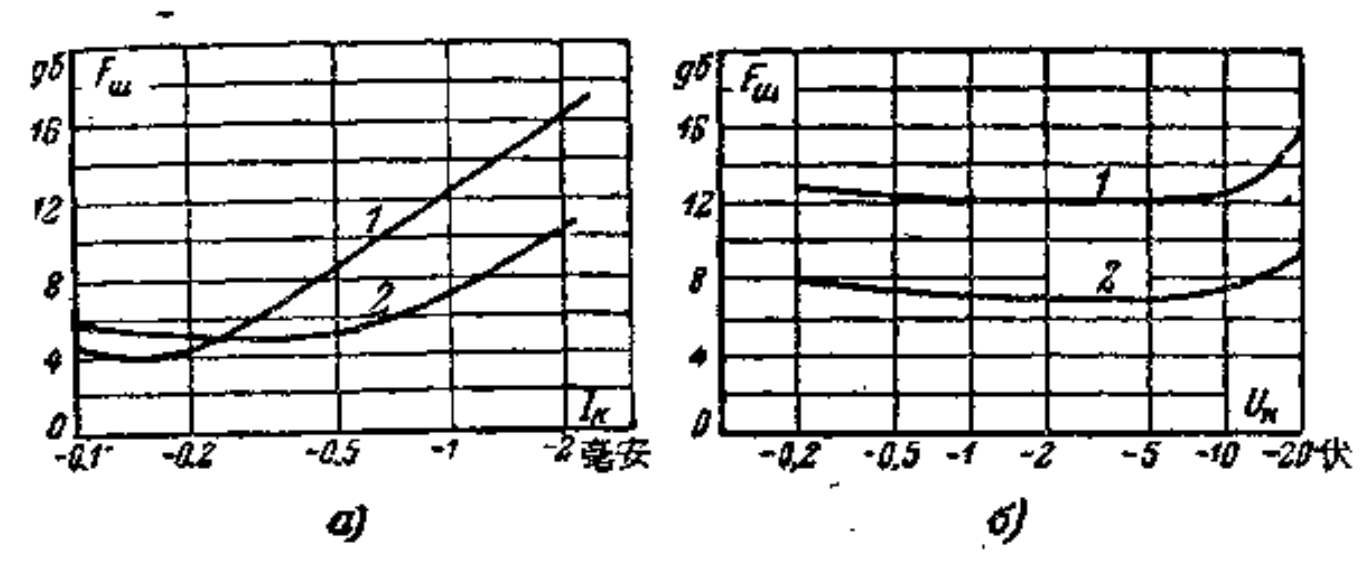


图 22 对于两个三极管得出的,噪声系数与集电极电流(a)和集电极电压(6)的依从关系

噪声系数也与集电极直流电压和电流之值有关,如图 22 所示。在 較小的集电极电流和电压之下,得到最小的噪声电平。

参考文献

- (1) «Основы полупроводникогой электроники», под редакцией Ло, Изд.
 «Советское радио», 1958.
- [2] «Полупроводниковые триоды и их применение», под редакцией Ши. ГЭИ, 1957.
- [3] Вассер, Схемы на полупроводниковых приборах, Изд. «Советское радио», 1956.
- [4] Кобленц, Оуэнс, Транзисторы-теория и применение, ИИЛ, 1956.
- [5] Федотов Я. А., Кристоллические триоды, ГЭИ, 1955.
- [6] Гершзон Е. В., Николаевский И. Ф., Полупроводниковые триоды в схемах радповещательной и телевизновной аппаратуры, ГЭИ, 1957.

半导体三极管放大綫路的供电电路的稳定

В. И. 格沃尔验(Геворкян)

引 貫

半导体器件,特別是三极管的特性曲綫与周围介质温度有极 其密切的关系,而且每个三极管彼此之間差别很大。因此,将这些 三极管应用到設备中最重要的問題之一是,当更換三极管及周围 介质温度改变时半导体器件設备参数的稳定問題。

在这里将研究半导体三极管放大設备稳定的組成部分之一 ——偏流电路的稳定,也就是工作点的稳定。

对給定工作点的电路进行正确計算的必要性不需要特別加以 說明. 只要了解到这样一点就已足够,即如果工作点选取得使被 放大的交流信号不是整个作用在輸出特性曲綫的綫性区段,就会 使信号多多少少发生一些畸变. 如果工作点选取得是正确的,但 沒有預見到其稳定的程度,則当外界温度改变或更换三极管时,可 能发生工作区段向非綫性区段的变动(由于工作点的变动),并且 甚至使設备的放大能力完全丧失,例如,由于集电结电压的减小到 零或集电极电流的不能容許的增长就是如此.

此外,工作点的稳定在某种程度上也有助于放大器**参数**的稳定。

我們从图解方法开始来研究工作点的計算方法及其稳定,因 为图解方法是比較清晰的,虽然不太普遍,

1. 图解計算方法

工作点的确定

图 1 所示是向半导体三极管供电的最简单綫路,

負載电阻 R_R 和供电源电压 E_x 通常是給定的。 按照这两个数值在靜輸出(集电极)特性曲綫上画負載綫(从点 E_x 开始, 斜度

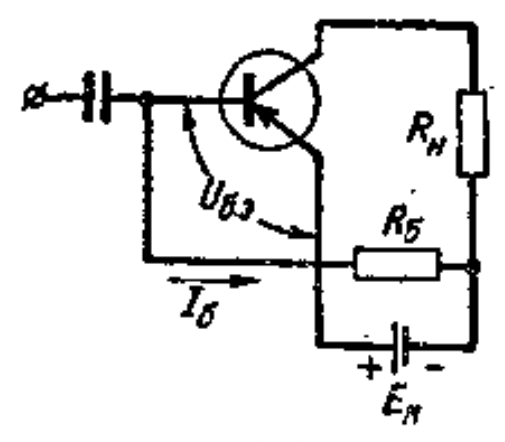


图 1 年导体三极管的供电摄路 但因为 U_{6.}。 ≈ 0, 故 为 R_n),特性曲綫是对共发射极綫路 讀取的,也就是把基极电流取作参变 数讀取的(图 2, a).在負載綫上选定 工作点,記下必需的基极偏电流 I_{6,n}.

对于图 1 的綫路,下列等式显然 是正确的:

$$E_{\rm K} = I_{\rm 0.n} R_{\rm 0} + U_{\rm 0.3}, \qquad (1)$$

$$E_{\kappa} \approx I_{6,\pi} R_{6}, \tag{2}$$

从而有

$$R_6 = \frac{E_{\rm R}}{I_{6,\rm R}},\tag{3}$$

可見,基极电流不是与三极管的参数有关,而是与外电路有关,且当三极管特性曲綫有任何改变时它都保持不变,也就是三极管在固定的基极偏电流下工作,

这个綫路是非常不稳定的,因为当温度升高时直流基极电流

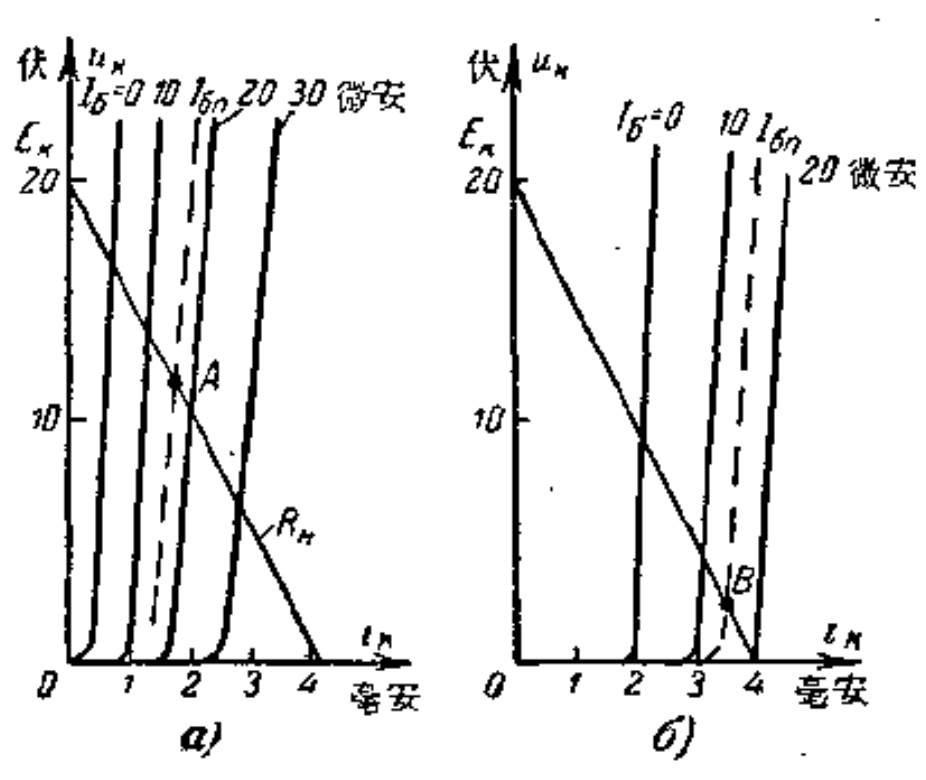


图 2 在共发射极緩路中讀取的三极管靜特性曲緩 a——对于正常的溫度; 6——对于升高的溫度

緩急副向右移动,而工作点沿負載緩从点A (图 2,a) 移向点 B (图 2,6).

具有自动偏流的緩路

在图 1 的綫路中把电阻 R6 接在基极与集电极之間(图 3),就得到自动偏流的綫路。

显然,对于这个綫路可以写出:

$$U_{\rm R} - U_{\rm 6,0} = I_{\rm 6,0} R_{\rm 6}, \qquad (4)$$

当 U_{6.9} ≈ 0 时有

$$U_{\rm K} \approx I_{\rm 6,n} R_{\rm 6} \tag{5}$$

和

$$R_6 = \frac{U_{\rm R}}{I_{6,n}}. (6)$$

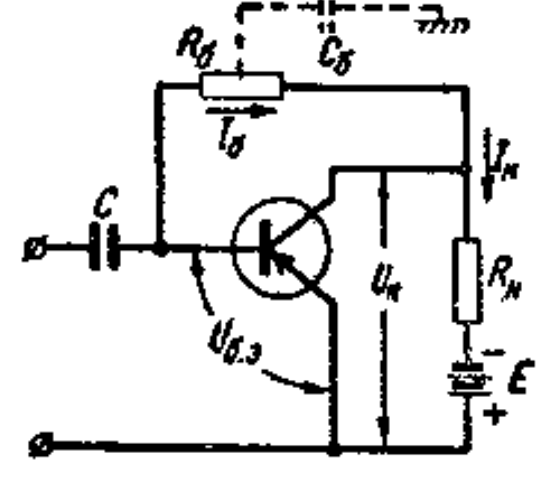
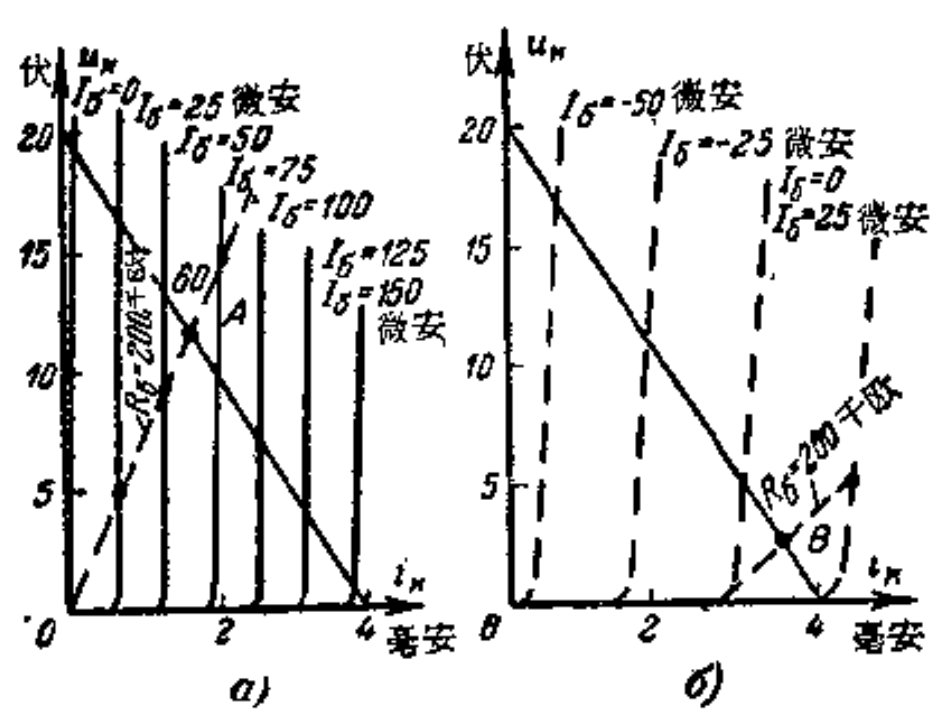


图 3 自 量偏流的供电綫路

象前面的情形一样来作出負載綫。 在負載綫上选定工作点, 村对于已选定工作点的 Ux和 I6n 按照公式(6)算出 R6.

如果 Ro 已給定(即綫路已給定),要求确定工作点(例如,当更換三极管时),应当作出偏流綫,并求出在負載綫和偏流綫交点处的工作点(图 4, a 中的点 A).



偏流綫是对于給定的 k6 按照方程式(5)来作出的,在偏流綫上有一系列的基极电流值(I61, I62, I63 以及等等)而不只是 I6π, 因而找到了相对应的 Uz 值, 并按照已得到的点就作出了偏流綫,如图 4, a 所示(在一般情形下偏流綫不是直綫,而且它离开直綫的程度愈大,沿特性曲綫边緣处 β* 愈不是常数).

如果在温度或其他因素的作用下,特性曲綫移动了,则偏流綫也要改变其位置。新的工作点(图 4, 6 中的点 B)位于負載綫和偏流綫新位置的交点。 因为当工作点向右移动时集电极电流增大,故集电极电压 Ux 減小。这引起基极电流的減小,而使工作点回向原来位置。因此,获得自动偏流。 R6 之值愈小,稳定的程度愈高。但是, R6 愈小,工作点在負載綫上的位置愈低。这不一定总是所希望的。

因此,虽然稳定程度是令人满意的,但綫路还具有这样的缺点:即綫路的工作点和稳定性是由同一元件即 R6之值来給定的,这使得綫路沒有灵活性。这个綫路的另外缺点是,由于經过电阻 R6的負反饋对交流的放大有某些減小,但只要把电阻 R6分成两个. 并在分开处經过电容(图 3 中的 C6)接地,就容易消除这一缺点.

穩定和偏流分开控制的綫路

图 5 中示出了用两个电源 E 和 E 6 供电的綫路。 对于这个綫

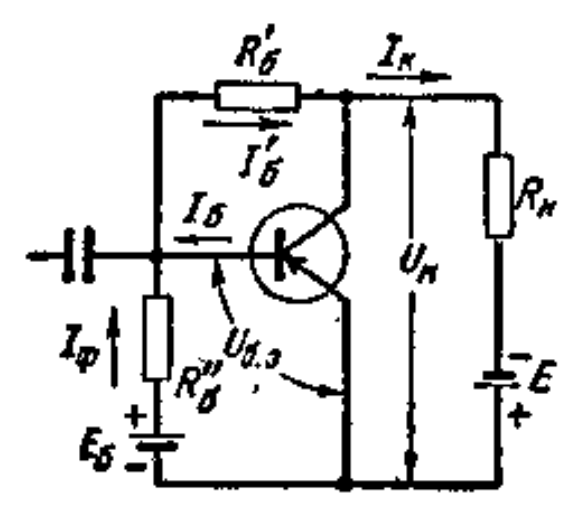


图 5 用两个电源 E 和 E₆ 向 三极管供电的綫路

路取固定偏电流 I₄ 作为参变数在 輸出特性曲綫上可以作出偏流曲綫 族。

图 6 中示出了由几根这样的綫 組成的曲綫族。这些綫是按照下列 方程式来画出的:

$$I_6 = I'_6 - I_{\Phi} = \frac{U_{\rm E}}{R'_6} - I_{\Phi},$$
 (7a)

貮

^{*} $\beta = \alpha/(1-\alpha)$ 是在共发射极綫路中当輸出端短路时的电流放大系数。

依下列方式按照給定工作点的稳定度来計算綫路。在静特性 曲綫上对于两个极限情形(对于温度极限值、或对于具有极限参数

值的两个三极管,以及等等)画出負 載綫(图 7, a 和 6)。

在相应的特性曲綫上画下集电极电压的极限容許值。直接从特性曲綫决定基极电流的最大值和最小值: I6,мапс 和 I6,мап. 前者 (I6,масс) 对应于集电极电压的最大容許值,位于靠左边的特性曲綫上(图7,a),也就是位于与較低温度或具有較小净和 Inco 的三极管相对应的特性曲綫上(点 Aмап). 后者 (I6,мин)则对应于集电极电压的最小容許值,位于靠右边的特性曲綫上(图7,6),也就是位于与較高温度或具有較大净和 Inco 的三极管相对应的特性曲綫上(点 Aман).

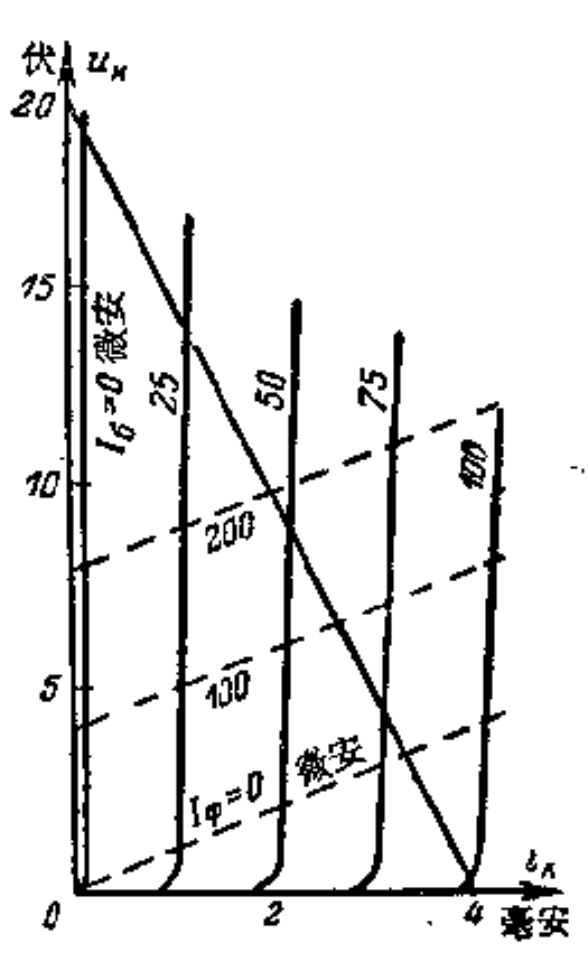


图 6 在三极管輸出特性曲 綫上的偏流綫族

然后,把这些基极电流值画在另一坐标系統上,沿这坐标系統的一个坐标取基极电流,而沿另一坐标取集电极电压(图 7, 8).在图上也画出了集电极电压的极限值。最小的基极电流綫与最小的集电极电压綫的变点给出工作点的一个极限位置(Anan),而最大的电压綫与最大的基极电流綫的变点给出工作点的另一极限位置(Anane). 因为偏流綫决定于方程式(76),故在这个坐标系統中它将是連接工作点两个极限位置的直綫。这个綫的斜度给出电阻R'o之值,而它与横軸的交点给出固定偏电流 Io 所必需的值(具有相反的符号).

因此,在图 5 的綫路中,稳定是由选择 R'6 之值来达到的,而工作点則利用参数 R_6'' 和 E_6 来确定。 必須多用一个电池 E_6 是

这个綫路的主要缺点.

去掉电池 E₆ 拜将 R₆"直接接地,可以得簡化的綫路。 即使 沒有附加的电池,由于发射結上的电位差,电阻 R₆" 也使基极电流 減小。这个电位差虽然不大,但由于是加在使反向偏电流流通的, 方向,就可以減小电阻 R₆"之值,而这正改进了稳定性,不会使工 作点向下移得非常厉害。 但是,这个方法和另外加有电池 E₆ 的 情形相比灵活性要差得多。

上面研究的这两种稳定方法的根据是,基极电流的变化正比

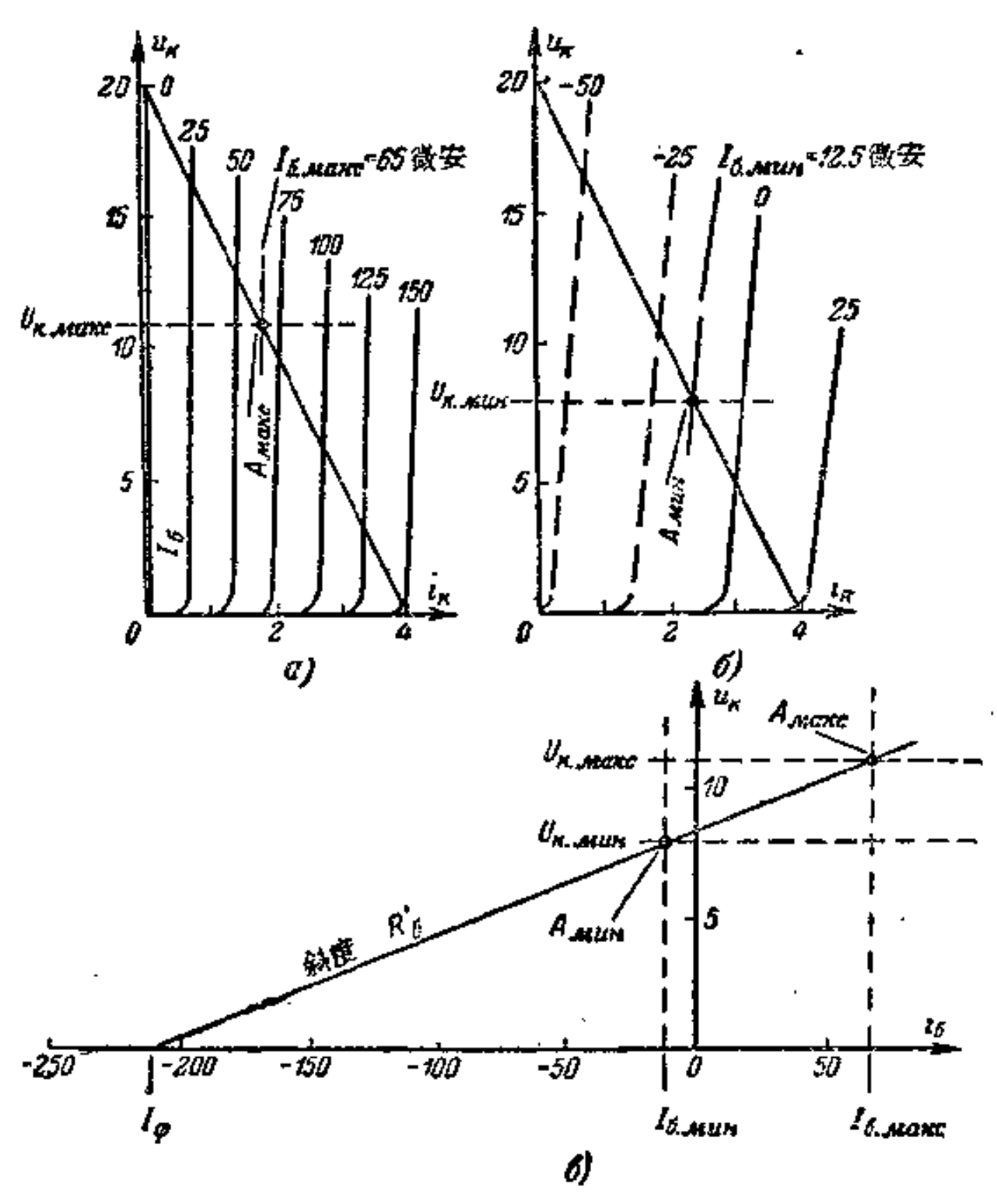


图 7 按照給定的工作点稳定度进行機路的計算

例于集电极电压的变化,因而,对于集电极电路中直流负载电阻足够大的放大器,例如 RC 放大器,它将給出良好的效果。在具有变

压器耦合的放大器中, 集电极电路中的直流负载电阻不大, 集电极电压的变化也不大, 因而直流电流经电阻 Ro'的反馈在实际上是不存在的, 而綫路在实质上已退化成具有的定基极偏电流的綫路, 其稳定度很差。在这种情况下, 可以采用对发射极电流具有反饋的綫路, 如图 8 所示.

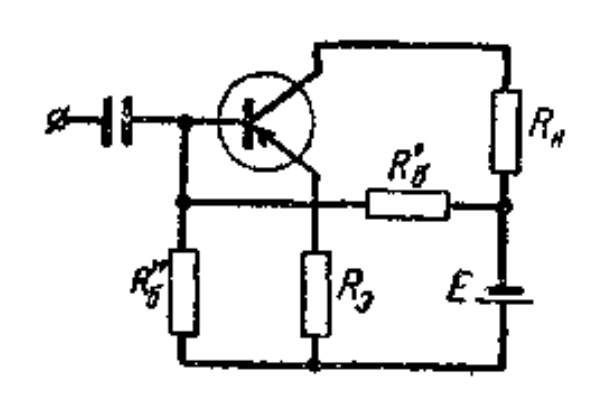


图 8 对发射极电流具有 反饋的供电綫路

在这个綫路中当发电极电流(因而集电极电流)变化时,发射极电路中电阻上的压降要发生变化,这个压降是沿与偏压相反方向加到发射极-基极的区段上去的。因此,集电极电流的增大使基极上的反偏压加大,这将力图使集电极电流减小。 当集电极电流减小时,出现相反的情形。

这种綫路的图解分析是困难的。因此在这种情形下应当利用 解析的方法,解析方法是非常普遍的,适用于实际上所遇到的任何 綫路。

2. 解析計算

华导体三极管供电綫路的普遍形式可以表为图9所示的形式,显然,任何三极管的直流电路都可以变为图9的样子。

例如,对于图 8 的电路有:

$$R_{\rm E} = R_{\rm H}; R_{\rm S} = R_{\rm S}; R_{\rm S} = \frac{R_{\rm S}' R_{\rm S}''}{R_{\rm S}' + R_{\rm S}''};$$

$$E_{\rm K} = E; E_{\rm D} = 0; E_{\rm S} = \frac{ER_{\rm S}''}{R_{\rm S}' + R_{\rm S}''};$$

普通关系

工作点及其稳定度的解析計算方法根据下列假定:

- a) 三极管的供电綫路在普遍形式下可以表为图 9 的样子;
- 6) 基极-发射极电压 $U_{2,6}=0$;
- B) 在整个利用状态的范围内, 华导体三极管的参数 α 和 τ_κ 是常数;
- Γ) 三极管的集电极(輸出)特性曲綫 $u_{K} = f(i_{K})$ 在 $I_{0} = 常数$ 下可以表为平行的直綫(图 I_{0}),它滿足下列方程式:

$$I_{\kappa} = I_{\kappa_0} + \alpha I_{s} + \frac{U_{\kappa}}{r_{\kappa}}, \qquad (8)$$

其中 I_{E0} 是集电极零电流(即在共基极綫路中当发射极电流等于零时的集电极电流)当集电极电压为零时所取的值。 这个量是假想的,因为事实上它是等于零的。 将 $I_{E0}=0$ 的特性曲綫 $u_{E0}=f(i_{E0})$ 加以直綫化就决定了 I_{E0} ,如图11所示。 α 是共基极綫路在短路状态下的电流放大系数,而 r_{E0} 是共基极綫路的集电极电阻。

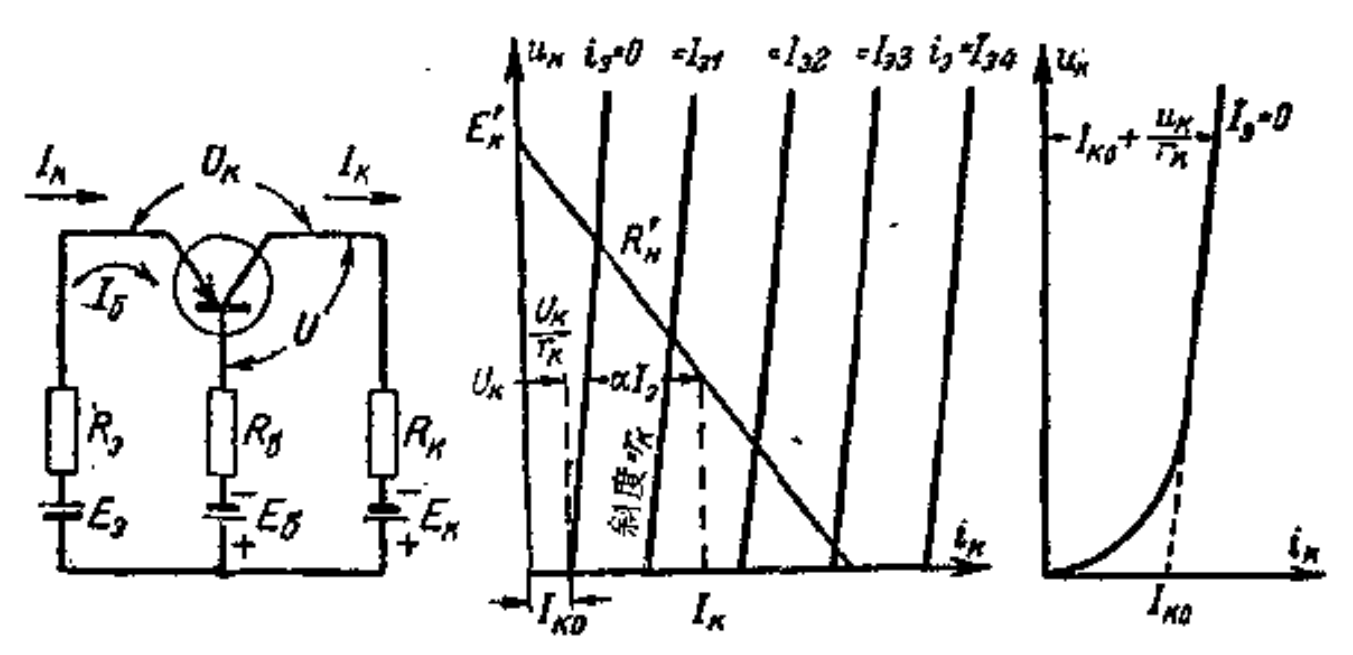


图 9 半导体三极管供电 機路的普遍形式

图10 在1₉= 常数下直緩化 了的集电极特性曲緩

图 11 $i_0=0$ 的特性曲 綴 $u_K=f(i_K)$ 的直綫化

对子图 9 的綫路, 网络电流方程式写成如下形式:

$$I_6(R_9 + R_6) + I_{12}R_9 = E_8 + E_6, \tag{9}$$

$$I_6R_9 + I_8(R_8 + R_9) = E_8 + E_9 - U_8;$$
 (10)

从而得到:

$$I_6 = \frac{E_9 + E_6}{R_9 + R_6} - I_{\frac{R_9}{R_9} + R_6}, \tag{11}$$

$$U_{\rm E} = E'_{\rm E} - I_{\rm E} R'_{\rm E}, \tag{12}$$

其中 Ec 是引入的集电极供电电压、

$$E_{\kappa}' = E_{\kappa} + E_{\vartheta} \frac{R_{6}}{R_{\vartheta} + R_{6}} - E_{6} \frac{R_{\vartheta}}{R_{\vartheta} + R_{6}}, \qquad (13)$$

而 Rn'是引入的負載电阻

$$R_{\rm H}' = R_{\rm E} + \frac{R_{\rm B}R_{\rm G}}{R_{\rm S} + R_{\rm G}}.$$
 (14)

观察--下图 10 就可了解量 E_{κ}' 和 R_{n}' 的意义。

注意到

$$I_{\theta} = I_{\kappa} + I_{\delta}, \tag{15}$$

从方程式(8)、(11)和(12)得到:

$$I_{\kappa} = \frac{\alpha \frac{E_{\Theta} + E_{6}}{R_{\Theta} + R_{6}} + \frac{E_{\kappa'}}{r_{\kappa}} + I_{\kappa_{0}}}{1 - \frac{\alpha R_{6}}{R_{\Theta} + R_{6}} + \frac{R_{\kappa'}}{r_{\kappa}}},$$
 (16)

利用参数 β (共发射极綫路在輸出端短路状态下的电流 放大系数), $r_{K,o}$ (共发射极綫路的集电极电阻)和 $I_{W,o}$ ($I_6=0$ 的集电极零电流)可以得到集电极电流相似的表达式。

因为

$$\beta = \frac{\alpha}{1 - \alpha}; \quad r_{E,3} = r_{E}(1 - \alpha)$$

$$I_{E,39} = \frac{I_{E,3}}{1 - \alpha}.$$

$$R_{E} = \frac{\beta \frac{E_{3} + E_{6}}{R_{3} + R_{6}} + \frac{E_{E}}{r_{E,9}} + I_{E,39}}{1 + \beta \frac{R_{9}}{R_{3} + R_{6}} + \frac{R_{B}}{r_{E,9}}}.$$
(17)

集电極电流的穩定度

当三极管的参数 I_{N0} , r_{E} 和 α (或分別为 I_{N00} , $r_{E,0}$ 和 β) 改变时, 集电极电流(16)或(17)和集电极电压(12)也要改变.

当所有参数改变时、集电极电流的增量可以表为由于每一参

数单独改变时引起的增量之总和。 数学上,这可表为集电极电流的全微分;

$$dI_{\kappa} = \frac{\partial I_{\kappa}}{\partial I_{\kappa_0}} dI_{\kappa_0} + \frac{\partial I_{\kappa}}{\partial r_{\kappa}} dr_{\kappa} + \frac{\partial I_{\kappa}}{\partial \alpha} d\alpha, \qquad (18)$$

集电极电流的偏微商 $\partial I_{\kappa}/\partial I_{\kappa_0}$ 与 I_{κ_0} 无关,即当只有 I_{κ_0} 变化时它是一常数。 因而,方程式(18)右边的第一項可以化为最終的增量。

在第三項中也可以化为最終的增量,因为虽然 $\partial I_{\rm E}/\partial \alpha$ 与 α 有关,但 α 的变化通常是很小的。 在第二項中化为最終的增量是相当复杂的,因为 $\partial I_{\rm E}/\partial r_{\rm E}$ 与 $r_{\rm E}$ 有关,且 $\Delta r_{\rm E}$ 通常具有和 $r_{\rm E}$ 相同的数量級。如果将方程式(18)改写成:

$$dI_{\rm K} = S_i dI_{\rm K_0} + S_r dr_{\rm K} + S_\sigma d\alpha \tag{19}$$

种把 S, 定义为

$$S_r = \frac{I_{\text{R}}(I_{\text{R}_0}; r_{\text{R}} + \Delta \hat{r}_{\text{R}}; \alpha) - I_{\text{E}}(I_{\text{R}_0}; r_{\text{R}}; \alpha)}{\Delta r_{\text{R}}},$$

就可以把方程式(19)右边所有三項都化为最終的增量:

$$\Delta I_{\kappa} = S_i \Delta I_{\kappa_0} + S_i \Delta r_{\kappa} + S_{\alpha} \Delta \alpha, \qquad (20)$$

可以指出, $S_i\Delta r_k$ 在实际上只有 $S_i\Delta I_{k_0}$ 的百分之几。 在极限情形下,比值

$$\frac{S_r \Delta r_K}{S_i \Delta I_{K_0}} \approx 0.15.$$

比值 $\frac{S_a\Delta\alpha}{S_a\Delta I_{\text{Teq}}}$ 通常小于 0.05.

因此,如果在公式(20)中只采用第一項,則当計算集电极电流 的漂移时誤差将不大于 20%。

因此,可以认为

$$\Delta I_{\rm E} \approx S_i \Delta I_{\rm E_0}. \tag{21}$$

为了精确的計算应当利用公式(20),其中

$$S_{i} = \frac{1}{1 - \frac{\alpha R_{5}}{R_{2} + R_{6}} + \frac{R'_{R}}{r_{R}}}; \qquad (22)$$

$$S_{r} = \frac{\left(\alpha \frac{E_{\theta} + E_{\delta}}{R_{\theta} + R_{\delta}} + I_{\kappa_{0}}\right) R'_{\kappa} - \left(1 - \frac{\alpha R_{\theta}}{R_{\theta} + R_{\delta}}\right) E_{\kappa'}}{\left[\left(1 - \frac{\alpha R_{\theta}}{R_{\theta} + R_{\delta}}\right) (r_{\kappa} + \Delta r_{\kappa}) + R'_{\kappa}\right] \left[\left(1 - \frac{\alpha R_{\theta}}{R_{\theta} + R_{\delta}}\right) r_{\kappa} + R'_{\kappa}\right]}; (23)$$

$$S_{a} = \frac{\frac{E_{9} + E_{6}}{R_{6}} \left(1 + \frac{R'_{\pi}}{r_{\kappa}}\right) + \frac{E'_{\kappa}}{r_{\kappa}} + I_{\kappa_{0}}}{\left(1 + \frac{R_{9}}{R_{6}}\right) \left(1 - \frac{\alpha R_{9}}{R_{9} + R_{6}} + \frac{R'_{\kappa}}{r_{\kappa}}\right)^{2}}.$$
 (24)

S, 和 S。之值可以用起初的集电极电压值 U₈ 和 电 流 值 I₈ 来表示:

$$S_r = -\frac{U_{\rm g}}{\left[\left(1 - \frac{\alpha}{1 + \gamma}\right)\left(1 + \frac{\Delta r_{\rm g}}{r_{\rm g}}\right) + \eta\right]r_{\rm g}^2}; \qquad (25)$$

$$S_{\alpha} = \frac{I_{\kappa}}{\alpha} + \frac{\frac{I_{\kappa}}{1+\gamma} - \frac{1}{\alpha} \left[\frac{E_{\kappa}'}{r_{\kappa}} + I_{\kappa_0} \right]}{1 - \frac{\alpha}{1+\gamma} + \eta}, \qquad (26)$$

其中

$$\gamma = \frac{R_{\theta}}{R_{6}}, \qquad (27)$$

$$\eta = \frac{R_{\rm H}^{\prime}}{r_{\rm E}}.\tag{28}$$

与集电极电流的改变同时发生的集电极电压的改变,按照下 列公式决定;

$$\Delta U_{\kappa} = \Delta I_{\kappa} R'_{\kappa} \tag{29}$$

按照給定的集电極电流或电压的穩定度計算供电电路考虑到

$$\Delta I_{\rm K} \approx S_i \Delta I_{\rm K_0},\tag{21}$$

有:

$$\Delta I_{\kappa} = \frac{\Delta I_{\kappa_0}}{1 - \frac{\alpha}{1 + \gamma} + \eta}.$$
(30)

因为
$$\eta = \frac{R_{H}'}{r_{B}} \ll 1$$
,故可以令

$$\Delta I_{\kappa} \approx \frac{\Delta I_{\kappa_0}}{1 - \frac{\alpha}{1 + \gamma}}.$$
 (31)

从式(31)和式(14)将 ΔI_{κ} 和 R'_{κ} 代入式(29)中,并注意到式(27) 就得到:

$$\Delta U_{\rm E} = \frac{R_{\rm E}(1+\gamma) + \gamma R_6}{1+\gamma - \alpha} \Delta I_{\rm E_0} \tag{32}$$

或

$$\Delta U_{\rm R} = \frac{R_{\rm R}(1+\gamma) + R_{\rm 9}}{1+\gamma-\alpha} \, \Delta I_{\rm R_0}. \tag{33}$$

当計算时,通常給定集电极电流容許的漂移 ($\Delta I_{\rm R}$) $_{\rm AOI}$ 或集电极电压容許的漂移 ($\Delta U_{\rm E}$) $_{\rm AOU}$. 也給定三极管的参数: $I_{\rm NO}$, α 及混度落差。因而,如果已知 ΔT° , $\Delta I_{\rm NO}$ 就也是已知的*.

記給定的集电极电流最大容許改变与集电极零电流的改变之 比值为 6;:

$$\varepsilon_i = \frac{(\Delta I_{\rm R})_{\rm Aon}}{\Delta I_{\rm Ro}},\tag{34}$$

e, 就决定了給定的稳定度。 这与 S, 不同, S, 是在給定的 α 下用 外电路参数来表征稳定度的。

同样地,对于集电极电压的容許改变引用参数 eu:

$$\varepsilon_{\mu} = \frac{(\Delta U_{\kappa})_{\text{доп}}}{\Delta I_{\kappa_0}}.$$
 (35)

为了使綫路能保証給定的稳定度(34)和(35),必須要求:

^{*} 通常队为, 鳍三极管的 I₈₀ 在結的溫度落差为每 10—11℃ 时要改变到 2 倍. 对于三个温度落差值,△I₈₀ 与 I₈₀ 的关系列出在下表中:

| △7° = 20°C | 40℃ | 60°C |
|---------------------------------|--------|-------------------|
| $\triangle l_{K0} = 2.5 I_{K0}$ | 12/100 | 42I _{E0} |

$$s_i \geqslant \frac{1}{1 - \frac{\alpha}{1 + \gamma}} \tag{36}$$

和

$$\varepsilon_{n} \geqslant \frac{R_{\kappa}(1+\gamma) + \gamma R_{6}}{1+\gamma-\alpha} = \frac{R_{\kappa}(1+\gamma) + R_{9}}{1+\gamma-\alpha}.$$
 (37)

从式(36)有:

$$\gamma \geqslant \frac{\alpha}{1 - \frac{1}{\epsilon_i}} - 1. \tag{38}$$

解式(37)得到:

$$\gamma \geqslant \frac{R_{\kappa} - \varepsilon_{\mu}(1 - \alpha)}{\varepsilon_{\mu} - (R_{\kappa} + R_{\delta})}; \tag{39}$$

$$\gamma \geqslant \frac{R_{\kappa} + R_{\theta} - \varepsilon_{\mu}(1 - \alpha)}{\varepsilon_{\mu} - R_{\kappa}}.$$
 (40)

为了决定必需的 Y 值, 应当給定 R6 或者 R9. 对于其发射极 餐路和共集电极綫路, 通常給定 R6 的最小容許值(根据对級的輸 入电阻所容許的分路作用的条件).

因此,按照給定稳定度計算綫路的次序归結如下.

按照給定的 ΔI_{K_0} , ΔU_{K_0} , ΔI_{K_0} , R_{K_0} 和 R_0 或 R_0 根据公式 (38) 和 (39) 或 (40) 决定 γ . 然后从所得的两个 γ 值中选用較大的值. 按选定的 γ 决定 R_0 (如果給定 R_0) 或 R_0 (如果給定 R_0). 根据已有的 R_0 和 R_0 就不难算出任何綫路結构的参数.

我們以采用一个供电源的稳定綫路的通用形式(如图 12 所

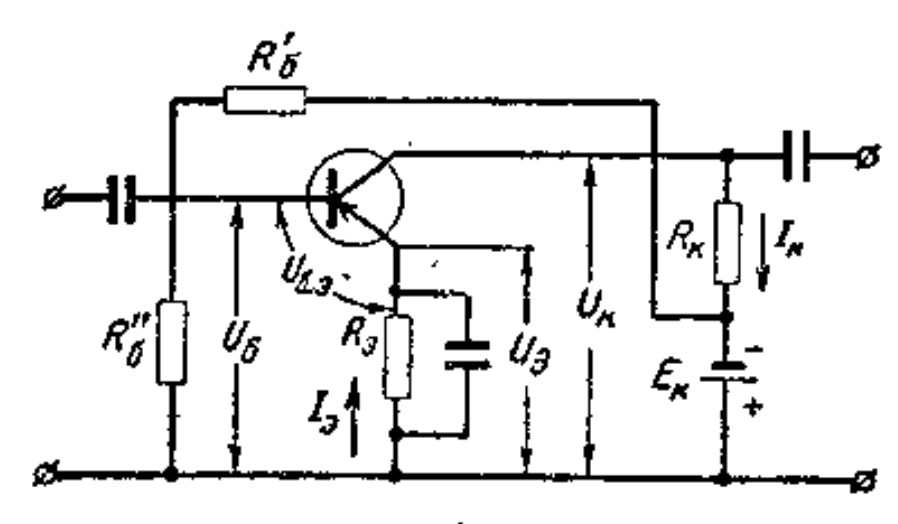


图 12 具有一个供电源的华导体三极管稳定供电綫路

示)为例来进行研究。对于这个綫路下列方程式是正确的:

$$U_6 = U_9 + U_{6,9}; (41)$$

$$U_{\mathfrak{d}} = I_{\mathfrak{d}} R_{\mathfrak{d}}, \tag{42}$$

根据式(8),如果忽略 $U_{\rm k}/r_{\rm k}$ 之值,得到:

$$I_9 \approx \frac{I_R - I_{R_0}}{a}. \tag{43}$$

于是

$$U_{\mathfrak{p}} \approx \frac{I_{\mathfrak{R}} - I_{\mathfrak{R}_0}}{\sigma} R_{\mathfrak{p}_{\bullet}} \tag{44}$$

电压 Uo 可以写成:

$$U_6 = \frac{E_E R_6^{"}}{R_6' + R_6''} - R_6 I_6, \tag{45}$$

其中

$$R_6 = \frac{R_6' R_6''}{R_6' + R_6''}. (46)$$

从式(45),(46)和(43)得到:

$$U_6 = \frac{E_{\kappa}R_6}{R_6'} - R_6I_6 \approx \frac{E_{\kappa}R_6}{R_6'} - \frac{R_6}{\alpha}[I_{\kappa}(1-\alpha) - I_{\kappa_0}]. \tag{47}$$

因为 U_{6.9} ≈ 0, 故

$$U_{\theta} = U_{6}, \tag{48}$$

从表达式(48),(44)和(47)得到:

$$\frac{I_{R} - I_{R_{0}}}{\alpha} R_{8} \approx \frac{E_{R}R_{6}}{R_{6}'} - \frac{R_{6}}{\alpha} [I_{R}(1 - \alpha) - I_{R_{0}}]. \tag{49}$$

对 R6' 求解式(49),得到:

$$R_{6}' \approx \frac{\alpha E_{K} R_{6}}{(I_{E} - I_{E_{0}})R_{8} + [I_{E}(1 - \alpha) - I_{E_{0}}]R_{6}}$$

$$= \frac{\alpha E_{E}}{(I_{E} - I_{E_{0}})\gamma + I_{E}(1 - \alpha) - I_{E_{0}}}$$

$$= \frac{\alpha E_{E}}{I_{E}(1 + \gamma - \alpha) - I_{E_{0}}(1 + \gamma)}.$$
(50)

近似地可以訊为:

$$R'_6 \approx \frac{\alpha E_{\pi}}{I_{\kappa}(1 + \gamma - \alpha)}.$$
 (51)

R6" 可以从式(46)用 R6' 录出:

$$R6'' = \frac{R_6 R_6'}{R6' - R6'}. (52)$$

我們來研究数字的例子. 选定三极管的参数具有下列各值: $\alpha=0.96$; $I_{\text{Ei}}=7$ 微安;給定工作点 $U_{\text{Ei}}=10$ 伏, $I_{\text{Ei}}=1$ 毫安;給定稳定度: $\Delta U_{\text{Ei}}<1.5$ 伏, $\Delta I_{\text{Ei}}<0.2$ 毫安;供电电压 $E_{\text{Ei}}=20$ 伏;負 截电阻 $R_{\text{Ei}}=10$ 千欧;給定温度落差 $\Delta T=30$ ℃(从20 到 50 ℃). 在这个温度落差下, I_{Ei} 大約增到 5 倍(参看 142 頁 的表),即 $\Delta I_{\text{Ei}}=35$ 毫安.

求出 ε, 和 ε_α:

$$\epsilon_n = \frac{0.2}{0.035} = 5.7; \quad \epsilon_n = \frac{1.5}{0.035} = 43.$$

(如果在所有公式中、电压以伏、电流以毫安代入, 即电阻得到的是千欧。)

再按照公式(38)求出了的最小容許值:

$$\gamma_{i} \ge -\frac{0.96}{1 - \frac{1}{5.7}} - 1 \ge 0.15.$$

'給定基极电路中的电阻 R6 = 5千欧(共发射极綫路的輸入电阻約为1千欧、因此 R6 = 5千欧对输入端的分路作用不太显著。显然,对于共集电极綫路 R6 应选得大得多)。

选定了 R_6 , 現在从公式(39)来决定 γ , 也就是从給定的 集电极电压稳定度的条件来决定 γ :

$$\gamma_u \ge \frac{10 - 43(1 - 0.96)}{43 - (10 + 5)} \ge 0.3.$$

我們取 $\gamma_n = 0.3$ 来进行計算,这样要求更严格的稳定度,并从式(51)求出:

$$R_{6}' = \frac{0.96 \times 20}{1 \times (1 + 0.3 - 0.96)} \approx 57 + \text{ M}.$$

从式(52) 求出 Ro'*:

$$Rs'' = \frac{5 \times 57}{57 - 5} = 5.5 + \text{CM}.$$

最后指出,当按照所引用的方法进行計算时,主要誤差的发生 是由于三极管参数在特性曲綫边線处不是常数。对于 a 参数更是 ' 如此.

直流 放大器

А. Г. 菲利波夫(Филиппов)

1. 半导体三极管直流放大器的特点

象电子管直流放大器一样,零点漂移是半导体三极管直流放大器中的主要問題。但和电子管的綫路相比,在制作半导体三极管直流放大器时还发生一系列附加的困难。这些困难与下列事实有关:即目前所生产三极管的稳定性还远远不如电子管的稳定性。

三极管不稳定的主要因素是:

- 1.各样品間参数的极其不均一性。大家知道,这些参数的不均一性可达±50%或更高。这就是說,对于同样的緩路,当大批生产时在許多情形下需要附加的調整。
- 3. 三极管的参数随温度变化而急剧改变,这一效应是它在原则上所具有的,这正是三极管不稳定的最主要和最討厌的因素。对于面結合型三极管,随温度改变得最厉害的参数是 r_k 和 I_{k0}; 当温度从 +20℃ 升到 +70℃ 时,r_k 接近減小 1/2; 而电流 I_{k0} 则当温度改变1℃时接近改变10%。对于直流放大器,其他参数随温度的改变較不重要。
- 4. 必須指出半导体三极管不稳定的另一个因素,这个因素只对直流放大器是主要的。这是所謂的"蠕变"。它表現在,当三极管接通到电源时,在最初的跃变之后电流将缓慢地改变,直到达到

其一稳定值为止,蠕变得最厉害的是电流 Im,对于某些三极管在集电极电压接通后, Im 可以从其最初值改变两倍或更多。 在个别情形下,电流 Im 在电压接通后的建立时間可达几个小时。 在直流放大器中,三极管的蠕变表现为綫路的特殊形式的"加热":电源接通后输出电流要缓慢地改变之后才能到达稳定值。

三极管的参数中,随时間和温度变化以及其他因素改变得最厉害的是电流 *Ino. Ino* 的不稳定是直流放大器不稳定的主要原因。故問題在于,如何能保証在 *Ino* 的任何变动下放大器負載上的电流或电压将具有最小的依从关系。

必須指出,在直流放大器中目前专門采用面結合型三級管,对于直流放大器选用面結合型而不是点接触型三极管,举出下列原因基恰当的:

- 1. 对于面結合型三极管、电流放大系数α随三极管状态和温度而改变的程度要比点接触型三极管小得多,而α正是三极管中决定级的电流增益和电压增益以及輸入和輸出阻抗的主要参数。如果在面結合型三极管中,温度从一 40℃ 变到 + 50℃, α只改变 1—2%;则在点接触型三极管中就要改变 20—30%。
- 2. 在正常状态下, 点接触型三极管的 α>1, 因此在某些情况下, 点接触型三极管的綫路可以发生振荡。 在面結合型三极管中α < 1, 故保証不发生振蕩的稳定問題就沒有了.
- 3. 和点接触型的相比,面結合型三极管可以在較寬的温度变化范围内工作,且沒有参数的不可逆变化.
 - 4. 面結合型三极管比点接触型三极管具有較小的噪声电平。

2. 状态的稳定

三极管状态的稳定即工作点的稳定問題,是制作直流放大器 时必須研究的第一个和最重要的問題。

在交流放大器中,这个問題归結为,合理地选择工作点幷由选 定工作点的适当稳定程度来保証足够的級的参数的稳定。这些参 数是在給定温度和供电电压的变化下的电流放大系数α、輸入和 輸出阻抗等等.

在直流放大器中,除去这点之外还提出了更严格的新要求:工作点的稳定程度必須能在周围情况的任何变动下,保証輸出端的零点漂移不超出給定值。因此,在直流放大器中,三极管偏压缓路及偏压电路参数的选择主要取决于如何能保証极小的零点漂移。

我們來研究三极管状态稳定最普遍的綫路(图1)。 不难相

信,这个三极管状态稳定綫路对于三极管所有的接法(共基极、共发射极和共集电极)都是不变的。 事实上,在所引出的綫路中把发射极或基极当作輸入端,电阻 R4或 R1当作負載,就可以得到三极管三种連接綫路中的任何+种。

在这个綫路中,状态的稳定与 负反饋的存在有关, 首先,在发射

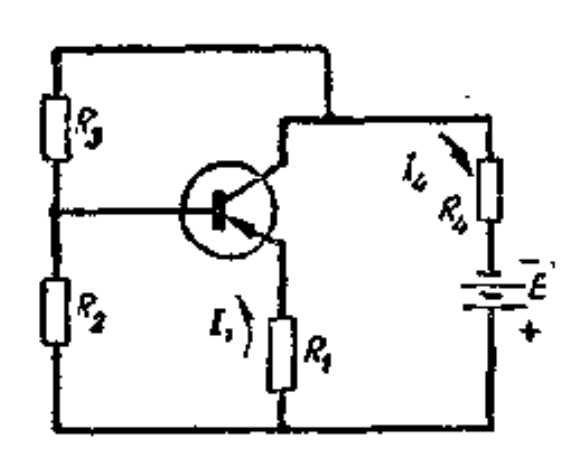


图 1 直流放大器中三**都** 管状态的稳定緩路

极电路中經过电阻 R₁ 实現反饋——串联电流反饋;其次,經过分 压器 R₂ — R₃ 将电压从集电极加到基极——并联电压反饋. 和共 他的三极管状态稳定的綫路相比,这个具有复合反饋的綫路是最 有成效的. 显然,負反饋的程度愈深,当三极管的参数有任何改变 时状态稳定的程度也就愈高.

为了这个目的,我們来研究所引出的緩路(图1)中負載电流的漂移。在共基級和共发射极綫路中电流 I4 是負載电流,而在共集电极緩路中电流 I1 是負載电流。以下将只着重討論負 載 电流的漂移;知道了电流漂移和負載电阻之值,負載电压的漂移在必要时是易于决定的。

通过不复杂的計算可以証明,如果实现两个条件:第一,发射极一基极电压远小于电阻 R₁上的压降:

$$u_{0,\delta} \ll u_{R1}, \tag{1}$$

第二,电阻 R4 远小于动电阻 re:

$$R_1 \ll r_R, \tag{2}$$

則图 1 緩路中負載电流的漂移在实际上只决定于电流 Ino 的不稳定性。

在实在的綫路中, $u_{8.6} \approx 0.1$ 伏; $u_{R1} \approx 3-5$ 伏; $R_4 \approx 10-20$ 千欧,而 $r_R \approx 1$ 兆欧,故上述条件能很好地实現.

利用所謂状态稳定系数 S [文献 1] 便于表征电流 I no 对負載电流影响的程度。 稳定系数 S 决定于負載电流的增量对电流 I no 的增量之比值,而且表示負載电流的变化比电流 I no 的变化强多少倍:

$$S = \frac{M_{\rm R}}{a I_{\rm E0}}.$$
 (3)

显然,在所有情形下,負載电流的最小漂移发生在极小的 S 值之下,因而在选择綫路参数时必須力求获得最小的 S 值.

对于图 1 的綫路,稳定系数写成如下形式:

$$S_{0.6} = \frac{dI_4}{dI_{R_0}} = \frac{1 + \frac{R_1}{R_2}}{1 - \alpha + \frac{R_1}{R_6} + \frac{R_4}{R_2 R_3} (R_1 + R_2)}; \quad (4)$$

$$S_{R} = \frac{dI_{1}}{dI_{R_{0}}} = \frac{1}{1 - \alpha + \frac{R_{1}}{R_{6}} + \frac{R_{4}}{R_{2}R_{3}}(R_{1} + R_{2})}; \qquad (5)$$

其中 So.6 是三极管接成共发射极和共基极綫路的稳定系数;

Sx 是三极管接成共集电极綫路的稳定系数;

从引出的公式看出,当有复合反饋时(图1)稳定系数对于所有三种三极管接法都可以具有小于1的值,也就是电流 In 的增量可以小于电流 In 的增量。

为了保証最小的 S 值,即保証負載电流对电流 I_{R0} 的最小依从关系,必須将电阻 R0 之值选得尽可能的小,而电阻 R1 之值尽可能的大。 这是明显而义合乎物理事实的:沿电阻 R0 流过的电

流 I₈₀ 要产生与 R₆ 之值成正比的某一电压降。电阻 R₆ 上附加电压降的出现,无异于在发射极-基极电路中引进某一电动势,并在发射极电路中产生附加的电流、而且电阻 R₁ 愈小这个电流愈大。因此,在集电极电路中发生附加的电流。减小R₆和增大 R₁,就减小了电流 I₈₀ 的影响。

已經指出,选取足够小的 S 值可以保証三极管状态的良好稳定,因而保証小的負載电流的漂移. 但是随着 S 的减小,即随着負 反饋的加深,級的增益要減小.

3. 最簡单的放大級

为了闡明稳定系数 S 与級的增益以及其他各 参数 之間 的 关系,我們来研究最簡单的共发射极放大級 (图 2). 在这里状态的

稳定只是靠經过电阻 R₁ 的負反饋 来完成的。

对于这个綫路:

$$S = \frac{1 + \frac{R_1}{R_6}}{1 - \alpha + \frac{R_1}{R_1}}.$$
 (6)

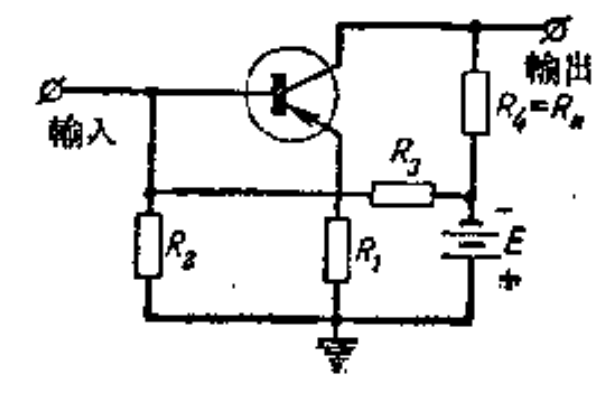


图 2 共发射极的放大级

利用三极管的 T型等效綫路, 并求解操入与輸出电路的克希荷夫 方程式,就不难求出这个級的其他参数.

对于給定的級,諸参数用下列公式来表示:

$$k = \frac{\alpha}{1 - \alpha + \frac{R_1}{R_6}};\tag{7}$$

$$k_{\mu} = \frac{\alpha R_{\rm H}}{R_1 + r_6(1 - \alpha)} \approx \frac{\alpha R_{\rm H}}{R_1}; \tag{8}$$

$$R_{\rm Bx} \approx \frac{R_1}{1 - \alpha + \frac{R_1}{R_6}}; \qquad (9)$$

$$R_{\rm estx} \approx r_{\rm K} \frac{R_1 + R_6 (1 - \alpha)}{R_1 + R_6},$$
 (10)

其中心和心分别是級的电流增益和电压增益。

在这些公式中以 S 的表达式代入,可以得到联系級的参数与 稳定系数的如下公式:

$$k_i = S - 1; \tag{11}$$

$$R_{\rm BX} \approx R_{\rm l}(S-1); \tag{12}$$

$$R_{\rm RbIx} \approx \frac{r_{\rm R}}{S}.$$
 (13)

如果同样的級程串接, $R_n = R_{\text{ax}},$ 則 $k_u = S - 1.$

由此看出,要求得到小的 S 值,即小的負載电流的漂移; 和要求得到好的放大性能,即大的 Ai 和 Ai 值,对于这个綫路說来是矛盾的.这个結論和反饋理論的基本原理是完全符合的:負反饋愈深,增益愈小.

我們以共发射极的簡单綫路为例研究了 S 与級的参数之間的 关系。对于具有复合負反饋的較复杂綫路,依从关系的特性仍然 一样。在共集电极綫路中,有着稳定系数和增益之間相似的依从 关系。

在共基极綫路中(图 3)不发生这种关系。随着 S 之值的 減小,这个綫路的增益并不減小。在这里,增大 R₁和減小 R₆ 只会引

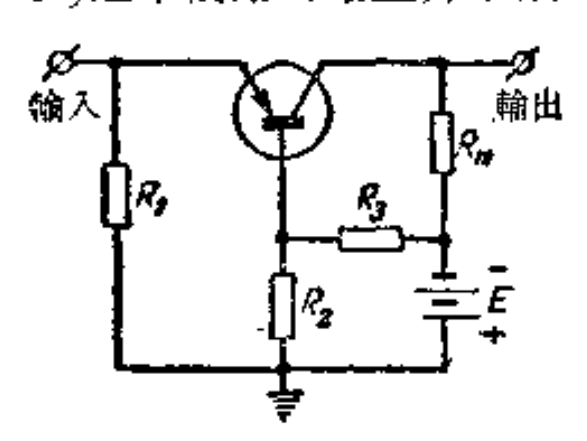


图 3 共悲极的放大级

起得自供电源的功率消耗有某些增大,并不使增益降低. 这一点也可以从級的增益的公式看出:

$$k_{\mu} = \frac{\alpha R_{\mu}}{R_6(1-\alpha) + r_5}. \quad (14)$$

这是由于,在共基极綫路中对电流 I_{50} 的負反饋不是对被放大的信号

的負反饋。 結果,共基极緩路要比共发射极緩路或共集电极緩路 稳定得多。这样,除去共基极緩路之外,在直流放大器中不能同时 得到好的稳定性和大的增益。 在交流放大器中,利用电容器就容易把交流和直流分量分开。所以在交流放大器中,可以获得良好的状态稳定度而不降低增益。事实上,在共发射极綫路中用电容与 R_1 并联,得到 $k_u = \alpha R_n/r_0$,即增益与偏压电路的参数无关。 根据这一点,就便于将交流放大器和直流放大器区别开来。

作为例子,現在来决定簡单的共发射极級的漂移值,这个級的 綫路已在上面引出(图 2)。

假定 S=5,而級的負載就是同样的另一級,即 $R_{II}=R_{ax}$. 于是 $k_i\approx 4$, $k_a\approx 4$, $k_s\approx 16$ 。 如果这时 $R_1=1$ 千欧,则 $R_{II}=R_{ax}=R_{ax}=4$ 千欧.

設温度在工作区段内从 + 20 变到 + 50℃, 电流 I_{K_0} 在室温下等于 10-12 微安, 当温度每变化 10℃ 时 I_{K_0} 接近增大一倍,则对于通常的三极管就得到 $\Delta I_{K_0} \approx 80-100$ 微安. 这对应于负载电流的变化为 $\Delta I_{K_0} = S\Delta I_{K_0} = 400-500$ 微安. 因此,负载上电压的变化为 1.6-2 伏,而引进到輸入端的漂移为 $\Delta u_{\text{px}} = 0.4-0.5$ 伏,

这个引入漂移之值对于簡单的直流放大級是最典型的,在大多数情形这是不能应用的。这种放大器只能用在不灵敏的粗糙設备中。因此,在直流放大器中要采用各种补偿漂移的方法。

4. 直流放大器中补偿漂移的方法

在电子管电子学中,减小直流放大器零点漂移的主要方法是: 供电电源的稳定;采用平衡或桥形綫路;采用深的負反饋;将直流 变换为交流,并将交流放大,最后再整流。

目前,在半导体电子学中还多半是借用电子管电子学中的方法,其中,为了减少直流放大器的漂移可以利用后面三个方法,即采用平衡经路,采用负反饋及变换法。 所述方法中的第一个在半导体三极管綫路中很少应用,因为漂移的主要来源不是供电源,而是三极管本身的温度与时間漂移。

与电子管綫路不同,由于半导体三极管的某些性能可以采用

补偿漂移的新方法。这些方法是:在相邻級中漂移的相互补偿法。 用非綫性元件(与温度成非綫性关系)补偿温度漂移法。

我們来研究上面所述在半导体三极管直流放大器中減小漂移 的方法。

1) 相互补偿法 相互补偿法的根据是,在相邻的级中,各级引起的温度漂移的方向在輸出端可以是彼此补偿的(图 4).

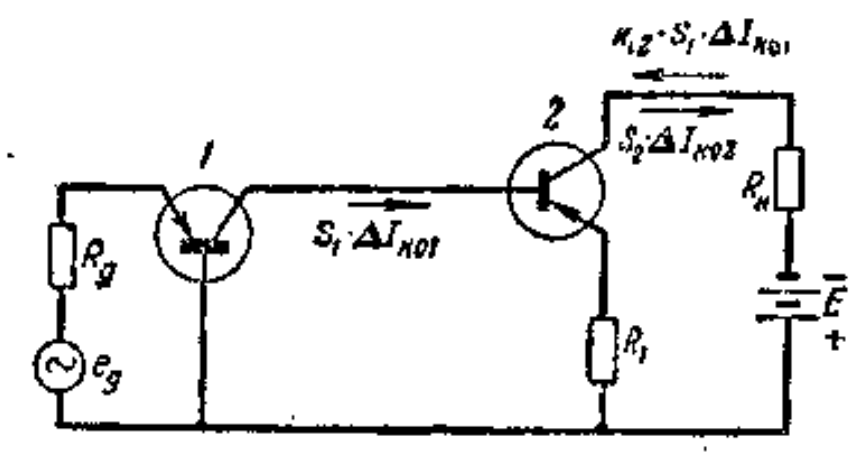


图 4 在相邻两級中溫度漂移的相互补偿法

对于图 4 的綫路、当温度变化时負載中电流的增量用下列公式表示:

$$\Delta I_{R} = k_{12} S_{1} \Delta I_{R01} + S_{2} \Delta I_{R02}, \tag{15}$$

其中 ΔI_{1801} 和 ΔI_{1802} 分別是第一和第二个三极管在給定温 度区 間内的增量; S_1 和 S_2 是第一和第二級的稳定系数; Q_{12} 是第二級的电流增益。

对于温度的稳定必須有:

$$k_{i2}S_1\Delta I_{\aleph_{01}} = -S_2\Delta I_{\aleph_{02}},$$

如果考虑到 ΔI_{n_0} 具有相同的符号,即三极管 是 同类型的 (p-n-p 或 n-p-n),則应按下表中所示組合来連接才能实現 上述条件:

| 第 1 級 | 第 2 級 |
|-------|-------|
| 共 基 极 | 共发射极 |
| 共发射极 | 共发射极 |
| 共 基 极 | 共奪电极 |
| 共发射极 | 共集电极 |
| 共集电极 | 共 基 极 |

如果 $S_1 = S_2$, 則条件等成:

$$k_{\nu 2} \Delta I_{\kappa_{01}} = -\Delta I_{\kappa_{02}}. \tag{16}$$

为丁实现这个条件,必须选择具有适当的电流 Inc 的温度**特**性曲綫的三极管。

但实际上要实现这个条件是非常困难的,因为不可能选出正 好满足这个补偿条件的三极管。

已有某些相互补偿法的綫路方案,在其中选定必要的特性曲 綫并在綫路中引进可調的电阻以保証补偿条件的易于实现。

但是总的說来,根据选定三极管的相互补偿法不能給出令人 满意的結果,温度补偿只在有限的温度区間内发生作用,且对于 每一三极管的特性曲綫的要求是非常苛刻的,此外、綫路的調整 很費时間,

2) 利用非綫性元件的温度补偿 采用与温度成非綫性关系的元件来补偿温度的方法,比相互补偿法是較为方便且較有成效的。

补偿綫路(图5)与前面不同之处只是接入了电阻力,它是第

一級的負載。在这个緩路中可以不必选择三极管而得到温度的补偿。 为此,必須使第一級的負載——电阻 r——对温度的变化是 灵敏的。当热灵敏电阻 r 的特性 曲綫选择得适当时,第二級的偏

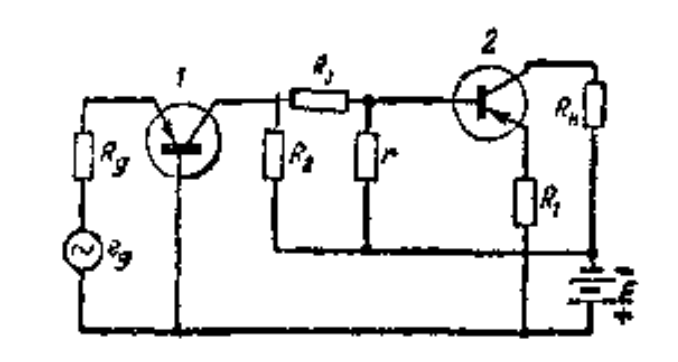


图 5 利用非級性元件的漂移补偿法

压将自动这样来建立,以使得当温度改变时放大器負載中的电流 保持不变。

用实驗方法求得电阻 r 所必須的特性曲綫. 为此,接入一可 变电阻以代替 r, 并在不同温度下改变可变电阻之值以保持 輸 由 电流不变.

可以采用热敏电阻, 半导体二极管和三极管以及其他热敏元件作为热灵敏电阻, 但是, 要选择其特性曲綫正好能满足完全补偿温度变化这一条件的元件是极困难的, 因此, 将这个元件与固定

环节配合使用(串联及并联接入电阻 R₂和 R₃,其值在調整放大器)的过程中来調整)。在有了固定环节之后,非綫性无件的特性曲綫也还是不能完全满足温度补偿的条件。在文献[文献 2]中介紹了照所引用綫路构成的放大器的工作特性: R_{BX} = 50 欧, k₂ = 100.

当温度从 +20 变到 +50℃时, 輸出电流的漂移稍大于 5%. 在同样条件下,未加补偿的放大器的漂移則大于 100%。

因此,利用非綫性元件的补偿法比較容易解决直流放大器的稳定問題,但已获得的結果是不能认为完全令人满意的。 这个方法不大适用,特别是对于大量生产的情形,因为要求仔細地分别选择非綫性元件的特性曲綫,以及要求精密地和长时間地調整放大器.

3) 深度負反饋的应用 这个方法广泛应用在电子管电子学中以获得直流放大器的稳定。在这方面,半导体三极管直流放大器的綫路与电子管的綫路相似。負反饋特別适宜用在多級放大器中。所以,这个方法可以在半导体三极管綫路中获得广泛的应用,因为增多級数不会使体积和消耗的功率增大很多。 但是必须指出,由于电流 Ino 的温度或时間漂移所产生的干扰信号要經过基极电阻直接作用在級的輸入端。因此,对級的輸入端引入負反饋,在增大比值 испитата/ипомехн¹⁾ 方面不会有任何便宜。 負反饋的深度增大几倍,放大也損失几倍。在这方面,电流 Ino 的温度和时間

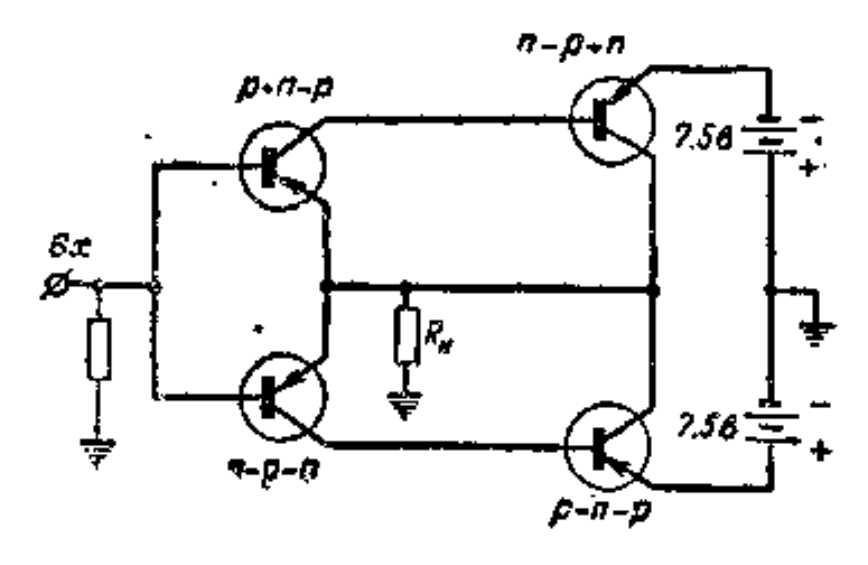


图 6 利用負反饋和平衡級的漂移补偿法

¹⁾ uear Halla 表示信号电压, unomexis 表示干扰电压——譯者注。

漂移与电子管中的阴极漂移相似。在这种情形下、各种补偿漂移的方法的联合使用給出良好的結果,例如,利用包含有負反饋的平, 衡級。

作为例子可以引用文献[文献 3]中所发表的綫路(图 6)。在 两級放大器中含有負反饋,而且每一級都是平衡的。业經指出,这 个放大器具有良好的稳定性及小的零点漂移。

4) 平衡級的应用 采用平衡級的方法[文献 4, 5, 6, 7]是防止漂移的最有效方法之一。在电子管直流放大器綫路中多半采用平衡級。专門为平衡級制造了一种特殊的攀生管,其两半边的阳极和楣极是分开的,并具有最接近的特性曲綫;从这一事实就可看出平衡級在电子管电子学中有着多么大的作用。

在半导体电子学中平衡級更具有大得多的意义。 在这里,这种级可以和漂移的相互补偿及非綫性元件的补偿联合使用。由于无需加热且工作电压很低,多級放大器的生产也要容易得多。

在直流放大器中将平衡級与其他补偿方法(特別是負反饋)联合运用,大概是制作稳定的半导体三极管放大器最有发展前途的方法。

作为例子,我們来研究共发射极的并联平衡級(图7). 綫路是两个简单的共发射极級的并联,而且負載 R 接在两三极管的集电极之間.已經指出,負載电流漂移的主要原因是电流 Im 的极不稳定. 所以,首先必须决定負載电流与两个三极管的 Im 电流的

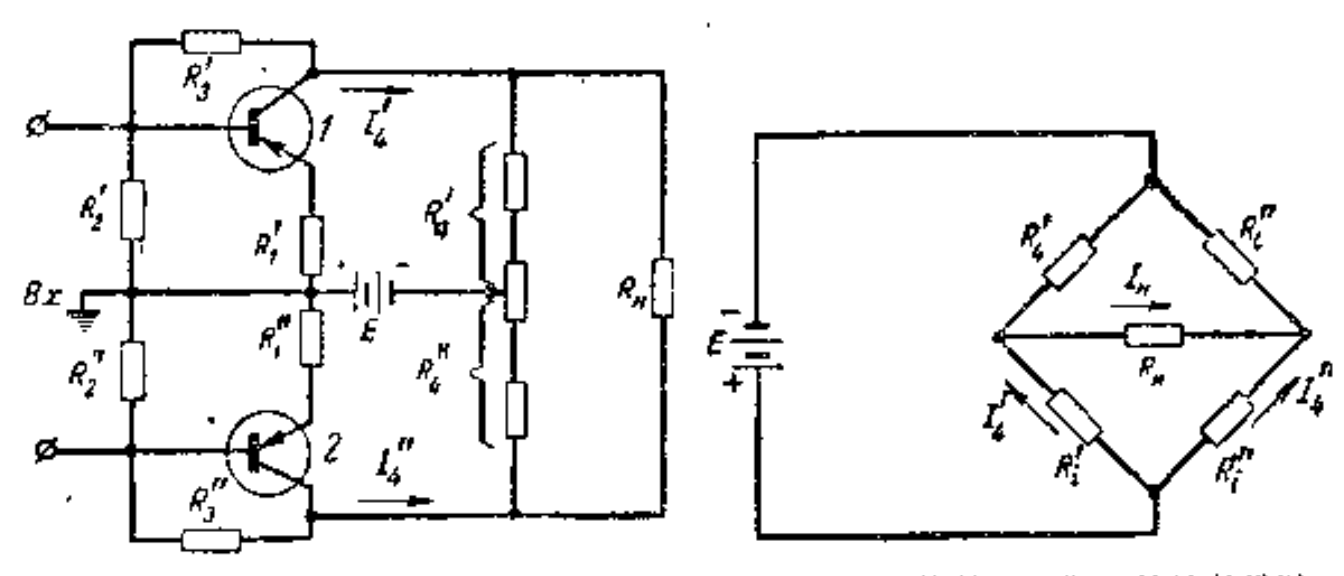


图 7 共发射极的弁联子衡級

图 8 图 7 的幷联平衡級的等效機路

这个綫路可以用图 8 的等效綫路来代替。 在等效綫路中,三极管連同属于它的偏压电路一起用等效电阻 R/和 R/来代替。 負載电阻中的电流可用下列公式表示:

$$I_{\rm H} = \frac{I_4' R_4' - I_4'' R_4''}{R_4' + R_4'' + R_{\rm H}}.$$
 (17)

知道了电流 I_4 和 I_4'' 与电流 I_{801} 和 I_{102} 的变化的依从关系, 統可以求出負載电流的变化。

对于綫路的每半边可以写出:

$$\Delta I_4' = S_1 \Delta I_{\mathfrak{K}_{01}},$$

$$\Delta I_4'' = S_2 \Delta I_{\mathfrak{K}_{02}},$$

$$(18)$$

其中 S_1 和 S_2 是平衡緩路中第一个和第二个华边的状态稳定系数; ΔI_{1501} 和 ΔI_{1502} 是第一个和第二个三极管的 I_{150} 电流在给定温度变化区段内的增量。

从而, 負載中电流的漂移写成下式:

$$\Delta I_{\rm H} = \frac{S_1 \Delta I_{\rm E_0} R_1' - S_2 \Delta I_{\rm E_{02}} R_1''}{R_1' + R_1'' + R_{\rm H}}.$$
 (19)

在大多情形下平衡綫路是对称的,所以,在誤差不大的情形下 可以认为:

$$R'_4 = R''_4 = R_4; S_1 = S_2 = S_1$$

于是

$$\Delta I_{R} = S \frac{\Delta I_{R_{01}} - \Delta I_{R_{02}}}{2 + \frac{R_{R}}{R_{1}}}.$$
 (20)

对于共基极和共集电极的**对联平衡级**,以及对于串联平衡级、公式具有相似的形式。

公式(20)不仅表示負載电流漂移与电流 In, 温度漂移的依从关系,而且也表示負載电流漂移与 In, 其他形式的漂移(当三极管陈旧,或在蠕变等情形下的时間漂移)的依从关系.

根据引出的、平衡級負載中电流漂移的公式可以作出如下結 输:

- 1. 要在平衡級中保証小的漂移,对于平衡綫路每半边的稳定系数必須选择可能的最小值。
- 2. 要保証最小的漂移, 对于平衡綫路必須选用电流 Ino 的温度特性极为接近的一对三极管。

三极管的选择可以在两个温度值(例如 +20 和 +50 个)之下按照电流 I_{∞} 之值来进行。

从应用在平衡級中的观点看来,硅三极管具有比缩三极管好得多的特性曲綫,因为硅三极管的电流 I_{no} 增量的絕对值在温度+100℃以下一直都是很小的.

对于平衡級参数(电流和电压增益,輸入和輸出阻抗)的公式 的推导,象对于簡单的非平衡級一样,可将两个三极管用工型等效 綫路代替来进行.

对三极管的輸入和輸出电路列出克希荷夫方程式,就可以决定級的 k_i 、 k_i 、 $R_{\rm BX}$ 和 $R_{\rm BXX}$. 显然,这时必须考虑所有的偏压电路。

$$k_{u} = \frac{\alpha R_{110}}{R_{0} \left(1 + \frac{R_{110}}{R_{0}}\right)}; \tag{21}$$

$$k_{i} = \frac{\alpha}{1 - \alpha + \frac{R_{H_{0}}}{R_{0}} + \frac{R_{9}}{R_{2}}} \cdot \frac{R_{H_{9}}}{R_{R}}; \qquad (22)$$

$$R_{\rm BX} = \frac{R'_{\rm BX}R_2}{R'_{\rm BX} + R_2}; \tag{23}$$

$$R'_{BX} = R_{3} \frac{1 + \frac{R_{u_{0}}}{R_{0}}}{1 - \alpha + \frac{R_{9}}{R_{0}} + \frac{R_{R_{0}}}{R_{0}'}};$$
 (24)

$$R_{\text{BLIX}} = \frac{R'_{\text{BLIX}}R_4}{R'_{\text{BLIX}} + R_4};$$
 (25)

$$R'_{\text{BMX}} = R_0(1 - \alpha) + R_0 \frac{\alpha R_0 + R_{g_0}}{R_0 + R_{g_0}}.$$
 (26)

在公式(21)一(26)中采用了如下的記法:

$$R_{9} = r_{9} + R_{1}; \quad r_{9} = r_{21} + r_{22}; \quad R_{1} = R'_{1} + R''_{1};$$

$$R_{0} = \frac{r_{R}R_{3}}{r_{R} + R_{5}}; \quad r_{R} = r_{R1} + r_{R2}; \quad R_{2} = R'_{2} + R''_{2};$$

$$R_{H0} = \frac{R_{H}R_{4}}{R_{H} + R_{4}}; \quad \alpha = \frac{\alpha_{1} + \alpha_{2}}{2}; \quad R_{3} = R'_{3} + R''_{3};$$

$$R_{H0} = \frac{R_{H}R_{4}}{R_{H} + R_{4}}; \quad R_{4} = R'_{4} + R''_{4}.$$

在引导这些公式时曾作了一些近似,但对于大多数的实际綫路,在計算中引起的誤差不大于5一10%。

根据所引出的以及直流放大器的其他公式可以作出某些重要結論。从公式的結构可知,三极管的参数 r_0 和 r_0 包含在有外电阻 R_1 和 R_2 的和項之内, $(1-\alpha)$ 与比值 R_{H_0}/R_0 、 R_9/R_2 相加合成在一起,而电阻 r_R 是和电阻 R_3 相并联的。由此可知,为了减少温度效应及三极管参数的不均一性对级的参数 (R_1,R_1,R_2) 的影响,必須将电阻 R_1 、 R_2 、比值 R_{H_0}/R_0 、 R_9/R_2 之值选得远大于 r_9 、 r_0 和 $(1-\alpha)$ 之值,而将电阻 R_3 选得远小于 r_R .

因此, 綫路参数的最佳选择可以使三极管参数不稳定的影响 縮減为最小.

上述条件的实現就表示負反饋深度的增大,因而稳定系数 S 的減小,这又再引起漂移的減小。因此,系数 S 的減小不只是引起級輸出端漂移的減小,而且也引起当三极管参数改变时級的参数稳定度的提高。但是,曾經指出,稳定系数的減小要引起放大的減小。因而,应当指出并联平衡級一个重要的特点。就是,并联平衡級可以在某种程度上消除系数 S 之值与增益之間的联系。如果将級中两个三极管的发射极、基极或集电极直接或經过小电阻連結在一起,就可能发生这种情况。

我們以共发射极級(图9)为例来研究"結合"的影响,在对称綫

路中, 当沒有輸入信号时, 电阻 R, 以及負載电阻 R, 都是連接在同电位的点上, 因而其中沒有电流流过, 因此, 在計算稳定系数 S

时、电阻 R,和 Ru可以不加考虑;故无論是对于发射极結合在一起的级,还是对于发射极为有结合在一起的报, S 之值都是一样的。 級的其他参数(Run 和 Run 和) 則与 R, 有很大关系,因此,在发射极结合在一起的级与结合在一起的级

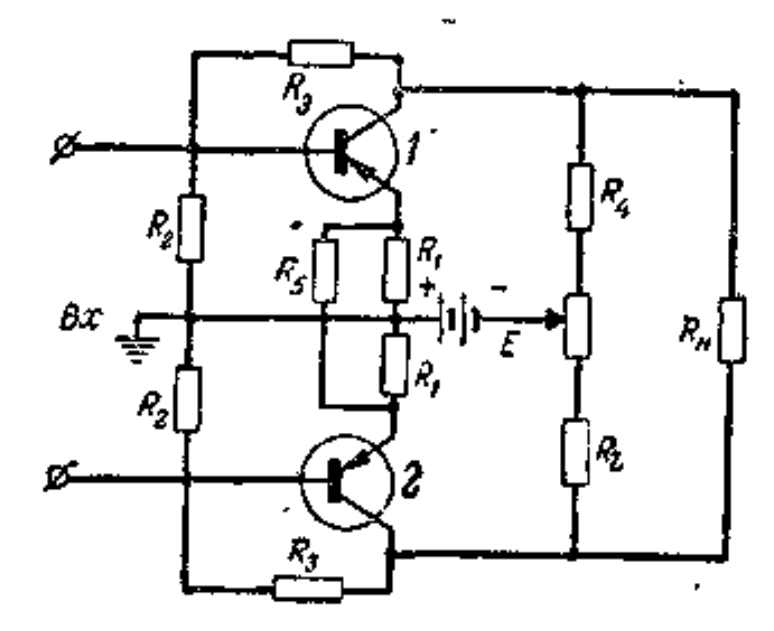


图9 发射极速在一起的平衡級

中,它們是不同的。这可以用电压增益为例来說明:

$$k_{\mu} = \frac{\alpha R_{\text{H0}}}{R_{\text{a}} \left(1 + \frac{R_{\text{H0}}}{R_{\text{0}}}\right)}.$$
 (27)

在沒有結合在一起的級中 R_0 很大,因为它主要决定于电阻 R_1 之和,而为了保証綫路的良好稳定性 R_1 是选得足够大的;在結合在一起的級中 R_0 之值不大,主要决定于 R_0 . 从式(27)看出,为了保証大的增益,結合电阻 R_0 应当很小.

因此,在发射极結合在一起的級中,可以得到大的电压和电流增益,且能同时保証小的 S 值,即小的輸出端漂移.

关于共集电极级的討論是相类似的。至于共基极级,則在其中保証小的 S 值与获得大的增益并不矛盾,但在基极电路中接有外电阻 R₂(以同一供电源供电时)的情形下,結合在一起的連接也是有利的。在这里,結合在一起的連接也增大了电压增益。

我們的出发点是当沒有信号时結合中的电流等于零。在实在的綫路中,由于不对称性結合中将有平衡电流流过,所以,在把基极、发射极或集电极結合在一起的級中負載电流漂移的絕对值比不結合在一起的級中的漂移值是增大了。为了減少輸出端漂移的

絕对值,必須增大結合电阻 R₅,但引入到輸入端的漂移值則是在 小的結合电阻值之下为最小。

必須指出,只是拜联平衡級才具有消除 S 与 k 之間相互关系的可能性。 串联平衡級按其結构說来是不能結合在一起的。由此可知,結合在一起的幷联平衡級能保証比串联平衡級小得多的引入漂移。

略微談一下多級平衡綫路的問題。一般說来,电子管电子学中所熟知的构成多級綫路的方法是可以用在半导体放大器中的。由于三极管的工作电压低且不需加热,用单一电源供电的多级联接是易于实现的。从最小的引入漂移的观点看来,将具有单独供电源的各级直接相連是最好的方法。其他方法则給出較大的漂移值。

在图 10-12 中示出了具有平衡級的半导体三极管直流 放大。 器的某些实际綫路。

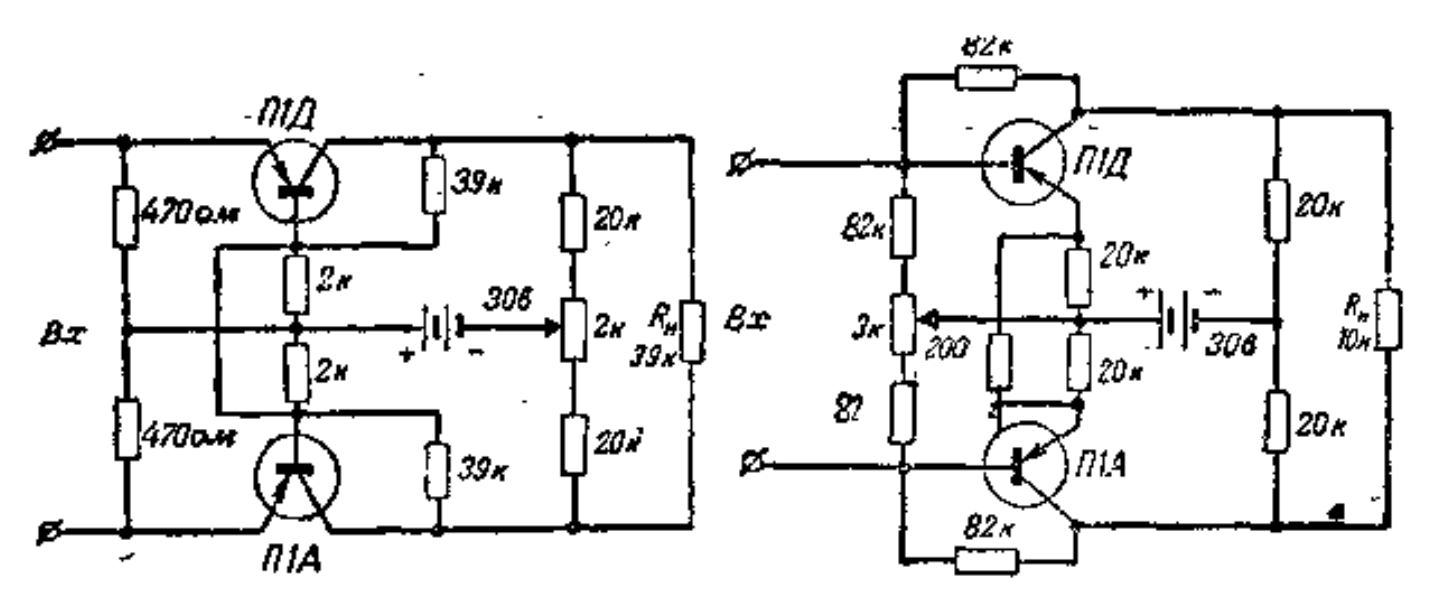


图 10 共基极平衡级的实际綫路

图 11 共发射极平衡放大器的实际凝路

实驗的校驗指出,在三极管經过簡单选择之后,平衡級可以保了 証如下結果:

共基極級(图 10):

 $k_{\mu} = 140$; $R_{\text{BX}} = 105 \, \text{欧}$; $R_{\text{BLIX}} = 26 \, \text{千 \text{\text{\text{\text{\text{BLIX}}}}}}$

当温度从一40变到 +60℃时,引入到输入端的漂移为 0,42 毫伏。

共發射極級 (图 11):

 $k_u = 18$; $k_p = 130$; $R_{\text{BX}} = 4.3$ 千欧; $R_{\text{BMX}} = 11$ 千欧. 在 -40 到 +50 ℃ 的区間内,引入漂移等于 10 毫伏.

兩級放大器(图 12):

 $k_u = 320$; $k_b = 2000$; $R_{\text{BX}} = 160$ 数; $R_{\text{BMX}} = 5.2$ 千数. 在 -40 到 +60 ℃ 的区間內,引入漂移等于 1 毫伏.

在引出的平衡級綫路(图 12 放大器中的第二級除外)中,采用的一对三极管在 + 20 到 + 60 $^{\circ}$ 温度区間內具有电流差值 $\Delta I_{\text{Eq}1} - \Delta I_{\text{Eq}2} = 5$ 微安。 当选择具有接近的电流 $I_{\text{Eq}1}$ 温度特性的三极管时,不一定必须是同一类型的,正如图 10—12 中所示。

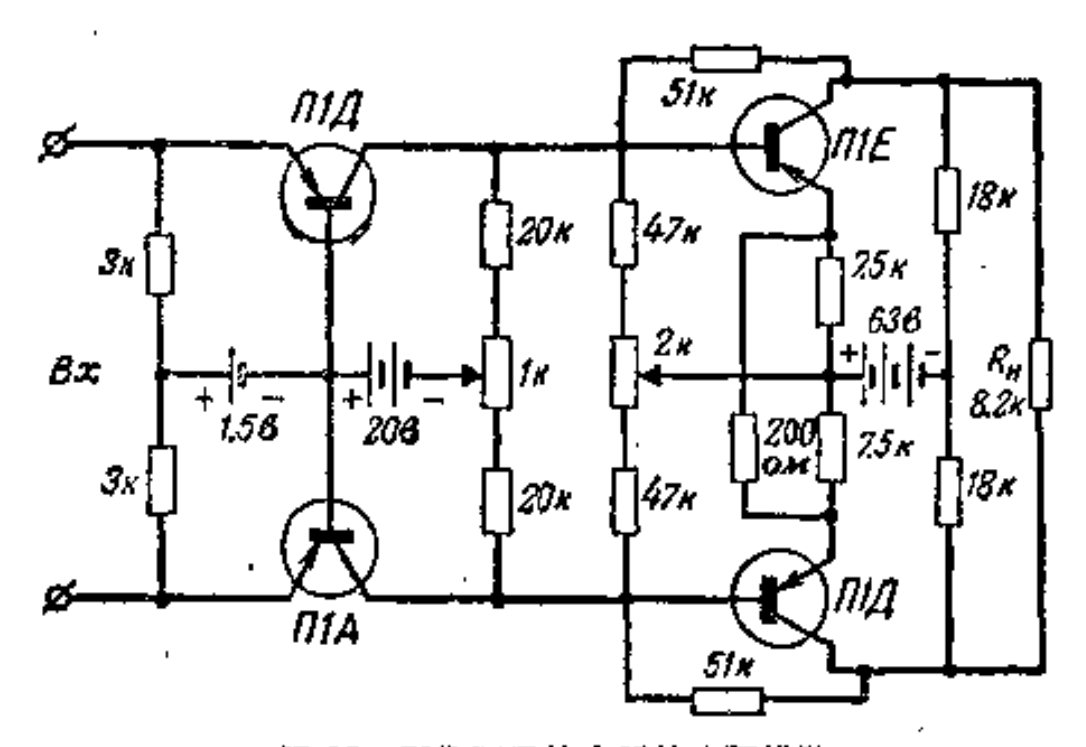


图 12 平衡两級放大器的实际綫路

图 13 所示是具有共发射极(第一級)和共集电极(第二級)平衡級的两級放大器綫路[文献 8]。这个放大器是当用光电元件测量极微弱的光通量时为了增大微安計灵敏度而設計的。

放大器的参数; $k_i = 1000$; $k_p = 45$ 分貝 (~ 30000); $R_{BF} = 10$ 千欧.

在从 +13 到 +30℃ 的区間内,引入到輸入端的漂移为 0.01 微安。 短时間零点的不稳定度在輸入端是 0.001 微安,且只决定于三极管的低頻噪声。 三极管是按照电流放大系数β(具有精确

度 3%) 和 Im (具有精确度 10%)来选择的。

放大器之所以能获得較大的零点稳定度,不仅是由于采用了平衡級,而且也是由于在負反饋电路中采用了附加的放大(三极管 T₅).

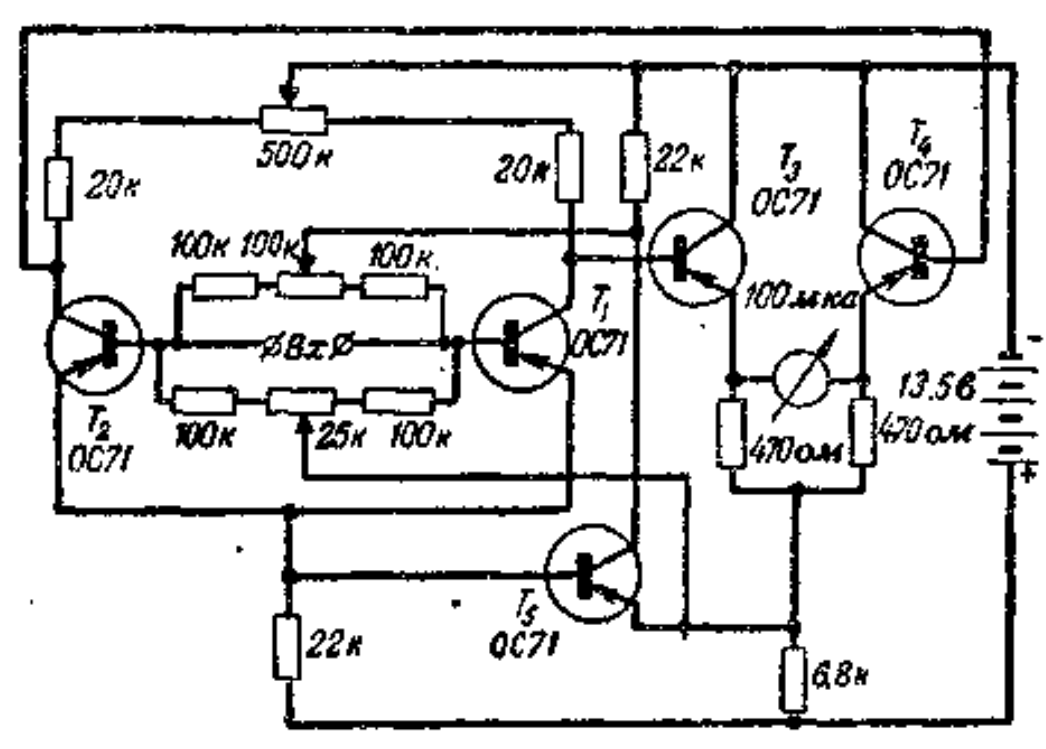


图 13 具有資及盤的两級平衡放大器

因此,在零点稳定度方面,半导体三极管直流平衡放大器现在 已不次于同样的电子管直流放大器。在平衡綫路中采用硅三极管 可以在宽广的温度区間内大大减低漂移值,因为电流 Iso 之值在硅 三极管中远比在鉻三极管中为小,而 Iso 是零点漂移的主要来源。

5) 具有变换的直流放大 在直流放大器中, 减小零点漂移的 变换法是与上面所研究的这些方法不同的。

我們知道,交流放大器要比直流放大器稳定得多,因为可以用过渡电容和变压器将直流分量的漂移去掉。 所以在許多情形下,宜于首先将小的直流电流变换成交流,再把交流电流放大到必要的大小,然后利用任何整流系統又整流为直流。 采用变换器一般地是去掉了放大器中零点漂移的問題。但同时又出現了新的漂移来源一一变换器本身的漂移。在电子管电子学中,大多数情形是利用机械断續器作为变换器。 动作不够快速和使用期限不长是机械变换器的巨大缺点。只有在低灵敏度的放大器中,才有可能在变换器中应用电子管。

在变换器中应用半导体三极管和二极管,对于在保持高灵敏 度下提高动作速度和使用期限方面,开辟了广泛的可能性.

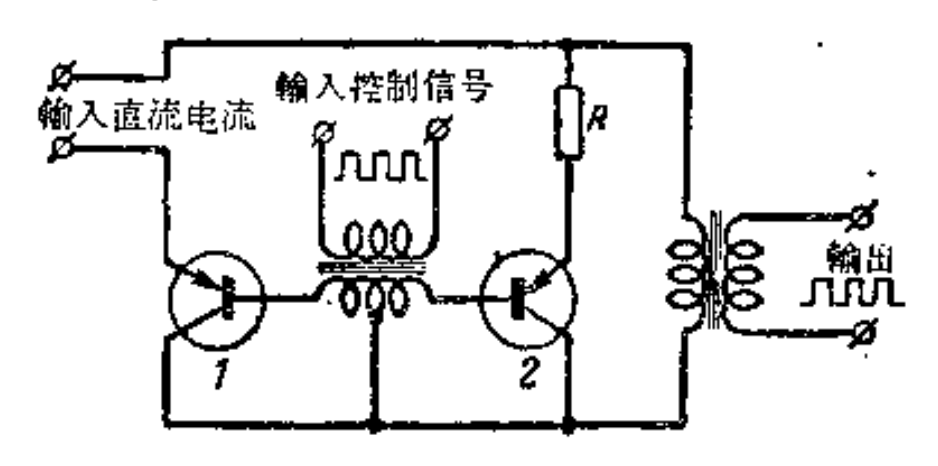


图 14 中导体三极管的"开关" 機路

在一篇文章[文献 9]中, 叙述了半导体三极管的"开关"綫路, 当温度从 -50 变到 +90℃ 时, 其輸出端的不稳定度为 0.1 毫伏。 图 14 所示是这种开关綫路方案之一。 开关用加于三极管基极电 路的交流电压来控制。綫路中的第二个三极管用作温度补偿。开 关輸出端不稳定之值与两个三极管特性曲綫选择的程度有关。

在文献 10 中叙述了綫路如图 15 所示的硅二极管 平衡調制器。 当从高内阻信号源供給信号时,在室温下的零点稳定 度为 10⁻⁸ 安;而当从低内阻信号源供給信号时,为几个毫伏。調制器可工作到 +80℃,这时漂移接近增大了一个数量級。

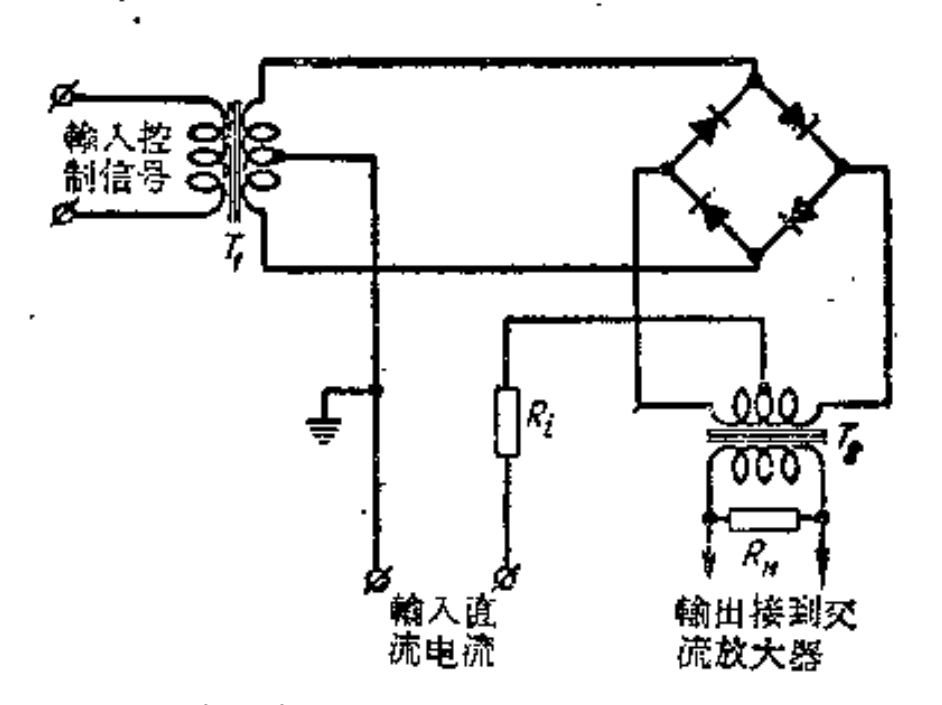


图 15 华号体二极管的平衡调制器

綫路不需要特别选择二极管,也不需要任何附加的零点調整.

根据引出的数据可以款为,和平衡級法一样,变换法在半导体器件的直流放大器中将获得广泛的应用。

参考文献

- [1] «Полупроводинковые тргоды и их применение», под редакцией Р. Ша, ГЭИ, 1957.
- [2] Keonjian E., Proc. IRE, 1954, 42, 4.
- [3] Sziklai G., Electronic Fag., 1953, 25, 307.
- [47] Starke H. F., Radio & Television News, 1953, 50, 12.
- [5] Joason G., Wireless World, 1955, 61, 1.
- [.6] Slaughter D. W., Electronics, 1955, 29, 5.
- [7] Etunger G. M., Electronics, 1955, 28, 7.
- [8] Neale D. M., Oakes F., Wireless World, 1956, 62, 11.
- [9] Bright R. L., A. P. Kruper, Electronics, 1955, 28, 4.
- [10] Moody N. F. Electronic Eng. 1956, 28, 337.

跟踪系統放大器中的半导体三极管

Ю. И. 科望夫 (Konca)

引言

在本文的范围内不可能詳細地研究这些問題的各个方面。所以,在以下只叙述在跟踪系統中应用半导体三极管的最重要和最具有特征性的例子。对于許多問題更詳細的学习,应当利用专門的文献[文献 3,4,5]。关于半导体三极管的应用及綫路的計算方法的某些一般問題,在本文中也給出了文献的引証。

1. 跟踪系統的放大器

限踪系統中的放大器,用来将測量設备的信号在功率方面放大到足以使执行机构发生作用的数值。在許多情形下,与放大信号的同时还必须进行其变换。这些变换可以分为两种形式。

信号变换的第一种形式,是与测量設备根据其型式的不同可以产生直流或交流电流的这一事实有关的。执行机构也可以是直流或交流的。因而,可能有四种放大和变换信号的方案,我們知道,为了实现这些方案要采用交流放大器、直流放大器、調制器和解調器.

信号变换的第二种形式则与下列事实有关; 跟踪系统的放大

器应当不仅放大測量設备的信号,而且也产生特殊的信号,这些信号例如是与失配角的微商或积分成正比例的。为了这个目的要采用校正电路。

在应用直流测量設备的情形下,放大器的輸入端加以失配的电压,其大小与符号可随頻率而改变,頻率是从不到一赫变到几赫的。在大多数情形下,直接放大这种电压是相当困难的,要利用断續器把这个緩慢变化的电压变换为具有几十赫的頻率,且为失配电压所調制的交流电压。从交流测量設备直接得到載波頻率为50到400—500赫并为失配电压所調制的交流电压,失配电压的頻率为一赫以下到几赫。在两种情形下,信号的进一步放大都容易用交流放大器来完成。

因此, 跟踪系統中的交流放大器是低載波頻率的窄頻带放大器, 对于放大器和整个系統, 截波頻率是不变的.

如果在跟踪系統中采用交流的执行电动机(在大多数情形下是两相感应电动机),則其所发揮出的轉矩将决定于控制繞組中的一次諧波电流。这个繞組通常与电容器一起形成回路,并調諧在交流放大器輸出电压的一次諧波頻率。在应用直流的执行电动机的情况下,必须在其电枢的电路中(或激磁繞組中)产生一个电流,其平均整流值正好与信号电压成正比例,方向則随着信号电压的符号或相位的改变而改变。同样的控制方法就需要电机放大器、磁放大器和整个电磁机构。

因此,在跟踪系統的放入器中,对于大多数情形沒有必要在負載中精确地复制被放大电压的曲綫形状。在負載中分出电流的一次諧波或电流的平均整流值就已足够,只要这些电流值在其变化的确定区間內正好与信号电压成正比例。因而,在計算放大器时,对于大多数情形也沒有必要精确地决定負載中电流脉动的形式,只要近似地决定电流的一次諧波或平均整流值就已足够。这就簡化了級的計算,并允許利用測量三极管参数的簡化方法。

我們知道,在具有华导体三极管的級中,无論是在其輸入电路,或者是在其輸出电路,都发生信号的畸变。輸入电路中畸变的

发生是由于三极管輸入特性曲綫的非綫性, 拜与三极管輸入电阻和信号源內阻間的关系有关. 輸出电路中畸变的发生, 则是由于三极管电流放大系数α(或β) 随着发射极电流或集电极电流的增大而减小.

計算与实驗校驗証明,在实际綫路中所发生的畸变之下,电流的一次諧波或平均整流值与集电极电流脉动的振幅之間的关系,和不畸变的半波正弦脉动电流相比,相差不大于5一10%。因此,为实际上是足够精确的可以认为,在交流放大器中

$$I_{\rm it} \approx I_{\rm kr}$$

在华波可控整流器中

$$I_{1T} \approx 0.5 I_{1T};$$
 $I_{0p} \approx \frac{1}{\pi} I_{1T};$

在全波可控整流器中

$$I_{\rm ep} \approx \frac{2}{\pi} I_{\rm er}$$
,

其中 In 是电流的一次譜波的振幅;

Icp 是电流的平均整流值;

Im 是集电极电流的振幅。

为了計算最后的交流放大級及电流平均值放大級,宜于利用在共发射极綫路中測得的三极管参数,因为对于半导体三极管最常用的就是这种接法,而且 $\beta=\alpha/(1-\alpha)$ 之值比 α 之值可以测量得精确得多。这时,在給定的集电极电流振幅下决定三极管的直流輸入电阻 $R_{\rm ex,o}=\frac{U_{6,o}}{I_6}$ 和电流放大系数 $\beta=I_{\rm ex}/I_6$ 就已足够。

这些参数的测量应当在足够低的恆定集电极供电电压 2 一 6 伏下进行,因为对于最后一級的正确計算,在集电极电流振幅值之下集电极-发射极电压是不超过几伏的.

在几个 I_{κ} 之值下重复这种测量,我們得到作出特性曲綫 $R_{\text{BX},0} = f_1(I_{\kappa})$ 和 $\beta = f_2(I_{\kappa})$ 的数据。有了这些特性曲綫,就有可能对于在任何給定的 I_{RF} 值(在所测量的范围内) 之下工作的級进

行計算、

因此、对于级的簡化計算、只要在最大的集电极电流振幅值

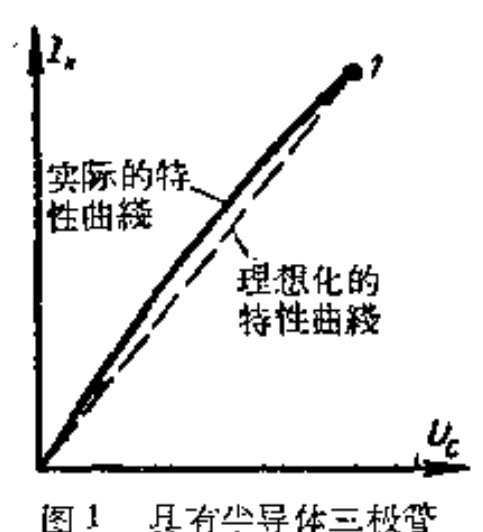


图 1 具有學导体三极管 的級的理想化和实际的摄 辐特性曲线

(图 1 中的点 1) 之下决定必要的信号电压和信号电流值(因而,級的輸入电阻及其特性曲綫的斜度)。在大多数情形下,沒有必要計算級的特性曲綫上中間的各点,而可以认为特性曲綫是接近于直綫的。

图 1 中示出了实际的和理想化的振幅特性曲綫,其差别在于,在小信号电压下实际的特性曲綫的斜度較大.

2: 对跟踪系統发送器的要求

为了在跟踪系統中应用半导体三极管放大器,应当詳細地說 一下对构成跟踪系統測量設备的信号发送器的要求.

必要的功率增益按輸出功率对第一級輸入电路所消耗的功率 之比值来决定。为了降低必要的功率增益,必須在放大器的第一 級中引进尽可能大的信号功率。要作到这点,可以使发送器的阻抗与放大器輸入电路的阻抗相匹配。

但是,发送器与放大器相匹配是有困难的,因为当发送器向負 載所供給的电流增大时,大多数发送器的輸出特性曲綫要发生強 烈的畸变。由于这点,大多数发送器不得不运用在接近于空載的 状态。某些类型的发送器具有交变的内阻,这也使得难于匹配。

对于具有半导体三极管放大器的工作,能够供給負載以相当大的功率而不使其特性曲綫发生重大畸变的发送器是最有效的。引进第一級輸入电路的信号功率愈大,整个放大器所具有的功率增益就愈小,其綫路与結构也就愈簡单和可靠。

在用得最普遍的各种类型发送器中,可以推荐下列几种与半导体三极管放大器同时应用:在变压器状态下的自动同步机、交流电位計桥、威应发送器。应用直流发送器是不太合适的,因为在这

种情形下必須使用半导体断續器,而这又要引入某些零点漂移。

象填空和热充气光电元件发送器及电容发送器 这样的发送器,与半导体三极管放大器同时应用是非常困难的。因为这些发送器是具有高内阻的,它只能向低欧姆負載即半导体放大器的輸入电路中供給不大的信号功率,这就使得必須采用具有高增益和低噪声电平的放大器。

3. 交流放大器

輸出功率为零点几瓦到几十瓦的交流放大器,在跟踪系統中 广泛地用来控制两相感应电动机。在这种放大器中应用半导体三 极管是非常适合的,而且技术問題也最簡单,因为无綫电接收設备 中的音頻放大器就可以用来作为跟踪系統中的交流放大器,而有 关音頻放大器的論述已有了很多并且可以制作得很好了[交献 1, 2].

但是,对于用在跟踪系統中的交流放大器,还提出了一些特殊的要求,同时,其某些質量指标和音頻放大器相比則是可以降低的.

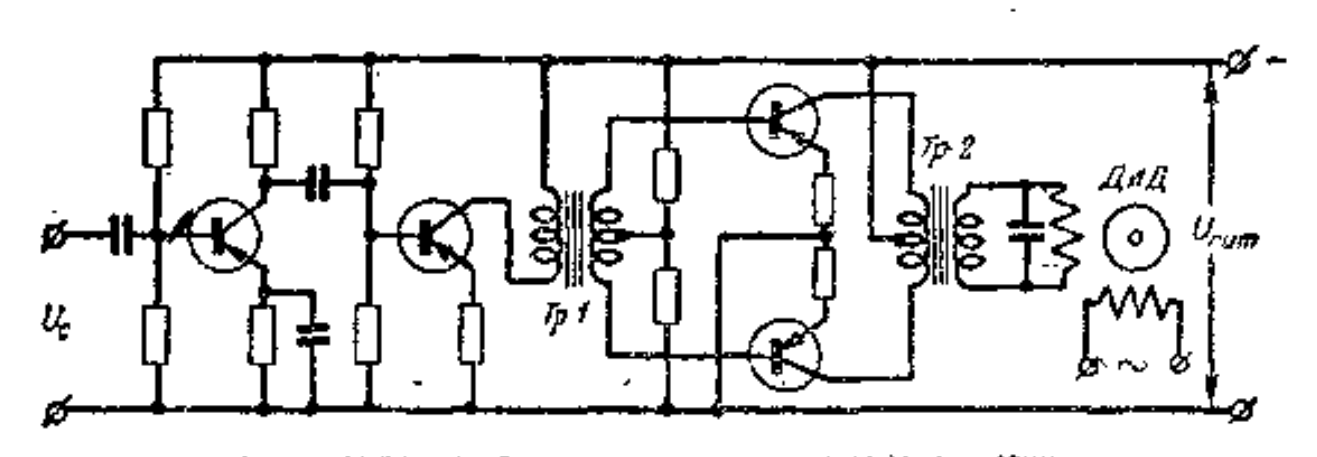
跟踪系統的交流放大器不必具有寬的通頻带和小的非綫性畸变系数. 反之,常常必須采用具有低通頻带的选择放大器,以获得交流跟踪系統的稳定. 散波頻率振盪波形的畸变在大多数情形下是允許的, 因为电动机的控制绕組可以調諧到和信号电压的一次谐波发生諧振

在由放大器引起的相位移方面要求具有尽可能高的稳定度,对交流放大器說来是十分严格而且必要的。由于相当大的过渡和旁路电容及因此而应用的电解质电容器(电容不太恆定)的存在,以及級的輸入电阻随温度而改变,就使得由放大器引起的相位移可以受温度和供电电压的影响而改变.

当級間采用变压器耦合时,可以得到好得多的稳定度。同时、每一級的功率增益提高很多,放大器的級数也就可以減少、但是, 只有当变压器的尺寸能作得很小时,采用变压器才是合理的。 就 这方面說來,不只是在最后一級而且是在前置放大級中,都宜于采用推挽綫路。这样,变压器就工作在沒有直流磁化的情形下,而可以采用高导磁率的材料作为鉄芯,因而大大減小了磁路的体积和 繞組的匝数。

应当着重指出,当提高载波頻率时,級間采用变压器和阻容耦合是最簡单的,且能保証质量.从这个观点看来,在跟踪系統中最好采用頻率不低于300—400赫的电源.

图 2 所示綫路是輸出功率为 2.5 瓦的交流放大器. 輸出变压器 Tp.2 用在这里一方面是要保証輸出級的每一三极管获得最合适的負載电阻值,一方面是要从归算的負載电阻中点得到輸出端.



某些两相感应电动机(例如 ДИД-0.5)具有由两个半边租成的控制繞組. 在这种情形下,最后的推挽級可以不用輸出变压器而与电动机的控制繞組相連(图3). 应当指出,在这种綫路中,每半个控制繞組上电压振幅不可超过最后一級的供电电压,后者应当不大于集电极容許电压(Ux)masse 的一半. 所以,整个控制繞組上电压的有效值不超过值

 $U_{\rm ymp} \approx 0.7 (U_{\rm B})_{\rm mass}$.

大多数半导体三极管 的 电 压 $(U_R)_{MRRC}$ 不超过 50 伏, 这就将 \cdot 172 \cdot

电动机控制绕组上的最大电压值限制在 35 伏左右.

大多数两相电动机設計在較大的控制电压,这就要求或是采用升高的輸出变压器,或是改統控制繞組。鉴于交流半导体放大器的日益推广,对于每一类型的两相感应电动机都生产具有分成两半的控制繞組并要求电压不超过 35 伏的一部分是适时的。

在許多情形下,不妨考虑負載沒有中点引綫的推挽級綫路. 这种綫路画出在图 4 中,可以看出,要使級工作必須从电源的中心 引緩,这只有在个別情形可以实現,例如用蓄电池供电的情形.用 两个整流器也可以实現这种供电.

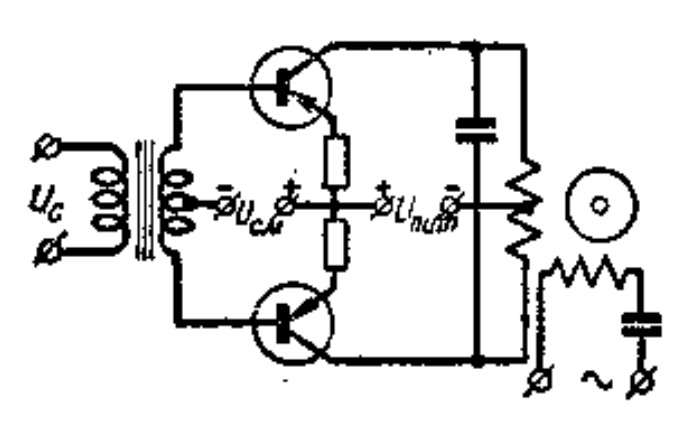


图 3 不用輸出变压器的 两相电动机迎接綫路

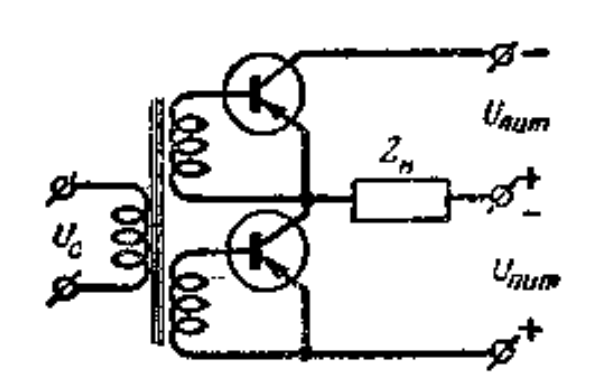


图 4 貢載沒有中点引級的推挽級

在图 4 所示綫路中, 也和通常的推挽綫路一样, 負載中沒有直流磁化电流。負載可以直接接入, 或者經过輸出变压器接入。可以指出, 在这个綫路中也和在其他綫路中一样, 集电结上的最大反

电压将达到半边供电源的电压值 的两倍,

当向工作在B类状态的交流 放大器中最后的功率級供 电时, 大电流下的滤波和通过供电源的 級問耦合的減小是有 相当 困难 的。在 50 赫的頻率下这种困难 特别明显,在 400 赫的頻率下則 減少一些,但仍然是困难的。因 此,可以考虑用单独的沒有平滑

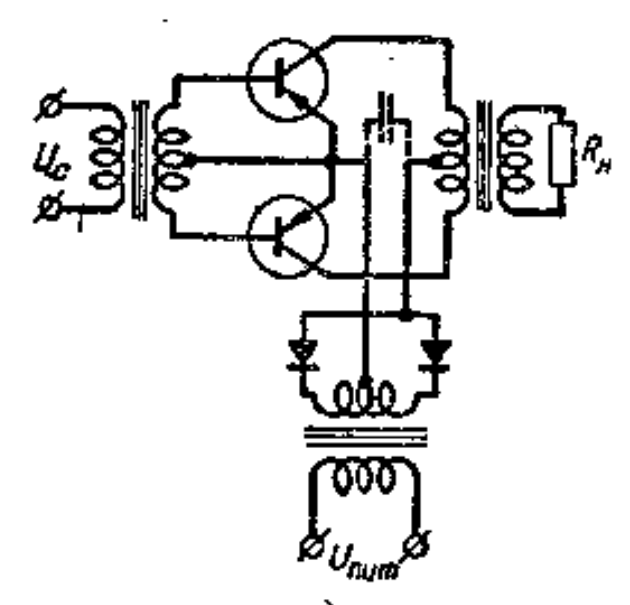


图 5 用沒有滤波器的全波整 流器供电的推挽数

滤波器的整流器向最后一級供电,

图 5 所示綫路就是用沒有滤波器的全波整流器供电的最后推 挽級. 在图 6 中引出了与图 4 所示相似的放大器綫路,其中利用 电源变压器的两个同样繞組完成了两个整流器的供电. 在用沒有 滤波器的整流器的供电綫路中,也和用直流电压供电的情形一样, 电动机的控制繞組旣可以經輸出变压器而接入,也可以考虑到以 前所述关系而直接接入.

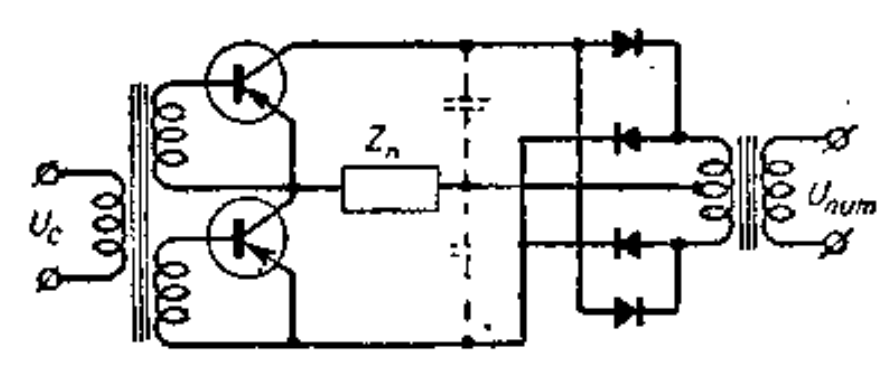


图 6 貢載沒有中点引続的推挽級,用沒有滤波器的两个整流器供电

应当指出,当用未經平滑滤波的整流电压向集电极电路供电时,級輸入端电压相位的变化要引起負載电流的大小和形状的变化.为了減小級对于相位移的灵敏度,可以建議接入平滑电容器,如图 5,6 中虛綫所示.

对于交流放大器最后一級的計算,可以引用文献 [文献 1, 2, 5]中所发表的各种方法。当利用前面所述测量三极管参数的簡化方法时,工作在 B 类状态的推挽級参数可以用下述方法近似地决定。

輸出变压器的变压系数按下列公式来选定:

$$n_2 = \frac{w_2}{w_1} \approx \frac{U_{\text{HT}}}{U_{\text{HRT}} - U_{\text{B}}},\tag{1}$$

其中 w2 是副繞組的匝数;

w, 是原繞組一臂的匝数;

Unr 是負載电压的最大振幅;

 $U_{\rm mir}$ 是級的供电电压;

 $U_{\rm R}$ 是集电极与发射极間的最小电压及变压器原繞 組上的压降 ($U_{\rm R} \approx 3-5$ 伏).

集电极电流的最大振幅:

$$(I_{\rm HT})_{\rm make} \approx \frac{U_{\rm HHT}}{U_{\rm HT}} I_{\rm HT} n_l^2 = \frac{U_{\rm HHT}}{R_{\rm H}} n_l^2.$$
 (2)

級的三极管中所耗散的最大功率:

$$(P_{\text{pac}})_{\text{make}} \approx 0.21 \frac{U_{\text{mir}}^2}{U_{\text{mir}}} I_{\text{mir}} n_2^2 = 0.21 U_{\text{marr}} (I_{\text{kT}})_{\text{make}},$$
 (3)

共发射极級的輸入电阻 Rax, 直接照測量結果 决定。如果在发射极电路中接入反饋电阻 R。,級的輸入电阻将增大到数值

$$R_{\text{BX}} = R_{\text{BX},0} + (1+\beta)R'_{\text{a.}}$$

为了得到給定的集电极电流振幅所必需的信号电压振幅等于

$$U_{\rm cr} = \frac{I_{\rm RT}}{\beta} R_{\rm BX,9},$$

$$U_{\rm cr} = \frac{I_{\rm RT}}{\beta} [R_{\rm BX,9} + (1+\beta)R'_{\rm 9}]. \tag{4}$$

按照集电极电流的最大振幅和最大的耗散功率可以选定半导体三极管的型号。

輸入变压器的变压系数 n₁ 应当选得最小,因为未前級的增益与1/n₁之值成比例地增大.变压系数的最小值限制于末前級的引入負載电阻的最大值 R_{u,u}, R_{u,u} 又决定于变压器原繞組的实在电抗,并不应超过末前級半导体三极管的輸出电阻.

变压系数按下列公式决定:

$$n_1 \approx \frac{U_{\rm cr}}{U_{\rm max} - U_{\rm E}} \quad \vec{\rm gl} \quad n_1 = \sqrt{\frac{R_{\rm Bx}}{\eta R_{\rm H_s}}}. \tag{5}$$

为了减低級的特性曲綫起始区段的非淺性,在大多数情形下必須在发射結上产生不小于 0.1-0.15 伏的偏压.为此目的 采用由两个电阻组成的分压器是最方便的(图 2).分压器下面的一臂宜于用面結合型鍺二极管米作成.这保証了当温度改变时偏电压的自动改变,并因而扩大了能够保持特性曲綫起始区段为綫性的温度范围。

为了提高級的特性曲綫的温度稳定性,通常在每一三极管的发射极电路中接入电阻 R'。以实現串联負反饋。这些电阻的最小

值可由下列表达式大概地决定:

$$(R'_{3})_{\text{MWH}} \approx (1-2) \frac{R_{\text{BX},9}}{\beta}$$
.

在 $R'_{s} \approx R_{\text{ex.}}$, 时, 具有負反饋的共发射极級的功率增益将仍然和共基极級---样, 这一事实就限制了 R'_{s} , 的最大值,

在半导体放大器的最后一級中应得到尽可能大的功率增益是极为重要的,因为这样可以降低末前級所必需的輸出功率. 功率增益改变 2-3 倍在大多数情形会引起过渡变压器尺寸的重大改变,末前級极三管状态的改变或其綫路的改变.

对于小的失配角进行精确校正、是大多数跟踪系統的正常工作状态。同时,負載中所必需的功率比最大值要小好几倍。如果对于放大器的負載只要求在短时間內发揮出最大的功率,就有可能在半导体三极管的強制工作状态下获得这最大的功率。这时,由于三极管的热惰性及跟踪系統的快速动作,必须保証三极管工作的可靠性。因此,可以将放大器的输出功率的最大值(筝值)提高到3-5倍,但当实行这个方法时必须仔细考查三极管的工作状态,并预先进行实驗驗証。

为了提高放大器的輸出功率,可以采用半导体三极管的并联接法。

前置放大級的計算实际上和通常的音頻放大器中前置級的計算沒有什么不同。

4. 調 制 器

調制器用来将緩慢变化的信号电压变換成交流电压,变換后的交流电压的振幅与信号电压成正比例,而当信号电压的极性改变时其相位改变 180°。

在跟踪系統中,調制器用作变換器,将直流发送器的失配电压 变换成交流电压,以便随后用交流放大器来放大;以及在校正电路 中将得自緩慢变化电压的微分或积分的稳定电压变换成交流电 压, 和跟踪系統放大器的其他单元一样,調制器可以用半导体三极管来完成。这时,必须特别注意使获得的非真实的信号电压尽可能的小,非真实的信号电压是当沒有信号电压时調制器輸出端的交流电压;还要特別注意調制器特性曲綫的綫性問題。

用半导体三极管可能得到质量指标非常高的調制器,能在寬 广的周围温度变化范围内稳定地工作。

应当着重指出,正确地构成綫路并选择半导体三极管的工作 状态这时起着决定性的作用.

图 7 中画出了工作在放大状态下的半导体三极管調制器的綫路.

当沒有信号电压时, 华导体三极管輸入电路中只有支持电压, 支持电压同时在发射极电路中引起半个正弦脉动电流的流通。 这时,在输出变压器原繞組的两半边中同时有集电

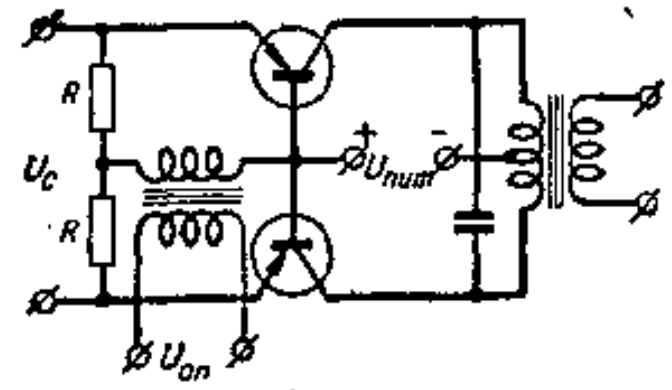


图7 工作在放大状态下的 中导体三极管调制器

极脉动电流流过,它們的磁通在对称緩路中互相抵消。 結果在輸 出变压器副繞組上的电压等于零。

当电阻 R 所形成的分压器上有直流电压时,在綫路的一个臂上有和支持电压同方向的电压作用,在另一臂上则有和支持电压反方向的电压作用。这只发生在当支持电压的瞬时极性符合于半导体三极管輸入电路导电方向的情形。 結果,一个三极管的发射极电流和集电极电流的脉动振幅增大,而另一个三极管的则减小,而在輸出变压器的副繞組上就出现了电压,其振幅接近与信号电压成正比例,而当信号电压极性改变时其相位改变 180°。

显然,在这种綫路中,与調制的同时可以得到信号的 功率 放大,但由于信号功率在分压器 R 中有很大的損耗,級的功率增益很小. 这种調制器的輸入电阻很低,且輸出端非真实信号之值决定于半导体三极管特性曲綫的不对称程度,当温度改变时不对称程度也不一样,因此,綫路不可能在寬广的周围温度变化范围内完全

稳定,将三极管接成共发射极綫路更使級的温度稳定性变坏.

将华导体三极管用在开关状态,在調制器和解調器的应用中 是相当重要的.

半导体开关由两个接成图 8 所示綫路的三极管构成。在两个半导体三极管的集电极和基极上加以矩形或正弦的控制电压。当集电极电位为正时,在其电路中有正向电流流通,而两个集电极可,以完成发射极的作用。同时,每一个发射极可以沿任何方向传导电流,或者象正方向的二极管一样工作,或者象反方向的集电极一样工作。因此, 31-32 电路 (图 8) 可以沿任何方向传导电流,也就

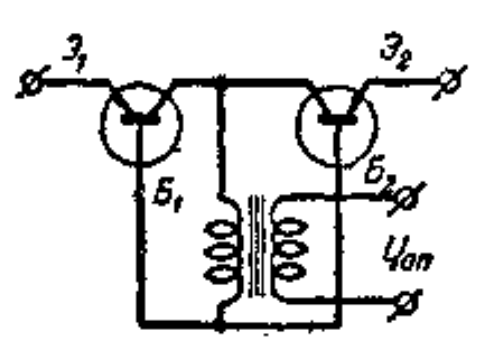


图 8 两个三极管的半导体开关

是一閉台的"开关"。

应当指出,当集电极电路中有正向电流流通时,被用作正方向的工极管的发射结电阻,要比集电极电路开路时的发射结电阻或通常的面結合型二极管的电阻低得多.所

以,閉合"开关"的伏安特性曲綫从所加电压小于一毫伏时开始就是非常直的。

当集电极电位为負时,在其电路中只有很小的反向电流流通,任何一个发射极都不能完成集电极的作用。因此,在所加电压的任何极性下,每一发射結都是封鎖的,而华导体开关的电路是开路的。

当集电极电路中有正向电流流过时,发射极和集电极引綫間将有1一5毫伏的电压。而当集电极上加有反向电压时,发射极和集电极引綫間有約为1一3微安的电流源作用。在給定綫路中两个三极管是相对接着的,因而两三极管发射极間的电压决定于每一三极管所产生的电压之差。在集电极反向电压下,两三极管在外电路产生的电流之值也同样是这种情形。所以,半导体开关向外电路给出的电压和电流,經过选择三极管之后,在周围温度宽广的变化范围内可以分别下降到1毫伏和1微安的几十分之几

图 9 中繪出了半波的半导体开关的完整和等效綫路,这个开

关可以在交流放大器的輸入端用作調制器,关于这种調制器性能的某些概念,可以給出如下的实驗数据。在所轉換的集电极和基极間的电压值約为0.2—0.5 伏时,两个未經选择的三极管 IIIA 在2000 欧負載上产生的非真实电压不超过1—3 毫伏。 两个經过选择的三极管 II6 II,在同样的負載上产生的非真实电压不超过0.1—0.2 毫伏。 調制器的特性曲綫从直流信号不到一毫伏时开始就是綫性的。

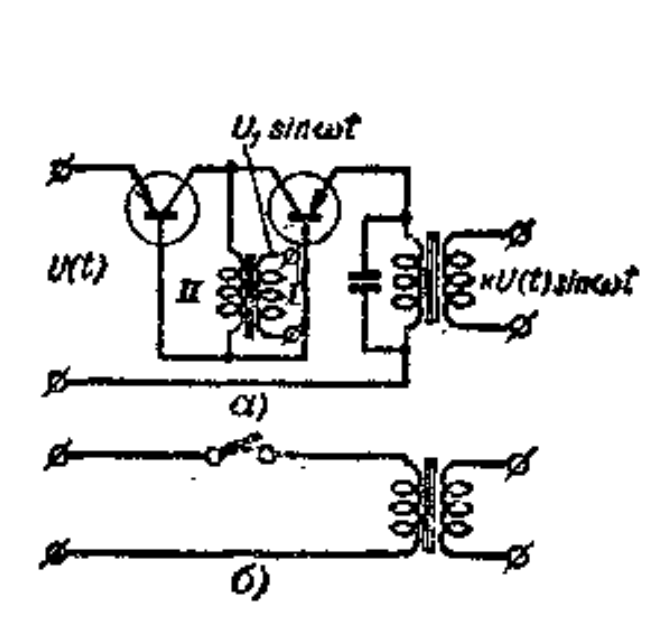


图 9 用作調制器的半波半导体开关 a——完整綫路; 6——等效綫路

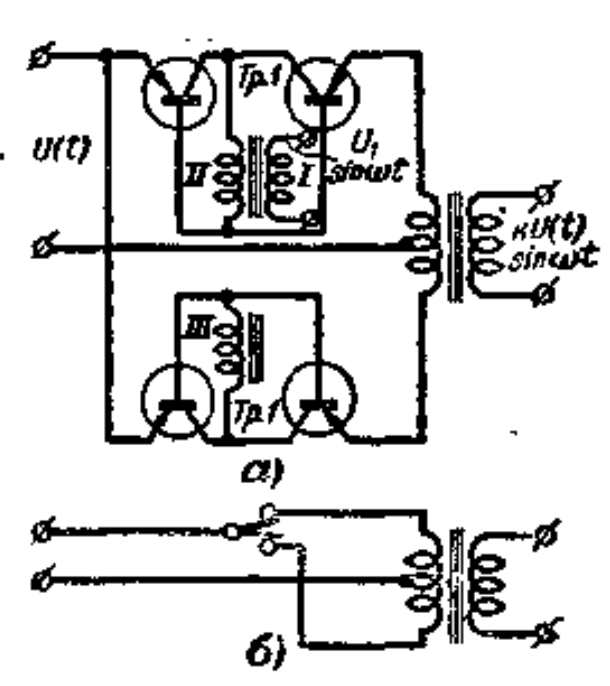


图 10 用作調制器的全波半导体开关 a——完整綫路; 6——等效綫路

图 10 繪出了全波的半导体开关的完整和等效 綫路,在全波 綫路中,和半波的相比調制器的传輸系数增大了一倍,而且輸出变 压器工作在沒有直流磁化的情形下。但是,全波綫路的这些优点 在許多情形下和其缺点相比并不十分重要,其缺点是必须采用四个三极管而不是两个。

在所研究的綫路中,应用了半导体三极管这样的接法,即控制电压接于集电极电路,而发射极电路是輸出电路. 这种接法称为翻接的,一般說来,这样接并不是必要的. 可以改变发射极和集电极接法的位置,但当半导体三极管翻接时,在"开关"端鈕因而負載上的非真实信号电平要比通常的接法低得多[文献 6]. 这就扩大了在低电平信号功率下应用半导体开关的可能性.

半导体三极管在开关状态下的应用有可能作成直流和交流信

号的混波器,在跟踪系統中为了将失配电压与得自集电极电路中的电压相混合,混波器是必要的。

图11所示是这种混波器的半波方案綫路, 交流失配电压引进 到輸入变压器的原繞組,并在下列电路中产生电流;輸入变压器的

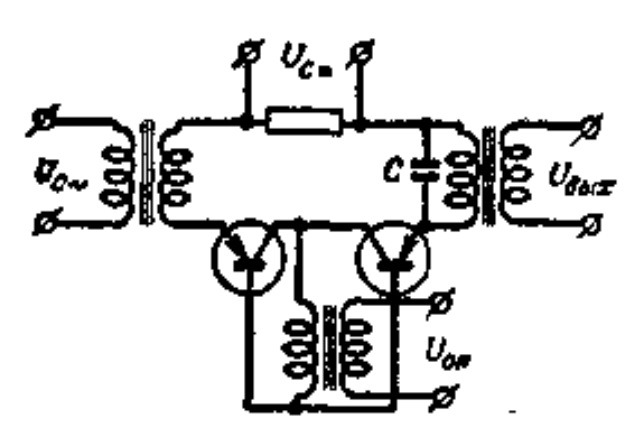


图 11 华导体三极管的华波混波器

副繞組一直流电压源一輸出变压 器的原繞組一半导体开关,根据 引进信号电压的大小和"开关"工 作状态的不同,在輸出变压器原 繞組中流通的电流或者是具有半 个正弦的形状,或者是具有相隔 半周期的矩形形状、輸出电压一

次諧波的相位与引进的交流电压相同。 因而,經过混波器的交流 电压被減弱到接近 2 倍(不考虑变压系数).

对了直流(緩慢变化的)电压,我們所研究的綫路是和图 9 所示綫路相似的华波調制器.

結果,在"开关"短路的那半个周期内,輸出变压器原繞組中将 有电流脉动通过,其振幅近似地与交流和直流电压的瞬时值之和 成正比例。因此,輸出电压一次諧波的振幅和相位决定于交流电 压的振幅和相位,以及直流电压的大小和符号。为了改进輸出电 压的波形,輸出变压器的一个繞組調整到与一次諧波的頻率相諧 振、信号电压与控制电压間的相位移应当尽可能接近于 0 或 π.

图 12 中所示綫路是全波方案的混波器,和半波綫路相比它可

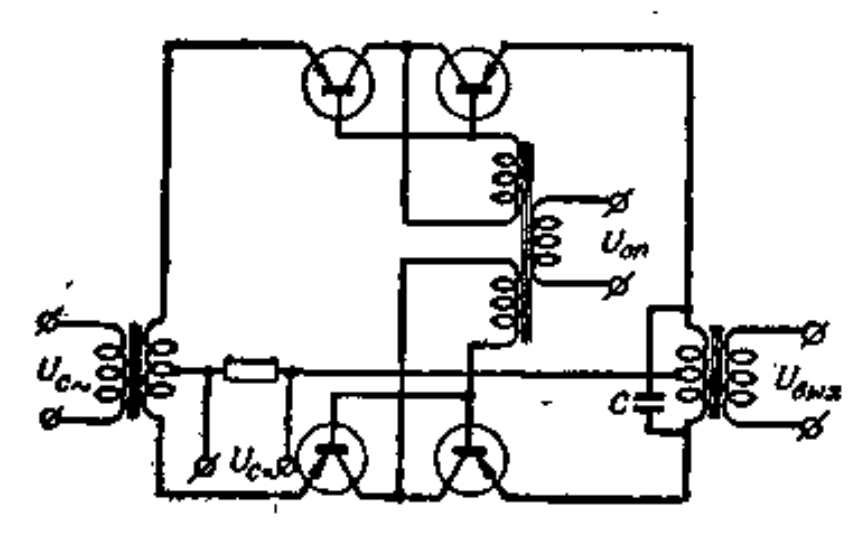


图 12 半导体三极管的全波湿波器

5. 电流平均值放大器

在許多情形下,放大器工作的結果应当是在負載中得到电流的平均整流值,其大小以一定形式与信号电压的大小和相位有效,这一类放大器称为电流平均值放大器。

不具有相位灵敏度的半导体电流平均值放大器,可以用作继电器和各种电磁机构的前置放大器。电流平均值放大器也是相敏级的基本綫路(相位鑑别器)。对于跟踪系統放大器,最重要的是用变流信号电压控制的电流平均值放大級。放大器的輸出电路既可用直流供电,也可用得自沒有平滑滤波的半波或全波整流器的脉动电压供电。电流平均值放大器的負載,可以直接或經过变压器接入半导体三极管的集电极电路中。

图 13 中繪出了,用变压器和負載耦合的电流平均值放大級的

綫路, 綫路由交流放大級、輸出变压器和整流器构成。

半导体三极管的直流工作状态对負載中电流的平均 作状态对負載中电流的平均 值沒有影响,是这种綫路的 优点。沒有信号电压时負載 中电流等于零。由于应用了 变压器,負載上的电压可以 大大超过集电結上的容許电压、 大大超过集电結上的容許电压。

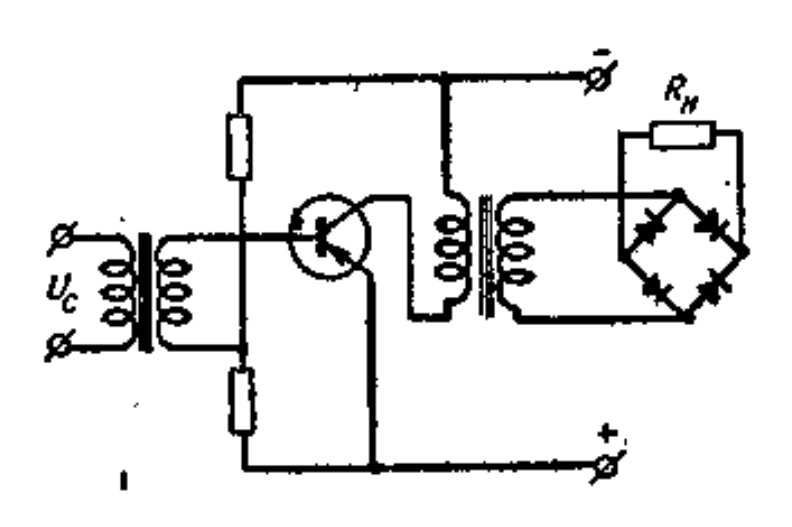


图 13 用变压器和负载耦合的电流平均值放大级

这种綫路的缺点在于必须采用輸出变压器,而輸出变压器所消耗的功率大于負載中的直流功率。在整流器中应用半导体二极管不可能在小信号电压下得到直綫性良好的級的特性曲綫。可以証明[文献 4],和相敏放大器的单元一样,在应用这种綫路的情形下,除上述缺点外还要补充一点:即和負載直接接在集电极电路中

的緩路相比,增益要降低 4--8 倍。

图 14 所示是負載直接接在集电极电路中的电流平均 值 放大級的半波綫路。

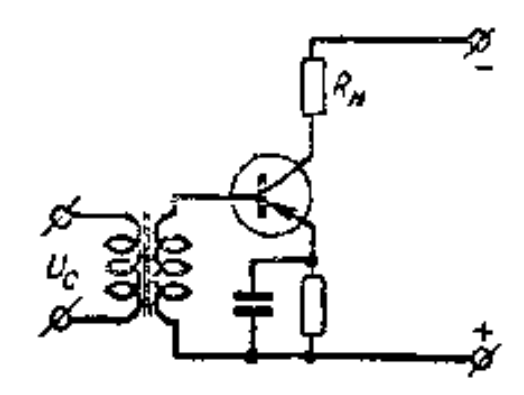


图 14 半速的电流平均值放大級

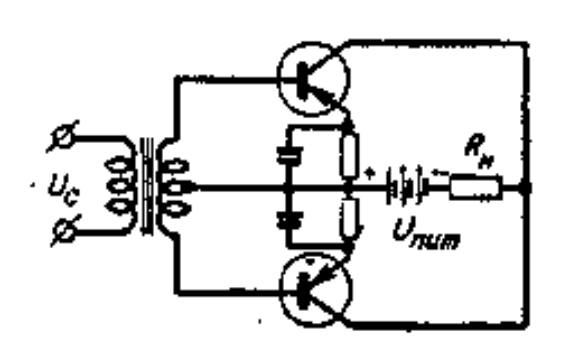


图 15 全波的电流平均值放大級

在图 15 中列出了这种方案的全波方案,在两个綫路 中 集电 极电路都是从直流电源供电。

在負載直接接在集电极电路的电流平均值放大器中,当沒有信号电压时,負載中电流的平均值不等于零, 并决定于三极管的起始集电极电流、 終路和温度的稳定系数, 这是这种綫路的缺点. 但如果应用初始集电极电流很小的三极管, 在发射极电路中接入稳定电阻, 并应用具有低欧姆副绕组的輸入变压器, 在大多数情形下仍可以把集电极电流的温度漂移降低到切实可行的数值. 同时, 負載直接接入的級不需輸出变压器和附加的整流器.

在原用消耗很大电流的功率放大級的情形下,平滑滤波器的尺寸要增大很多,因而,最好用交流电压或不平滑的直流电压向放大器的集电极电路供电。

用交流电压向集电极电路供电虽然也是允許的,但在大多数情形下不值得推广,因为由于集电结的双向导电性,当有信号电压时集电极电路中,因而負載中将有交流非正弦电流流过。这种级可以用作电流平均值放大器,但由于半导体三极管的可逆性能所引起綫路中的派生过程,其质量指标較低[文献 3,5].

当用沒有平滑滤波的半波整流器向半导体三极管集电极电路 供电时,必須訊真注意在綫路中会出現信号电压和供电电压瞬时 极性的这种配合的可能性:即三极管的輸入电路传导电流而輸出 (集电极)电路封鎖。同时,特别是在共发射极綫路中,三极管的輸入电阻与集电极电路工作状态有极密切的关系。如果集电极电路 传导电流,共发射极綫路的三极管輸入电阻仍然是足够高的,如果 集电极电路封鎖,就要減低几倍。

在最簡单的綫路(图16)中,这实际上并不影响到級的增益值, 但由于用脉动电压供电級将具有对相位灵敏的特性。

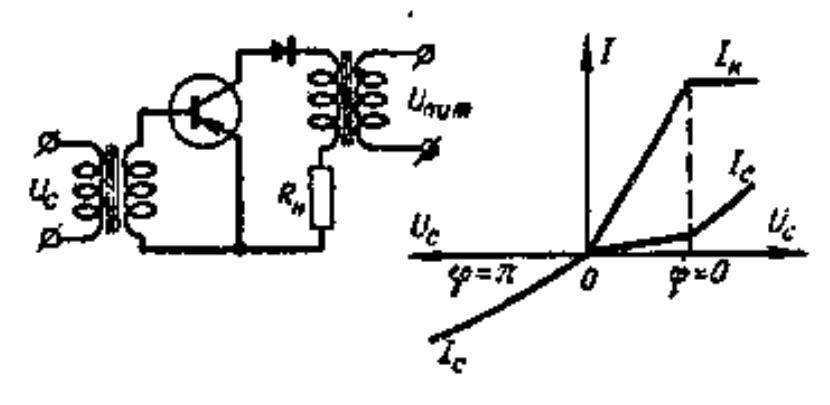


图 16 用沒有滤波器的半波整流器供电的、电流 于均值放入級的綫路和特性曲綫

当信号电压与供电电压同相时 ($\varphi = 0$), 級可以給出相当大的功率增益,同时从信号源消耗的电流不大(图16)。当信号电压与供电电压反相时($\varphi = \pi$), 負載中的电流接近于零,而从信号源消耗的电流即增大到几倍。

在許多情形下,具有这种性能的級是有一定的重要性的;但如果綫路中有两个三极管工作,就出現了这种情况:当一个三极管向負載传导电流并从信号源消耗很小的电流时,另一三极管(同时或經过半个周期)則不向負載传导电流并从信号源消耗很大的电流. 結果,級的功率增益急剧降低[文献 3,5].

当月沒有平滑滤波的全波整流器向半导体三极管集电极电路 供电,并将信号电压与供电电压适当定位时,在綫路中就不会出现 三极管輸入电路传导电流而集电极电路封鎖的这种情况,所以, 在这种情形下的半导体三极管級,就輸入电阻和功率增益值而言 不会次于用直流供电的級

在图 17 和 18 中分别示出了,用沒有滤波器的全波整流器供电的电流平均值放大級的半波和全波綫路.

我們来研究在感性負載下的电流平均值放大級的某些工作特

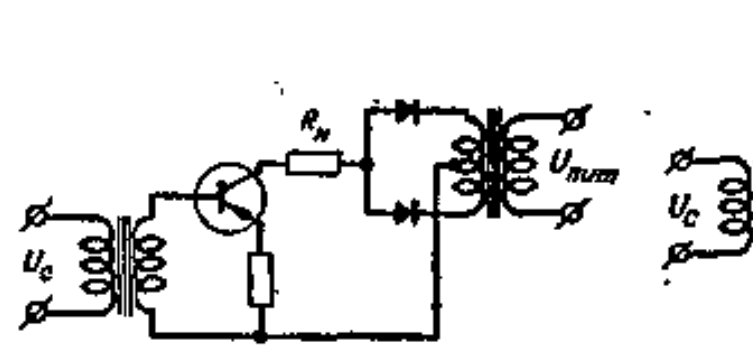


图 17 用沒有滤波器的全波整流器供 电的半波电流平均值放入級

图 18 用沒有滤波器的全波整流器供电的全波电流平均值放大級

当用复合負載代替电阻負載时,繞組中电流平均值仍然在实际上和电阻負載中的一样。但在三极管輸入和輸出电路中的过程改变了。我們以三极管接成其发射极綫路的全波級(图 18)为例来說明这些改变。因为复合負載上的电压对时間說来实际上仍然

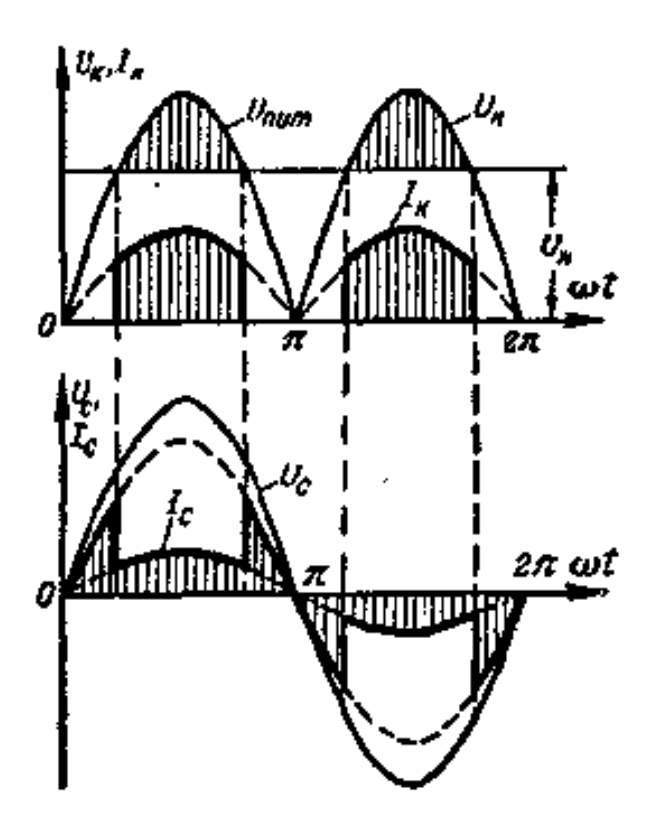


图 19 在复合頁載下,图18所示綫 路中电压和电流的波形图

不变, 級是在集电极电流截止角 小于 90°之下工作的. 在每半个 周期的开始和終了, 三极管集电 极电路是封鎖的, 其輸入电阻降 低. 从集电极电路开启的瞬間 起, 級的輸入电阻增大. 綫路中 电压和电流的波形图如图 19 所 示. 結果,級的輸入电阻与功率 增益比計算值有某些減小.

当用复合負載代替电阻負載时,級中的能量关系大大改变。 負載中所吸收的最大功率与級的 三极管所耗散的最大功率之比值 一三极管的利用系数,在具有电阻負載的綫路中当用交流电压供电时可达到4.在具有复合負載的华波綫路中利用系数不超过0.67,而在全波綫路中則为2.5 (綫路是在一定的信号电压变化范围內进行比較).在具有电阻負載的綫路中,当信号电压增大到超出某一定值时,不再引起負載中电流平均值的进一步增长(图16).在具有复合負載的綫路中,級过渡到飽和状态的瞬間不太明显.

电流平均值的級的主要計算关系給出在交献5中.

6. 相敏放大器

相敏放大器是电流平均值放大器的最重要和最普遍的形式。相敏放大器名称的来由是:把交流电压放大衬变换为直流电流,电流的方向决定于信号电压的相位,而电流的强度则与信号振幅成正比例。

在具有交流发送器和直流执行机构的跟踪系統中这种放大器 是必要的, 相敏放大器的負載可以是差劲継电器的繞組、磁放大 器的控制繞組、电机放大器的控制繞組、直流电动机的电枢或激磁 繞組、以及等等.

在所有情形下,負載中一有电流流过就在計算設备的某一磁系統中产生磁通.这个磁通可以用流过某一繞組的电流来产生.于是,为了改变磁通的方向,必須改变繞組中电流的方向或改接繞組的端鈕.

磁通可以由两个繞組共同来产生,两繞組中所流电流产生的 磁通方向是相反的。在这种情形下,飽和磁系統中合成磁通与两 繞組的安匝数之差成正比例。同时,可以不必改变每一控制繞組 中电流的方向,而获得合成磁通在大小和方向方面的改变。 这种 繞組的接法称为差动的,是經常应用的。

对于相敏放大器总是提出特性稳定的要求,特别是零点稳定的要求。由于必须获得高度可靠的特性稳定,以及在简单綫路和少量元件之下获得相当大的功率增益,迫使在选择相敏放大器綫路方面要特别仔細。

已經指出,相敏放大器是电流平均值放大器的一种形式。相 敏放大器的計算方法,半导体三极管的工作条件,相敏放大綫路 中的能量关系,在大多数情形下是和电流平均值放大器一样的[文 献 5]。

对于相敏放大器和交流放大器的末級,有关半导体三极管工作状态的选择的一系列問題是共同的。这些問題有下列各点:

- 1. 为了减低級的特性曲綫起始区段的非綫性程度,在大多数情形下必須在发射結上产生最初的偏压.
- 2. 为了增高級的温度稳定性,在发射极电路中引进反饋电阻.
- 3. 在最后一級应获得尽可能大的功率增益,以簡化耦合元件 " 并减輕对末前級的要求。
- 4. 由于跟踪系統的快速动作和三极管的热惰性,有可能提高 負載中的最大功率。
 - 5. 可以将半导体三极管弁联运用。

已經知道有大量不同的綫路可以用作相敏放大器 [文献 5]。 我們来研究制作跟踪系統半导体相敏放大器的某些方案。

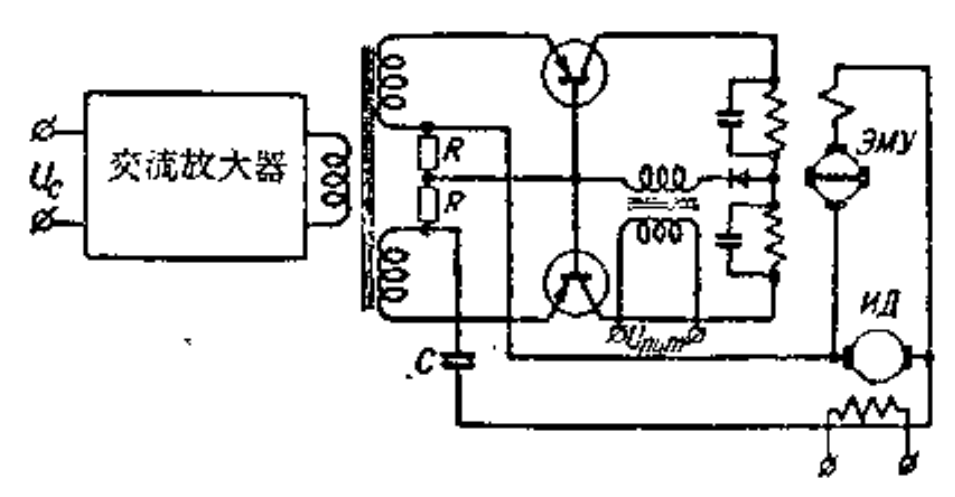


图 20 具有半波的半导体相敏级的跟踪系统放大器綫路

图 20 中示出了具有半波的半导体相敏級的跟踪系統 放天器, 的綫路, 相敏級的負載是接成差动綫路的电机放大器 (ЭМУ) 的 控制繞組。 來自 ЭМУ 的电压加到他激电动机 (ИД) 的电枢。这 同一电压被电容器 C 和电阻 R 組成的回路微分。电阻 R 上得到与 电动机电枢上电压的微商战正比例的电压,这电压以相反的极性与失配的交流电压同时加到半导体三极管的发射极上。因此,在跟踪系統中,完成了按照执行电动机上电压的一次微商的负反 饋.

在这个相敏級綫路中(也和相类似的电子管綫路一样),失配和反饋的混合信号直接加到半导体三极管的輸入电路中,在这綫路中,华边微分負載中的电流由某一三极管来传导,而另一半边中的电流由另一三极管来传导的情形是可能的。在这种情形下,負載中电流平均值的控制既决定于信号的交流电压,也决定于以相反极性加于三极管輸入电路的直流电压。

但在这种类型的綫路中会发生这种情形:在不向負載传导电流的那个三极管輸入电路中要从信号源消耗电流。这就降低了級的增益,特別是三极管接成共发射极綫路的情形,由于与三极管輸入电路串联接入微分回路的电阻,級的增益还要降低。应当指出,在这个情形下反饋电路中的功率增益也是很小的。

为了获得信号的稳定,不采用微分回路而采用直流测速机,可以得到某些較好的結果.

已經知道某些半导体相敏級的綫路,其性能与图 20 所示的綫路相似。其中某些綫路和較簡单的綫路的区别在于引进了反饋信号,因而使級的其他特性受到損害。所有这些类似的綫路都有着重大的缺点,即功率增益之值很小,且負載中电流的零点漂移与半导体三极管的起始集电极电流有关。但在某些情形下,如果对相敏級的要求不高,这种綫路还是可以应用的。

在图 21 所示的跟踪系統的华导体放大器綫路中,无論是相敏 級的綫路,或者是失配信号与反饋信号混合的方法,都与前面所研 究的不同.

相敏級接成全波綫路,这样就有可能在复合負載中得到比前面所研究的半波綫路(半导体三极管的容許耗散功率相同)大7--8倍的功率.級的綫路的这种接法使得,在某一半周內不向負載传导电流的那个三极管也不从信号源消耗电流.这就可以使相敏級

中所得到的功率增益,几乎和用直流电压向集电极电路供电的情形相同。

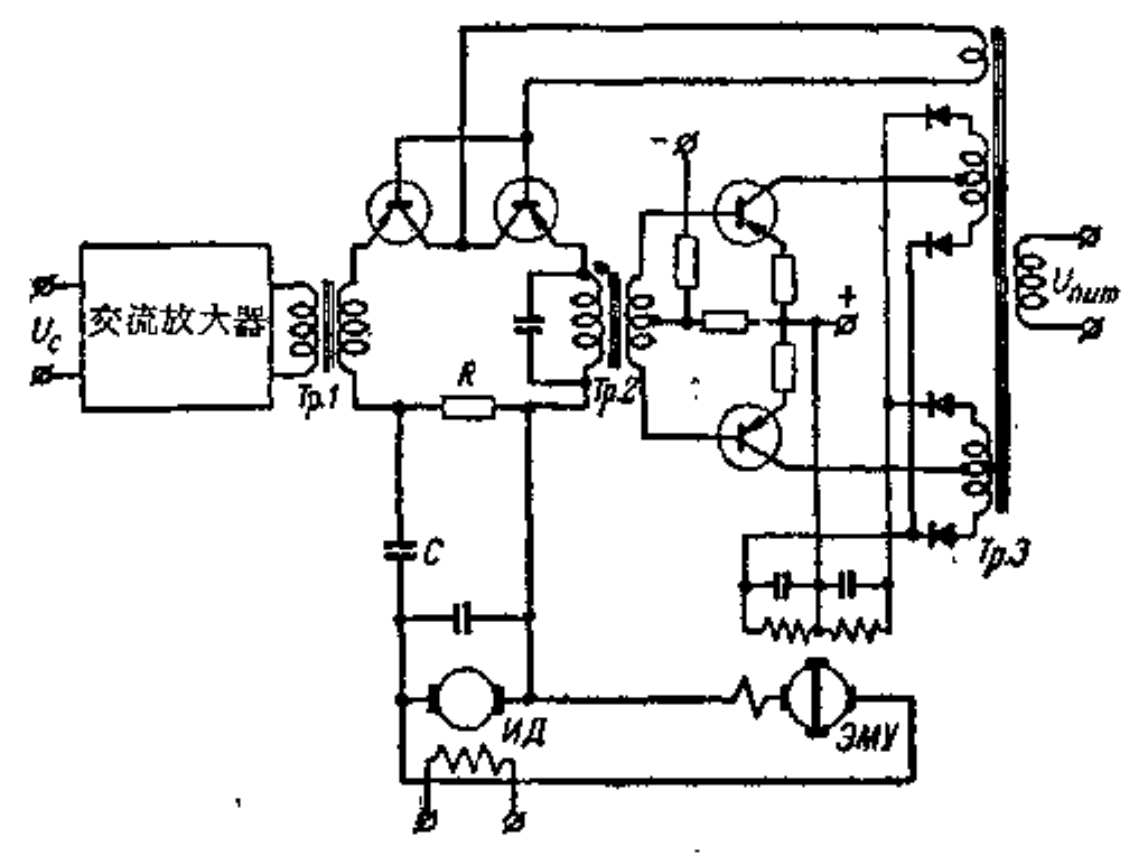


图 21 具有全波相敏級和半导体混波器的跟踪系統放大器機路

得自反饋电路的稳定电压不可直接加到三极管的輸入电路,因为在两半个微分負載中的电流之差在这个綫路中是与直流控制电压无关的。所以,反饋电压应当預先加以調制非与失配电压相。混合。为此目的,在相敏級之前接入了图 11 所示綫路的半波半导体混波器。

所研究的相敏級綫路对于磁放大器或飽和电抗器的控制也是 完全适合的。

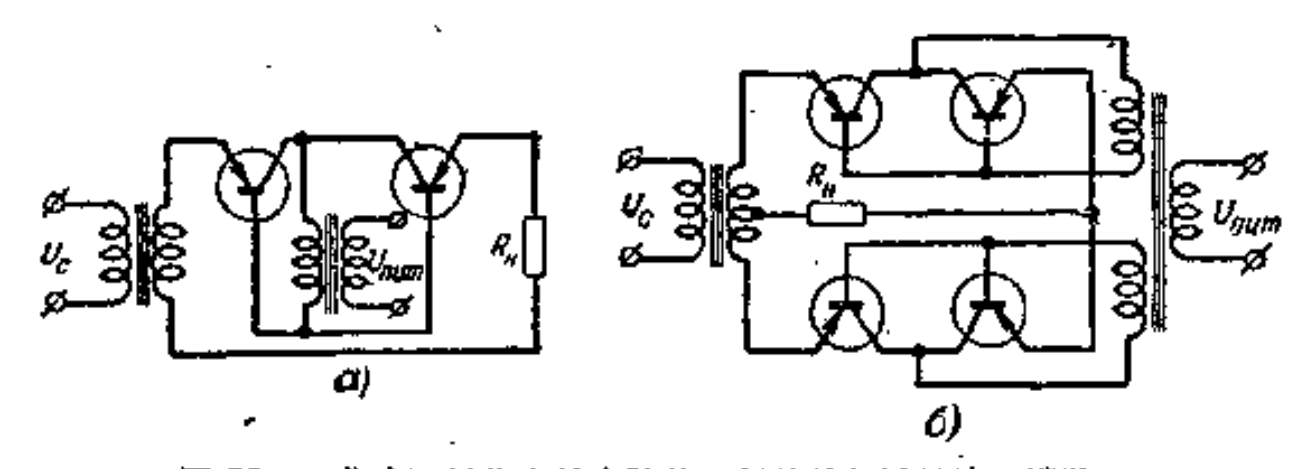


图 22 工作在开关状态的半导体三极管的相敏整流器綫路 a) 半波綫路; 6) 全波綫路

在具有非微分負載的小功率相敏級中,可以极有效地应用工作在开关状态的半导体三极管. 图 22 所示就是相敏整流器 的 半波和全波綫路。 这种綫路不是放大綫路,但具有某些极有价值的性能,由于这些性能使得在許多情形下它們成为不可缺少的.

这种綫路的优点在于: 当沒有信号电压时負載中的电流极小(不大于几微安),相敏整流器的特性曲綫是綫性的(从信号电压不到一个毫伏开始). 具有工作在开关状态的半导体三极管的綫路的这些性能,使得不仅可以把它們用作輸出級,而且也可把它們用作例如是跟踪系統中的校正电路.

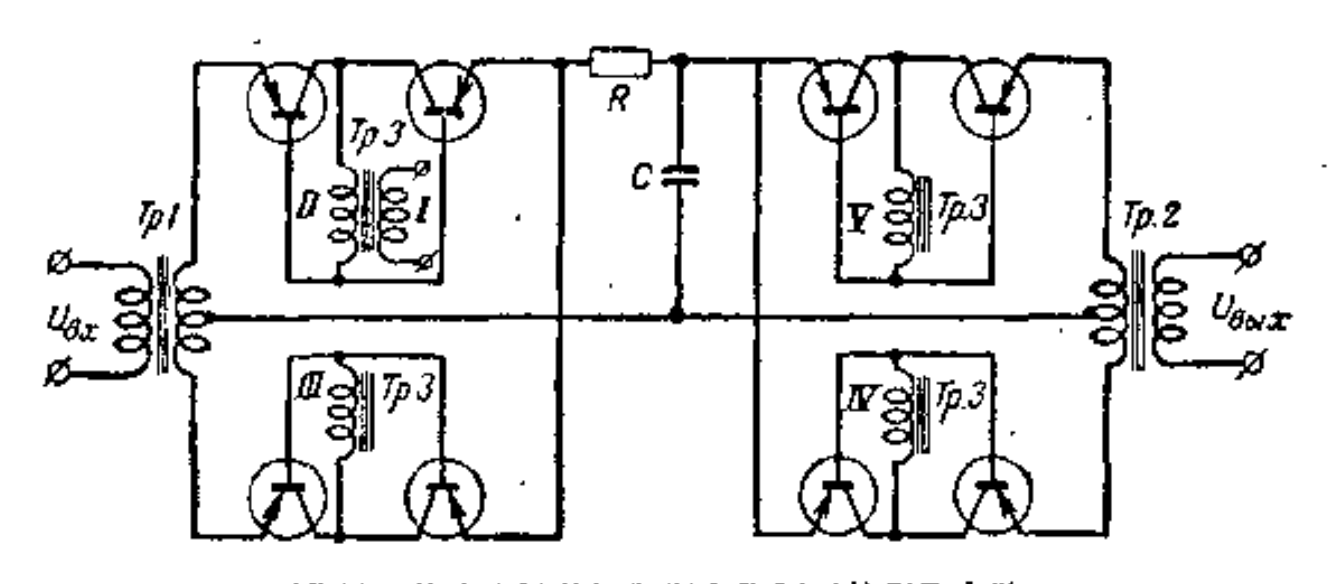


图 23 具有半导体解调器和调制器的积分电路

作为例子,在图 23 中示出了由全波解調器、积分回路 RC 和全波調制器构成的綫路,将这个綫路应用到包含交流放大器的反饋电路中,我們就得到可以完成交流信号微分的近似运算,且极为稳定的放大器。这种放大器的特性随頻率而改变的程度,远比应用双丁型滤波器的情形为小。显然,在这个綫路中必要时可采用微分或复合回路。

最后,我們来研究半导体三极管短形脉冲发生器在跟踪系統中某些可能的应用。作为将直流电压变为交流电压或大小不同的直流电压的静止变换器,这种发生器是很重要的。这种綫路具有独有的特点:所发生的矩形振盪的頻率与供电电压成正比例[文献7]。所以,可以把变换器的供电电压看作是控制(信号)电压。最简单的变换器綫路示于图 24 中。

这种变换器可以用作异步或同步电动机頻率控制系統中的发 送振盪器。

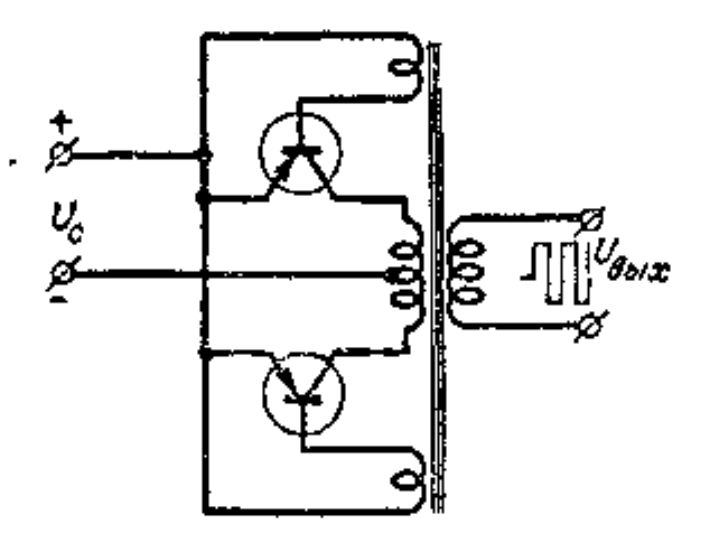


图 24 将南流电压变 为矩形脉冲的半导体变换器,矩形脉冲的频率与直流电压的大小成正比例

应用了将直流电压变为矩 形电压的变换器,就有可能实 現电动机或电磁离合器的无触 点脉冲控制系統,为此,将变 换器所发生的頻率为 f = kU。 的振盪加以放大、限幅并微分。 所得到的脉冲加到触发环节 上,以产生持續时間恆定的脉冲。 这些脉冲經功率放大后再 加到执行机构。当信号电压改

变时,持續时間恆定的脉冲的重复頻率也要改变,而这正是这个系统中所必要的。

参考文献

- (1) «Полупроводниковые триоды и их применение», под общей редакцией Р. Шя, ГЭИ, 1957.
- [2] Сутягин В. Я., Усилители мощности на кристаллических триодах с термокомпенсацией, Сборник «Полупроводниковые приборы и их применение», под ред. Я. А. Федотова (вып. 1), изд. «Советское радио», 1956.
- [3] Конев Ю. И., Применение кристаллических триодов в фазочувствительных слемах (см. [Л. 2]).
- [4] Кочев Ю. И., Полупроводниковые фазопувствительные усилители, Сборник «Полупроводниковые приборы и их применение», под ред. Я. А. Фелотова (вып. 2), изд. «Созетское радио», 1957.
- [5] Конев Ю. И., Кристалдические триоды в устройствах автоматического управления, изд. «Советское радио», 1957.
- [6] Брайт Р., Крупер А., Прерыватели на полупроводинковых триодах для стабильных усилителей постоянного тока, «Вопросы радиолокационной техники», Сборник переводов, ИИЛ, 1956, 1 (31).
- [7] Royer G. H., A switching transistor DC to AC converter having an output frequency proportional to the DC input voltage, Communication and Electronics, 1955, 19, 7.

高頻半导体放大器*

А. А. 庫利科夫斯基 (Куликовский)

1. 半导体三极管在高頻时的等效綫路

为了研究高频华导体放大器的特点以及为了建立 其計算方法,必须具有华导体三极管在高頻时的等效綫路,这种綫路可以用不同方法得到。

第一种方法是,采用各种四端网络的等效綫路作为等效綫路, 其参数則用实驗測得。在一般情形下,这些参数是复数量且与頻 率有关。所得到的等效綫路参数随頻率而变的实验关系,可以用 多少要簡单一些的解析表达式来表示**。

对于工作在比較低的頻带內的設备的研究,宜于采用这种形式的綫路,因为在这种情形下对于整个工作頻率,等效綫路的参数可以认为是不变的,而且就用在通頻带的中間頻率下的数值来表示。但当研究寬頻带設备时,如果三极管等效綫路的参数表为实驗曲綫或解析近似表达式的形式,就难于考虑其頻率的依从关系。

为了排除这个困难,可以在四端网络等效綫路中分别用含有常数 R、C、L 的附加电路来代替与頻率有关的元件,这些电路的頻率特性,应当尽可能接近于等效綫路中那些元件(就是这些电路所要代替的元件)用实驗求得的頻率依从关系。但是,这些电路元件的物理本质及它們与三极管工作条件的依从关系,則仍然是模

^{*} 引自作者原书 «Личейные каскалы радиоприемняков», ГЭИ, 1958 年。

邢 用这种方法得到的等效綫路和通常的超高頻电子管等效綫路相比有許多共同之处,超高頻电子管的参数也是与頻率有关的。例如,栅极与阴极間的电导与频率的平方成正比例,而比例系数用实驗測得,并指出在电子管的手册数据中。

糊的.

构成等效綫路的另一方法是詳細的研究半导体三极管中的物理过程, 对将每一过程都用电的等效模型来表示。同时, 在合成的等效綫路中元件的数目决定于所詳細研究的过程的数量。这个方法并不可能完全不需要测量, 因为等效綫路中的某些元件不可能精确地計算。但是, 所要求测量的数目是不大的, 而且可以在某一频率下一次完成。

目前,提出了一系列这种类型的綫路;在如何詳細考虑三极管中的物理現象以及如何用各种电的等效来反映这些現象方面,它們多多少少有一些不同[文献 1—8].

以下的叙述仅限于面結合型三极管的研究。在高频放大器中采用点接触型三极管是困难的,因为在其中有强的反馈(使各级谐振回路的調諧彼此牵連,谐振曲綫发生歪斜,并可能引起自激)和高的噪声电平。面結合型三极管的主要缺点——工作頻带有限,在生产了新类型的三极管之后已有效地克服了。这就可以认为,在最近,在高频放大器中将主要采用面結合型三极管。

我們首先研究由泽維利(Zawelis)提出并加以論証的綫路[文献 1,2,3],然后闡明在其基础上获得各种簡化方案的可能性。也可以采用其他作者所提出的綫路[文献 2,8]作为出发,但它們在原則上和泽維利的綫路沒有区別。

面結合型三极管的作用基于载流者通过位垒的过程,以及在 基区中的扩散运动。

基区中的扩散过程遵守如下规律: 載流者浓度在某一点改变. 的速度与这点的浓度梯度成正比例,而且比例系数是扩散常数 D. 扩散方程式具有如下形式:

$$\frac{\partial p}{\partial t} = D \frac{\partial^2 p}{\partial x^2},\tag{1}$$

其中 2 是多余载流者的浓度;

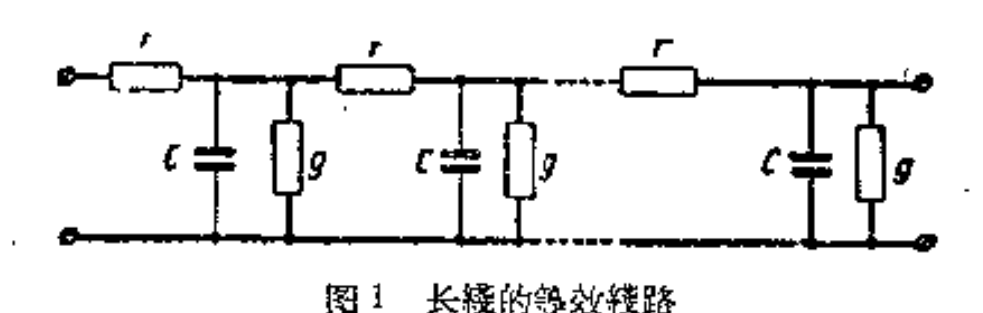
t 是时間;

* 是在发射极与集电极連綫上的距离。

要获得较高的精确度,必须考虑多余载流者由于体复合的消失,这使得在方程式右边出现一項 $-\frac{p}{r}$, 其中 τ 是载流者的平均寿命。结果,完整的方程式具有如下形式:

$$\frac{\partial p}{\partial t} = D \frac{\partial^2 p}{\partial x^2} - \frac{p}{\tau}. \tag{2}$$

$$\frac{\partial q}{\partial t} = \frac{1}{rC} \frac{\partial^2 q}{\partial x^2} - \frac{g}{C} q. \tag{3}$$



显然,时間常数的倒数 1/rC 所起的作用与扩散常数 D 的作用相似,而另一时間常数 C/g 则与寿命 τ 相似。如果在三极管的整个基区内扩散常数和复合速度是常数,则相应的长綫就是均匀的。

发射极和集电极的位垒使通过它們的載流者的位能改变,但不影响这些載流者的数量(如果忽略当載流者通过位垒时的复合). 所以、位垒的模型是一假想的放大器,其电流增益等于1,而电压增益具有数值 K > 1, K 之值决定于位垒上电位的降落。这个放大器也是一阻抗变换器,将阻抗之值改变到 K 倍、

利用这些概念,发射极位垒、长W的基极扩散区及集电极位垒 就可用图 2,8 所示电的模型来表示。

記綫的特征阻抗为 Z_0 , 并将綫移到放大器 K_0 的左边,这相当于把特征阻抗变换成数值 K_0Z_0 . 然后把放大器 K_0 和 K_K 合成一个,用具有电压增益 $K=K_0K_K$ 的放大器来代替。这就引出图 Z_0 6 的綫路、埃雷(Early)所叙述的基区扩散长度的調制[文献 5],

对三极管工作有显著的影响。这个现象的本质在于: 截流者的扩散运动只发生在基区内没有电場存在的那部分区域中。靠近基区的边界,即靠近发射结和集电结处有电位梯度, 也就是有电場強度, 这就引起截流者对于位垒的加速运动。具有电場强度的区域称为过渡区,且是和位垒有关系的。

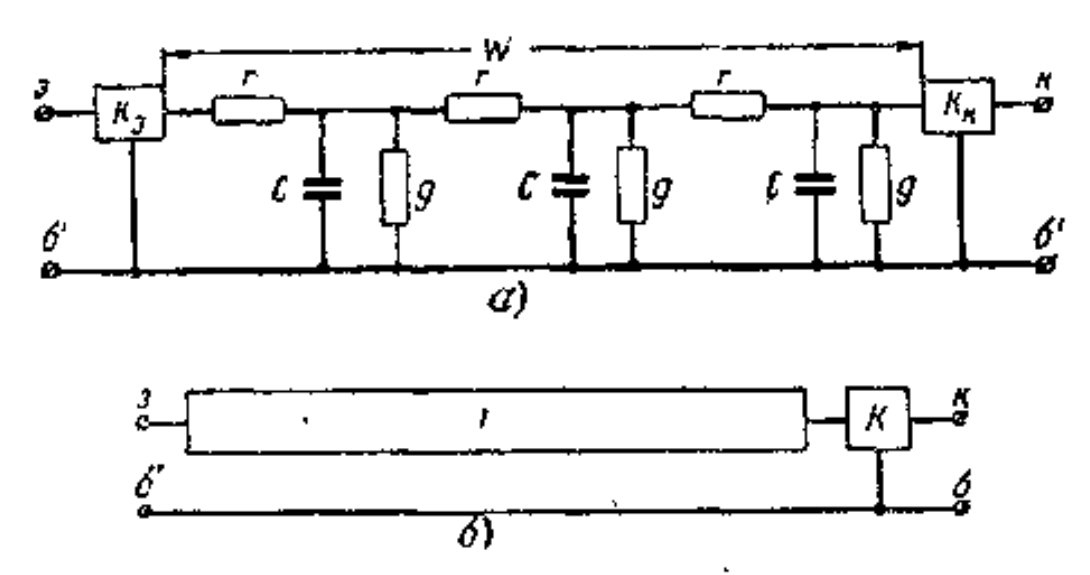


图 2 集电极位垒的电的模型(a)及其等效綫路(5) 1——具有特征阻抗 $Z'_0=Z_0K_0$ 并由r, C, g 环节組成的长綫

每一过渡区的长度决定于表达式:

$$d = A\sqrt{U\left(\frac{b}{\sigma_n} + \frac{1}{\sigma_p}\right)} , \qquad (4)$$

其中 U 是結上的电压;

 σ_n 和 σ_p 是被結分开的、具有 n型和 p型导电性的两相邻区域中的电导率;

.A 和 b 是常数。

这个表达式指出,結中的电場要穿透到相邻的 n 区和 p 区中去,且其中的电导率愈小,穿透得就愈深。这可以这样来解释: 每根电力綫都是从结的某一边的离化施主原子开始并收尾在结的另一边的离化受者原子上。施主和受者原子的浓度愈小,即相应区域中的电导率 o 愈小,电力綫穿进这个区域就应該愈深。

在实际的三极管中,基极的电导率要比发射极和集电极的小得很多。所以,靠近发射結和集电結的电場主要是穿进到基极中,使得长度W中沒有电場的那部分,即載流者进行扩散运动的那部

分縮短了,这个电場的透入深度和基极中扩散区长度的縮短与結, 上电压U的大小有关。

集电結上的电压远大于发射結上的电压,因此,基极中扩散区 长度的縮短主要是由于集电极过渡区的改变。当集电极电压改变 时,集电极过渡区的长度也随之改变,这就引起了基极中扩散区长 度V相应的調制。

最严格地反映出这个現象,必須在三极管等效綫路中引进非 綫性元件。但是,非綫性元件的存在将使得綫路的研究大大复杂。 所以、只用三极管等效綫路中綫性无件的变化来近似考虑基极中 扩散区长度的調制,还是适合的。

我們来研究当有直流电流流过基区时,多余載流者浓度 P 沿基极扩散区的分布. 在电的模型中,这个規律决定于当上面所述的綫中有直流电流流过时,电荷密度 Q 沿綫的分布. 这个电流在串联电阻 P 上产生压降,因而电容上的电压则从綫的始端向其終端逐漸地減小. 每一电容上的电荷与其上的电压成正比例,故电荷密度 Q 也从綫始端向終端逐渐地減小.

綫始端的电压决定于发射結上的电压(但与其并不相符),而

緩終端的电压則与集电結上的电压有关。当这些电压之值固定时,多余载流者浓度沿基极中扩散区的分布 p(x) [或相应的电荷密度沿线的分布 q(x)],用图 3 中的曲线 I 表示,其中 * 是选用的坐标。扩散区的边界(或线的移端)对应于x=W,在这里载流者浓度等于 p(W) [或电荷密度等于 q(W)]。

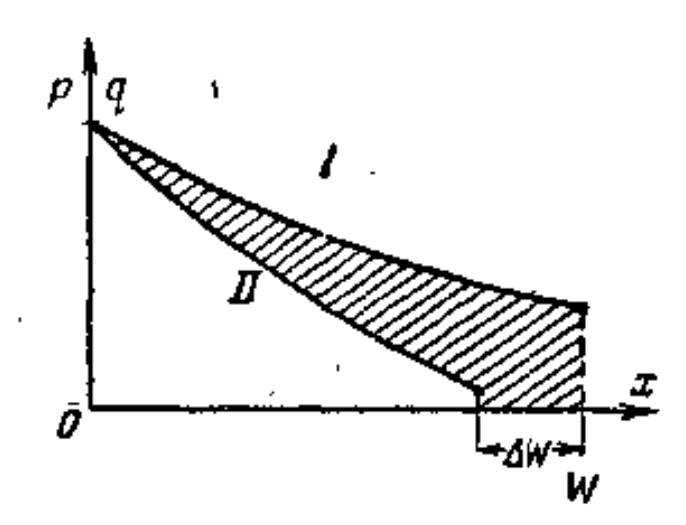


图 3 多余黻流者浓度沿基极扩散区的分布 p(x),或电荷密度沿綫的分布 q(x).

設集电結上的电压增大一个数值 ΔU 。同时,在扩散区中靠近集电极边界处散流者浓度减小了,也就是新的分布 p(x) 和 q(x) 将由曲綫 \mathbb{L} 来表示,曲綫 \mathbb{L} 的纵坐标小于曲綫 \mathbb{L} 的纵坐标,此外,

基极中扩散区的长度W(或其等效长綫的长度)也縮減了一个数值 AW.

曲綫間的羽影面积决定了由集电結上电压致变 ΔU 所引起的 綫中或基极扩散区中总电荷的改变 ΔQ 。这个电荷的改变 就表示,經过集电結将流过附加的电流 ΔI ,而且其值大于当基极扩散 区长度恆定时 (W) 的数值。因此,基极扩散区长度的調制增大了集电結上 $\Delta I/\Delta U$ 的比值,即降低了三极管的輸出阻抗(当接成共基极綫路时)。这可以在图 2.8 的綫路中減小电压增益 K_{κ} 来考虑,或在图 2.6 的綫路中減小增益 $K = K_{\kappa}K_{\kappa}$ 来考虑。

同样地可以証明,由于基极扩散区长度的調制,三极管(接成共基极)的輸入阻抗增大了。 这同样可以在图 2.8 中減小电压增益 K₀来考虑,或在图 2.6 中減小增益 K = K₀K₁来考虑。

考虑了这些现象,图 2.6 綫路中的电压增益决定于下 列表 达式:

$$K = \frac{38}{n} \frac{W}{d} U_{\rm R},\tag{5}$$

其中 W 是基极扩散区的长度;

d 是集电結的有效长度;

 $U_{\mathbf{x}}$ 是集电結上的电压;

n是与施主和受者杂质含量沿結改变的特性有关的系数。 当 杂质急剧改换(从施主到受者)时 $n = \frac{1}{2}$,而当杂质的浓度梯度不

变时
$$n=\frac{1}{3}$$
.

結的电容 当載流者經过結运動时,沿結两边形成了含有杂 质原子的未被补偿的电荷区。 这就是說,在結两勞形成了与电容 器相似的两个电荷层。因此,每个結都为电容所旁路,而且可以証 明,电容之值决定于表达式

$$C_{\pi} = AU^{-n}$$

其中U是結上的电压;

A和 n 是上面所指出的常数。

所引出的表达式指出,結的电容与結上的电压有关,即是非线性的,在弱信号情形下,电容的非线性可以不考虑,通常,集电结的电容 Cm,为 7—50 微微法,而发射結的电容 Cm,为 100—150 微微法,这是由于結上电压較低的原故,虽然发射結电容的数值相当大,但通常却可以不加考虑,因为它为这个結的小电阻所旁路,

基区中多数载流者所产生的电导 在发射极中有基区的多数载流者电流流經发射結。在等效緩路中引进一接在发射极和基区間的电导 G₀ 来考虑这个电流。为了减小这个电导,基区中的杂质浓度应当足够小。

基极的分布电阻 直接参与三极管工作的不是三极管基极层中的全部材料,而只是截流者从发射极向集电极在其中进行扩散运动的那一有效部分。基极层中其余部分不直接参与三极管的工作,而只是在基极有效区域与引綫間产生有害的电阻。这个电阻今后配为 $r_{6,6}$, 而且下标 6 对应于基极有效区,下标 6 对应于基极引线。

当集电結上电压改变时,发生基极有效区长度的調制,以及与之同时的有效区体积的調制。这时,基极层中其余部分的体积和电阻 $r_{6,6'}$ 也要改变。所以,电阻 $r_{6,6'}$ 与集电结电压有关,即是非綫性的。在等效綫路中,这点是这样考虑的:与具有某一平均值 $r_{6,6'}$ 的不变电阻串联接入一非独立的发生器,其电动势与集电结电压 $U_{\kappa,6'}$,成正比例,比例系数配为 μ' .

其他因素 为了获得更高的精确度,等效綫路中还要考虑:基极引綫与集电极間的分布电容 C_p ,其值約为 1 微微法;以及三极管基底与结构零件中的漏电导 G_y ,这是与集电结旁路的。但为了简化起見,这些元件不引进到等效綫路中,因为它們之值非常小。最后,电子和空穴在基区表面的复合引起相应的电导 G_{np} 的出現(基区中的体复合在构成其等效长綫时已經考虑)。

根据以上所述,可以作出高頻的三极管等效緩路,如图 4 所。示.在这个綫路中, Cn.s 和 Cn.u 分別是发射結电容 和 集 电 結 电容. 其他元件的記号如前所述.

所画出的这个綫路相当复杂,难于对其进行研究,就迫使进行一系列的简化。为此,从綫路中取消小的电动势 $\mu'U_{\kappa,\delta'}$ 。

其次,用更簡单的、由集中常数所組成的等效綫路,来代替包含分布常数电阻 r、电容 C 及漏电导 g 的长綫是合适的。 我們知道,这样的电路只能在有限的頻率范围內与长綫等效。 但我們就可以选取三极管放大性能显著的頻率范围作为这个范围。可以証明,在这个范围的,长綫可用图 5 所示綫路来代替。

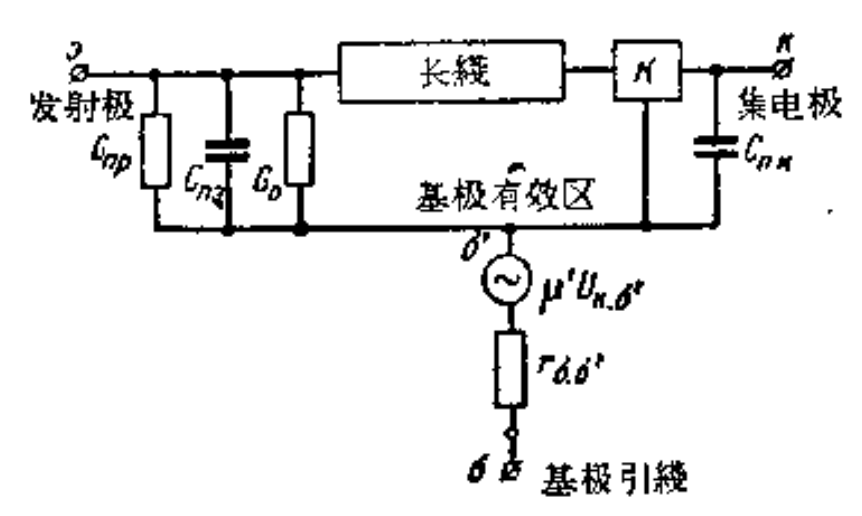
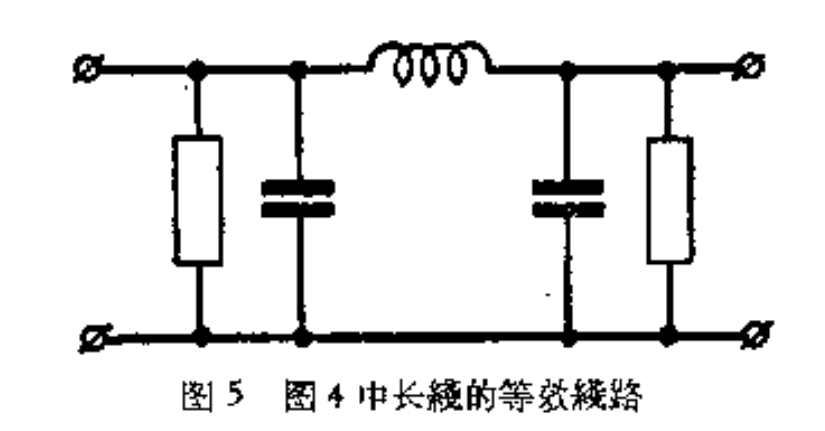


图 4 高頻的半导体三极管等效緩路



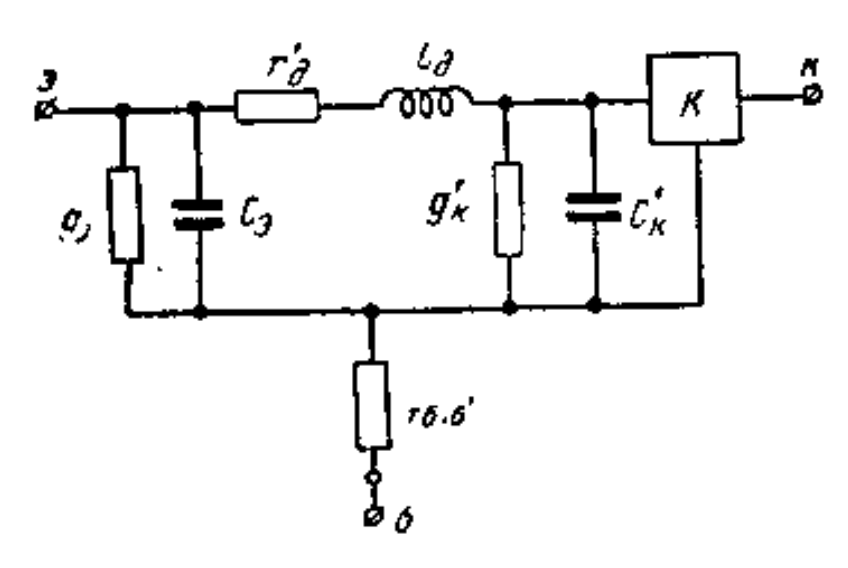


图 6 由图 4 引出的、高頻半导体三极管等效綫路

在图 4 中进行这种置换, 并将并联的电导和电容结合在一起, 就得到图 6 所示的綫路。现在来研究其中的元件。

扩散电阻 右 是用来代替长綫的这个綫路中的一个元件,而具有分布常数的长綫本来是反映基区中截流者的扩散运动的。在室温下,这个电阻决定于下列簡单的表达式:

$$r_{\rm A}' \approx \frac{26}{I_0} \boxtimes ,$$

其中 1。是发射极电流,以毫安計。这个电阻也等于

$$r_{\rm A}' = \frac{r_{\rm E}(1-\alpha)}{K},$$

其中rx是低频等效綫路中的集电极电阻。

$$g_{\bullet} = \frac{1}{r_{A}^{\prime} \alpha_{6,160}}, \qquad (6)$$

其中 $\alpha_{6,n_0} = \frac{\alpha_0}{1-\alpha_0}$ 是共发射极綫路电流放大系数(从基极到集电极)的低頻值。

发射极电容 C, 也反映扩散过程,此外,并考虑了发射結电容 Cn. 的影响,以及表面复合电流与基极的多数载流者电流流經发射极的无功分量的存在。由于这个电容和三极管的输入电路 并联,它在三极管的工作中起着极其重要的作用。通常,这个电容具有 0.01 微法的数量级,并精确地决定于下列表达式:

$$C_{\bullet} = \frac{g_{\bullet}}{\omega \kappa_{s}}, \tag{7}$$

其中 ω_{6.8} 是共发射极綫路电流放大系数 α_{6.8} (从基极到集电极)的 极限角頻率。

$$L_{\pi} \approx \frac{r_{\pi}}{3 \alpha_{6,\kappa} \omega_{6,\kappa}}.$$
 (8)

甚至在象 $\omega = \alpha_{6,n_0} \omega_{6,n} (\alpha_{6,n} = 50-90)$ 这样高的頻率下,电抗 $\omega L_{\pi} = r_{\pi}/3$ 仍只有 r_{π} 的三分之一。由此看出,除去最高的頻率,在其他所有頻率下电威都可以不考虑。

在K放大器左边归算的电容 C_{κ} 包括了反映载流者扩散运动的成分。 此外, C_{κ} 中还含有归算的集电结电容 $C_{n,\kappa}K_{\kappa}$ 电容 C_{κ} 之值可达 0.1 微法。

在K放大器左边归算的电导 g_{x} 也包括了反映載流者扩散运动的成分。此外, g_{x} 中还含有归算的漏电导 $G_{y}K$

基极分布电阻 $r_{6,6'}$ 起着重要的作用,因为它和 C_8 —起对三极管的输入端起旁路作用。 $r_{6,6'}$ 之值与三极管的结构及基极材料的选择有关,通常为 50-500 欧。

放大器的电压增益 K 决定于前面所引出的表达式,通常等于500—10000。

实际上,除去最高的頻率,电容 C_p 和电域 L_n 在所有頻率下都可以忽略不計。只有在

$$f > \frac{\alpha_{6,80} F_{6,8}}{3}$$

的頻率范围內才要考虑它們,其中 $F_{6,n} \approx \frac{g_n}{2\pi G_n}$ 是系数 $\alpha_{6,n}$ 的极限频率。

通常 $\alpha_{0,80} > 60$ —90. 因此,只有在 $f > (20 - 30)F_{6,8}$ 的頻率范围內,才必須考虑电容 C_p 和电域 L_{π} . 但这个頻率范围在实际上沒有重要意义,因为在这范围內功率增益极小.

图 6 所示綫路可以直接用来計算,其方便之处在于沒有非独立的发生器(即其电流或电动势与綫路中离开它很远的那部分中的任何电流或电压成正比的发生器),但这个綫路对于分析接成共发射极綫路的三极管是不方便的。

可以把这个綫路变成其他的形式,以便广泛地用来分析放大器。为此目的,从图 6 綫路中取出电阻 ro.o',然后用四端网络的某

一等效綫路来代替所余的部分。 最后,在这个綫路的基极引綫处 重新接入电阻 76.6.

当利用工型等效綫路时, 經过这样的变換就引出了图7的等效綫路. 这个綫路的簡化形式, 在早期研究半导体高頻設备时用得很广泛, 綫路中听引用的角頻率ω。是系数α的极限角頻率.

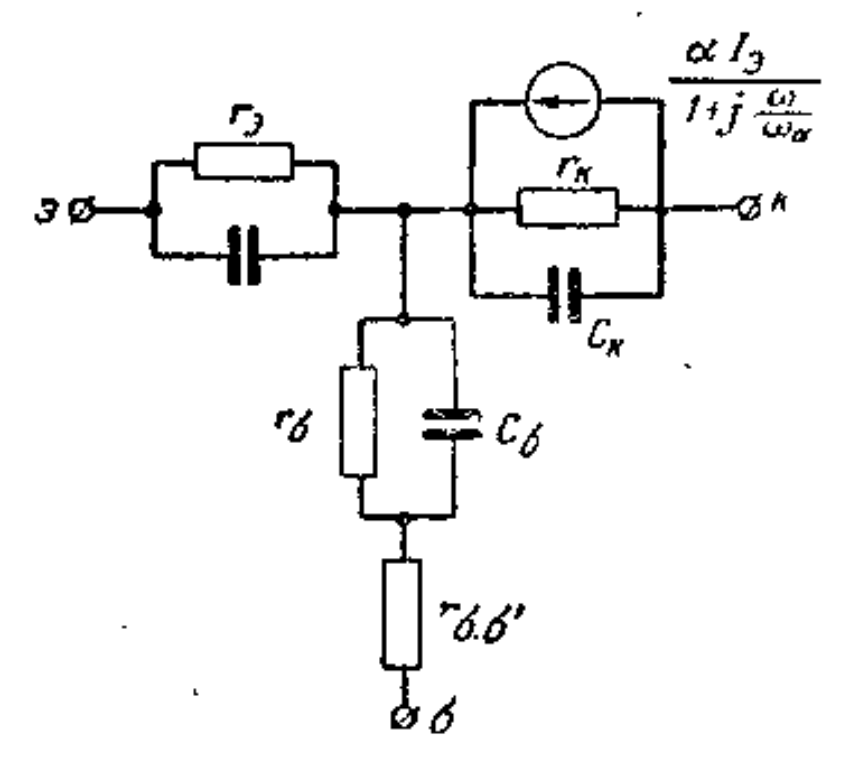


图7 T 型等效綫路

当研究三极管接成共发射极綫路的設备时,利用根据 II 型等 效綫路以同样方法得到的等效綫路是方便的。图 8 所示就是这种 綫路[欠献 3,7]。其元件决定于下列表达式:

$$C_{6',9} = C_{9}; g_{6',9} = g_{9} = \frac{1}{r_{6}'\alpha_{6,90}};$$

$$C_{6',8} = \frac{C'_{8}}{K}; g_{6',8} = \frac{g'_{8}}{K}; g_{8',9} = \frac{1}{Kr'_{4}};$$

$$S = \frac{(K-1)}{Kr'_{4}} \approx \frac{1}{r'_{4}}.$$
(9)

在这个綫路中,所有元件实际上是与頻率无关的,而发生器的电流与点 6' 和 9 間的电压成正比例。后一电压发生在电路 $r_{6.6'}$ $C_{6'.8}$ 的輸出端,其輸入端則有三极管的輸入电压作用。显然,随着頻率的升高,电路 $r_{6.6'}$ $C_{6'.8}$ 的传输系数迅速減小,电压 $U_{6'.8}$ 降低,面相应地可控发生器的电流也减小。

这种綫路的典型参数如下:

$$r_{6.6'} = 50$$
—200 欧; $C_{6',s} = 0.001$ —0.0005 徽法: $r_{6',s} = 1/g_{6',s} \approx 1$ 千欧; $C_{6',\kappa} \approx 10$ —30 徽徽法; $r_{6',\kappa} = 1/g_{6',\kappa} \approx 0.5$ —5 北欧; $r_{\kappa,s} = 1/g_{\kappa,s} \approx 0.05$ —0.1 兆欧; $C_{\kappa,s} \approx 10$ 徽徽法; $S = 30$ 毫安/伏.

可以指出,按其結构这个綫路好象电子管放大器的等效綫路。不同之处在于: 与結的电容 $C_{6',\kappa}$ 并联接有电导 $\ell_{6',\kappa}$; 有电阻 $\ell_{6,6'}$ 存在; 另外, 电流发生器不是用作用在其輸入端的电压来控制, 而是用作用在其綫路內部两点間的电压来控制。这一情况使得研究,放大級的串級連接大为困难。

可以进一步重新轉換,把綫路变为发生器是用輸入电压来控制的,但这时綫路的个別参数将与頻率有关[文献 7],例如,跨导将等于

$$S \approx -\frac{S_0}{1+j\frac{f}{f_{\text{EED}}}}, \qquad (10)$$

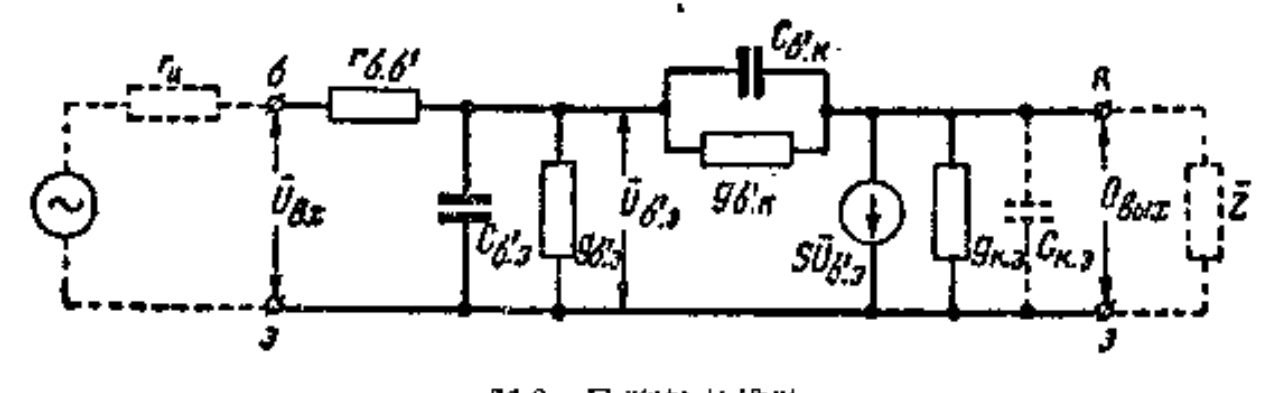


图 8 目型等效綫路

2. 离頻放大級的計算方法

半导体三极管的性能在很大程度上与工作在超高頻的电子管相似。 在两种情形下都有相当人的輸入电导,因而要消耗放大器輸入信号的功率。 这就迫使要特别注意匹配的問題, 并且放大器

的主要指标是功率增益而不是电压增益, 其次,在两种情形下都有由电极間电导所产生的強烈内部反饋, 大家知道,这种反饋会产生放大器工作不稳定的危险性,此外,会引起谐振曲綫的畸变及各級回路調谐的相互牵連, 为了减弱这些有害的影响,常常采用反饋的补偿(中和) 綫路,这对于电子管技术和半导体技术都是一样的,

放大級最精确的計算是根据四端网络理論的方法。但是由于計算关系的复杂性,使得在实际上不太适合,特别是当具有相互失調回路的多級綫路的情形。这种复杂性决定于三极管中内部反饋的存在。在当其表現得微弱或利用中和綫路时,对于放大器主要指标的計算,可以不考虑这种內部反饋,但計算之后要求对放大器进行稳定性的校驗,就象在电子管放大器的情形一样。

不考虑反饋时、放大器主要指标的計算方法和計算电子管五极管綫路时所用的一样,但要考虑电阻 $r_{\delta,\delta'}$.

我們来比較一下,在高頻范围內的共发射极、共集电极和共基 极放大器的性能,

我們从共发射极綫路开始,因为其中的反饋可以忽略。 粗略的近似可以认为,在这个綫路中电压增益和电流增益 随着 頻率的升高而同样的降低,而且其极限頻率与电流放大系数 $\alpha_{0,\kappa} = \alpha/(1-\alpha)$ (从基极到集电极)的极限頻率 $F_{0,\kappa}$ 一致。这个頻率与系数 α 的极限頻率 f_{α} 的关系为

$$F_{\delta,\kappa} = f_{\alpha}(1-\alpha), \tag{11}$$

通常 F6.8 等于几十千赫.

与阴极跟随器相似的共集电极綫路則不同,它具有电压負反 饋,如果忽略信号源的内阻抗,則反饋系数 β = -1, 記其发射 极綫路的电压增益为 Koo,对于共集电极綫路得到:

$$K_{\text{OK}} = \frac{K_{\text{OS}}}{1 - \beta K_{\text{OS}}} = \frac{K_{\text{OS}}}{1 + K_{\text{OS}}} < 1.$$
 (12)

降低了电压增益,这个反饋相应地減弱了其与頻率的依从关系,而将极限頻率接近提升到(1+ Kos)倍. 結果,共集电极綫路

的电压增益的极限頻率等于:

$$F_{6,n}(1 + K_{00}) \approx F_{6,n}(1 + \alpha_{6,n}) = f_{a}$$

同时,这个电压反饋使电流增益的模只改变 1,即几乎不影响电流增益的大小和頻率依从关系。 所以,电流增益的极限頻率在共集电极綫路中仍然接近于 F_{6,K}.

功率增益决定于电压增益和电流增益的乘积, 共集电极线路的功率增益只有共发射极綫路的 1/(1 + Koo).

共基极綫路与共发射极綫路不同之处是它具有电流 負 反 饋. 反饋系数 $\beta_i \approx -1$. 記共发射极綫路的电流增益为 K_{ios} , 对于共基极綫路得到:

$$K_{i00} = \frac{K_{i00}}{1 - \beta_i K_{i00}} = \frac{K_{i00}}{1 + K_{i00}} < 1, \tag{13}$$

減小了电流增益,这个反饋相应地減弱了其与頻率的依从关系,而将极限頻率接近提高到 $(1 + K_{i00}) \approx (1 + \alpha_{6,n})$ 倍。結果,共基极緩路的电流增益的极限頻率等于 f_a .

同时,这个电流反饋使电压增益的模改变了 1,即几乎不影响电压增益的大小和頻率依从关系。所以,电压增益的极限頻率在共基极綫路中仍然接近于 F6 s.

共基极綫路的功率增益比共发射极綫路的小,只有它的 $\frac{1}{1+K_{ioo}} \approx \frac{1}{1+\alpha_{6.K}}$.

半导体三极管的固有頻率性能最好用量 $F_{6,R} = f_a(1-\alpha)$ 来表征,但是, $F_{6,R}$ 并沒有被指出在三极管的参数之中。通常在手册中引出的頻率 f_a 、說明在具有負反饋的綫路中三极管工作的特性,由于在放太方面有适当的損失而使三极管的頻率性能有所改进。

在最高的頻率范围內,由于扩散过程引起了相当大的相位移,这些結論可能是不正确的。

3. 級間諧振电路

級間諧振电路的設計通常是在忽略了經过三极管极間导納的

內部反饋之影响下进行的,因为考虑了这些反饋会使多級綫路的計算大为复杂。 在这种忽略下,可以把接成共发射极綫路的三极管輸入端看成是和电阻 ro.o' 与分支电路 go'.o Co'.o 的串联 相等效的。 三极管的輸出端則与电流源 SUo'.o 和 gr.o、Cr.o 的并联相等效。以下我們規定,用 Gox 和 Cox 来标記合成的輸入电导和电容,而用 Gox 和 Cox 来标記合成的輸出电导和电容。

为了在三极管的輸入端获得最大的电压和电流,要求在入端供給最大的信号功率。当三极管的輸入与前一級的輸出或其他的信号源相匹配时,就可作到这一点。 这种匹配是級間电路的主要問題之一。 从这个观点看来,半导体放大器級間电路的工作条件与超高頻电子管放大器級間电路的工作条件是相似的,对于后者也应該使前一級的輸出与次一級的輸入相匹配。

但是,当設計半导体放大器的級間电路时通常还要求获得一定的通頻带,而在超高頻放大器中通常是不提出这个要求的。 这就迫使采用某些特殊綫路,以便在保持一定的合成品质因数下能够获得匹配。

为此,要同时满足两个条件:匹配,及---定的品质因数的获得: 这样,在綫路中必须同时改变两个参数。

这种綫路的方案之一示出在图 9 中,为了简化計算,我們忽略回路中的損失,因为其影响通常比三极管輸入电导的并联回路的影响要小得很多。

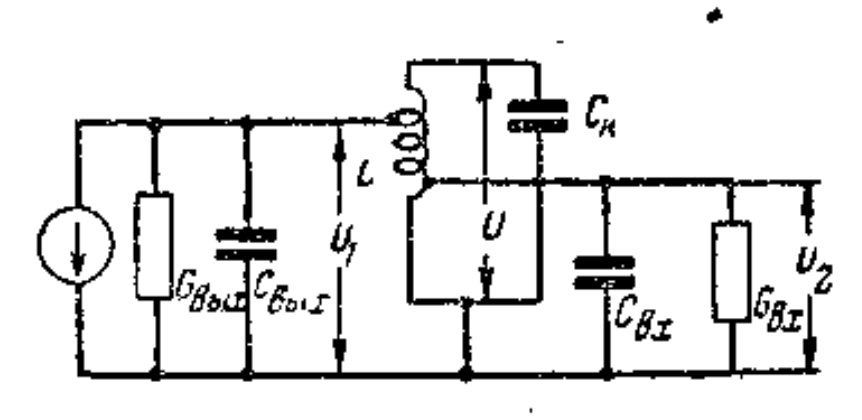


图 9 具有級問點振电路的放大器等效緩路

記变压系数为

$$\frac{U_1}{U} = m; \qquad \frac{U_2}{U} = n, \qquad (14)$$

于是,第一个三极管的輸出与三极管的輸入的匹配条件可以表为:

$$m^2 G_{\text{BMX}} = n^2 G_{\text{BX}}, \tag{15}$$

回路的全部电容等于

$$C = C_{\rm R} + m^2 C_{\rm BMX} + n^2 C_{\rm BX}, \tag{16}$$

当电容 C_K 足够大时, 电容 $C \approx C_K$ 。 回路的合成衰减等于

$$d = \frac{1}{2\pi f C} \left(m^2 G_{\text{BMX}} + n^2 G_{\text{BX}} \right). \tag{17}$$

显然, 选择m和n之值可以在 C_n 的任何值之下满足匹配条件, 并保証获得必要的衰减d.

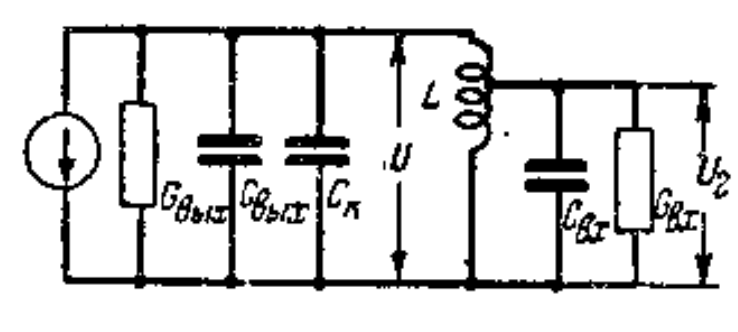


图 10 图 9 的簡化緩路

这个綫路的不方便之 处是在其中要求綫圈有两 个抽头。可以作到使綫圈 只有一个抽头,但这时必 須同时选择抽头在綫圈上 的位置(即选择变压系数)

与回路的电容。 图 10 所示綫路就是这种方案。 記变压系数 $U_2/U = n$ 于是匹配条件具有下列形式:

$$n^2 G_{\rm BK} = G_{\rm BMX}, \tag{18}$$

而获得必要的合成衰减为

$$d = \frac{1}{2\pi f C} (G_{\text{BMX}} + n^2 G_{\text{BX}}). \tag{19}$$

适当选择 n 和 C 之值可以滿足这些条件,其次,利用已知的 C abix. C ax 和 n 之值, 并根据回路中全部电容的表达式

$$C = C_{\text{E}} + C_{\text{BMX}} + n^2 C_{\text{BX}}, \tag{20}$$

就不难求出电容 Cx 之值.

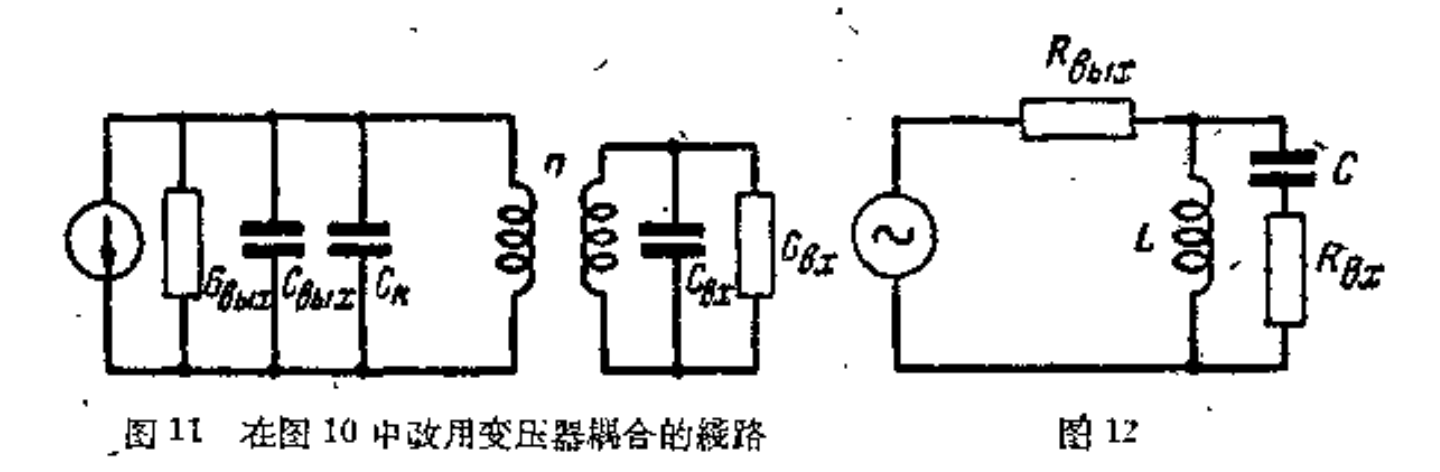
在两个綫路中,电威L根据在要求的頻率f下与C发生諧振的条件来选定:

$$L = \frac{1}{(2\pi f)^2 C}.$$
 (21)

图 11 所示綫路的作用与图 10 的綫路相似,不同之处只在于, 在这里用变压器耦合代替了自耦变压器。当利用閉合的导磁电介 質或鉄氧体的鉄芯时,綫圈間的漏磁通可以忽略。 于是变压系数 等于相应的两繞組匝数之比值。

有时采用不大习惯的綫路方案,把三极管的輸入端与回路串 联相接,

、 为了簡化計算,忽略三极管的輸入和輸出电容,将前一級的輸出表为电阻 $R_{\rm BMX}=1/G_{\rm BMX}$,而次一級的輸入表为电阻 $R_{\rm BX}=1/G_{\rm DIX}$



在图 12 的綫路中,匹配条件是电阻 $R_{\rm BSX}$ 与回路的諧振电阻 应当相等,这时,回路是由 L , C 和 $R_{\rm BX}$ 組成的。于是有

$$R_{\rm BMX} = \frac{(1/\omega C)^2}{R_{\rm BX}}.$$
 (22)

由此得出

$$\frac{1}{\omega C} = \sqrt{R_{\text{BMX}}R_{\text{BX}}}.$$

这个綫路的缺点是,不破坏匹配条件就不可能改变通頻带。 这个綫路的合成衰减等于

$$d = \omega C R_{\text{Bx}} + \frac{2}{\omega C R_{\text{BLIX}}} = 2\sqrt{\frac{R_{\text{Bx}}}{R_{\text{BLIX}}}}.$$
 (23)

不破坏匹配条件而改变通频带的可能性在較复杂的綫路中可以获得,这种綫路如图 13 所示,其中有两个可选择的参数。記变压系数 $m = U_1/U$,于是匹配条件为

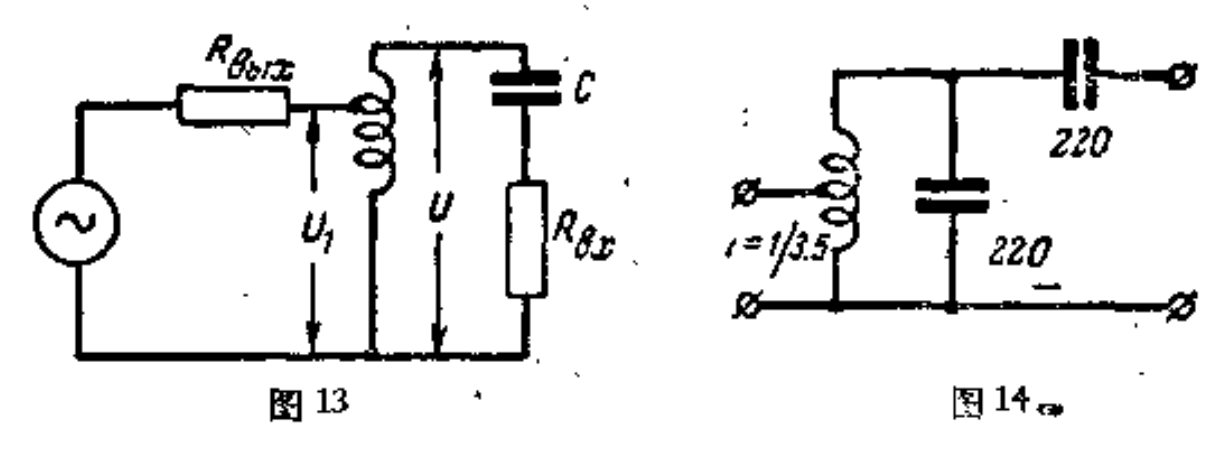
$$R_{\text{BMX}} = m^2 \frac{(1/\omega C)^2}{R_{\text{BX}}},$$
 (24)

而获得必要的合成衰减的条件为

$$d = \omega C R_{\text{BX}} + \frac{m^2}{\omega C R_{\text{BMX}}} = 2m \sqrt{\frac{R_{\text{BX}}}{R_{\text{BMX}}}}.$$
 (25)

适当选择 C 和 m,这些条件可以同时满足。

为了减小电威 L之值,可以增大綫路中的电容,这就引出图 14 的綫路。綫路中所示数据是頻率为 465 千赫, $R_{BAX} = 6$ 千欧和 $R_{BX} = 6$ 0欧的放大器的数据。



当构成双回路的綫路时,要利用类似的例子。

4. 反饋的作用与放大器的稳定度

經过三极管极間导納所产生的反饋,使得級的輸入复导納随 其負載回路的失調而变. 由于級的輸入导納与輸入回路弁联,这 个导納的頻率变化要引起諧振頻率的偏移及輸入回路諧振曲綫的 歪斜.

与此相似,具有反饋的級的輸出复导納与輸入回路的失調有 关.这使得輸入回路的失調影响諧振頻率及輸出回路諧振曲綫的 形状.

因此,当有反饋时,放大器的輸入和輸出回路的相互作用与耦 合回路相似。在多級放大器中这个現象特別討厌,因为所有回路 調譜的相互牵連使得这种放大器难于調整,特別是不同回路要調 諧在不同頻率的情形。

此外, 半导体三极管的内部反饋可能引起自激或放大器工作的不够稳定。必須記住, 当利用諧振負載时, 即令采用面結合型三极管在高頻范围內也有可能发生自激, 而面結合型三极管低頻放大器只要不发生振盪就总是稳定的.

为了校驗放大器的稳定性,宜于利用下列不等式,它是尼科威斯特(Nyquist)准則的結果,在所有頻率下都是正确的[交献9].

在丼联反饋的情形下

$$\frac{G_{\rm H} + G_{\rm BX,0,0}}{G_{\rm H} + G_{\rm BX}} \geqslant k_{\rm y}, \tag{26}$$

其中 Gx 是信号源的电导;

Gax 是在沒有反饋的情形下算出的放大器輸入电导;

Gax.o.o 是考虑了反饋的影响而算出的放大器輸入电导;

ん, 是稳定系数,等于 0.7→0.3.

在串联反饋的情形下

$$\frac{R_{\rm H} + R_{\rm BX,o,c}}{R_{\rm H} + R_{\rm BX}} \geqslant k_{\nu},\tag{27}$$

其中 R 是电阻, 下标的意义与前同。

除去用輸入各量的关系来表示这些条件外,也可以用放大器 輸出各量的关系来表示相类似的条件。例如,在电压反饋的情形 下,稳定条件可以写成:

$$\frac{G_{\text{BMX},0,0} + G_{\text{B}}}{G_{\text{BMX}} + G_{\text{B}}} \geqslant k_{y}, \tag{28}$$

其中 Gsax 是輸出电导;

Gn 是負載电导,而下标 o.c 或沒有这个下标的意义与前相同。 在电流反饋的情形下,稳定条件为

$$\frac{R_{\text{HLIX},0,0} + R_{\text{H}}}{R_{\text{BLIX}} + R_{\text{H}}} \geqslant k_{y_*} \tag{29}$$

必須記住,反饋的型式与所引用的三极管等效綫路的型式有 关. 例如,当利用 II 型綫路时反饋电导是按电压而并联,而当应 用T型綫路时反饋电阻是按电流而串联. 与此相应,当利用不同 的等效綫路时,应当采用不同型式的稳定条件.

我們利用图 8 的三极管等效綫路来决定共发射极的高頻諧振放大器的工作稳定条件。 假定,向集电极~发射极两点間接以复数負載阻抗 $\overline{Z} = R + iX$. 而向基极-发射极两点間接以具有内

电阻 rn的信号源。沿處幾將图 8 的綫路切开,其左边部分可扒为 是具有內阻 1/Gu = Ru = ru + r6.6'的新的信号源,而右边部分扒 为是放大級。当将放大級的負載短路时,沒有电压反饋作用。在 这种状态下,图 8 綫路右边部分的輸入导納具有电导部分

$$G_{BX} = g_{6',9} + g_{6,8}, (30)$$

当負載 $\bar{Z} = R + jX$ 作用时,綫路右边部分的电导 $G_{\text{BX,o,o}}$ 可以照下法决定。这部分的复导納等于

$$ar{Y}_{BX,0,0} = g_{6',0} + j\omega C_{6',0} + rac{ar{I}_{6',K}}{ar{U}_{6',K}} = g_{6',0} + j\omega C_{6',0} + + (g_{6',K} + j\omega C_{6',K})(1 + ar{K}).$$

*这里

$$\overline{K} = \frac{\overline{U}_{0,K}}{\overline{U}_{6',0}} \approx S\overline{Z} = SR + jSX.$$

故

$$\overline{Y}_{\beta X,0,0} = g_{6',0} + j\omega C_{6',0} + g_{6',K}(1 + SR) - \omega C_{6',K}SX + j[Sg_{6',K}X + \omega C_{6',K}(1 + SR)],$$
(31)

这个表达式表明,負載回路的失調,即改变 R 和 X,要引起导納 Ÿ_{вх.о,с} 的改变. 后者(与电阻 ró.ó, 串联)将輸入电路旁路,使其諧振曲綫畸变.

将导納的电导部分分出:

$$G_{BX,O,C} = g_{O',B} + g_{O',R}(1 + SR) - \omega C_{O',R}SX,$$
 (32)

如果級的負載是单回路,則当頻率改变时在諧振頻率下电阻 R 达到最大值 R_0 ,而在这个回路的通頻带边界上它等于 $\frac{1}{2}R_0$,电抗部分 X 可以是正的,也可以是負的。 其絕对值在通頻带边界上达到最大值,并等于 $\frac{1}{2}R_0$ 。

为了估計放大器的稳定度,必須知道 $G_{\text{RX},0,0}$ 的最小值。达到这个最小值的頻率与 $g_{0',n}$ 和 $C_{0',n}$ 之比值有关。 但近似地可以认为,这个頻率是負載回路通頻带对应于 $X = R_0/2 > 0$ 的那个边界。于是, $G_{\text{BX},0,0}$ 的最小值等于

$$G_{BX,0,0} = g_{\delta',0} + g_{\delta',0} + \frac{1}{2} SR_0(g_{\delta',0} - \omega C_{\delta',0}).$$
 (33)

将所得表达式(33)代入式(26)。

$$\frac{G_{x}+G_{xx,o,e}}{G_{x}+G_{ex}} \geqslant k_{y}, \qquad (34)$$

这是具有种联反饋的級的工作稳定条件、这就引出表达式

$$\frac{G_{H} + g_{\delta',9} + g_{\delta',K} + \frac{1}{2}SR_{0}(g_{\delta',K} - \omega C_{\delta',K})}{G_{H} + g_{\delta',9} + g_{\delta',K}} \geqslant k_{y}$$

或

$$SR_0 - \frac{\omega C_{6',\kappa} - g_{6',\kappa}}{1 + g_{6',s} + g_{6',\kappa}} \le 2(1 - k_y). \tag{35}$$

可以认为,入端和出端的匹配条件决定于近似的等式:

$$r_{\rm M} = r_{\rm 6.6'} + \frac{1}{g_{\rm 6',0} + g_{\rm 6',E}}; \quad R_{\rm 0} = \frac{1}{2g_{\rm E,0}} = \frac{1}{2}r_{\rm E,0}, \quad (36)$$

于是,在入端和出端匹配的状态下,工作稳定的条件采取如下 形式:

$$\frac{Sr_{\kappa,\mathfrak{d}}(\omega C_{6',\kappa} - g_{6',\kappa})}{\frac{1}{2r_{6.6'} + \frac{1}{g_{6',\mathfrak{d}} + g_{6',\kappa}}} + g_{6',\mathfrak{d}} + g_{6',\kappa}} \leq 4(1 - k_y). \tag{37}$$

显然,在給定的三极管参数值之下,这个条件只能在足够低的 頻率下滿足,在高頻范围內,为了获得工作的稳定,必須把負載电 阻和信号源的內阻降低到匹配值以下.

在实际的三极管中, $g6'.x \ll g6'.o = \frac{1}{r6'.o}; r6.6' \ll \frac{1}{g6'.o}$,且 通常 $ra \gg r6.6'$ 。此外,和 $\omega C6'.x$ 相比可以忽略 g6'.x 之值;于是所研究的条件在稳定方面有余量。

在这些簡化下,稳定条件采取下列形式:

$$SR_0\omega C_{\delta',*} \le 2(1-k_y) \left[\frac{1}{r_0} + g_{\delta',*}\right],$$
 (38)

而在匹配状态下稳定发生在下列頻率范围:

$$f \le \frac{4(1-k_y)}{\pi S r_{R,0} C_{6',x} r_{6',0}}.$$
 (39)

設 $r_{6',s} = 1000$ 欧,S = 30 毫安/伏, $r_{K,s} = 50000$ 欧, $C_{6',u} = 10$ 微微法, $k_s = 0.75$,得到 $f \le 20$ 千赫。

因此,当頻率高于 20 千赫时,在匹配状态下級的工作不稳定. 这就迫使广泛利用三极管內部反饋的补偿綫路.

对于共基极綫路可以得到相类似的結論。

5. 三极管内部反饋的补偿錢路

采用补偿反饋的綫路可以消除三极管內部反饋对放大器工作的不良影响。当利用这种綫路时,自激的危险性消除了,級的輸入导納不再与負載有关,而輸出导納也与信号源的参数无关。 这就消除了調諧各級回路时的相互牵連及其諧振曲綫的 歪斜。 最后,应用补偿綫路使多級放大器的設計大为簡化。

在补偿反饋綫路的理論方面已进行了一系列詳尽的工作[文献 3,10,11,12]. 这个理論是以下述概念为基础的. 三极管連同补偿綫路一起可以看作是一四端网络,将这四端网络用联系入端和出端电流和电压的綫性方程式組来表征. 对补偿綫路及其参数进行选择,以使得在这些方程式中,决定輸出电流或电压对入端电流或电压的影响的那些系数变为零.

同时,对应于四端网络方程式的不同写記形式和三极管中反饋的不同型式,补偿綫路可能有不同的方案。例如,当利用空载的 Z 参数方程式时,三极管等效綫路是 T 型的并含有与輸出电流成正比例的串联反饋。当利用短路的 Y 参数方程式时,三极管等效綫路是 I 型的并含有与輸出电压成正比例的并联反饋。应用混合的 A 参数就可引出含有串联电压反饋的等效綫路。还可以把方程式写成这样:輸入电流和輸出电压是随輸入电压和輸出电流而变的。方程式的这种写記形式引出具有与輸出电流成正比例的并联反饋等效綫路。相应地改变三极管的等效綫路,补偿反饋的綫路的形

式也要改变.

通常,将三极管的等效綫路与补偿綫路一起形成平衡电桥,在 桥的两对角綫上接入級的輸入和輸出。这样,作用在級的輸出端 的电压不会在級的輸入端引起反应,也就是消除了信号的反向传 輸。由于在三极管等效綫路中具有其电流或电压为輸入信号所控 制的发生器,信号仍可沿正向通过。

补偿問題的复杂性在于,必須在足够寬的頻带內和供电电压 所容計的变化范围內,都能够进行补偿,当頻率改变时,三极管等 效綫路中的复阻抗或复导納发生改变。为了維持补偿作用,补偿 綫路的元件应当具有相应的頻率依从关系。在不同的三极管等效 綫路中,元件的頻率依从关系也应不同。如果利用这样的等效綫 路,对于这个綫路元件的頻率依从关系是最簡单的,补偿綫路的构 成就变得容易。

此外,当供电电压发生可能的变化时,如果等效綫路的元件也 发生改变,补偿就遭到破坏。在构成补偿綫路时,宜于采用其元件 不大随供电电压变化的三极管等效綫路作为根据。

考虑了这些想法,根据图 8 的导納等效綫路构成的补偿綫路 給出了最好的結果。图 15 所示就是具有补偿电路的 这种綫路。

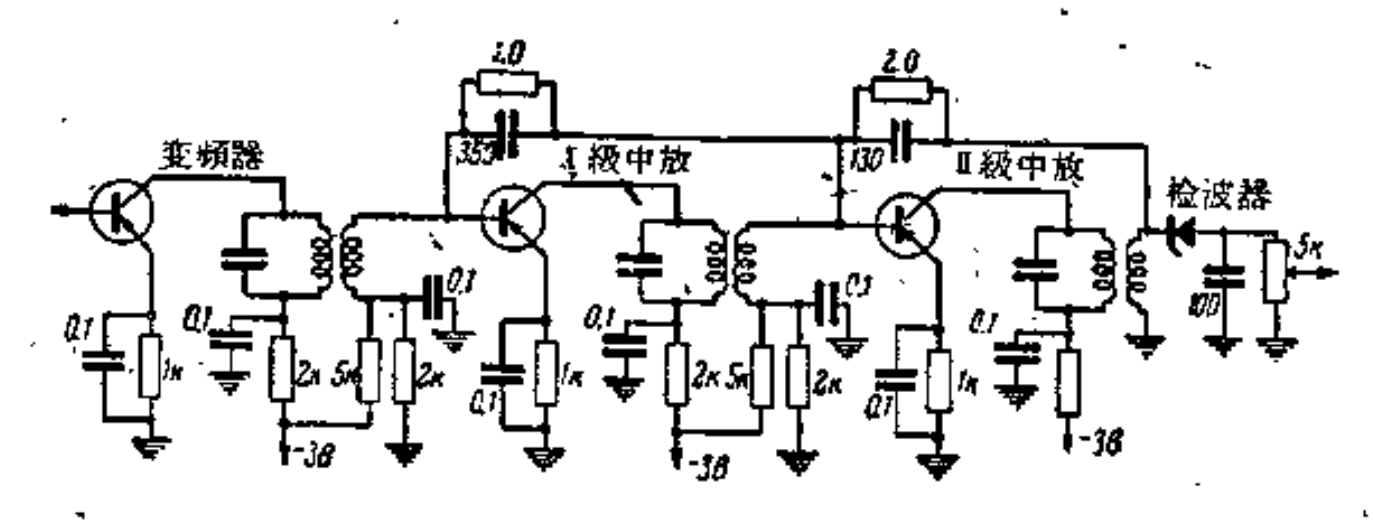
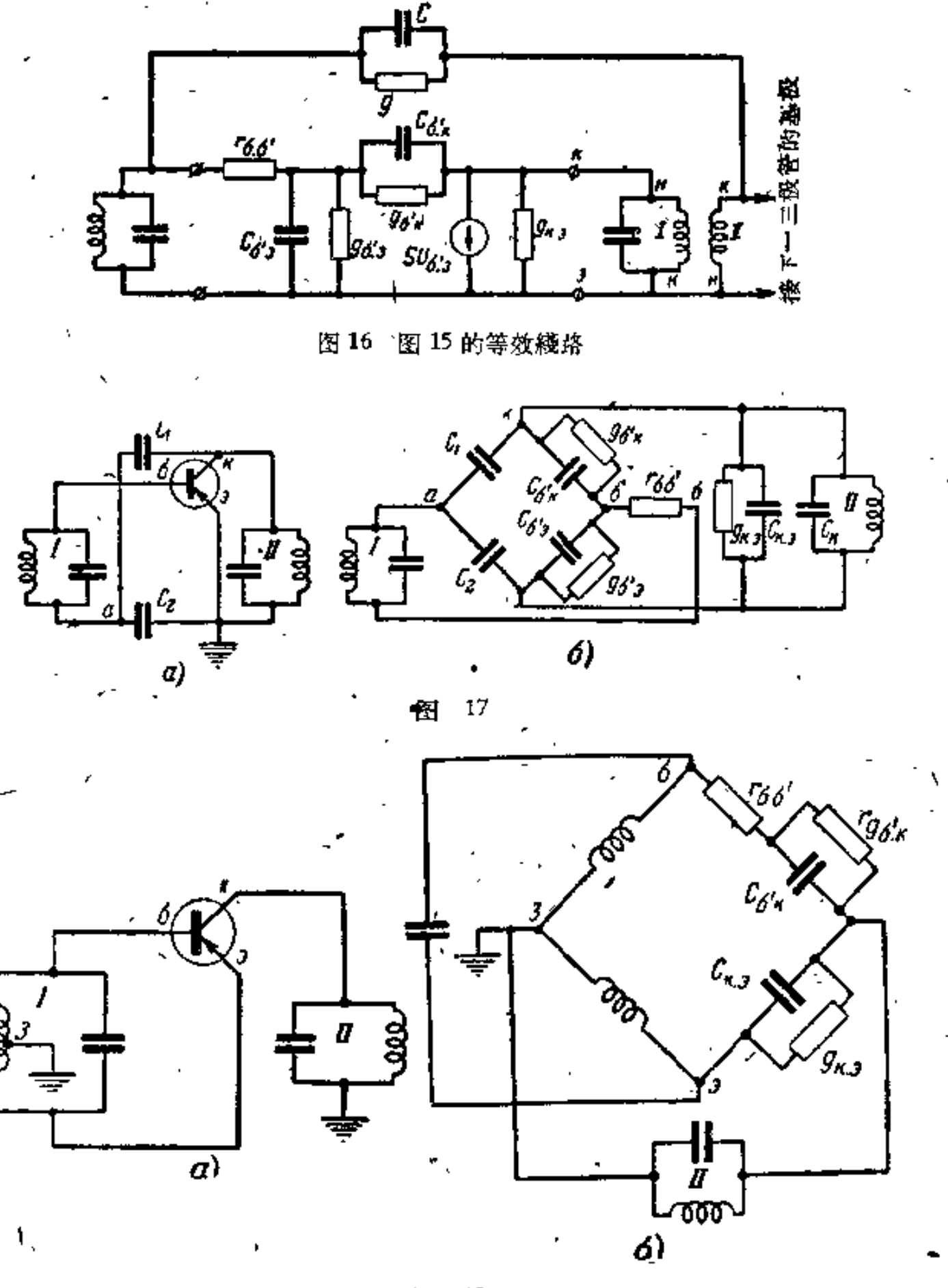


图 15 三极管内部反饋的补偿

补偿作用可以从图 16 的等效綫路明显看出。在这里,綫租工上的电压应該与繞租工上的电压反相。于是,有反相电流經过反饋电路 C6'x g6'x 和补偿电路 Cg 流到三极管的輸入端。为了使这两个电流相等, 繞租工的电压比繞租工的电压小多少倍, 补偿电路的电

容 C 和电导 g 就应当比 C6′, x 和 g6′, x 大多少倍,常常可以忽略經过电导 g6′, x 的反饋的影响,于是,可以不用电导 g 而完成补偿电路,在这个綫路中,由于电阻 r6, 6′ 的有害影响,完全补偿是不能达



到的.

也可以采用与近年来广泛用在超短波电子管放大器中相似的补偿綫路、这种綫路及其等效綫路示出在图 17 和 18 中。在图 18 的綫路中,由于电阻 r6.6′的有害影响,电桥只能接近达到平衡。在这个綫路中,发射极电流沿回路的下面部分流过,这无异于用电导mS 給予回路以附加的分路,其中m是回路中有发射极电流流过的、那部分所占的分数。

6. 高頻半导体放大器的噪声系数

当放大弱信号时,放大器的固有噪声电平应当是足够低的;因此,关于半导体三极管的噪声以及构成綫路时获得最小噪声系数的方法的研究,是非常重要的.

对于面結合型三极管的固有噪声源,已有了詳細的研究[文献 13,15]。考虑了这些噪声源,三极管的等效綫路将如图 19 所示。

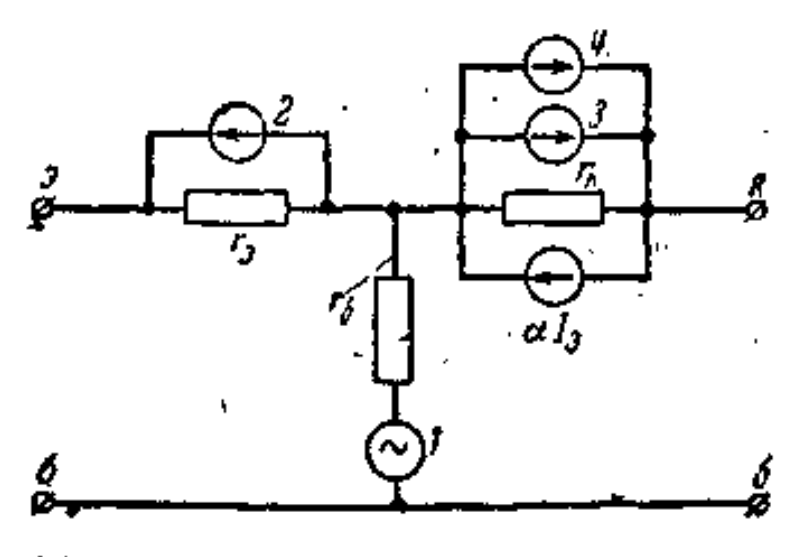


图 19 考虑了固有噪声的三极管等效綫路

- 在这个綫路中,和通常一样, r_θ、r₆、r_κ 是发射极、基极和集电极电阻,而电流发生器 αI₉ 表征三极管的放大作用。 发生器 1 考虑发生在电阻 r₆ 中的热噪声电动势。 这个电动势的有效值的平方等于

$$\tilde{E}_1^2 = 4 \, kTBr_6, \tag{40}$$

其中 人是波耳茲曼常数;

T 是絕对温度;

B 是能量的通頻带。.

在室温下 $kT = 4 \times 10^{-21}$ 瓦/赫.

发生器 2 考虑发生在发射极与基极間的結中的 散粒噪 声电流, 这个电流的有效值的平方等于

$$\bar{I}_{2}^{2} = 2e \left(I_{0} + I_{0,0} \right) B,$$
 (41)

其中 ¢ 是电子电荷;

I, 是总的发射結正向电流;

Is.o 是发射結反向电流。

发生器 3 考虑发生在集电极与基极間的結中的 散粒 噪声 电流、这个电流的有效值的平方等于

$$\bar{I}_3^2 = 2 \ e I_{R0} B, \tag{42}$$

其中 1 是集电結的起始反向电流、

发生器 4 考虑集电极与基极間空穴电流的杂乱分布所生成的噪声电流。这个发生器的电流的有效值的平方等于

$$\bar{I}_4^2 \approx 2 \cdot e \alpha I_2 \cdot (1 - \alpha) B, \qquad (43)$$

其中 a 是从发射极到集电极的电流放大系数。

利用这个等效綫路,可以决定半导体三极管的級的噪声系数:

$$III \approx 1 + \frac{r_6}{r_B} + \frac{r_9}{2r_B} + \frac{(r_B + r_6 + r_B)^2}{2r_9r_B\alpha^2} \left[\frac{I_{B0}}{I_9} + \alpha(1 - \alpha) \right],$$

其中 7# 是信号源的内阻。

三极管的不同接法(共发射极、共基极或共集电极)仅是反饋不同。在一級近似下可以认为,反饋在同样程度下改变了信号和噪声的大小,而不影响它們的比值。由此可知,在其他条件相同之下,放大級的噪声系数与三极管的連接方法无关。但在改变三极管的接法时,通常也改变了信号源的电阻值,这就使得級的噪声系数改变。此外,对于不同接法正常功率增益之值不同,这就使得多級後路的总噪声系数改变。为了得到最小的噪声系数值,必须适当选择信号源的电阻,而且其最佳值决定于表达式

$$r_{\text{H.out}}^2 = (r_0 + r_6)^2 + \frac{(2r_6 + 2r_6)\alpha^2 r_6}{\frac{I_{10}}{I_2} + \alpha(1 - \alpha)},$$

这个最佳值和为了匹配所必须的值不同,大約是几百败。此外,噪声系数与三极管的直流供电状态有关。

7. 半导体三极管綫路的增强控制

为了构成自动增益控制(APY)的綫路,必須有可能利用加在高頻級上的电压或电流来控制其增益。对于半导体三极管高頻級的这种控制方法,在文献[文献 3,14]中已有了詳細的研究。目前,最常用的方法是經过电阻或綫圈将控制电压加在三极管的基极上。較早时期曾經利用改变发射极电流的方法来控制增益。用改变基极电流的方法来控制增益应用得不广泛,因为这种綫路极易受周围温度变化的影响。

当利用任何一种上述的方法时,增益的改变不仅是由于三极管本身参数的改变,而且也是由于三极管与信号源間以及三极管与負載間所发生的失配。

参考文献

- [1] Zawelis J., Physical Theory of a New Circuit Representation for Junction Transistors, J. Appl. Phys., 1954, 28, 8.
- [2] Pritchard R. L., Electric-Network Representation of Transistors; A Survey, RE Transactions, Circuit Theory, 1956, CT-3, No. 1.
- [3] Lo A. W., Endres R. O., Zawelis J., Waldhauer F. D., Cheng C. C., Transistör Electronics, N. Y., 1955.
- [4] Chu C. Y., A New Equivalent Circuit for Junction Fransistors, IRE Conv. Record, p. II.
- [5] Early I. M., Effect of Space Charge Layer Widening in Junction Transistors, PIRE, 1952, 40, 11.
- [6] Muller C. W., Pankowe J. J., A p-n-p Triode Alloy Junction Transistor, for Radio Frequency Amplification, RCA Rev., 1953, 12, PIRE, 1954, 2.
- [7] Мигулин И. Н., Эквивалентные схемы и нараметры плоскостных кристаллических триодов. Электросвязь, 1956, 6.
- [18] Vasseur I. P., Calcul des circuits utilisant les transistors à jonctions aux fréquences élevées, Annales de Radio-Electricité, 1956, 4.
- [9] Куликовский А. А., Линейные каскады радиоприемников, ГЭи, 1958.
- [10] Stern A. P., Aldridge C. A., Chow W. F., Internal Feedback and Neutralisation of Transistor Amplifiers, PIRE, 1955, 6.
- [11] Che C. Y., Unilaterisation of Junction-Transistor Amplifiers at High

- Frequencies, PIRE, 1955, 8.
- [12] Holmes D. D., Itanley T. O., Freedman L. A., A Developmental Pocket Size Broadcast Receiver Employing Transistors, PIRE, 1955, 6.
- [13] Van der Ziel A., Notes on Shot and Partition Noise in Junction Transistors, J. Appl. Phys., 1954, 6.
- [14] «Измерение параметров, определяющих работу полупроводниковых триодов на высокой частоте». Экспресс-информация, серия «Радиотехническая промышленность»; № РТП-12237 (из журнада "Annales de Radioelectricité", 1956, 7).
- Guggenbuhl W., Strutt M., Experimentelle Untersuchung und Trennung der Rauschutsachen in Flachentransistoren, Archiv der El. Übertr., 1955, 9, 6.

面結合型三极管的过渡与頻率-相位特性

, T. M. 阿加哈年(Araxansn)

引 "营

在半导体三极管綫路中,过渡过程及与其有关的頻率-相位畸变不仅决定于寄生电容的存在,而且决定于三极管基极区域内所发生的过程,这些过程在一方面是扩散的,在另一方面是载流者的热产生过程与复合过程之間的热力学平衡遭受了破坏[文献1],而这就是在几十和几百千赫的頻率下发生頻率和相位畸变的原因.

当传輸脉冲信号时,基区中所发生的过程引起輸入和輸出脉冲間的时差,以及脉冲前沿建立时間的延长[文献 2]。

电子空穴结的电容也影响过渡过程的特性,当分析半导体三极管綫路中的过渡过程时应当注意到这点。基区的欧姆电阻或分布电阻同样影响过渡过程的特性。从三极管中发射极与集电极間的区域流向基极接点的基极电流,在基极接点与发射极限产生压降,因而大大限制了頻率特性[交献 3]。

同时考虑扩散、复合、电子空穴结电容及基层欧姆电阻的影响

来分析过渡过程是困难的. 如果把实际的三极管表为理 想三极管、电子空穴结的电 容及基层的电阻之租合,这 个分析就将大为簡化. 电容 并联在三极管的輸入端和輸 出端,而基极的欧姆电阻则 串联到理想三极管的基极引

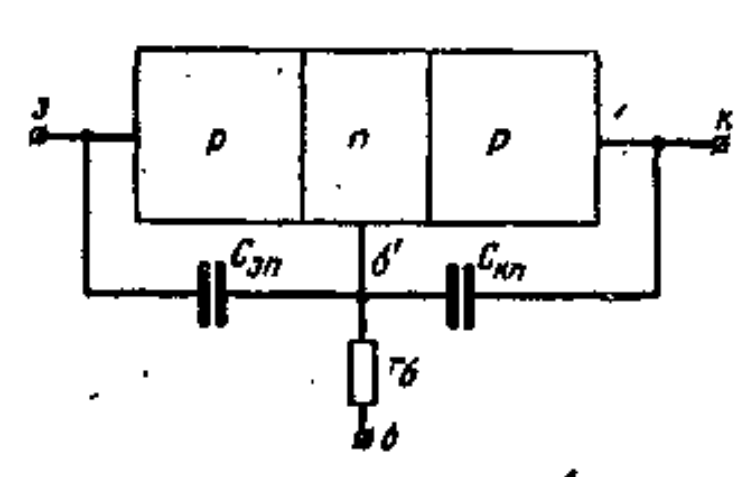


图 1 含有理想三极管緒的电容及基层 电阻的实际三极管的等效緩路

棧处 (图 1)。

把实际的三极管这样分成单独的元件,就允許彼此无关的来分析各个元件中的过程。 然后根据这些分析构成等效綫路,利用这个綫路就可以在比較简单的形式下决定实际半导体三极管中及半导体三极管綫路中的过渡过程。

理想的三极管是图 1 綫路中最复杂和最重要的元件,

这个三极管基区中的过程用两个微分方程式——連續方程式 和电流方程式来描述 [文献 4]。

1. 过渡特性

發射極中的电流脈衝 我們来研究当发射极上加以单位电流 脉冲、而集电极直接与基极引綫相連时三极管中的过渡过程。

根据这个例子的分析,可以列出理想三极管的发射极-集电极传輸系数的过渡特性 $\alpha(t)$ 和輸出阻抗的过渡特性 $Z_{\bullet}(t)$:

$$\alpha(t) = \alpha_0 \left[1 - \frac{4}{\pi} e^{-\frac{t}{\tau}} \operatorname{ch} \sqrt{\frac{\tau_D}{\tau}} \times \frac{1}{2n+1} \left[\frac{1}{2n+1} \left(\frac{2n+1}{\tau} \right)^2 \pi^2 \right] \right], \qquad (1)$$

$$\times \sum_{n=0}^{\infty} \frac{(-1)^n e^{-\frac{t}{4\tau_D} (2n+1)^2 \pi^2}}{(2n+1) \left[1 + \frac{4\tau_D}{\tau (2n+1)^2 \pi^2} \right]}, \qquad (1)$$

$$Z_{\bullet}(t) = r_{\bullet} \left[1 - \frac{8}{\pi^2} \sqrt{\frac{\tau_D}{\tau}} e^{-\frac{t}{\tau}} \operatorname{cth} \sqrt{\frac{\tau_D}{\tau}} \times \frac{1}{\tau} \right] \times \sum_{n=0}^{\infty} \frac{e^{-\frac{t}{4\tau_D} (2n+1)^2 \pi^2}}{(2n+1)^2 \left[1 + \frac{4\tau_D}{\tau (2n+1)^2 \pi^2} \right]}, \qquad (2)$$

其中 ∞ 和 r。分別为传輸系数和輸出阻抗在低頻下的数值;

r 为基区中少数载流者的寿命;

$$\tau_D = \frac{W_c^2}{D}$$
为扩散时間;

亚为基极厚度:

D 为扩散常数[文献 4].

我們来研究这些特性的曲綫。图 2 所示是共基极綫路中三极管电流传輸系数的过渡特性曲綫 α(t)。这个特性曲綫表明当发射极上加以单位电流脉冲时集电极电流随时間是如何变化的。

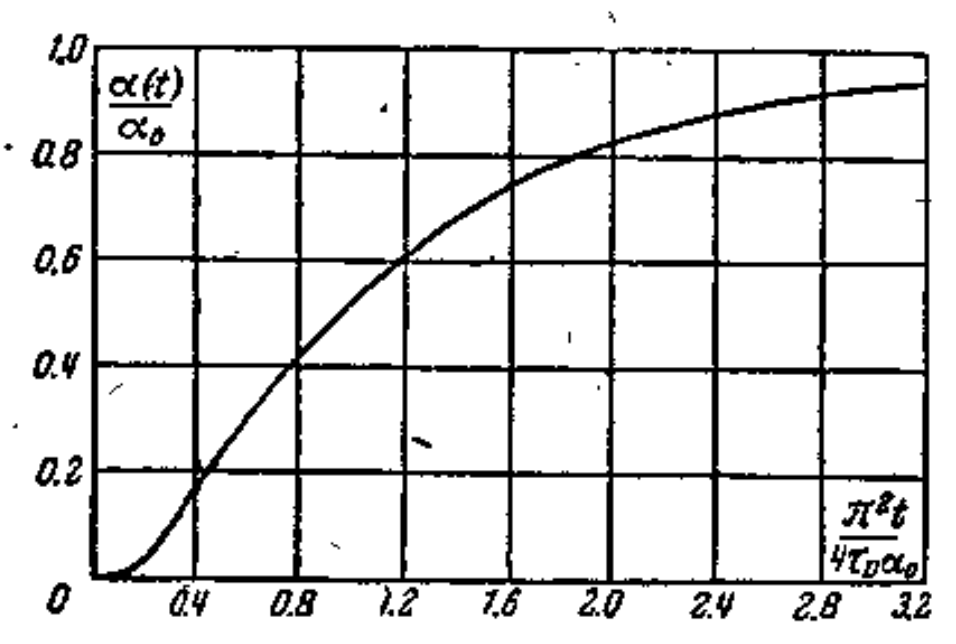


图 2 共基极綫路中三极管电流传输系数的过渡特性曲綫

輸入与輸出电流脉冲間时差的存在是載流者扩散运动不可避免的結果,輸出脉冲的延滯时間(集电极电流不超过其稳定值的1%的这段时間)等于

$$t_0 = \frac{0.64}{\pi^2} \tau_D \alpha_0 = 0.065 \tau_D \alpha_0, \tag{3}$$

例如,对于极限频率为 $f_a = 1.5$ 兆赫的三极管, $f_a = 0.017$ 微秒; 对于极限频率为 $f_a = 500$ 千赫的三极管, $f_a = 0.05$ 微秒.

这个延滞虽然很小,但在許多情形下,例如在具有共同反饋电路的多級緩路中,它起着重要的作用。

載流者运动的扩散特性引起脉冲前沿的畸变:由于載流者速 变的离散,輸出电流脉冲前沿建立的时間延长了. 过渡待性曲綫前沿延长的时間(輸出脉冲前沿从其稳定值的0.1 增长到0.9 的这段时間)为:

$$t_{\rm H} = \frac{8.88}{\pi^2} \tau_a \alpha_0 = 0.9 \tau_D \alpha_0, \tag{4}$$

对于具有 $f_a = 1.5$ 兆赫的三极管, $t_H = 0.23$ 微秒;而对于具有 $f_a = 500$ 千赫的三极管, $t_H = 0.7$ 微秒.

我們再来研究三极管的輸出特性曲綫 Z。(图 3)。 当在发射、极上加以电流脉冲时,发射結上的电压单调地增长,这是接成共基

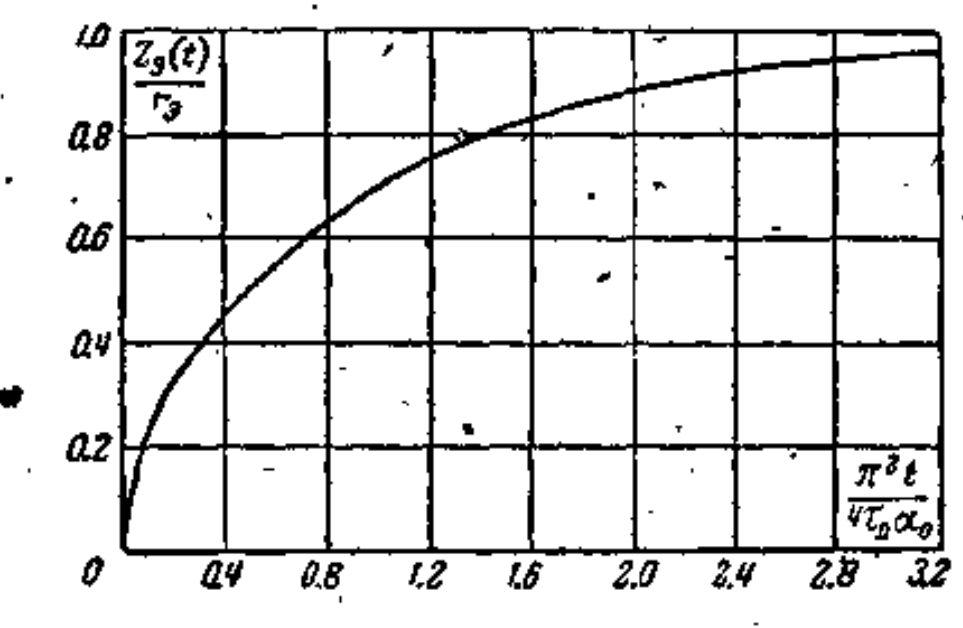


图 3 三极管的輸出特性曲綫 Z_a

极的三极管輸入电路中电容作用的結果。研究了基区中載流者浓度改变的情形(图4),就易于了解这个电容效应的物理意义。如果由直流偏压引起的最初截流者浓度等于 p(x) (图 4 中的曲綫 a),

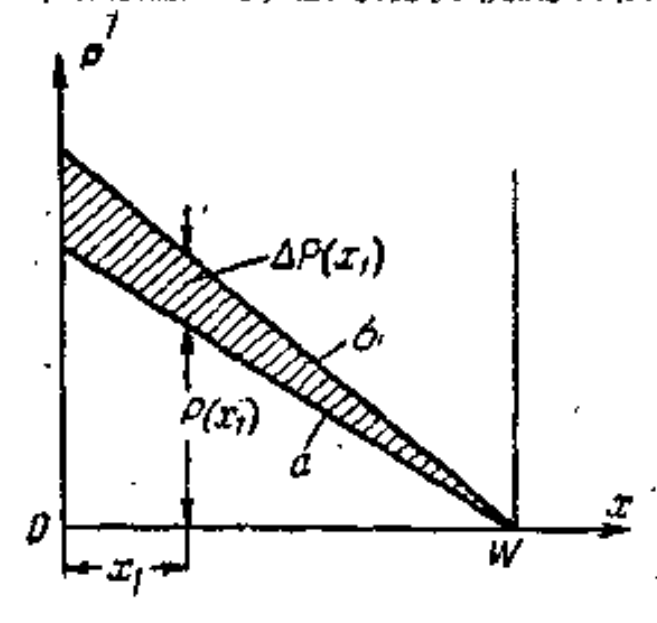


图 4 基区中载流着浓度的改变

則在发射极上加以电流脉冲就 会使 p(x) 改变,因为从发射极 区域中流入的空穴增多或减少 了。例如,如果电流脉冲指向 发射极,則它将使空穴浓度而 基极所有各点处增大一数值 $\Delta p(x)$,所以在加以脉冲后空 穴浓度稳定值(曲綫 6) 将超出 p(x)、但这个基区中空穴浓度 的改变,其中也包含靠近发射結处,不可能在瞬时完成,因为必须有一定的时間才可以使空穴浓度增大 $\Delta p(x)$.

利用图 4 所示載流者浓度分布的曲綫,可以近似地計算等效电容的大小,这电容通常称为过渡电容。从图 4 可知,基区中的电荷增量为

$$\Delta Q = \frac{\Delta p_9 W}{2} e, \qquad (5)$$

其中 & 是电子电荷。

因为发射极上的空穴浓度为

$$p_0 = p_n e^{\frac{U_0 e}{kT}},$$

其中 p, 为基区中少数载流者的平衡浓度;

AT 为戴流者的热能;

U。为发射結上的直流偏压。

故发射結处的浓度增量等于

$$\Delta p_{\theta} = p_{\pi} \frac{e}{kT} e^{\frac{U_{\theta}e}{kT}} \Delta U_{\theta}. \tag{6}$$

考虑到发射极电流的直流分量[女献 3]决定于下列表达式:

$$I_{9} = \frac{1}{\gamma} e \sqrt{\frac{D}{\tau}} p_{n} e^{\frac{U_{9} \sigma}{k T}} \coth \sqrt{\frac{\tau_{D}}{\tau}}, \qquad (7)$$

其中 Y 是三极管的注入系数.

发射結的交流电阻等于

$$r_{\theta} = \frac{kT}{eI_{\theta}}.$$
(8)

从而有

$$\Delta p_{\theta} = \frac{\alpha_{0} \Delta U_{\theta} \operatorname{sh} \sqrt{\frac{\tau_{D}}{\tau}}}{r_{\theta} \sigma \sqrt{\frac{D}{\tau}}} \simeq \frac{\alpha_{0} \Delta U_{\theta} w}{r_{\theta} e D}. \tag{9}$$

将式(9)代入式(5)中,得到:

$$\Delta Q = \frac{\alpha_0 i \sigma^2}{2D r_0} \Delta U_0. \tag{10}$$

因为

$$\Delta Q = C_0 \Delta U_0, \tag{11}$$

故。

$$C_0 = \frac{\alpha_0 w^2}{2D\tau_0}, \qquad (12)$$

戜

$$C_0 = \frac{1.22}{r_2 \omega_a},\tag{13}$$

其中 $\omega_a = \frac{2.43D}{\alpha_0 w^2}$ -是发射极-集电极传輸系数的极限角頻率.

2. 近似的过渡和頻率-相位特性

半导体三极管的主要参数之一是三极管的电流传输 系数 α.Φ 半导体三极管綫路的脉冲及高頻性能,在很大程度上决定于α的 过渡和頻率-相位特性.

上面已經指出, α(t) 的过渡函数的精确表达式是繁长的,因此 在实际上利用近似的表达式。

 $\alpha(t)$ 的最簡单因而用得最普遍的近似式是下列表达式:

$$\alpha(t) = \alpha_0 \left[1 - e^{-\frac{t}{\tau_a'}} \right], \qquad (14)$$

其中 $\tau_a' = \frac{1}{\omega_a}$; ω_a 是特性曲綫 $\alpha(j\omega)$ 的极限角頻率(在 $\frac{1}{\sqrt{2}}$ 电平上的值)。

但是,所引出的 a(t)的表达式极不精确。在国内(指苏联)[文献 1] 和国外 [文献 2, 5, 6] 的文献中,都介紹了用两个函数表示的 a(t)的近似过渡函数,其中一个函数用于起始的时間間隔,另一个用于这个間隔之外。

这样就大大提高了近似的精确度。 但是,采用了这种分段的 近似表达,在大多数情形下,必须或者在实在的区域中利用位移定 理,或者在第二个时間閒隔的开始决定綫路各个元件上的电荷和 电位. 后一情况使得在实在的綫路中决定过渡过程大为复杂,因为必须考虑基极电阻、集电结电容以及負載和入端发生器的电阻等等的影响. 所以,在实际上通常宁愿利用表达式(14),虽然它并不太精确.

下面将引出一个近似表达式,它不仅可以用一个表达式表示过渡函数,而且同时能保証具有比式(14)高得多的精确度. 所提出的表达式也可以在寬广的頻段內近似表示頻率和相位特性 $\alpha(j\omega)$. 这个近似式得自过渡函数的精确表达式(1),表达式(1)是指数函数的无穷级数.

还要研究接成共发射极綫路和共集电极綫路的面結合型三极 管传輸系数的过渡和頻率-相位特性,

在集电极短路状态下的发射結阻抗 Z。也是三极管的主要参数。

3. 面結合型三极管传輸系数的过渡特性

共基極綫路 前面的式(1)已經指出,接成共基根綫路的面結 合型三极管的传输系数决定于下列表达式:

$$\alpha(t) = \alpha_0 \left[1 - \frac{4}{\pi} \operatorname{ch} \sqrt{\frac{\tau_D}{\tau}} \sum_{n=0}^{\infty} \frac{(-1)^n e^{-\frac{t\pi^2}{4\tau_D} b_n}}{(2n+1)b_n} \right], \tag{15}$$

其中.

$$b_n = 1 + \frac{4\tau_D}{\pi^2 (2n+1)^2 \tau}. \tag{16}$$

已經知道[文献 5],过渡函数的精确解答可以表为另外的形式:

$$a(t) = \gamma \sum_{n=1}^{\infty} (-1)^{n+1} e^{-(2n-1)\sqrt{\frac{\tau_D}{\tau}}} \operatorname{erfc} \left[\frac{2n+1}{2} \sqrt{\frac{\tau_D}{t}} - \sqrt{\frac{t}{\tau}} \right] +$$

$$+ \gamma \sum_{n=1}^{\infty} (-1)^{n+1} e^{(2n-1)\sqrt{\frac{\tau_D}{\tau}}} \operatorname{erfc} \left[\frac{2n-1}{2} \sqrt{\frac{\tau_D}{t}} + \sqrt{\frac{t}{\tau}} \right], \quad (17)$$
其中
$$\operatorname{erfc} y = \int_0^\infty e^{-x^2} dx = 1 - \operatorname{erfy}.$$

誤差函数 erfy 的积分可以查表得出。

和式(17)相比,式(15)的优点不仅是簡单,而且在于式(15)的无穷級数衰减得非常快:当 $t \ge 0.1\tau_D$ 时级数的和实际上决定于前两項,而当 $t \ge 0.2\tau_D$ 时第二項也可以忽略, 非认为:

$$\alpha(t) = \alpha_0 - \frac{4\gamma}{\pi \left(1 + \frac{4\tau_D}{\pi^2 \tau}\right)} e^{-\frac{t}{4\tau_D} \pi^2 \left[1 + \frac{4\tau_D}{\pi^2 \tau}\right]}.$$
 (18)

精确解答式(15)的这个特点也被用来构成下列近似表达式:

$$\alpha(t) = \alpha_0 \left[1 - \frac{4}{3} e^{-2.56 - \frac{t}{\tau_D a_0}} + \frac{1}{3} e^{-10.24 - \frac{t}{\tau_D a_0}} \right]. \tag{19}$$

因为无穷級数(15)的第一項是确定的, 故在近似表达式(19)中它仍然不变.

近似表达式(19)中的其后各項的选择是使得:

$$[\alpha(t)]_{t=0} = 0 \qquad \text{fit} \qquad \left[\frac{d\alpha(t)}{dt}\right]_{t=0} = 0. \tag{20}$$

图 5 中示出了面結合型三极管发射极-集电极传輸系数的典型过渡特性:

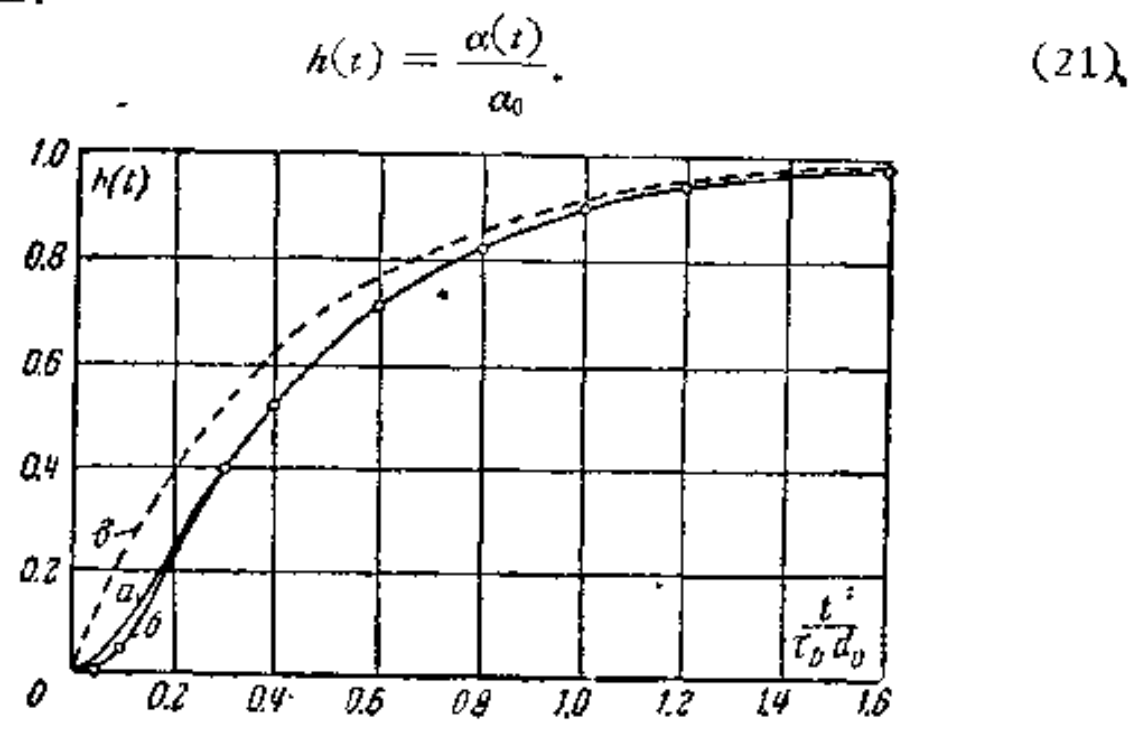


图 5 面結合型三极管发射极-集电极传输系数的典型过渡特性曲綫

$$\alpha(t) = \alpha_0 \left[1 - e^{-\frac{t}{\tau_a}} \right] \tag{22}$$

作出的过渡特性(曲綫 B)。

从图 5 的曲綫可知,关系式(19)保証了实际上足够的精确度, 近似过渡函数(19)的运算表达式也比較簡单:

$$\alpha(p) = \frac{\alpha_0}{\left(p\frac{\tau_D\alpha_0}{2.56} + 1\right)\left(p\frac{\tau_D\alpha_0}{10.24} + 1\right)}.$$
 (23)

因此,在决定半导体面結合型三极管綫路的过渡过程时,它不会引起任何困难。

共發射極緩路 接成共发射极緩路的面結合型三极管传輸系 数的运算表达式决定于下列表达式:

$$b(p) = \frac{\alpha(p)}{1 - \alpha(p)} = \frac{\gamma}{\operatorname{ch}\sqrt{\frac{\tau_D}{\tau}(1 + p\tau) - \gamma}}.$$
 (24)

这里

$$\alpha(p) = \frac{\gamma}{\cosh\sqrt{\frac{\tau_D}{\tau}(1+p\tau)}}$$
(25)

是过渡函数 $\alpha(\iota)$ 的运算表达式。

将函数(24)分解成简单的形式*:

$$b(p) = \gamma \left[\frac{2}{\tau_D \left\{ p + \frac{1}{\tau_D} \left[\frac{\tau_D}{\tau} + 2(1 - \gamma) \right] \right\}} + \frac{4}{\tau_D \sum_{k=1}^{\infty} \frac{p + \frac{1}{\tau_D} \left[\frac{\tau_D}{\tau} + 2(1 - \gamma) - 4k^2 \pi^2 \right]}{\left(p + \frac{a_k'}{\tau_D} \right) \left(p + \frac{c_k}{\tau_D} \right)} \right], \quad (26)$$

其中~

$$u_{k}' = \frac{\tau_{D}}{\tau} + \left[\sqrt{2(1-\gamma)} + 2k\pi \right]^{2};$$
 (27)

^{*} 分解时假定, 1 - 7 之值和 1 相比是无限小的。

$$c_{k} = \frac{\tau_{D}}{\tau} + \left[\sqrt{2\left(1 - \gamma\right)} - 2k\pi\right]^{2}.$$
 (28)

可以得到过渡函数 b(t)精确解答表为指数函数的无穷项之和的形式:

$$b(t) = b_0 - \frac{\frac{t}{\tau_D} \left[\frac{\tau_{D}}{\tau} + 2(1-\gamma)\right]}{\frac{\tau_D}{\tau} + 2(1-\gamma)} - \frac{2\gamma}{\sqrt{2(1-\gamma)}} \times$$

$$\times \sum_{k=1}^{\infty} \left\{ \frac{\sqrt{2(1-\gamma)} + 2k\pi}{a'_{k}} e^{-\frac{i}{\tau_{D}}a'_{k}} + \frac{\sqrt{2(1-\gamma)} - 2k\pi}{c_{k}} e^{-\frac{i}{\tau_{D}}a'_{k}} \right\}. (29)$$

在这里 $b_0 = \alpha_0/(1-\alpha_0)$ 是过渡函数的稳定值。

如果 $1 - \gamma \ll \tau_D/\tau$, 則可以訊为 $\gamma = 1$, 于是

$$b(t) = b_0 - 2\frac{\tau}{\tau_D} e^{-\frac{t}{\tau_D}} + 4\sum_{k=1}^{\infty} \left[\frac{8k^2\pi^2}{\frac{\tau_D}{\tau} + 4k^2\pi^2} \cdot \frac{t}{\tau_D} + \frac{4k^2\pi^2 - \frac{\tau_D}{\tau}}{\frac{\tau_D}{\tau}} \right] e^{-\frac{t}{\tau_D} \left(4k^2\pi^2 + \frac{\tau_D}{\tau}\right)}$$

$$+ \frac{4k^2\pi^2 - \frac{\tau_D}{\tau}}{4k^2\pi^2 + \frac{\tau_D}{\tau}} e^{-\frac{t}{\tau_D} \left(4k^2\pi^2 + \frac{\tau_D}{\tau}\right)}$$
(30)

b(t)的近似表达式可以用两个方法得到:

- 1. 直接从精确解答(29)或(30)。
- 2. 用 α(p)的近似表达式(23)代入公式(24)中.

我們用第一个方法构成 6(1)的近似表达式。

在式(29)和(30)的无穷級数中,具有序数 $\ell \ge 1$ 的所有各項 衰减得相当快,以致从 $b(\iota) = (0.01-0.02)b_0$ 之值开始就可以把 它們忽略,而以足够的精确度认为:

$$b(t) = b_0 - \frac{2\gamma}{\frac{\tau_D}{\tau} + 2(1 - \gamma)} e^{-\frac{t}{\tau_D} \left[\frac{\tau_D}{\tau} + 2(1 - \gamma)\right]}.$$
 (31)

考虑到

$$\frac{2\gamma}{\frac{\tau_D}{\tau} + 2(1-\gamma)} \approx b_0; \quad \frac{\dot{\tau}_D}{\tau} + 2(1-\gamma) \approx \frac{\dot{2}}{b_0}, \quad (32)$$

可以把式(31)的关系加以变换,并引出便于計算的形式:

$$b(t) = b_0 [1 - e^{-2\frac{t}{\tau_D b_0}}]. \tag{33}$$

如果利用 $\alpha(p)$ 的近似表达式, 則以式 (23) 代入式 (24) 中得到:

$$b(p) = -\frac{1}{p^2 \left(\frac{\tau_D b_0}{2.56}\right)^2 \left(1 - \alpha_0\right)} + p \left(\frac{\tau_D b_0}{2.56}\right)^{\frac{5}{4}} + 1}, \quad (34)$$

从而有

$$b(t) = b_0 \left[1 - \frac{1}{1 - 0.16(1 - \alpha_0)} e^{-2.048} \frac{t}{\tau_D b_0} + \frac{0.16(1 - \alpha_0)}{1 - 0.16(1 - \alpha_0)} e^{-12.8} \frac{t}{\tau_D b_0} \right].$$
(35)

这个表达式与式(33)不同之处主要是有了第二个指数項,这一項 仅只影响过渡特性曲綫起始区段的形状,使得精确曲綫与近似曲 綫之間差別減小。

将近似的特性曲綫与精确的相比較可以看出,与三极管接成 共基极綫路的情形相比,現在要符合得更精确一些.

在共发射极綫路中过渡特性曲綫前沿延长的时間等于

$$t_{\rm H,C,C} = 1.1 \tau_D b_0 \approx 2.2 \tau,$$
 (36)

在共基极綫路中

$$t_{H,B} = 0.9\alpha_0 \tau_{D_*} \tag{37}$$

它們的比值

$$\frac{t_{\rm H,\,0,B}}{t_{\rm H,B}} = \frac{1.22}{1-\alpha_0}.\tag{38}$$

共集电極緩<mark>路 当接成共集电极綫路时,三极管传输系数的</mark>运算表达式为

$$\frac{1}{1 - \alpha(p)} = 1 + b(p). \tag{39}$$

因此,过渡函数等于

$$1+b(t), \qquad (40)$$

也就是,这个函数的精确值以及近似值都可用 b(t) 相应的表达式代入式(40)中而得到。

接成共集电极的三极管过渡特性的特点是具有起始的跃变。由于这点,和共发射极綫路相比,近似表达式在起始区段的相对誤差减小了.

4. 頻率-相位特性

共基極緩路 頻率-相位特性 $\alpha(j\omega)$ 的近似表达式可以在式(23)中以 $p = j\omega$ 代入而得到:

$$\alpha(j\omega) = \frac{\alpha_0}{\left[1 - \frac{1}{4} \left(\frac{\tau_D \alpha_0 \omega}{2.56}\right)^2 + j \frac{5}{4} \left(\frac{\omega \tau_D \alpha_0}{2.56}\right)\right]}.$$
 (41)

放大系数的頻率特性具有如下形式:

$$\frac{|\alpha(j\omega)|}{\alpha_0} = \frac{1}{\sqrt{\left[1 - \frac{1}{4} \left(\frac{\tau_D \alpha_0 \omega}{2.56}\right)^2\right]^2 + \frac{25}{16} \left(\frac{\omega \tau_D \alpha_0}{2.56}\right)^2}}, \quad (42)$$

而相位特性:

$$\varphi = \arctan \frac{\frac{5}{4} \left(\frac{\omega \tau_D \alpha_0}{2.56} \right)}{1 - \frac{1}{4} \left(\frac{\omega \tau_D \alpha_0}{2.56} \right)^2}.$$
 (43)

图 6 申示出了根据近似公式(42)和(43)以及精确表达式作出的頻率和相位特性曲綫(实綫是近似的),精确表达式为:

$$\alpha(j\omega) = \gamma \operatorname{sech} \sqrt{\frac{\tau_{D}}{\tau}(1 + j\omega\tau)}. \tag{44}$$

精确曲綫(图 6 中的虛綫)是对于 $\tau \to \infty$ 的情形作用的。 此較这些曲綫可以作用結論,在寬广的頻段

$$0 \le \omega \le (4-5)\omega_{\alpha}$$

内,对于工程計算可以利用近似公式(41).

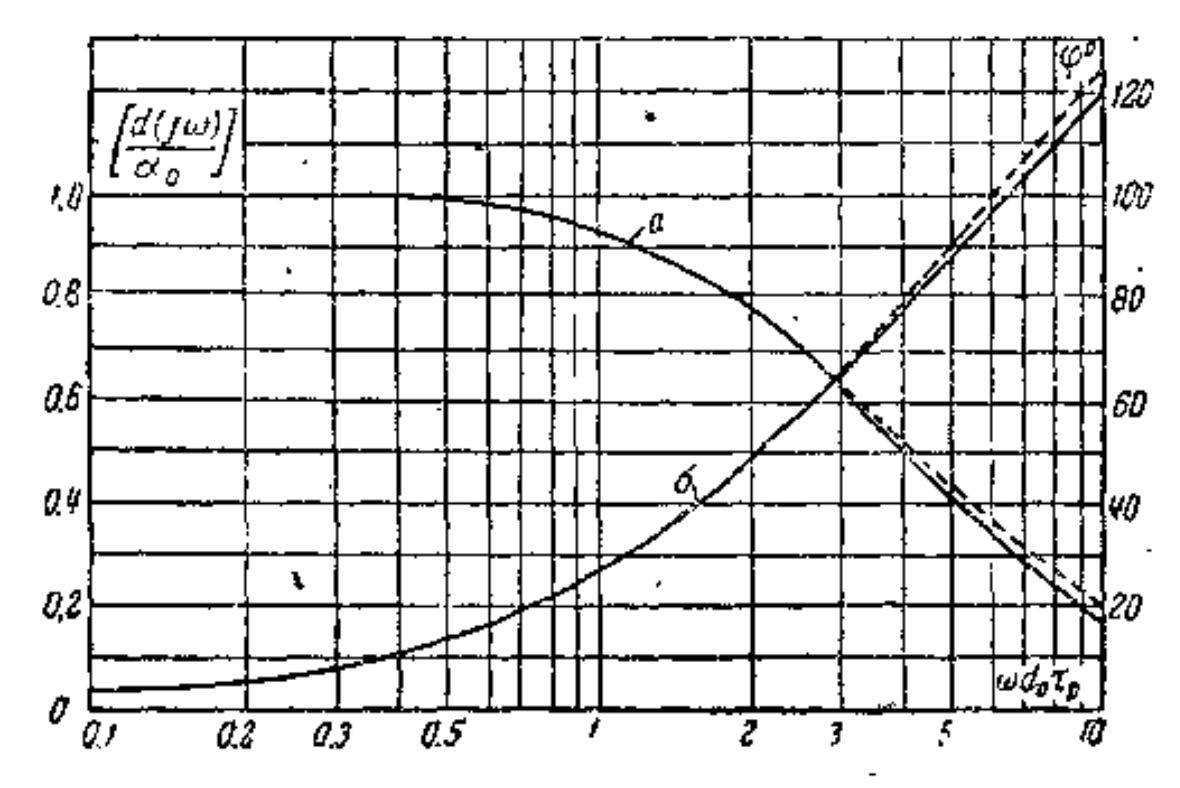


图 6 按照公式(42)和(43)得出的演率特性曲綫(a)和相位特性曲綫(6)

我們来决定极限角頻率 ω, 在这个角頻率下

$$\frac{1}{\sqrt{\left[1 - \frac{1}{4} \left(\frac{\tau_D \alpha_0 \omega_o}{2.56}\right)^2\right]^2 + \frac{25}{16} \left(\frac{\tau_D \alpha_0 \omega_a}{2.56}\right)^2}} = \frac{1}{\sqrt{2}}.$$
 (45)

解式(45)的四次方程式,得到:

$$\dot{\boldsymbol{\omega}}_{a} = \frac{2.424}{\alpha_{0}\tau_{D}}.\tag{46}$$

· 极限頻率的近似值与精确值 极为符合[文献 7]。

在右衷中列出了对于不同 α_θ 值的 ω_ατ_ρ 之值. 表中第 2 行所 列是按近似公式(46)算出的 ω_ατ_ρ 之值,而第 3 行是 ω_ατ_ρ 的精确值 [文献 7].

从式(46)的关系可知,极限 角頻率 ω。与三极管电流 放 大 系

对于不同 α_0 的 $\omega_a \tau_D$ 值

| a 0 | ω _α τ _D 的值 | | 護蓬 |
|------------|----------------------------------|------------|------|
| | 近似的 | 精确的 | 百分数· |
| 0.942 | 2.573 | 2.56 | 0.5 |
| 0.956 | 2.535 | 2.53 | 0.2 |
| 0.970 | 2.498 | 2.50 | 0.1 |
| 0.983 | 2.466 | 2,47 | 0.2 |
| 0.995 | 2,436 | 2.45 | 0.6 |
| 1.000 | 2.424 | 2.43 | 0.3 |

数的低頻值 α 成反比例, 故三极管的品质系数:

$$\alpha_0 \omega_\alpha = \frac{2.424}{\tau_D} \tag{47}$$

只与扩散时間有关。 值得指出,这个系数与少数栽流者的寿命 7 无关。

共發射極綫路 按照表达式(33),頻率-相位特性 $b(j\omega)$ 可以近似地訊为等于

$$b(j\omega) = \frac{b_0}{1 + j\omega \frac{\tau_D b_0}{2}}.$$
 (48)

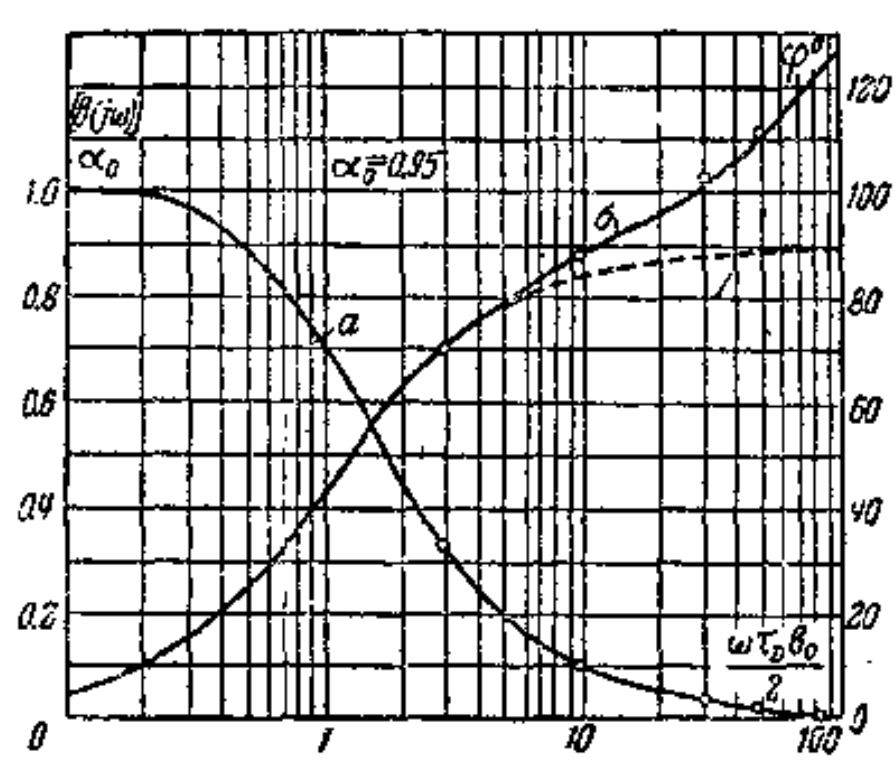
在式(34)中以 p = w代入可以得到較精确的近似式:

$$b(j\omega) = \frac{-b_0}{1 - (1 - \alpha_c) \left(\frac{x}{2.56}\right)^2 + i \frac{x}{1.024}};$$
 (49)

$$\frac{|b(j\omega)|}{b_0} = \frac{1}{\sqrt{\left[1-(1-a_0)\left(\frac{x}{2.56}\right)^2\right]^2+\left(\frac{x}{1.024}\right)^2}};$$

$$\varphi = \arctan \frac{x/1.024}{1 - (1 - \alpha_0) (x/2.56)^2};$$

其中



$$x = \frac{\omega \tau_D b_0}{2} \approx \omega \tau. \tag{50}$$

在图 7 中示出了具有 $b_0 = 19$ ($\alpha_0 = 0.95$) 的三极管的頻率-相位特性曲綫。 虛綫是根据公式 (48) 作出的、实綫是根据公式 (49)作出的、小圓圈相当于按照公式

$$k(j\omega) = \frac{1}{\operatorname{ch}\sqrt{\frac{\tau_D}{\tau}(1+j\omega\tau) - 1}}$$
 (51)

算出的这些特性的精确值,

随着 6 的减小,近似关系的誤差也减小。

共发射极綫路中的极限角頻率:

$$\omega_{\rm B} = \frac{2}{\tau_D b_0} \approx \frac{1}{\tau} \tag{52}$$

决定于少数载流者的寿命、因此它远小于接成共基极綫路的三极 管的极限角頻率 ω。:

$$\frac{\omega_{\sigma}}{\omega_{\rm B}} = \frac{1.21}{1 - \alpha_0}.\tag{53}$$

共集电極綫路 按照式(39)和(48),接成共集电极的三极管 电流放大系数的頻率-相位特性为:

$$1 + b(j\omega) = (1 + b_0) \frac{1 + jx(1 - \alpha_0)}{1 + jx};$$

$$\frac{|1+b(j\omega)|}{1+b_0} = \sqrt{\frac{1+x^2(1-\alpha_0)^2}{1+x^2}}; \quad \varphi = \arctan\frac{x\alpha_0}{1+x^2(1-\alpha_0)}. \quad (54)$$

从这些关系可知,当

$$x = \frac{1}{\sqrt{1 - \alpha_0}} \tag{55}$$

时,相位移达到极大值。如果以表达式(51)代入式(38)中, 就得到 較精确的近似式:

$$1 + i(j\omega) = (1 + b_0) - \frac{1 - (1 - \alpha_0)^2 \left(\frac{x}{2.56}\right)^2 + j(1 - \alpha_0) \frac{x}{1.024}}{1 - (1 - \alpha_0) \left(\frac{x}{2.56}\right)^2 + j \frac{x}{1.024}}.(56)$$

按照式(56),当

$$x = \frac{2.56}{\sqrt{(1 - \alpha_0)(4.25 + \alpha_0)}} \approx 1.12\sqrt{1 + b_0}$$
 (57)

时发生最大的相位移,

当将三极管接成共集电极时,頻率特性曲綫的极限值 (ω→ ∞)不等于零,而等于 $(1-a_0)$,当

$$x = \frac{2.56}{1 - \alpha_0} \sqrt{\frac{1 + \sqrt{13.5 - 4(1 - \alpha_0)}}{2}} \approx 3.9b_0$$
 (58)

时,这个特性曲綫得到最小值,并近似等于 0.9(1 - 40).

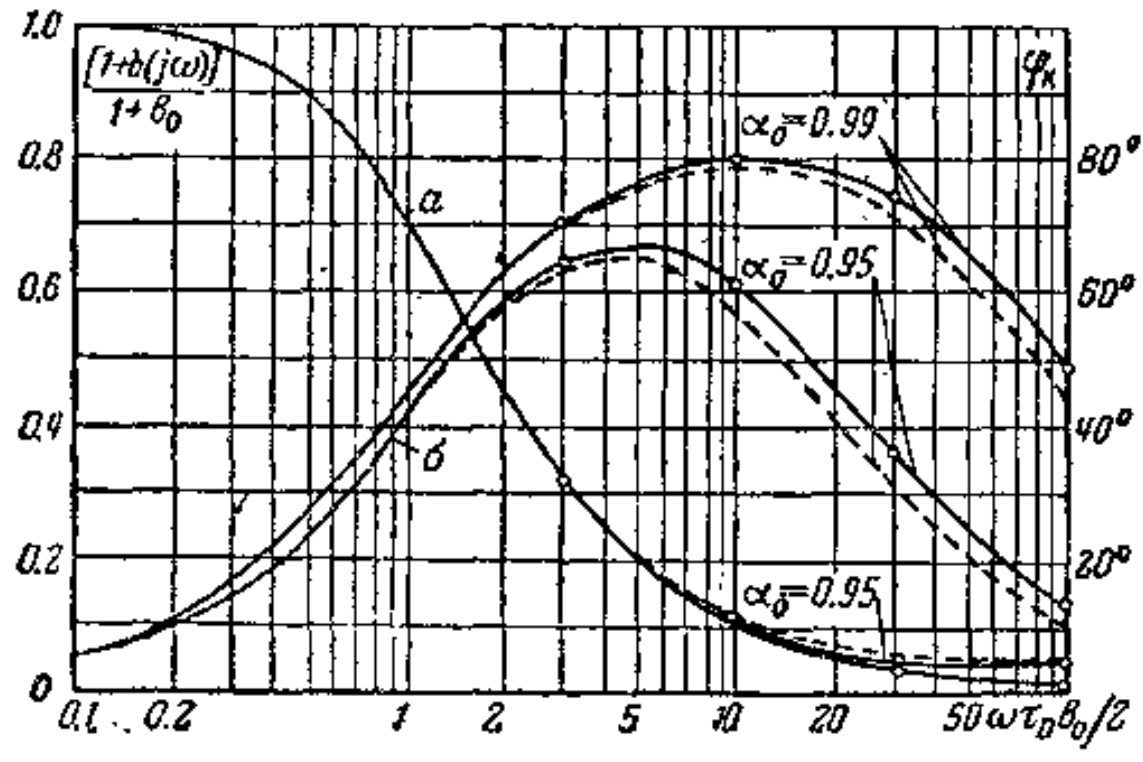


图 8 按照公式(54)和(56)作出的,三极管的頻率特性曲綫(6)和相位特性曲綫(6)

图 8 中所示頻率和相位特性曲綫是根据式(56)(实綫)和(54) (虛綫)作出的,小圓圖表示按照精确公式

$$1 + b(j\omega) = \frac{1}{1 - \operatorname{sech}\sqrt{\frac{\tau_D}{\tau}(1 + j\omega\tau)}}$$
 (59)

算出的这些特性曲綫值。

当三极管接成共集电极时,极限頻率决定于下列关系:

$$\omega_{1+B} = \frac{2}{\tau_D b_0 \sqrt{1 - 2(1 - \alpha_0)^2}} \approx \frac{1}{\tau}.$$
 (60)

5. 三极管输入电路的过渡特性

面結合型三极管在短路状态下的輸入电路用发射 結 阻 抗 Z。 之值来表征、

近似地可以扒为

$$Z_0 = r_0 (1 - e^{-2.56 \frac{t}{\tau_D s_0}}). \tag{61}$$

这个表达式得自 Z₂ 的精确表达式(2),在其中忽略了从第三項开始的所有各項. 从这个公式可知,可以将三极管的输入电路近似地扒为是由电阻 r₂ 与其某一旁路电容 C₂ 所組成的.

上式与大家熟知的文献[文献 8] 上的近似表达式

$$Z_{3} = r_{0} \left(1 - e^{-\frac{r}{r_{3}C_{3}}} \right) \tag{62}$$

不同,在式(62)中扩散电容之值等于

$$C_3 = \frac{0.8}{r_2 \omega_a},$$

而在公式(61)中采取;

$$C_{\bullet} = \frac{0.95}{r_{\bullet}\omega_{\alpha}}.$$

由于这个情况,公式(61)和(62)相比,誤差差不多仍然是不变的;但在計算时可以把特征方程式的根的数目减少一个。 这是由于,式(61)中的方幂是和 $\alpha(p)$ 的近似表达式的特征方程式的一个根和等的.

6. 面結合型三极管在高頻时的等效綫路

根据以上对三极管中所发生的物理过程的分析可知,短路的理想三极管可以用两个元件来代替,其中之一是简单的RC电路;

$$R = r_{\text{o}} \, \operatorname{fl} \, C = C_{\text{o}}; \tag{63}$$

另一个是具有系数 $\alpha(j\omega)$ 或其运算形式 $\alpha(p)$ 的电流发生器。

如果三极管不是短路的,则集电结上电压的改变要引起电子

空穴結厚度的改变,因而引起三极管基极宽度的改变. 由于后者的結果,第一,基极的純欧姆电阻, ro 发生改变,第二,少数載流者复合的数目发生改变. 当基极宽度减小时,向集电极扩散的空穴进行复合的时間减小,因而复合的空穴数减少. 这就使得 ao 增大,并改进了其頻率特性. 当基极增大时 ao 减小,而其頻率特性变坏.

与基极宽度改变有关的因素的影响,在变化比較緩慢的信号下起着重要的作用。如果信号变化很快,则在信号改变的时間内基极宽度不能明显改变,因为集电结电容妨碍集电极电压的快速改变。

所以,在分析高頻过程时基极寬度改变的因素可以忽略.

如果在图 1 的綫路中,不采用理想的三极管而代以阻抗 Z。和电流发生器 $\alpha(p)$ 。。,就得到在高頻范围內的三极管等效綫路, Z。是电阻 T。与扩散电容 C。的并联:

在低頻面結合型三极管中,基极的扩散电容 C_0 。远大于静电电容 $C_{0,\Pi}$,因此,以下我們将只考虑 C_0 。 反之,集电结电容主要是静电电容 $C_{0,\Pi}$,因为这个结的扩散电容 $C_{0,R} \ll C_{0,\Pi}$.

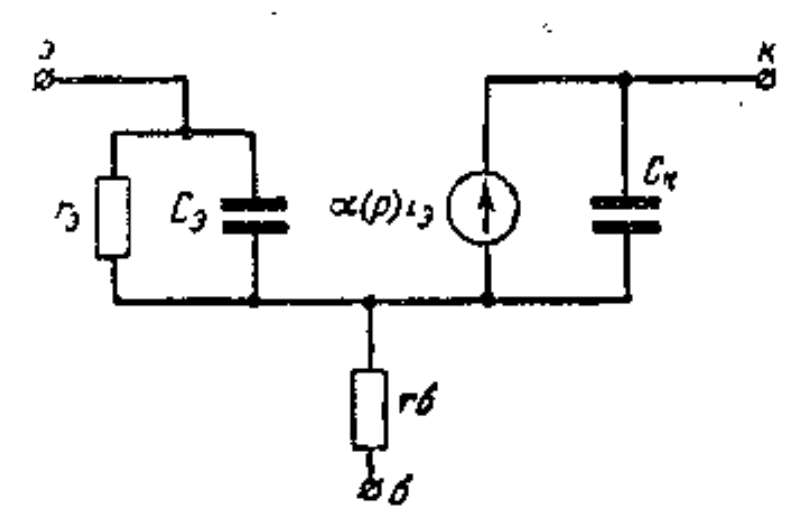


图 9 面結合型三极管在高頻范围內的等效機器 足够精确地按照公式

測量图9 所示等效綫 路的参数时,不会引起任 何困难.

电容 C_K 利用 Q 表来 測量. 基层电阻 r₀ 照例 是在高頻下測量. 如果知 道了发射极电流的直流分 量 I₀,发射結电阻 r₀ 可以

$$r_0 = \frac{kT}{e I_0}$$

来計算,

为了决定过渡电容 C_θ 以及参数 α(p)、必须知道 α_θ 和 τ_ο 之 · 236 ·

值. 为了提高測量的精确度,通常不測量 a 而測量 b 或 1 + b, 即测量与(1 - a)成反比的量.

用极限頻率 ω_α 表示 τ₀, 扩散时間 τ₀ 可以从頻率或相位特性 来决定。同时必须考虑到, 共基极綫路电流放大系数的頻率-相位 特性只是对頻率比較低的三极管才与特性 α(jω)相符合。 在高頻 面結合型三极管綫路中, 无論是进行分析或者是决定扩散时間 τ₀, 都不可忽路集电結电容的影响。 但这并不表示, 传输系数 α 的概 念只对低頻三极管才适合。

系数α决定少数載流者(載流者总数中經过发射結流入基区的)中到达集电极的那部分在总数中所占的分数,到达集电极的载流者将引起集电极电流的变化。 所以,函数α可以定量說明基区中所发生的过程的特性,无論是对于低頻三极管或者是对于高頻三极管都是一样。

图 9 所示三极管的等效綫路是分析視頻放大器的高頻性能的基础。

参考文献

- (1) Адирович Э. И., Колотилова В. Г., ЖЭТФ, 1955, 29, 6/12, 770.
- [2] Chow W. F., Suran J. J., PIRE, 1953, 41, 9, 1125.
- [3] Early]., Bell. Syst. Tech.,]., 1953, 32, 1271.
- [4] Шокли В., Теория электронных полупроводников, ИИЛ, 1953.
- [5] Schaffner J. S., Suran J. J., Journal of Applied Physics, 1953, 24, 11, 1355.
- [6] Middlebrook R. D., IRE Transaction, 1956, ED-3, 1,
- 7] Haneman D., PIRE, 1954, 42, 12, 1808.
- [8] Pritchard R. L., IRE Transactions, 1956, CT-3, 1, 3.

半导体三极管视頻放大器

Т. М. 阿加哈年 (Агаханян).

引言

视頻放大器中的畸变通常分为非綫性的与綫性的. 半导体三极管放大器中的非綫性畸变是因半导体元件特性的非綫性所引起的. 在视頻放大器中,照例,最大的非綫性畸变是容許的. 綫性畸变是綫路中所发生的过渡过程的结果. 只有当重复出现比较长的脉冲时,这些畸变的一部分才达到明显的数值,并称为在长时間范围内的畸变,或者换句話說,在低頻范围内的畸变,长时間(低頻)范围内畸变的发生是由于补助元件的存在,这些补助元件是:过渡电容器或变压器,大容量的电容器,三极管发射极的旁路电路,以及等等,在半导体元件綫路中减少这些畸变的方法与电子管綫路中相同.

当被放大信号的振幅迅速改变时,发生另一方面的过渡过程, 并引起脉冲前沿的畸变。 这种畸变称为在短时間范围内的畸变, 或在高頻范围内的畸变。

在面結合型三极管的視頻放大器中,脉冲前沿的畸变主要是由两类现象所引起的。其中之一与寄生电容的存在有关,在电子管视频放大器的理論中,减少这类畸变的方法是我們所熟知的。第二类现象与面結合型三极管基区中所发生的过渡过程有关。前面已經指出,这些过程将引起輸入和輸出脉冲間的时差以及前沿建立时間的延长。

在这里我們主要研究減少前沿畸变的方法,这种畸变是由三极管基极中的过程所引起的.

根据脉冲形状适当改变流入基区的少数载流者,能使脉冲的沿的畸变大大减小:这样来选择参数,使得在不同振幅下当脉冲的前沿愈陡峭时,进入基区的载流者愈多. 这种少数载流者的重新分布,使得在输入脉冲突然升起的时間内流入基区的载流者增多,因而流向集电极的载流者电增多,而这就使得前沿建立的时間缩短. 对于三极管的任何接法,这种减小前沿畸变的方法都是适用的。

下面我們研究按其发射极綫路构成的放大器。按照共基极綫路(不利用具有低欧姆輸出的匹配变压器或跟随器)来构成多級放大器是不可能的,因为这种放大器的增益是有限的。

从前沿畸变的观点看来,按其发射极綫路构成的放大器远不 及共基极的綫路。 但是,如果采用了能够根据輸入脉冲波形来实 現基极中載流者数量的重新分布的綫路,共发射极綫路的这个缺 点是可以消除的。

多級放大器的电压传输系数

$$H(p) = \frac{U_{\text{BMX}}(p)}{U_{\text{BX}}(p)} \tag{1}$$

在計算緩路时宜于表成如下形式:

$$H(p) = \frac{i_1(p)}{U_{\text{BX}}(p)} \cdot \frac{i_2(p)}{i_1(p)} \cdot \frac{i_{N-1}(p)}{i_{N-2}(p)} \cdot \frac{i_N(p)}{i_{N-1}(p)} Z_{HN}(p) =$$

$$= S_C(p) Z_{HN}(p) \prod_{j=2}^N K_{ij}(p), \qquad (2)$$

在这个公式中所有的量都是运算表达式,它們分別是:

i(p)为第 j 級的輸出电流;

 $U_{\text{BX}}(p)$ 为輸入脉冲;

 $U_{\text{BMX}}(p) = i_N(p) \cdot Z_{HN}(p)$ 为輸出脉冲;

Z_{HN}(p)为輸出負載;

$$S_c(p) = \frac{j_*(p)}{U_{\text{BX}}(p)}$$
为第一級的跨导;

$$K_{i_i}(p) = \frac{i_i(p)}{i_{i-1}(p)}$$
为第 i 級的电流增益;

N为級数.

从表达式(2)可知,第一級便于用其跨导来表征,而所有以后各級便于用电流增益来表征,以下我們就这样作。

下面研究視頻放大器的綫路結构。

1. 具有复合反饋的経路

可以用具有复合电流反饋的綫路为例来清楚地說明使基极中 載流者重新分布的方法、电流反饋是由于三极管发射极电路中有 R_0C_0 电路的存在而发生的(图 1).

在三极管发射极电路中接入純电阻就会发生电流反饋,因而使緩路的輸入阻抗增大。如果用电容很小的电容器将这个电阻旁路,則輸入阻抗将随着被放大脉冲波形的改变而改变。 輸入阻抗随着輸入脉冲前沿斜度的增大而減小,因为在陡峭的电压升起之下,由于电容 Co 的旁路作用反饋电路几乎不起作用。随着輸入阻抗的減小流入基区的載流者增多,因而流向集电极的也增多,这就引起脉冲前沿建立时間的縮減。可見在这个綫路中发生了截流者根据輸入脉冲形状的重新分布:当輸入脉冲的振幅快速改变时流入的截流者增多,而当緩慢改变时則減少。

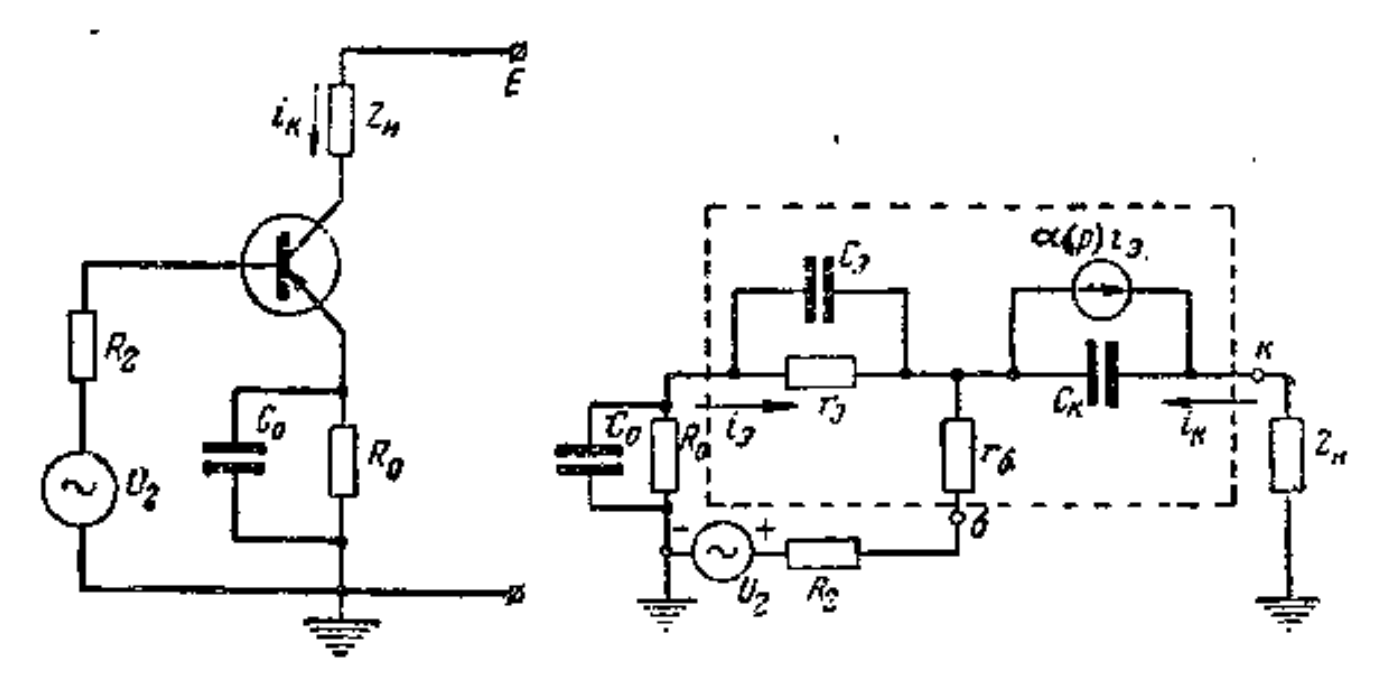


图 1 具有复合电流反脑的凝贴

图 2 图 1 的等效緩路

这个級的等效綫路如图 2 所示(虛綫中是三 极管的等效綫路). 在这个綫路中 Rr 是脉冲发生器的内阻, ro 是基层的純欧姆电阻, ro 是輸入电路的等效电阻, Co 是基极的扩散电容, Cx 是集电极耗损层的静电电容.

利用回路电流法可以得到图 2 綫路的跨导的表达式:

$$S_{c}(p) = \frac{i_{R}}{U_{r}} = \left(\alpha(p) - \frac{Z_{s} + Z_{0}}{Z_{R}}\right) / \left\{ [1 - \alpha(p)] \times \left[(r_{6} + R_{r}) \left(1 + \frac{Z_{s} + Z_{0} + Z_{R}}{Z_{R}} + \frac{Z_{s} + Z_{0}}{1 - \alpha(p)} \left(1 + \frac{Z_{R}}{Z_{R}}\right) \right] \right\},$$
(3)

其中

$$Z_{\bullet} = \frac{r_{\bullet}}{pr_{\bullet}C_{\bullet} + 1}; \quad Z_{0} = \frac{R_{0}}{pR_{0}C_{0} + 1}; \quad Z_{\pi} = \frac{1}{pC_{\pi}}.$$
 (4)

从表达式精确地决定 Sc 的原式是困难的。 具有实际上足够的精确度可以认为:

$$S_{c}(p) = \frac{\alpha(p)}{1 - \alpha(p)} \cdot \frac{1}{(r_{6} + R_{r}) + \frac{(r_{9} + R_{0})}{pC_{0}R_{0} + 1} \cdot \frac{1}{1 - \alpha(p)}}, (5)$$

在这个表达式中我們首先忽略了集电极电容 C_k 的旁路作用, 对于低頻三极管这是完全允許的;其次,发射結电路的时間常数

$$r_{\vartheta} C_{\vartheta} = \frac{\tau_D \alpha_0}{2.56},$$

而时間常数 R_0C_0 經校正后与 r_0C_0 相差不大。 如果考虑到,在实际綫路中 $r_0 \ll R_0$,则可近似地认为

$$Z_8 + Z_0 \approx \frac{r_9 + R_0}{pC_0R_0 + 1}$$
.

在表达式(5)中以下列数值代入:

$$\frac{\alpha(p)}{1 - \alpha(p)} = \frac{b_0}{p\tau + 1};\tag{6}$$

$$\frac{1}{1-\alpha(p)} = 1 + \frac{\alpha(p)}{1-\alpha(p)} = 1 + \frac{b_0}{p\tau + 1},\tag{7}$$

其中 60 是接成共发射极綫路的三极管的低頻电流传輸系数;

 $\tau = \tau_D \frac{\alpha_0}{2(1-\alpha_0)}$ 是面結合型三极管基区中的少数载流者的寿命、

經过一系列变換之后, 表达式(5)可以变为便于分析的形式:

$$S_{C}(p) = S_{C0} \frac{p + \frac{1}{m\tau_{a}}}{p^{2} + p\left(\frac{a_{a}}{\tau_{a}} + \frac{a_{a}}{m\tau_{a}}\right) + \frac{a_{ab}}{\dot{\tau}_{a}^{2}m}} \cdot \frac{a_{ab}}{\tau_{a}}, \qquad (8)$$

其中

$$S_{C0} = \frac{\alpha_0}{\Delta} \tag{9}$$

是綫路在低頻下的跨导;

$$\Delta = R_0 + r_2 + (R_r + r_6)(1 - \alpha_0); -$$
 (10)

$$a_{ab} = \frac{\Delta}{R_{r} + r_{6}}; \quad a_{a} = 1 - \alpha_{0}; \tag{11}$$

$$a_3 = 1 + \frac{R_0 + r_0}{R_r + r_0}; \quad m = \frac{R_0 C_0}{\tau_a};$$
 (12)

$$\tau_a = \tau(1 - a_0) \quad \vec{\mathbf{g}} \quad \tau_a = \frac{\tau_D \alpha_0}{2}. \tag{13}$$

我們在表达式(8)中已經去掉了少数載流者的寿命 τ . 代替 τ 而引入了 τ_a , τ_a 可以比較簡单地用三极管的极限頻率 ω_a 来决定.

事实上,因为

$$\omega_a = \frac{2.424}{\tau_D \alpha_0}, \tag{14}$$

故

$$\tau_a = \frac{1.21}{\omega_a}.\tag{15}$$

如果选择所謂校正系数

$$m = \frac{a_{\theta} - 1}{a_{\theta \theta} - a_{\theta}} = 1$$
, $\mathbb{P} R_0 C_0 = \tau_s$, (16)

剘

$$S_C(t) = S_{C0}(1 - e^{-\frac{t}{r_a}a_{ab}}), \qquad (17)$$

而延长时間为

$$t_{\rm H}=2.2\frac{\tau_{\rm d}}{\sigma_{\rm d9}}.$$
 (18)

从表达式(18)看出,在图 1 的綫路中适当地选择 aco (实际上是 Ro),可以把 to 減小到等于甚至小于共基极綫路中的延长时間之值. 但是要获得这个減小是要用減小各級的增益来作为代价的. 这就使得必須增加級数,因为总的增益通常是已給定的. 对給定綫路所进行的理論与实驗研究証明 [文献 1],即合增加了級数,和通常的放大器相比,具有反饋的放大器过渡特性的延长时間仍差不多減少一个数量級或更多.

当图 1 綫路中的增益給定时,延长时間愈小,校正系数就愈大。例如,当 $m = m_{EP}$ 时,其中

$$m_{\rm Rp} = \frac{2a_{ab} - a_{a}a_{b} - \sqrt{(2a_{ab} - a_{a}a_{b})^{2} - a_{a}^{2}a_{b}^{2}}}{a_{a}^{2}}, \qquad (19)$$

也就是在临界状态下(特征方程式的根彼此相等并为实数):

$$S_{C}(t) = -S_{C0} \left\{ 1 + \left[\left(\sqrt{a_{a0} m_{Kp}} - 1 \right) \sqrt{\frac{a_{i0}}{m_{ED}}} \frac{t}{\tau} - 1 \right] e^{-\frac{t}{\tau_{a}}} \sqrt{\frac{a_{a0}}{m_{Kp}}} \right\}. (20)$$

如果 $a_0 \le 2$,則过渡特性是单調增长的函数。同时,和 m=1的情形相比,延长时間減小到 $\frac{a_0}{4}\sqrt{8-a_0^2}$ 倍。

、如果 $a_0 > 2$,則这个 a_0 要減小更多,但这时出現了非周期的上冲值,其值可按下列公式决定:

$$A = (\sqrt{a_{a9}m_{\rm Kp}} - 1)e^{-\sqrt{a_{a9}m_{\rm Kp}-1}}.$$
 (21)

当 m > mxp 时, 綫路工作在振盪状态:

$$S_{c}(t) = -S_{c0} \left[1 + \frac{\sqrt{a_{\Theta a} m \left[\left(a - \frac{1}{m} \right)^{2} + b^{2} \right]}}{b} e^{-\frac{t}{\tau_{a}} a} \sin \left(\frac{t}{\tau_{a}} b - \lambda \right) \right]. (22)$$

其中

$$\lambda = \arctan \frac{b}{(a^2 + b^2)m - a};$$

$$a = \frac{1}{2m}(a_0 + ma_0);$$

$$b = \sqrt{\frac{a_{00} - ma^2}{m}}.$$

在振盪状态下,延长时間

$$t_{\rm H}=2.2\frac{\tau_a}{a_{a9}}\vartheta \ . \tag{23}$$

其中 9 是表示和 m = 1 的情形相比 ta 小多少倍的系数。 延长时間愈小,第一次出現的上冲值的容許值愈大:

$$A = \sqrt{(a\dot{m} - 1)^2 + b^2 m^2} e^{-\frac{t_T}{t_a}a}.$$
 (24)

此处

$$t_{\rm T} = \frac{m - \arctan \frac{bm}{1 - ma}}{b} r_a \cdot \stackrel{\text{def}}{=} ma < 1, \qquad (25)$$

和

$$r_1 = \frac{1}{b} \operatorname{arctg} \frac{bm}{ma - 1} \tau_a \quad \stackrel{\text{def}}{=} ma > 1. \tag{26}$$

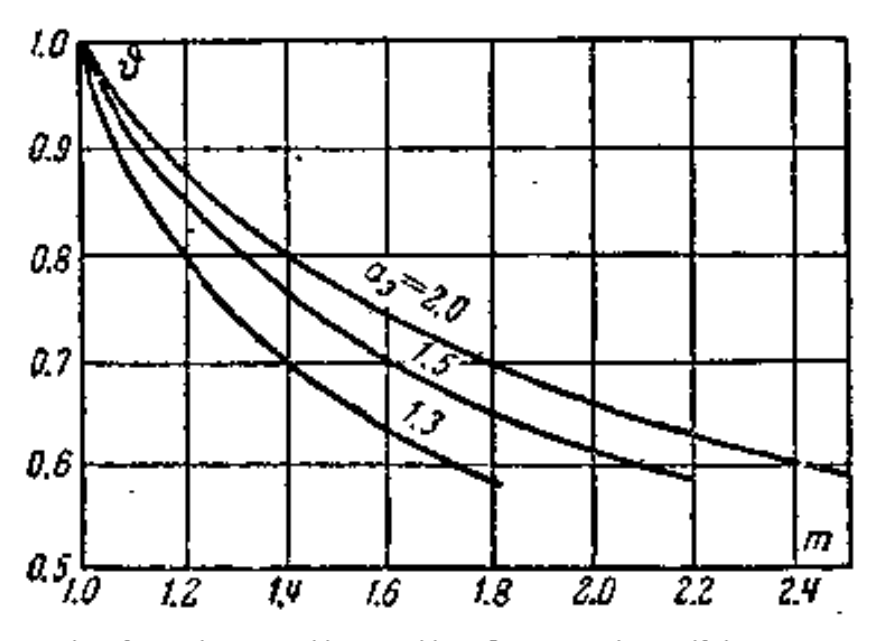


图 3 对于 4。的不同能, 3 与 n 的依从关系

在图 3 和图 4 中示出了当 $a_a = 0.05$ 时 θ 和 A 之值与 m 和 a_a 的依从关系(当 a_a 从 0 变到 0.1 时 9 和 A 改变不大).

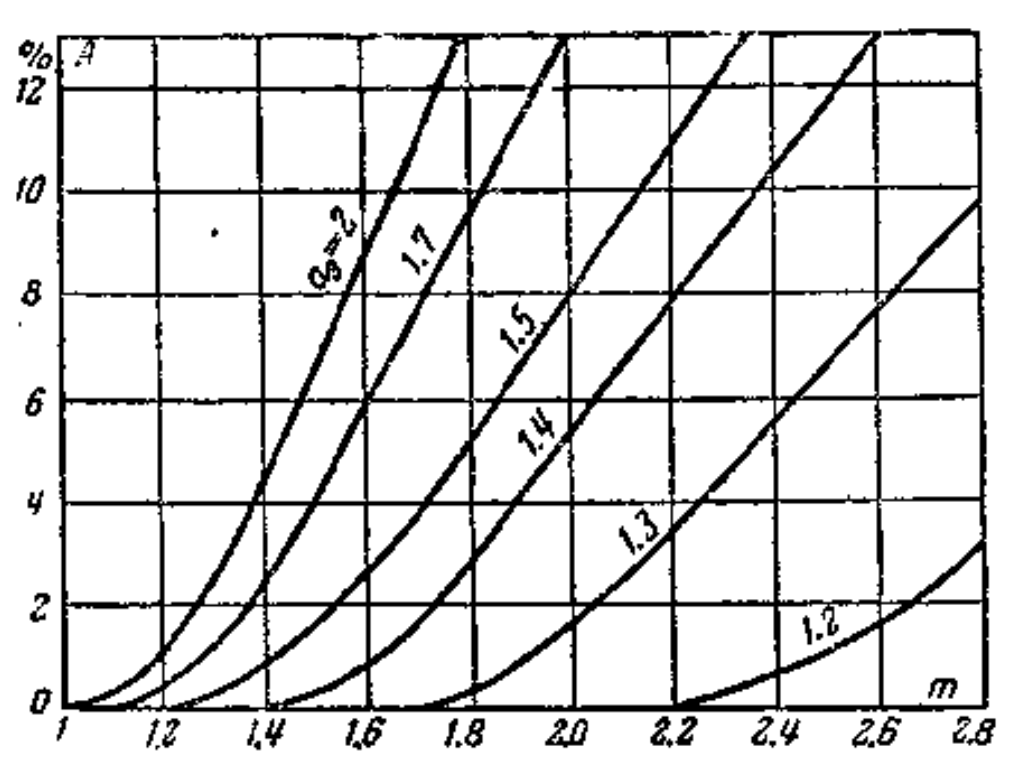


图 4 对于 a, 的不同值, 上冲值与校正系数的依从关系

2. 具有分配电流和反饋相組合的綫路

放大器中間級的以前各級是中間級的輸入脉冲源, 它們在实际上可以看作是电流发生器。

当从内阻大的信号源发送脉冲时,具有复合反饋的綫路是无效的,因为在这种情形下,輸入阻抗随脉冲形状的改变并不引起截流者数量的重新分布。

为了減小脉冲前沿的畸变,建議在中間級采用所謂分配电流的电路[文献 2],最簡单的这种电路是由一电阻与和它串联的电威所組成(图 5)。 当在这个綫路的入端加以电流脉冲时,如果脉冲前沿是陡峭的,即电流 inx 几乎全部流入三极管的基极中;而只有当振幅緩慢改变时电流 inx 有一部分流入 LRa 电路中。在陡峭的前沿下,大部分电流流經三极管的基极,这就使得流入基区的少数載流者增多,因而引起前沿建立时間的減小。 这种电路的缺点是,只有当电威之值很大时,才能获得前沿建立时間明显的减小。

可以将分配电流的电路与具有复合反饋的电路配合使用。在

分配电流和反饋相配合的發路中,实际上沒有必要采用电域緩闊, 在这种情形下,分配电流的电路由拜联在輸入端的电阻組成(图 6)。这种綫路的电流增益:

$$K_{i} \equiv \frac{i_{\text{BMX}}}{i_{\text{BX}}} \approx \frac{\alpha(p)}{1 - \alpha(p)} \cdot \frac{R_{\text{H}}}{(r_{6} + R_{\text{H}}) + \frac{(r_{9} + R_{0})}{pC_{0}R_{0} + 1} \cdot \frac{1}{1 - \alpha(p)}}. (27)$$

 K_t 和 S_c 的表达式結构完全一样、因而 A_{vir} 等等的公式也是一样,只要在其中以 R_{u} 来代替 R_{vir}

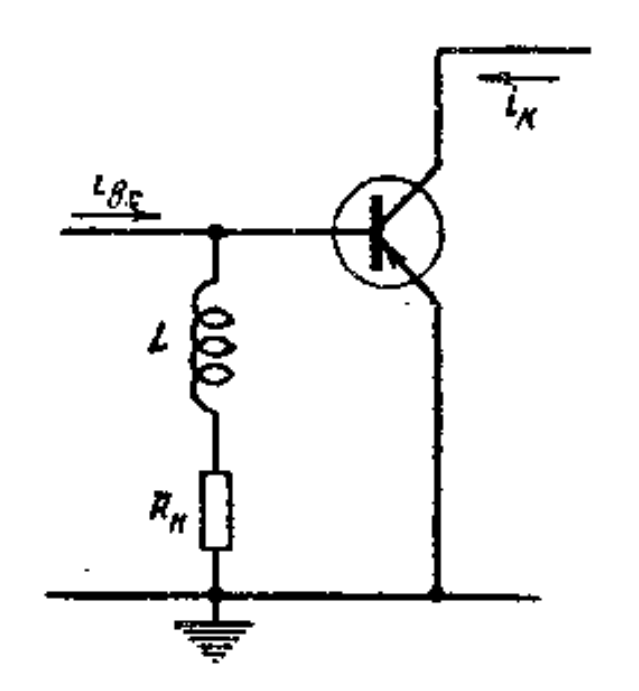
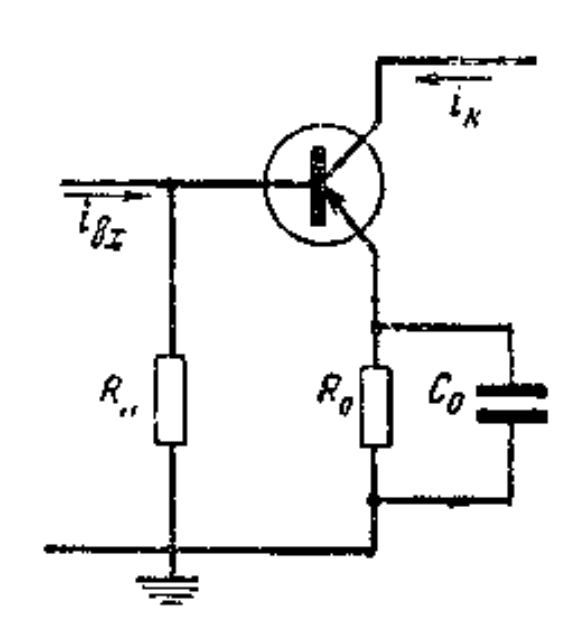


图 5 积頻放大器中利用 L_1R_1 电路的校正



在一定的放大下,图 6 綫路中的 R_R 和 R_0 愈大,延长的时間就愈小。 在实在的綫路中,电阻 R_m 接在前面的三极管集电极电路中。这个电阻以及 R_0 的增大使得供电电压必須升高。 实际上 R_R 之值限制在 1-3 千欧已經足够,因为进一步增大这个电阻不再引起 R_R 的显著减小。

3. 在短时間范围內計算視頻放大級的举例

为了一目了然,我們来計算放大器輸入級的具体例子。 中間 級的計算与輸入級的計算类似,只有一点不同,即对于前者要决定 电流增益,对于后者要决定綫路的跨导。

假定要在上冲值 A≤4%之下使过渡特性的延长时間 ta =

0.35 微秒(fmm ≈ 1 兆赫),試計算視頻放大器的輸入級。

給定三极管的参数: $r_0 = 20$ 欧, $r_0 = 100$ 欧, $f_0 = 1.5$ 兆赫, $\alpha_0 = 0.98$, 輸入发生器的电阻 $R_1 = 300$ 欧.

計算实际上归結为决定发射极电路的电阻 R_0 和电容 C_0 之值。

为此必須首先决定 a_{n0} ,然后决定 a_{n0} 以使得滿足問題的条件,即在 A = 4%之下得到 $t_{H} = 0.35$ 微秒。因为 t_{H} 与 a_{n0} 和 9 (是未知的)有关,故它們之中有一个要給定。

取 $\theta=0.7$,于是,因为按照三极管极限頻率的表达式有

$$\tau_a = \frac{\tau_D \alpha_0}{2} = \frac{1.21}{2\pi f_a} = 0.14 \, \text{\text{\text{$\psi}$}} \partial \text{ψ},$$

敌从公式(23)可得

$$a_{\alpha\theta} = \frac{2.2\tau_{\alpha}}{t_{\alpha}} \, \vartheta = 0.6.$$

其次决定

$$a_9 = a_{a0} - a_a + 1 = 1.6$$

然后按照图 3 的曲 綫 决定校正系数 m之值. 对于 $\infty = 1.6$ 和 9=0.7,校正系数等于 1.55. 从图 4 的曲 綫 可 知,当 m=1.55 和 $u_9=1.6$,上冲值 A=4%.

如果在决定了m和 us 之值后,上冲值超过容許值,則要再重复計算m和 us (給定另一9值)。

知道了 as 和 m 就可以决定:

$$R_0 = (a_0 - 1)(R_r + r_0) - r_0 = 220$$
 欧; $C_0 = \frac{\tau_a m}{R_0} = 980$ 微微法。

在中間頻率下級的跨导等于

$$S_{co} = \frac{\alpha_0}{\Delta} \approx 4 毫安/伏.$$

4. 多級放大器

設計給定增益的視頻放大器的問題归結为級数及其参数 (三

极管的型号、反饋程度等等)的选择,以保証脉冲的最小畸变。

在中間頻率的电压增益可以按照表达式(2)依下列公式决定:

$$K_{\rm H} = S_{C0} R_{\rm HN} \prod_{i=2}^{N} K_{i0i}, \qquad (28)$$

其中 Soo 为第一級的跨导;

Kin 为第 i 級的电流增益;

Ray 为輸出級集电极电路中的电阻;

N 为級数。

对于具有反饋的綫路計算 Sco, Kio, 的公式在前面已經引出。

在选择反饋程度时必須考虑到如下情况:反饋愈深时,級的过渡特性的延长时間就愈小。 但在深度的反饋下要求較多的級数,以保証給定的增益。 提高反饋程度并适当增加級数到某一最佳值,使整个放大器的过渡特性的延长时間总的說来是減小的。

在給定的增益和級数下,沒有必要使所有各級的反饋程度都相同.实际上,宜于使第一級具有較深的反饋,因为这将引起放大器輸入阻抗的增大,第一級稳定性的提高,以及等等. 同时,如果第一級是欠校正的,即工作在接近于临界状态,就得到輸出脉冲前沿的最小畸变.

5. 实际摄路

单級放大器的实际綫路示于图 7, a, 6, B 中.

图 7, a 的綫路比图 7, 6 和 B 簡单, 它要求的供电源 E 及功率之值較小,但具有重大的缺点: 基极电路中的电阻 R₆ 必須用实驗来选择,而且由于三极管参数的极不均一、对于各种类型的三极管 R₆ 之值是不同的.

在图 7, 6 和 B 的綫路中,基极电路中接入了比較低欧姆的分压器。 这些綫路易于按直流計算。但它們是較复杂的,要求附加的电阻 R。和电容 Co,且增益較低,在低頻范围內頻率特性也較坏(由于发射极电路中有电容 Co)。 这些綫路的优点是具有 小得 多的稳定系数 [文献 2],因此,当放大器工作在温度变动很大的情

形,应当偏重采用图7,6和8的綫路。

用来減小脉冲前沿畸变的复合反饋电路 R_0C_0 , 在所有情形下都会使得綫路的温度稳定度提高。如果有必要时可以采用附加的温度补偿。

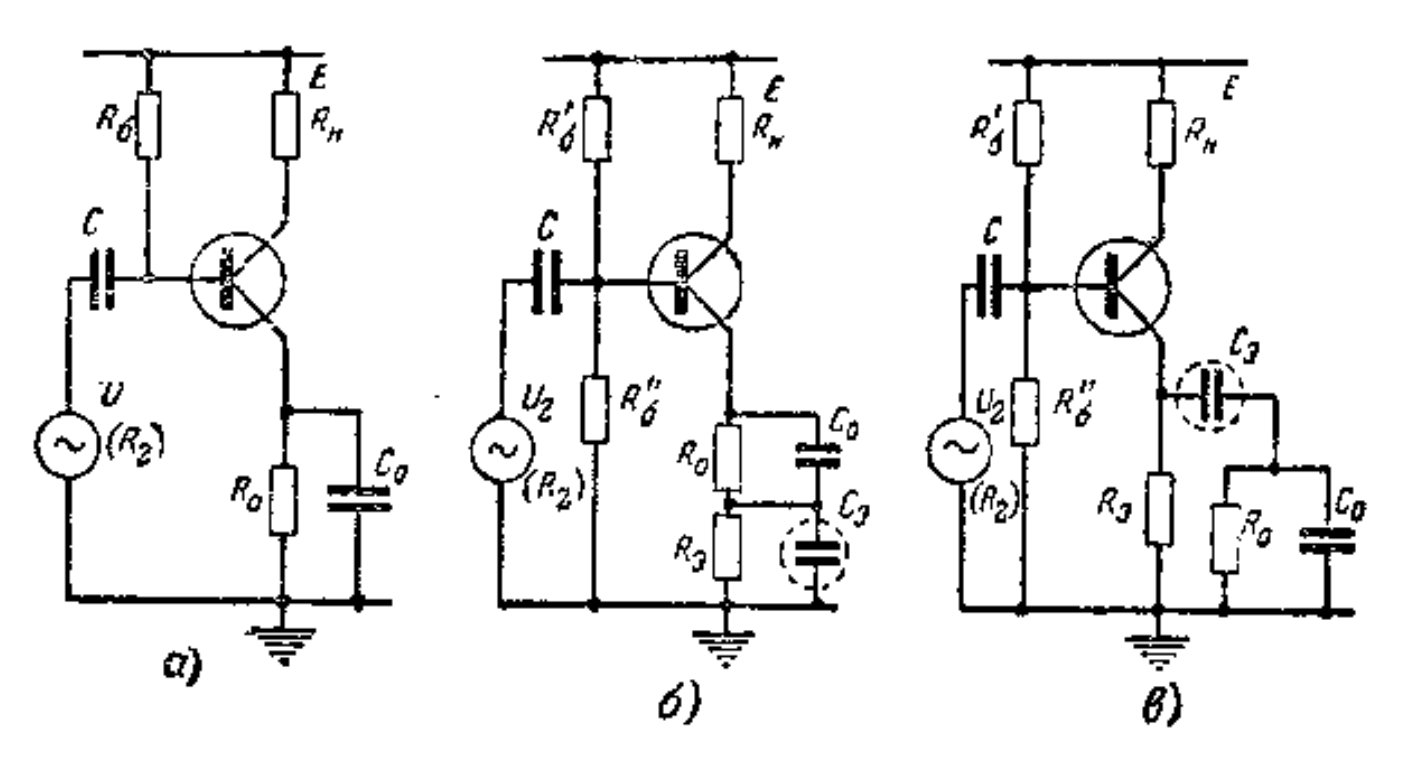


图 7 单级放大器綫路的实际方案

采用国产的(苏联的)三极管多級放大器的实际綫路引出在文献1中。

結 論

具有复合反饋的綫路,是已指出的利用基区中少数載流者的重新分布来減小脉冲前沿畸变比較有效的一个例子. 載流者的重新分布可以用不同形式的方法来实現:采用反饋电路、分配电流电路等等. 具有反饋的綫路是最有前途的,因为与減小延长时間的同时,它还使得放大設备的許多其他性能在定性和定量方面获得改进.

这个減少前沿畸变的方法应用在脉冲設备中,既能用作放大, 也能用来形成具有陡峭落差的脉冲。

利用面結合型三极管 II 14--15 可以构成这样的视频放大器: 过渡特性曲綫前沿的延长时 關 从 0.1 到 1 微 秒,增 益 相 应 地 从 3~1000、这种放入綫路也可以用在許多实际的情形。

参 考 文 献

- [1] Агаханян Т. М., Волков Ю. А., Радиотехника, 1956, 11, 39.
- ! 2] «Полупроводинговые триоды и их применение», под общей редакцией Р. Ши, ГЭИ, 1957.

面結合型三极管的启动和张弛緩路

Б. Н. 康农諾夫 (Кононов) ▶

引言

在具有正反饋的非綫性脉冲設备中,启动綫路(触发器)和张 他发生器是用得广泛而且重要的一类,它們具有很多不同的綫路。 对称触发器和多谐振盪器是这类綫路中最普遍的典型代表、虽然 根据綫路的类型和对綫路的要求及应用的不同,脉冲綫路的計算 方法可以有很大的改变,但分析所指出的典型方案也可以給出当 計算其他綫路时有用的結果。

1. 面結合型三极管对称触发器

半导体三极管对称触发器的綫路(图1)* 在外表上与电子管

触发器綫路沒有区别,这个綫路也具有两个稳定状态,在两个状态下三极管之一开启,另一个则封閉,然而,这个綫路的計算原理与电子管触发器的計算有着重大的差別。

在直流开关状态下的面結合型三極管 为了引导决定綫路元件的公·式,我們来研究接成共发射极綫路的面結合型三极管的特性曲綫(图2).

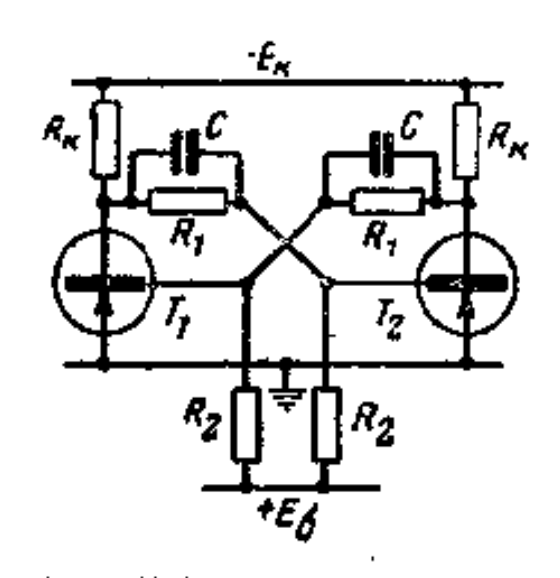


图 1 具有外偏压的触发器緩路

^{*} 图 1 及以下所利用的面結合型三极管的符号,按照我們的意見,能更好地反映面 結合型三极管的結构并比通常所用符号簡单,通常所用符号值干保留作为点接 触型三极管的符号,这样,可以避免把面結合型三极管和点接触型三极管的緩 路弄混,这两种三极管即令造形一样,其工作机构也可相差很远。——編者注。

三极管的輸出特性曲綫 in (una) 在外表上与电子管五极管的特性 曲綫相似 (集电极电流几乎与集电极电压无关),但曲綫的参变数 不是輸入电压而是輸入电流 ia. 輸入电路 要消耗电流是半导体三极管作为用电流控制的設备的原則上的特点,在計算大多数半导体綫路时都要考虑这点。

在伏安特性曲綫上可以分出三个区域,这三个区域对应于三极管結上电压的不同配合。

区域 I (集电极电流截止区) 两个結在反方向加以偏压($u_{8,6}$ <0, $u_{6,9}$ > 0). 在这个状态下发射极电流接近于零,而經过基极-集电极电路流过起始的集电极电流 I_{80} , I_{80} 是与电压无关的.

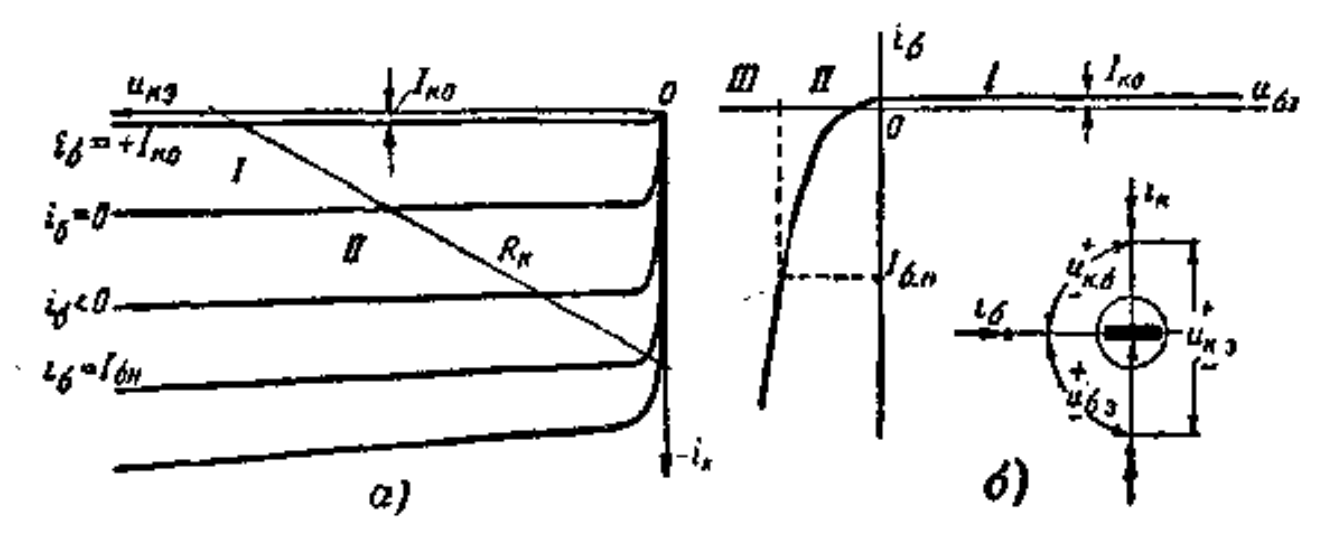


图 2 面結合型三极管的靜特性曲綫 a——輸出特性曲綫族; 6——輸入特性曲綫

区域 \mathbb{I} (有效区) 集电結在反方向、发射結在正方向加以偏压($u_{R,0} < 0$), $u_{6,0} < 0$)。大多数綫性电路工作在有效区。

区域 II (集电极电流飽和区) 两个结在正方向加以偏压(we,6 >0, we,e < 0). 如果集电极电流用电阻 Re来限制,而基极負电流超过某一值 Ie,e ——基极飽和电流,三极管就进入飽和区. 在飽和状态下,集电极来不及收集发射极所注入的所有空穴,而在基极中聚集一定数量的多余少数截流者. 面結合型三极管飽和状态的特点是,在任何一对引綫間的电位差都非常小(不大于0.1—0.2 伏). 医此,在許多情形下可以把飽和三极管认为是一个节点,其电位就是所有电极的共同电位(三极管在飽和时好象是"集中在一点").

触发器的三极管对应于稳态的工作点位于截止区和 飽 和 区。但是,要决定能实现两个稳态的条件,必须研究三极管在有效区的性能。

我們知道,对于三极管 一 $i_8 = \alpha i_0 + I_{10}$ 是正确的(集电极电流随集电极电压而变的关系可以略去). 进行替换 $i_0 = -(i_0 + i_0)$, 并用 i_0 表示 i_8 ,我們有:

$$i_{\rm K} = \beta(i_6 - I_{\rm E0}) - I_{\rm E0},$$
 (1)

其中 $\beta = \alpha/(1-\alpha)$ 是三极管从基极到集电极的电流放大系数。

从方程式(1)看出,对于封鎖的三极管必須有 is = +Im, 即在基极中应当给定电流 Im. 同时,从輸入特性曲綫 is(us,s)(图 2)看出,基极上的电压是正的,且实际上不影响基极电流。因此,封鎖三极管的輸入电路与电流发生器 Im 等效,而封鎖条件用下列不等式表示:

$$u_{6,\mathbf{s}} \geqslant 0, \tag{2}$$

当 16 = 0 时,經**集**电极电路流过电流 $-(\beta + 1)I_{R0}$,这个电流之值可以很大。

集电极电流在飽和状态下接近于 - E_k/R_k, 因为飽和三极管的集电极与发射极間电压极小。将这个数值代入三极管的方程式(1)中、得到基极飽和电流 I₆, 的表达式:

$$I_{6,H} = \frac{-E_{R}/R_{K} + I_{R0}}{\beta} + I_{R0}. \tag{3}$$

因为在寬广的温度区間內,特別是在低温时(这时 I_{10} 很小),必須保証开启三极管的飽和状态,故基极負电流的絕对值应当超过数值 $E_{10}/\beta R_{10}$:

$$|io| \ge \frac{E_{\kappa}}{\beta R_{\kappa}}.$$
 (4)

不等式(4)表示开启三极管的飽和条件。

利用截止区和飽和区是非綫性脉冲綫路在原則上的特点。在原理上, 触发器可以工作在这种状态下: 三极管之一工作在特性曲綫的区域了或 II. 而第二个三极管工作在有效区。但这时輸出脉

冲的振幅减小了,而主要的,輸出脉冲的振幅和形状开始与温度、零件参数的不均一性、三极管的个别特性有密切的关系,而綫路变为极不可靠的. 所以,綫路必須使得,封鎖三极管工作在集电极电流的截止区,而开启三极管工作在飽和区.

具有固流外偏压的触發器的計算 我們来引导決定具有外偏 压的触发器(图 1)的参数的計算公式[文献 1].

設触发器左边的三极管封鎖,而右边的鲍和.于是,封鎖三极管的基极电位可以利用图 3 所示等效綫路(右边的三极管"集中在一点",并具有大地的电位)来計算:

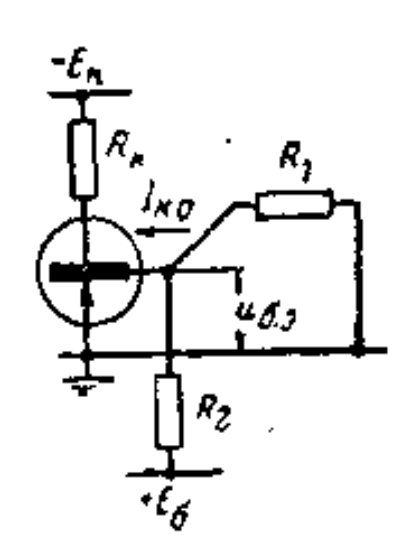
$$u_{6,9} = \frac{R_1}{R_1 + R_2} (E_6 - I_{100}R_2).$$

将这个表达式代入式(2)中、得到触发器一个三极管的封鎖条件:

$$\frac{E_6}{R_2} \geqslant I_{\text{EQ}},\tag{5}$$

在最高温度下, Im 具有最大值 Im маке, 上列条件也应当满足。在这个最不利的情况下,在表达式(5)中可以采用等号

$$R_2 = \frac{E_6}{I_{E0 \text{ Maios}}}.$$
 (6)



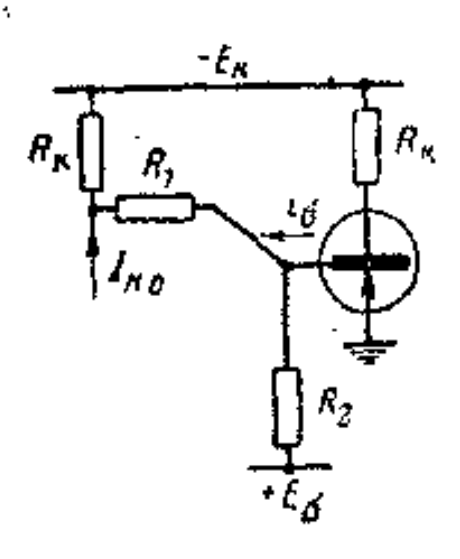


图 3 触发器中三极管均衡条件的决定

图 4 触发器中三极管饱和条件的决定

触发器右边的飽和三极管的基极电流絕对值等于(图 4):

$$|i_6| = \frac{E_{\rm K} - I_{\rm ES}R_{\rm K}}{R_1 + R_{\rm K}} - \frac{E_6}{R_2}.$$
 (7)

输出脉冲的振幅不大依賴于温度的条件是:

$$\frac{E_{\kappa}}{R_{\kappa}} = |I_{\kappa,\text{otsp}}| \gg I_{\kappa n}. \tag{8}$$

考虑到式(8),可以将式(7)改写成:

$$|\hat{i_6}| = \frac{E_8}{R_1 + R_8} - \frac{E_6}{R_2}$$

将这个表达式代入飽和条件(4)中,得到:

$$R_1 \leqslant \left(\frac{\beta}{1 + \beta \frac{E_6}{E_K} \frac{R_K}{R_2}} - 1\right) R_K. \tag{9}$$

. 在最不利的情形下 $\beta = \beta_{MRR}$,从不等式(9)可以引出等式

$$R_1 = \left(\frac{\beta_{\text{MRH}}}{1 + \beta_{\text{MRH}} \frac{E_6}{E_{\text{K}}} \frac{R_{\text{K}}}{R_2}} - 1\right) R_{\text{K}}. \tag{10}$$

如果已經知道 E_{κ} , E_{δ} , R_{κ} 和三极管的参数, 利用所引出公式可以計算分压器的电阻 R_1 和 R_2 . 供电电压通常是給定的, 而 R_{κ} 之值决定开启三极管的集电极电流 E_{κ}/R_{κ} .

集电极上輸出脉冲电压的振幅等于

$$U_{\rm BMX} = \frac{R_1}{R_1 + R_{\rm R}} (E_{\rm R} - I_{\rm E0} R_{\rm K}).$$

如果 β 足够大, 則 $R_1 \gg R_8$ 而 U_{BMX} 与 E_8 相差极小.

必須強調指出,与电子管触发器不同,不仅是反饋分压器两臂的比值,而且是电阻 R₁和 R₂ 的絕对值都直接影响半导体三极管触发器的状态。

为了在电阻的偏离 δ_k 和供电电压的容差 δ_b 之下保証触发器的可靠工作,参数的計算应按下列公式进行:

$$R_{2} = \frac{1}{1 + \delta_{R} + \delta_{E}} \frac{E_{6}}{I_{E0 \text{ Marg.}}},$$

$$R_{1} = \frac{1}{1 + 2\delta_{R}} \left[\frac{\beta_{\text{MRH}}}{1 + (1 + 2\delta_{R} + 2\delta_{E})\beta_{\text{MAH}} \frac{E_{6}}{E_{E}} \frac{R_{E}}{R_{2}}} - J \right] R_{E}.$$

到現在为止, 我們假定 $\beta = 常数。实际上微分电流放大系数是与状态有关的: 随着集电极电压的增高而增大, 随着集电极电流的增大而减小。 为了可靠地实现触发器缓路中的两个状态, 在所有計算公式中必須以平均值 <math>\beta = i_R/i_0$ 代入, 这平均值是在工作电流 $I_{B,orsp} = E_R/R_R$ 和小的 $u_{B,0}(\sim 1$ 伏) 之下測出的。同时曾經发現,三极管 $\Pi_1A-\Pi_1E$ 的平均放大系数

$$\beta = (0.5 - 0.7)\beta_{\rm H},$$

其中 β_n 为在正常状态 (1毫安, 10 伏) 下测出的微分放大系数。

所叙述的静态計算方法,曾經用□1型面結合型三极管在温度区間 -50-+60℃ 內进行多次校驗。

Inn Marce 之值按下列公式計算:

$$I_{\text{KO Make}} = I_{\text{KO 20}^{\circ}} e^{0.07(\frac{10}{\text{Make}} - 20^{\circ})} \approx I_{\text{KO 20}^{\circ}} e^{\frac{\frac{10}{\text{Make}} - 20^{\circ}}{10}}.$$
 (11)

在所有情况下,在指出的温度区間內都能正常工作。 当任意更换三极管时,只要三极管的 $\beta > \beta_{MRH}$,而 I_{NL} 不超过計算时所取的值, 綫路的工作就不致破坏。 但在綫路中使用具有較大的 β 的三极管时(綫路是按小的 β 值計算的),会使触发器的灵敏度变坏。

作为例子, 引出以 $\beta_{\text{MRH}} = 10$ 的三极管构成的触发器的参数,是按照使用在温度低于 60° C 时而算出的。当 $I_{\text{KQ} 20^{\circ}} = 10$ 微安, $B_{\text{H}} = 10$ 伏, $E_{6} = 1$ 伏, $R_{\text{H}} = 2$ 千欧,求得 $I_{\text{KQ} \text{MARE}} = 160$ 微安, $R_{2} = 5.1$ 千欧, $R_{1} = 12$ 千欧.

具有自动偏压和沒有偏压的触發器 除去具有外偏压的触发器綫路之外,也可以用半导体三极管构成具有自动偏压的綫路(图5),这个方案的計算公式具有如下形式:

$$R_2 = \frac{R_8}{R_K + R_9} \cdot \frac{E_K}{I_{K_0 \text{ Marc}}}; \qquad (12)$$

$$R_1 = \left(\frac{\beta_{\text{MMH}}R_2}{R_2 + \beta_{\text{MMH}}R_0} - 1\right)R_{\text{K}}; \tag{13}$$

$$U_{\text{BMX}} = \frac{R_1}{R_1 + R_K} \left[E_K \left(1 - \frac{R_2}{R_2 + R_K} \right) - I_{K_2} R_K \right]. \tag{14}$$

用面結合型三极管还可以实现对称触发器的一个方案,这是与电子管綫路不相似的——沒有偏压的触发器(图 6). 在这个綫路中,开启三极管是飽和的,而經过"封閉的"三极管流过相当大的电流 I_{80} ($\beta+1$),因为其基极电流等于零。当温度升高时,这个电流急速增长,綫路在 35-40 C 时已失去工作能力。在三极管的基极与地之間接入电阻 R_2 ,可以使封閉三极管的集电极电流大大減小。但这个綫路所用的零件数和具有外偏压的触发器一样,不同的是对自激的灵敏度較低。

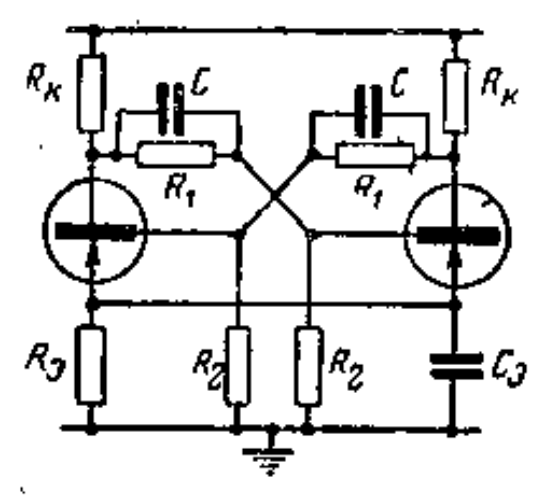


图 5 具有自动偏压的触发器

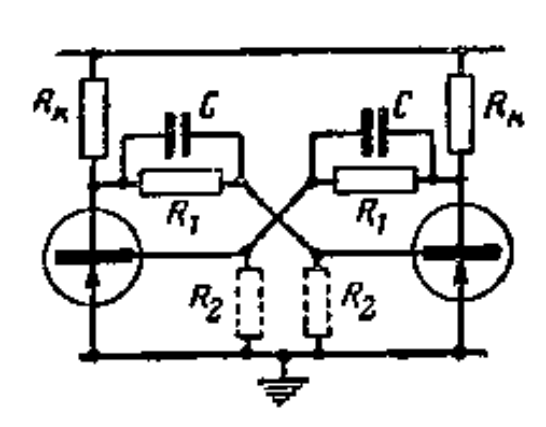


图 6 无偏压的触发器

在沒有偏压的触发器中,輸出脉冲的形状与矩形有极大的差别(图7,水平綫相当于电平 $E_{\rm E}$). 触发器翻轉之后,在"封閉的"三极管基极上馬上經过加速电容 C 得到正的脉冲,这脉冲在某一时間将三极管填正封鎖,在封鎖时 集电 极 电 位接 近于 $E_{\rm E}$ (如果 $R_{\rm I} \gg R_{\rm E}$). 此后由于电容的放电,集电极电位与 $E_{\rm E}$ 相差一数值 $(\beta+1)I_{\rm E0}R_{\rm E}$. 当温度升高时,这些畸变变得特别明显,如果脉

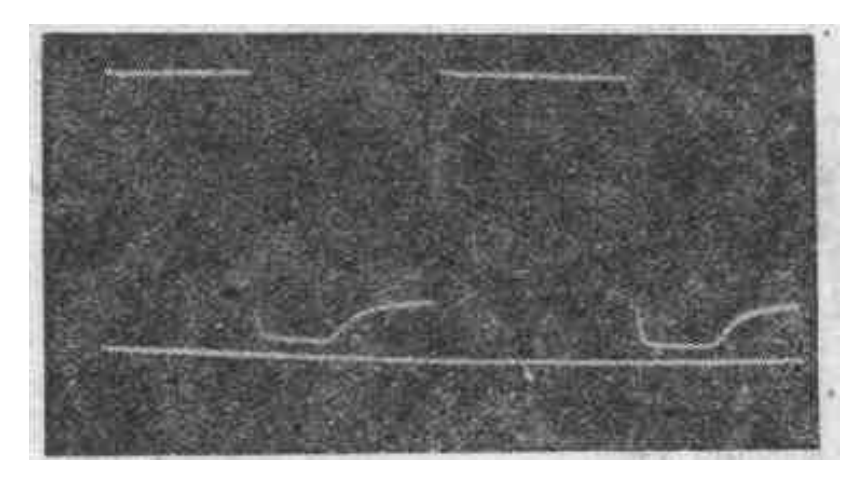


图 7 在沒有偏压的触发器中,輸出电压脉冲的波形图

神的頻率很高,以致在脉冲重复周期内加速电容来不及放电,这个 綫路中輸出脉冲的形状就接近于矩形的。

在具有偏压的綫路中逍温度高于計算可所限定的值时,也发生这同样的波形畸变。同时,封鎖条件也不再实現,而"封閉的"三极管中开始有相当大的电流流过。

触發器对自激的穩定性 触发綫路有时会发生自激,变为多諧振盪器的状态。如果开启的三极管没有充分飽和,封閉的三极管沒有充分封鎖,就产生振盪。同时,在正常工作时綫路本应該是稳定的状态下,由于总的交流增益可以大于1,也有可能发生自激。

在沒有偏压的触发器中,"封閉的"三极管完全保留其放大性能,因而这个綫路最易发生自激;而只有在足够深的飽和下才能稳定,但这又限制了总的增益。即令开启的三极管沒有飽和,具有偏压的触发器在給定温度区間內也是飽和的,但温度进一步升高时仍可能发生自激。

对称触發器翻轉时的过渡过程 現在我們來定性地研究触发器触发时經过基极上的二极管的过渡过程(图 8)。 設最初三极管 T₁ 飽和,而 T₂ 封閉。 經过二极管 A₁ 加于 T₁ 的基极的正輸入

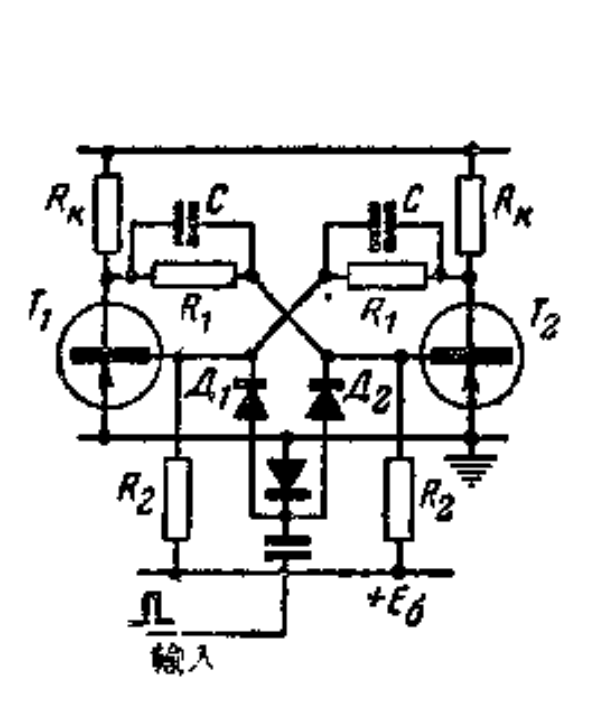
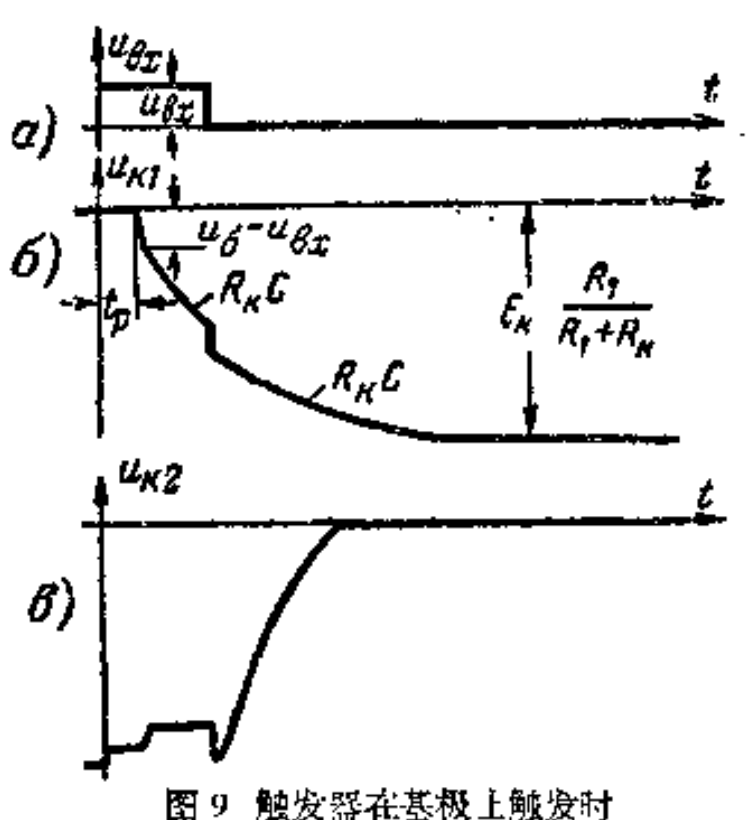


图 8 触发器絕基极上的 二极管的触发



輸出脉冲前后滑的形状

· 258 ·

脉冲(图9,a),在延滞了某一时間 1, 后使飽和三极管 T₁封鎖,这一段时間 1, 是为了使基极中多余的少数載流者消失所必需的。在时間 1, 后,开始出現了电压 11, 后沿(負的)急剧变化的区段,所变化的数值为 11, 6 一 11, 15 (图 9,6),其中 116 是封閉三极管的正电位,11, 15 是触发脉冲的振幅 (如果 11, 15) 16, 则没有这个区段)。然后,在触发电路中的第二个二极管 A₂ 开启。如果 A₂ 的正向电阻和发生器的内阻远小于 R₁, 则后沿的延續可用具有时間常数 R₁C 的指数规律来描述。触发器的第二个三极管在触发脉冲的时間内仍然是封閉的,因为在其基极上加有正脉冲。这时,除去由于触发脉冲出现的上冲值之外,第二个三极管的集电极电位不改变(图 9, 18),触发脉冲是經过加速电容加上去的。

在触发脉冲終了的瞬間,后沿急剧突变一数值 unx,此后三极管 T2 开启。因为开启三极管的輸入电阻不大,故加速电容継續对封閉三极管的負載起旁路作用,因此后沿可用具有时間常数 RRC的同一指数規律来描述。加速电容愈大,封閉三极管集电极电压的改变就进行得愈慢。由此可知,加速电容应当有一上限。但也不可以过分地降低 C 之值,因为这样会使 unx 的前沿变坏。前沿的形成是由电流負脉冲从封鎖三极管的集电极經加速电容 C 到达开启三极管基极的结果。 C 之值愈大,負电流的 基值及其持續期愈大,前沿也就愈短。因此,加速电容应有某一最佳值。

計算指出,在触发时加速电容的最佳值决定于下列关系:

$$C = \frac{0.6}{f_a R_E},\tag{15}$$

其中 f_a 是共基极綫路电流放大系数的极限頻率。从方程式(15)得到: 对于 Π_1 E 三极管 (f_a = 500 千赫),当 R_B = 2 千欧, C = 600 微微法;而对于 Π_1 M 三极管(f_a = 1.5.兆赫), C = 200 微微法.

再来研究其他因素对触发器快速动作的影响。 已經指出, 在 封鎖三极管的集电极上具有时間延滞 4. 飽和的程度愈大, 触发电 流的振幅愈小, 这个延滞就愈大。所以, 如果触发脉冲的持續期有 限制, 則当飽和程度增大时(即在綫路中利用多大于計算值的三极 管时),保証可靠触发所必需的电流振幅值也应增长,即触发器的 灵敏度变坏了[文献 2]。由此可知,在快速动作的触发器中必须将 三极管的β值在两方面給以一定容許的限制,例如,不大于土(20 一30)%,在宽广的温度区間內这是难于保持的。

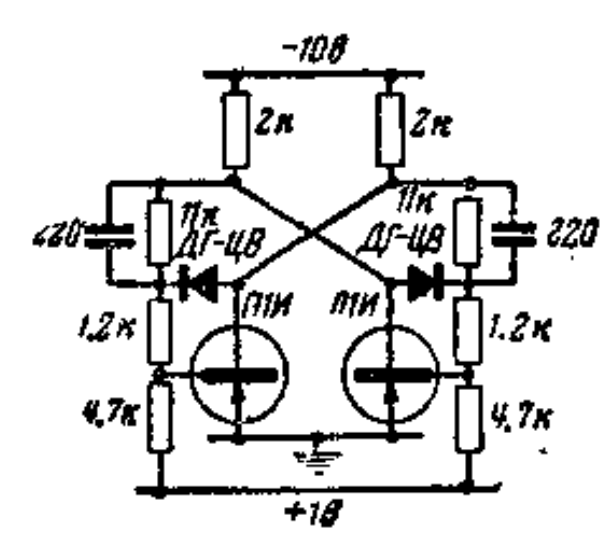


图 10 求飽和的触发器

利用具有非綫性反饋的未飽和綫路 [文献 2, 3],是排除饱和綫路 [文献 2, 3],是排除这个缺点最有效的方法。未飽和触发器的例子示于图 10 中。除去沒有延滯之外,利用非綫性反饋可以不改变綫路参数而使β所容許的差值从某一βκαια值扩大到无限。

現在来研究触发脉冲持續期。的影响. 从图 9 的图形可知, 后沿的持續期实际上不应知, 后沿的持續期实际上不应与加有关, 这已被实验証实. 但对于长脉冲的情形, 在时間如为地域,在时间和速电容被充电的程度要比短脉冲的情形为大. 这就伴随着相当坏的前沿, 因为开启

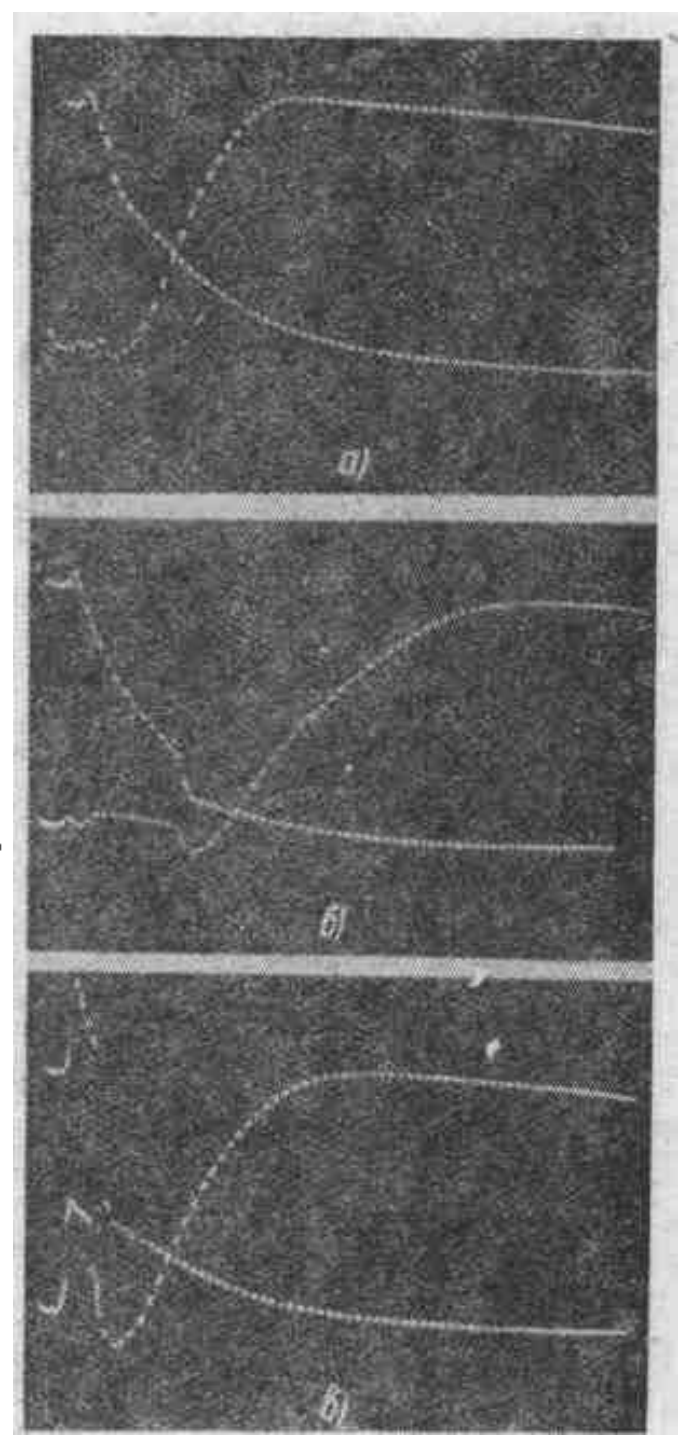


图 11 在三极管 [[1]E 的未飽和触发器中,輸出脉冲前后沿的波形图。时标 0.1 微秒

 $a - - - \mu_{BX} = 1.5$ 伏, $t_B = 0.5$ 微秒, $t_{B} = 1.5$ 俄秒; $t_{B} = 1.5$ 微秒; $t_{B} = 0.5$ 微秒; $t_{B} = 0.5$ 微秒

三极管的基极电流等于脉冲移了后加速电容的充电电流。 因此,

在触发时触发脉冲的持續期应有一上限。山的下限等于使触发器 原来开启的三极管完全封锁的时間,且与脉冲振幅及鲍和程度有 极密切的关系、

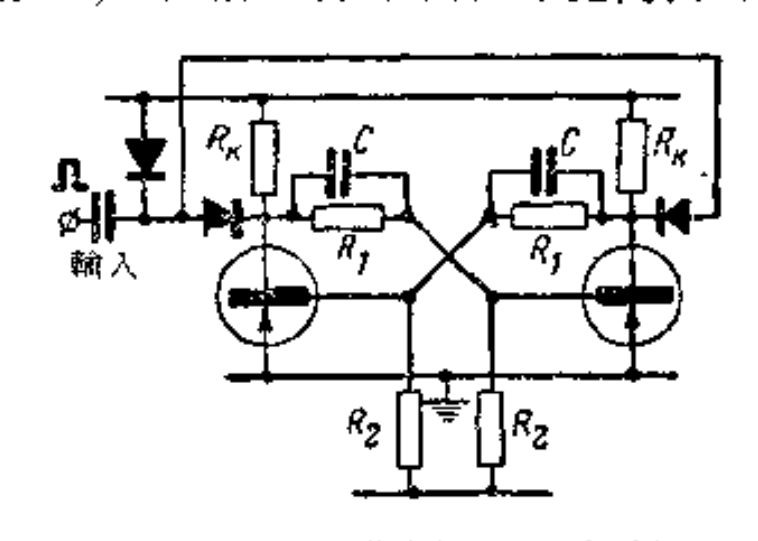
应当指出,当开启三极管工作在飽和边界上时(例如,未飽和 的触发器),表达式(15)是正确的;如果在飽和的緩路中利用β值 相差較大的三极管,則加速电容之值应当增大,这将伴随着快速动 作的变坏,这充分指出了未飽和的綫路的优点。

触发脉冲 unx 的振幅也有同样的影响。当 unx 增大时,最初 表現出前后沿的縮短,然后,前沿沂始急剧增长,因为加速电容在 脉冲持續期内的更加速充电,开启的基极电流的峯值減小了。

图 11 所示是由三极管 Π_1 E ($f_a = 500$ 千赫、 $R_x = 3$ 千欧、 C=560 微微法)构成的未飽和触发器輸出脉冲的波形图,这些图 形証实了以上的分析,

最后,我們来研究偏压电路对触发器快速动作的影响... 閉三极管基极上的正电位 46 增大时,在第一个三极管离开飽和时 usi 陡峭落下的幅度也要增大:由于这个原故,在脉冲終了后开启的 第二个三极管的电流振幅将减小,而向沿也就变坏,为了提高快速

动作,必須把偏压 E6減低到 最小值,但要能保証三极管 可靠地封鎖。 此外,由于加 速电容充电和放电电阻的不 同、在高頻吋出現了"动偏 压"、其影响与静偏压相似。要 减小动偏压的效应,必須将 R_2 減小到 $(1--2)R_k$ 的数量級。 图 12 触发器經集电极上二极管的触发



对于触发器触发时过渡过程的計算証明了、当触发电流約为 $E_{\rm R}/R_{\rm R}$ 、脉冲持續期和加速电容都具有最佳值、且偏压为最小时, 未飽和触发器的最高重复頻率 F stake 等于

$$F_{\text{make}} \approx \frac{2}{3} f_{a_{\bullet}} \tag{16}$$

图 12 中录出了供给触发脉冲的另一方法:經过集电极上的二极管。在这里,輸入正脉冲加到期待脉冲加上而获得翻轉的那个三极管之上。对于图 12 的情形,由于导向二极管的作用正脉冲加在封闭三极管的集电极上,并經过 R_1C 电路加到开启三极管的基极上而使其封鎖。要求比較大的触发信号是这个綫路的缺点。

2. 面結合型三极管对称多諧振盪器

重复頻率的計算 現在轉來研究面結合型三极管的多諧振盪器(图 13). 这个綫路与具有正偏压的电子管綫路相似。但是馬上应該說明,按照典型的电子管多諧振盪器綫路构成的半导体多谐振盪器,虽然也可自激,但其产生的振盪与矩形相差极远。

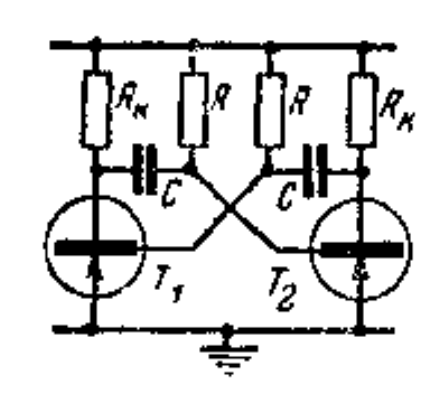


图 13 对称多谐振荡器

对于图 13 的綫路,在半个 周期内开启的三极管工作在鲍 和状态,为此应有:

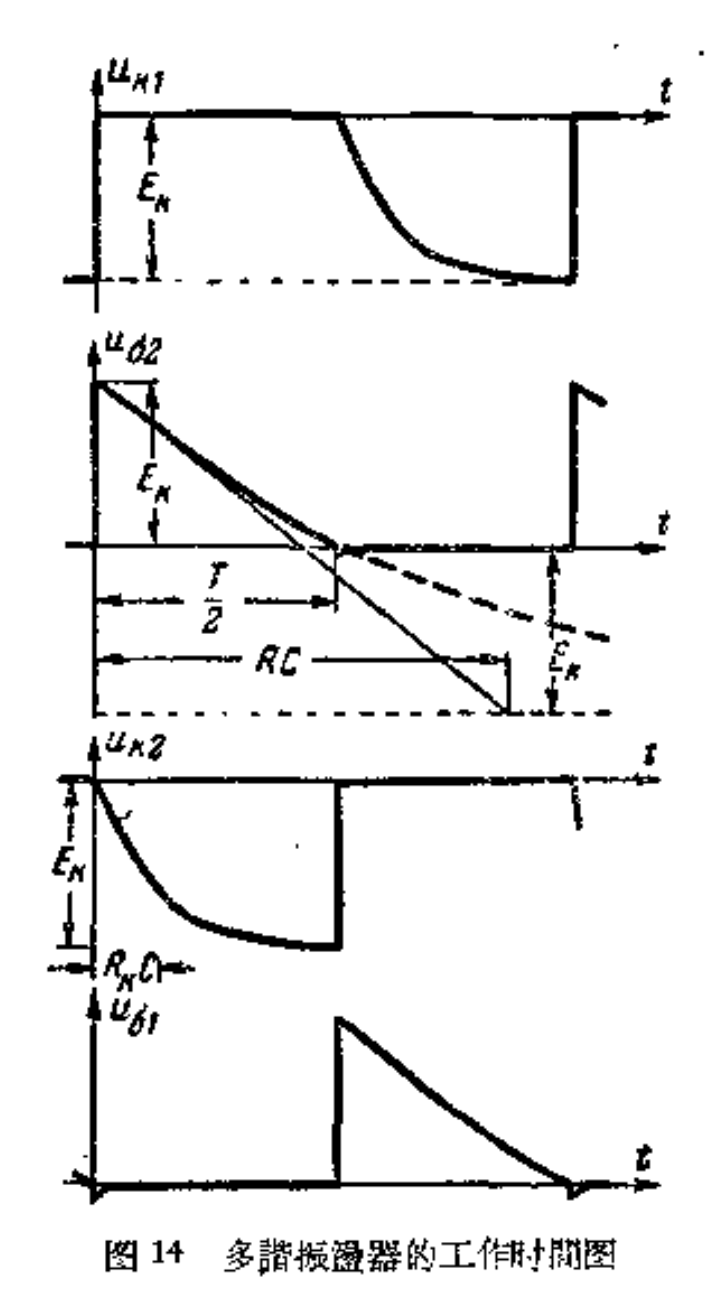
$$\frac{E_{\kappa}}{R} > \frac{E_{\kappa}}{\beta R_{\kappa}},$$

或

$$R < \beta R_{R_{\star}} \qquad (17)$$

这时,另一三极管则为經过耦 合电容 C 的正电压降所封鎖.

我們来作出多諧振盪器各 电极上电压的时間图(图 14),



在图中取綫路翻轉的瞬間作为取讀的开始。 在这一瞬間,原来封

閉的三极管 T, 开启, 而在其集电极上形成陡峭的前沿; 这个降落 仿到三极管 T₂的基极上, T₂就封鎖了. 在第二个三极管的集电 极上, 因为其負載为耦合电容所旁路, 形成了具有时間常数 R₈C 的指数形后沿(第一个三极管在这瞬間开启, 其輸入电阻很小). 随着电容的放电、电压 462 降低、而当其达到零值时就发生新的 翻轉。

462 的最初值接近于 Ex; 462 趋近于 一 Ex, 从方程式

$$u_{0_2}\left(\frac{T}{2}\right) = 2E_{E} e^{-\frac{T}{2RC}} - E_{E} = 0$$

决定振盪的半个周期 T/2 [文献 4]:

$$\frac{T}{2} = RC\ln 2 \approx 0.7RC; \tag{18}$$

$$T = 2RC\ln 2 \approx 1.4RC. \tag{19}$$

对于不对称多諧振盪器

$$T = 0.7(R_1C_1 + R_2C_2). \tag{20}$$

重复頻率与温度的依从关系 我們來研究关于頻率的温度稳定性的問題。上面已經指出,触发器工作的温度区間决定于电流 I_{140} , 这电流是在封鎖三极管的基极中流通的。在多諧振盪器的情形下、 I_{150} 决定頻率的温度稳定性。事实上,考虑了 I_{240} , u_{62} 所趋近的电压已等于

$$-E_{\kappa}-I_{\kappa_0}R$$
.

故 46. 变化的規律将为

$$u_{0z} = (2E_{R} + I_{120}R)e^{-\frac{i}{RC}} - E_{11} - I_{120}R,$$

而振盪周期为

$$T = 2RC\ln\left(2 - \frac{I_{E_0}R}{E_E + I_{E_0}R}\right). \tag{21}$$

从表达式(21)和(11)看出,随着温度的升高,周期减小而頻率增高。实际上,即分是良好的三极管($I_{E_0} = 5$ 微安),在 $E_E = 10$ 代、C = 6800 微微法、R = 68 千欧的綫路中,当 20℃ 时得到

F = 1.69 千赫, 当 60 ℃ 时得到 F = 2.12 千赫, 而当 80 ℃ 时得到 F = 3.37 千赫.

当 R=11 千欧、C=0.04 微微法时,在同一綫路中,当 20 ℃ 时 F=1.69 千赫,当 60 ℃ 时 F=1.77 千赫,而当 80 ℃ 时 F=2.12 千赫。这強調說明了在綫路中采用不大的 R 的必要性。

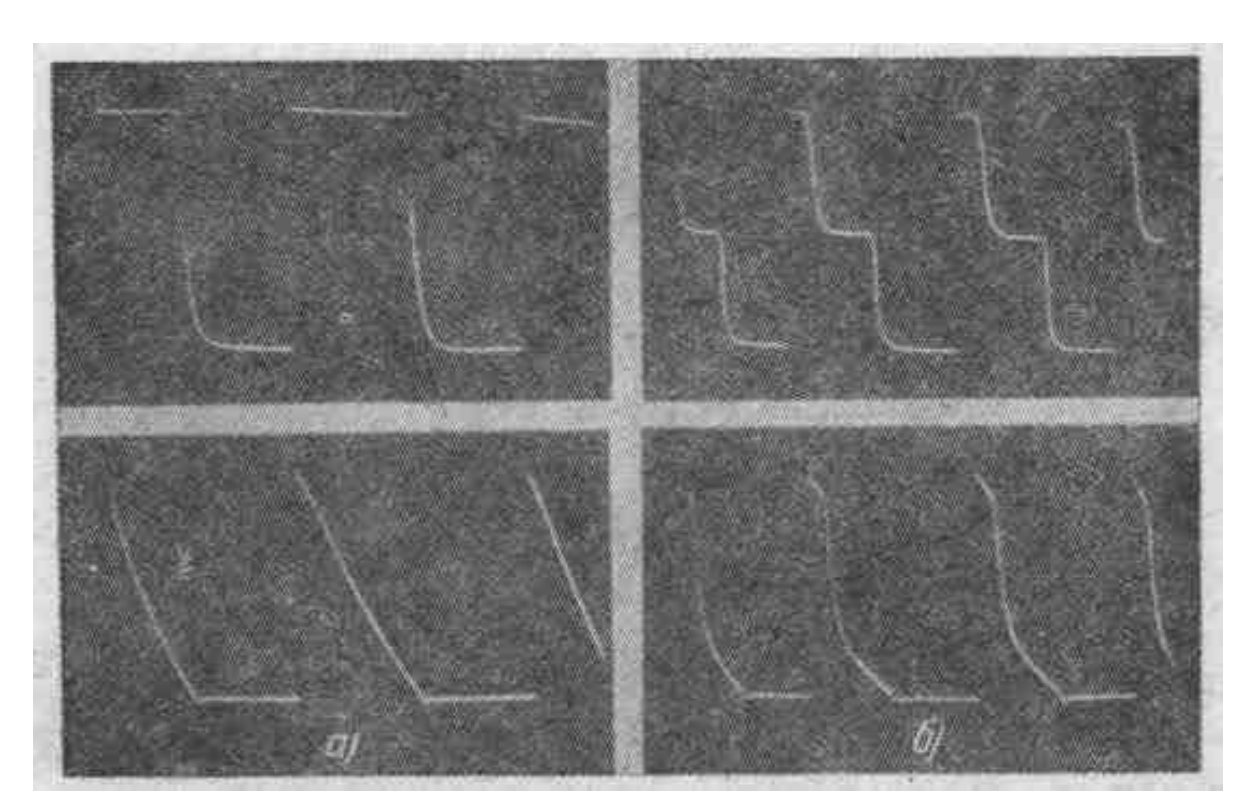


图 15 对称多谐振盪器集电极和基极上电压的波形图 2——鲍和多谐振盪器; 6——朱飽和多谐振盪器

此外,还有一个情况必须将 R 加以上限。如果开启三极管的他和条件沒有实現,則脉冲的形状要发生剧烈的畸变。这可由图 15 来說明,图中示出了飽和多譜振盪器集电极和基极上的脉冲(6)。对于未飽和 的多譜振盪器,頻率已不能按以上所引出的公式計算。正是由于这个原因,半导体三极管多譜振盪器的經典綫路不能給出良好的 結果。但是必須指出,当 R 过小(过分飽和)且电容 C 不够大时,多 諧振盪器将不能自激。

多谐振盪器的最大版冲間隙度 上面已經說到,輸出脉冲的后沿决定于常数 $R_{\kappa}C_1$ 和 $R_{\kappa}C_2$,而振盪周期决定于 R_1C_1 和 R_2C_2 之值。 設要得到最大的間隙度,同时,按照式 (18) 脉冲持續期等于

0.7 R_1C_1 ,而休止期等于 $0.7R_2C_2(R_2C_2 > R_1C_1)$ 。在两个集电极上脉冲的后沿大約等于 $3R_KC_1$ 和 $3R_KC_2$ 。較大的值即 $3R_KC_2$ 应当小于持續期即 $0.7R_1C_1$,否則封鎖三极管的集电极电位不 可能 达到一 E_K 。因此

$$3R_{\rm E}C_{\rm b} < 0.7R_{\rm b}C_{\rm b}$$

哎

$$C_2 < 0.23 \frac{R_1}{R_K} C_{1*}$$

間隙度2等于

$$Q = \frac{R_2 C_2}{R_1 C_1} < 0.23 \frac{R_2}{R_E}.$$

为了使开启三极管工作在鲍和状态,必须有 $R_2 \leq \beta R_{K}$,由此,在輸出脉冲振幅不变的条件下,最后有:

$$Q \leqslant \frac{\beta}{5}. \tag{22}$$

上面所研究的例子自然包括不了所有各式各样的启动和张弛 綫路,但是,所指出的对称触发器和多踏振盪器的工作特点和計 算原則,对于許多其他半导体三极管的脉冲綫路仍是共同的.

参考文献

- [1] Кононов Б. Н., Степаненко И. П., Пересчетные схемы на полупроводниковых триодах, Атомная энергия, 1957, 2, 4.
- [2] Кононов Б. Н., Применение нетинейной обратной связи для устранения насышения полупроводниковых триодов в импульсных схемах. Радиотехника и электроника, 1957, 2, 10, 1253.
- [3] Кононов В. Н., Авторское свидетельство № 109140 с приоритетом от 22 ноября 1956 г. на «Способ устранения задержки при запиоании крусталлического триода».
- [4] lackets A. E., Junction transistor multivibrators, Electronic Engineering, 1956, 5.

半导体直流电压变换器

F. C. 港名 (Hoskun)

1. 小功率变换器的耧路

把某一电压的直流变换为另一电压的直流,是設計近代电子器件时經常遇到的問題。对于功率約为几瓦或十几瓦的情形,解决这个問題的原有方法之一是应用振动变流器。但振动变流器具有一系列严重的缺点,其中主要的是:时常发生故障;使用期限不长:对无綫电接收机产生干扰,这是与它具有机械轉换接触有关的;具有不高的效率;具有比較大和比較重的变压器和平滑滤波器(由于轉換接触的頻率不高)。

利用学导体三极管可以极完善地解决直流变换的問題。在这种情形下,最简单的方法是采用学导体三极管自激发生器的变压器綫路,华导体三极管由具有电动势 E₁ 的电源供电,这电动势的电压就是要加以变换的。自激发生器所产生的交流电压被变换到所需要的数值,并由学导体二极管整流(图1)。在这种情形下,自激发生器最适宜的頻率值通常位于1一5千赫之間,因为这样,一方面变压器和平滑滤波器的尺寸可以足够小,另一方面华导体二极管和三极管的頻率性能还不致使所产生的和被整流的电压波形

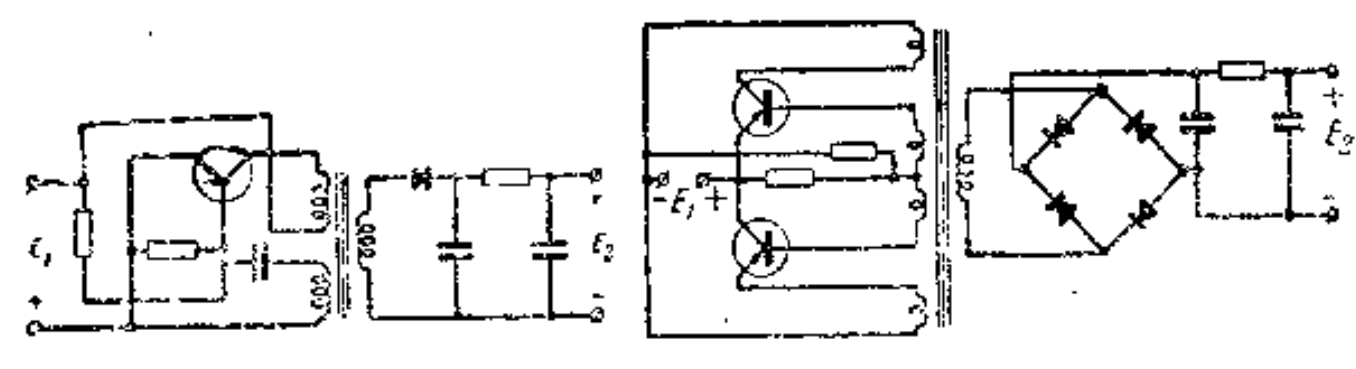


图 1 中导体变换器的最简单被路

图 2 半导体变换器的推挽綫路

发生明显的畸变.

为了使变换器获得良好的负戴特性和高的效率,自激发生器 所产生的电压波形应当尽可能接近矩形。变换器的高效率特别重要,因为这样就降低了三极管的功率损耗,因而,当三极管的最大 耗散功率一定时,綫路的效率愈高,可以变换的功率也就愈大。

利用具有变压器耦合推挽綫路的自激发生器(以变压器繞組的固有电容工作在B类状态)(图 2),当反饋选择得合适且两臂对称时,可以在自激发生器的輸出端得到对称且实际上是矩形的电压,同时,当正确选择整流器負載时,三极管輸出电极(共基极和共发射极綫路中的集电极)上的损耗极小,因为当集电极上有电压时其电流接近于零,而当集电极电流脉冲通过时集电极电压接近于零.

但是、所研究的这种类型的半导体变换器也具有一系列的缺点,即: 当变换器的負載改变以及供电电压改变时,自激发生器所产生振盪的頻率和波形都要发生改变。 当变换器过载时,振盪被破坏,而变换器停止工作。所产生振盪的波形的改变,对設备的效率和三极管的热状态有不良的影响。 药輸出电压为 1 千伏或更高

的数量級时,这种类型的变换器 不能得到高的效率,因为在这样 的輸出电压下,自激发生器变压 器的副繞組的短数很多,而这个 繞組的固有电容将使得所产生振

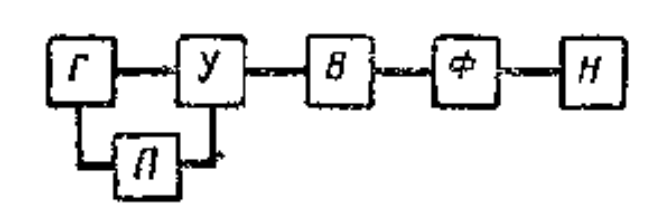


图 3 具有发送损益器的作导 体变换器的方据图

盪的波形接近于正弦的,这就引起設备效率和所供給功率的降低。

其方框图如图 3 所示的变换器是沒有上述缺点較完善的半导体直流变换器。 它与上述綫路不同之处是有一个发送振盪器 I. 其輸出电压是矩形的。这个振盪器控制半导体三极管功率放大器 Y, 其中的三极管工作在接通状态。「在放大器的輸出端矩形电压 破华导体整流器整流、并經过平滑滤波器加到負載 H.L. 发送振盪器和功率放大器由电源 II 供电、电源 II 的电压 就是 所要 变换的。 把产生振盪与其放大和整流的作用分开,可以排除所指出的 其中的缺点,而使变换器处于最佳的工作状态,在这种状态下从三极管取得的功率将大大提高,效率则可达 90—95%。

2. 具有发送振盪器的变换器的主要性能

具有发送振盪器的半导体变换器的原理图示于图 4 中. 功率 · 放大器的輸入变压器 T_p, 可以与发送自激振盪器的变压器合用一个.

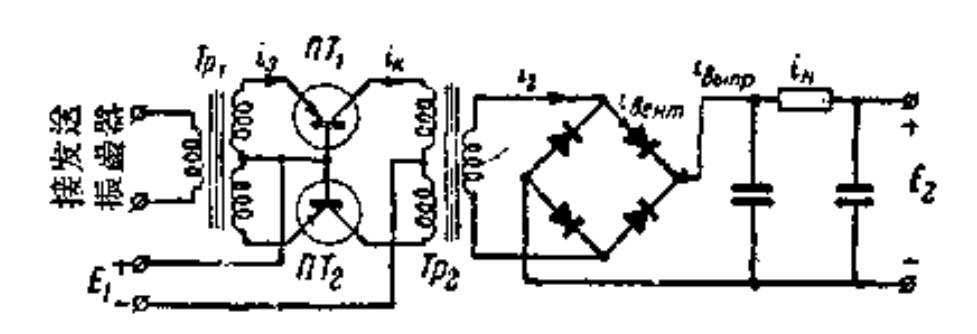


图 4 用发送振盪器控制的半导体变换器原理图

但是,当用一个自激振盪器激发几个变换器时,每一变换器都 有其单独的輸入变压器是合理的。

按推挽綫路工作于B类状态的 功率 放大器的三极管 T₁和 T₂,可以接成共基极、共发射极和共集电极, 共基极綫路要求从发送振盪器取得較大的功率,但可以在高得多的供电电压下工作,且給出畸变較小的矩形振盪. 共发射极綫路要求較小的激发功率, 并可在小的供电电压下工作, 如果共基极綫路功率放大器的增益很小,应用共发射极綫路是极为合适的. 在极小的供电电压下,宜于将功率放大器的三极管接成共集电极綫路, 因为在这种条件下,

共集电极綫路要求最小的激发功率.

当輸入电路中沒有偏压时,功率放大器的三极管工作在B类状态。如果发送振盪器的电压是严格的矩形而且对称的,輸入和

輸出变压器的繞組又沒有漏电感和 电容,其原繞組也沒有足够大的电 威,則在緩路中各点处电流的波形 具有图 5 所示的形状。因为在这些 条件下,整流电流和电压不会有交 流分量,无論变換器工作在純电阻 或者工作在具有电容或电感的滤波 器,放大器和整流管电流的波形和 工作状态都是相同的。

在以上所作的假定($L_s=0$, C=0, $L_1=0$)下,并忽略輸出变压器中的損耗,工作在某一瞬間的三极管輸出电路的等效緩路可以表为图6所示的形式,在其中整流器的滤波器既无电容也无电感,因为

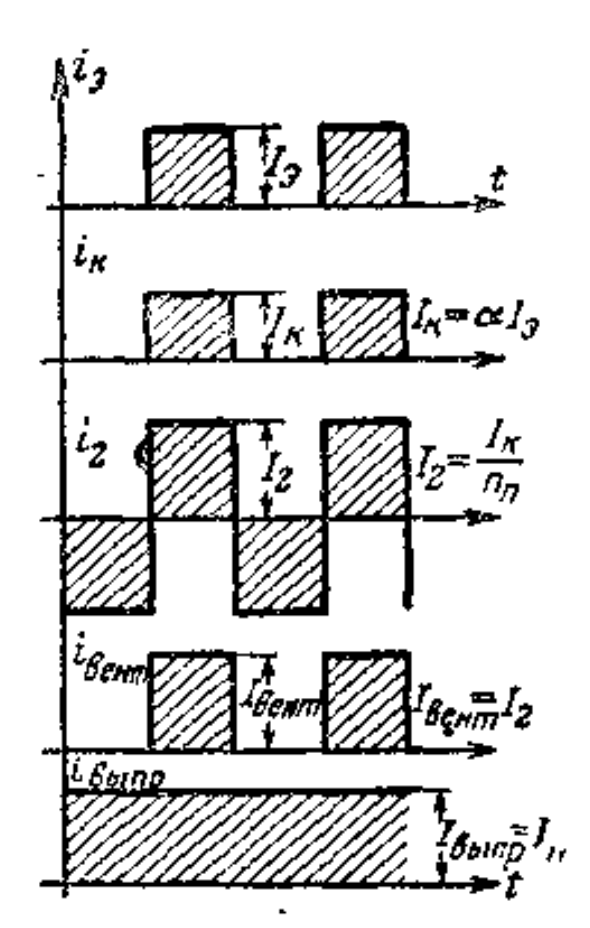


图 5 在具有发送振盪器的变换器 緩路中各点处的电流的波形

在所确定的条件下整流电流不含交流分量。

从图 1 的綫路看出,三极管輸出电路对于交流的負載是电阻之总和 R 等于

$$R = r_{1}\pi + r'_{2} + r'_{B} + r'_{\Phi} + R'_{B}, \qquad (1)$$

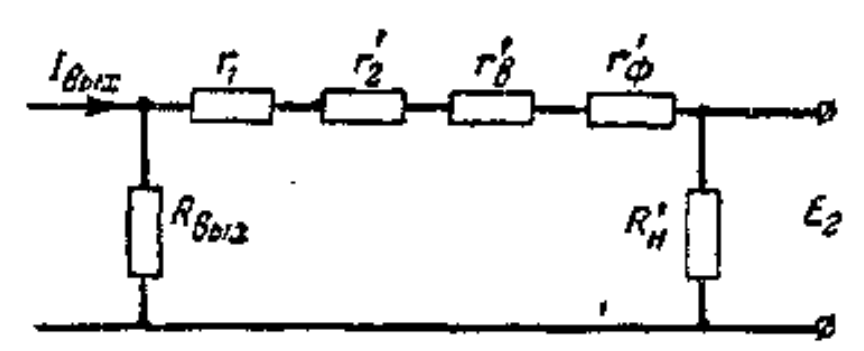


图 6 功率放大器中一个主极管輸出电路的等效緩路

其中 rin 是輸出变压器半个原繞組的电阻;

点 是副繞組的引入电阻;

74 是整流管的引入电阻:

ra' 是滤波器的引入电阻:

Ra' 是負載的引入电阻。

在所研究的綫路中,引入电阻之施用电阻与懒出变压器的变压系数 m 来决定,在图 4 的綫路中 m 等于副繞紐的距数 w 对 中个原繞紐的距数 w m 之比:

$$n_{\rm H} = \frac{r o_2}{w_{\rm H}}; \quad r'_2 = \frac{r_2}{n_{\rm H}^2}; \quad r'_{\rm B} = \frac{r_{\rm B}}{n_{\rm H}^2}; \quad r'_{\rm \Phi} = \frac{r_{\rm \Phi}}{n_{\rm H}^2}; \quad R'_{\rm H} = \frac{R_{\rm H}}{n_{\rm H}^2}.$$
 (2)

当三极管接成例如是其基极綫路时,在坐标系統 in = f(ex)中 对于输出电路的不同負載电阻值,輸出电路的交流动特性曲綫具

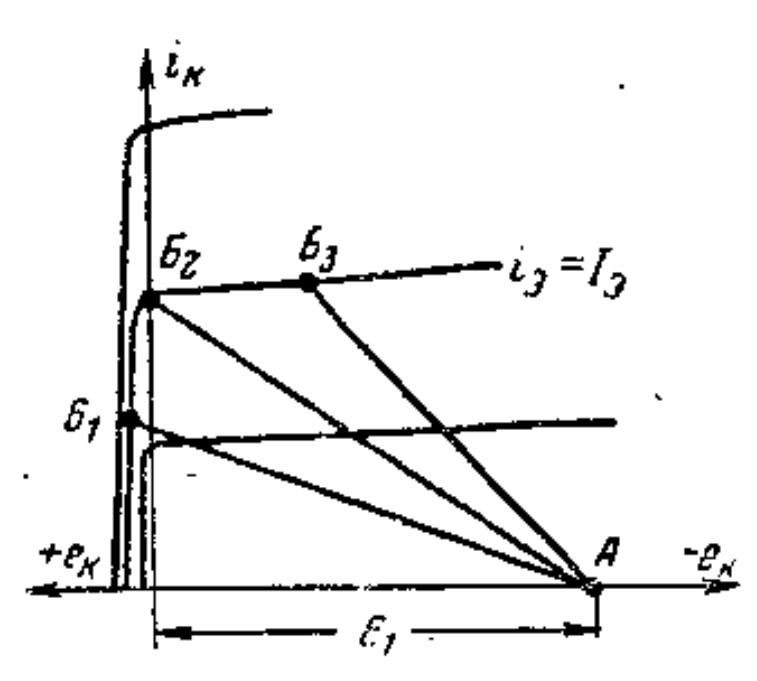


图 7 对于不同的 **致电阻能**,变换器 输出电路的交流动特性曲模

有图 7 中用直綫 AB₁, AB₂, AB₃, AB₃, 所給出的形式。这些直綫的斜角决定于三极管 輸出电路中的交流負載电阻值,因而是随着变换器 負載的改变而改变的。

如果輸出电压的华周 是严格的矩形而且对称 的,工作点从动特性的点 A 到点 B 的过渡过程将于 瞬間完成,而工作点按照

每半个周期位于点 A 和点 B。 在輸入电流的振幅 I_0 (图 7)及輸出电路負載电阻从 ∞ 到临界值(对应于动特性曲綫 AB_2)間的任意值之下,变换器的三极管实际上工作在开关状态,因为在 A 点输出电路的电流等于零,而在点 B 集电极上实际沒有电压。

不难看出,当变换器的负载电阻从无限大改变到对应于动特性曲綫 AB_1 的数值时,特性曲綫靠上的点 B 几乎是沿着三极管对于 $a_0 = I_0$ 的静特性曲綫的陡峭部分向上垂直移动。这时,整流电流差不多是与变换器的负载电阻 R_1 成反比例的、面整流电压几乎不变。

$$R_{\rm B} = R''_{\rm BMX} + r''_{\rm BM} + r_{\rm 2} + r_{\rm 6} + r_{\rm \Phi} \tag{3}$$

其中

$$R''_{\text{BLIX}} = R_{\text{BLIX}} n_{\text{B}}^2; \quad r''_{\text{B}} = r_{\text{M}} n_{\text{B}}^2 \tag{4}$$

的变换器内阻极小,因为三极管的输出电阻 Rnax 对于特性曲綫的 陡峭部分(位于集电极电压为正的范围内)是极小的。当进一步减小变换器负载电阻时,动特性曲綫靠上的点几乎是沿着静特性曲 綫 is = I。的水平部分从点 B。移到点 B。 同时,变换器的内阻变为非常大,而整流电流几乎不变,因为在静特性曲綫的这个区段上三极管的輸出电阻是非常大的。 因此,所研究类型的变换器的负载特性曲綫具有图 8 所示的形式:对于从 0 到 I scano = I o α/n n 的負

裁电流它差不多是水平的,其中 I。 是发射极电路中电流的振幅, α是 共基极綫路中在发射极电流 I。下的 电流放大系数, π 是变换器輸出变 压器的变压系数。 对于大于 I καικο 的負載电流,負載特性曲綫即差不 多是垂直的。

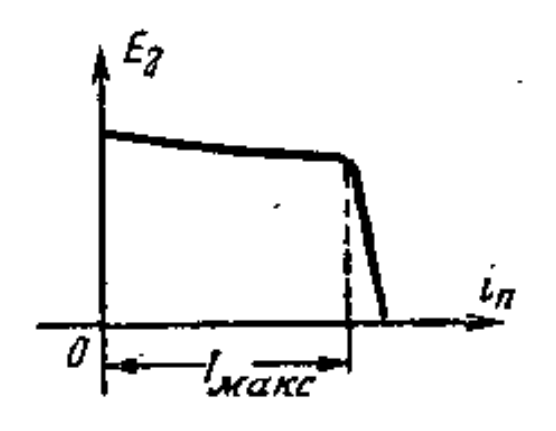


图 8 具有发送振盪器的变换 器的頁載特性亞獎

所研究类型变換器的負載特性

曲綫的轉折处发生在变換器的負載电阻为临界值之时,临界值相 当于图 7 中的动特性曲綫 AB, 在負載电阻等于或大于临界值之 下变換器工作良好, 但临界电阻是最适合的, 因为这时变换器在給 定的激发状态下将給出最大可能的功率, 而功率放大器的三极管 得到最充分的利用。当工作在低于临界值的負載电阻时, 变换器 的效率及它所給出的功率急剧降低, 而耗散在三极管中的功率增 大, 这可能引起三极管的过热而导致损坏.

3. 具有发送振盪器的变换器綫路的計算

具有发送振盪器的变换器的計算,从按照变换器給出的功率 来选择三极管开始,在开关状态下,功率放大器两个三极管所给 出的最大功率决定于:

$$P_{\text{make}} = \alpha I_{\text{9-Make}} E_{,\eta}, \qquad (5)$$

其中 Is-Make 是发射极的最大容許电流;

α是其基极綫路中、在这个发射极电流下的三极管电流放大 系数:

E1 是供电电压:

7是变换器的效率,在供电电压約为几十伏之下它大体上可以款为等于 0.9—0.95。

对于在开关状态下的半导体三极管, Isanew 之值主要是 因在大的发射极电流及发射极电路中所分出的功率下三极管电流放大系数的降下而受到限制。如果輸出变压器作得很好, 在变换状态下的供电电压可以达到所利用的三极管集电极最大容許电压振幅的 0.4—0.5.

例如,对于两个 Π_{3} B 型三极管当发射极电流为 1.25 安(这对应于 $\alpha \approx 0.8$)、供电电压为 22 伏而綫路效率約为 0.9 时,变换器输出端的最大功率为

$P_{\text{Make}} \approx 20 \, \text{\AA}$.

当功率放大器的三极管接成共基极綫路时,輸入电流等于1.25 安,当接成共发射极綫路时即等于1.25(1-α) = 0.25 安. 在 两个情形下必要的輸入电压大約为 0.8 伏,这易于按照 II3B 三极管的輸入特性曲綫求出。所以,在共基极綫路中,从发送振盪器取得的激发功率等于1.25 × 0.8 = 1 瓦,而在共发射极綫路中等于0.25 × 0.8 = 0.2 瓦.

当功率超过几瓦时,变换器輸出变压器的鉄芯最好材料是厚度不超过 0.1 — 0.2 毫米的坡莫合金薄片(或薄带);較差的但价錢便宜得多的材料是厚度相同牌号为 XBII 和 XT 的冷軋鋼片。

如果采用厚度为 0.35 毫米的通常变压器鋼片作为鉄芯,当效率相同时变换器的尺寸和重量都将增大很多。对于小功率的变换器,以及对于发送振盪器的变压器,有时宜于利用比損耗很小的鉄氧体.

变換器輸出变压器的計算是在給定所希望的变压器效率下进行的,效率通常在 0.9一0.96 之間。繞組与鉄芯中的損耗按照已知。的变压器輸出功率及其效率求出; 鉄芯中的損耗宜于取得和两个一 繞組中的損耗相等。原繞組和副繞組中的損耗可以取得相等。

$$w_{1} = \frac{E_{1} 10^{8}}{4 f B_{M} q_{0}}, \qquad (6)$$

决定变压器每半个原繞組的匝数,其中:

 E_1 是变换器的供电电压,以伏表示;

f是頻率,以赫表示;

 $B_{\mathbf{x}}$ 是鉄芯材料中的最大磁感应,以高斯表示;

qe 是鉄芯的淨截面,以厘米²表示.

表达式(6)的分母中沒有波形因数,因为对于矩形的电动势 它等于」。

变压器副繞組的匝数根据必要的整流电压值求得;按照繞組中所容許的損耗及电流強度决定了繞組的电阻,就可以选择导綫的直径,在这个直径下繞組应具有給定的电阻。把繞組安置在鉄芯的窗口內,看一下鉄芯是否选得合适;如果繞組只占据窗口的一小部分,則鉄芯过大;如果繞組在窗口中挤得很滿,則鉄芯过小,

当繞制变換器的輸出变压器时,必須特別注意減少輸出变压器原繞組两半个間的漏电感、因为漏电感会使輸出电压的矩形变坏,以及在輸出电路中引起过电压的現象。为了消除所指出的漏电感建議可以采用如下的办法。原繞組用两根导綫平行来繞,而一根导綫的末端与另一根导綫的起端相連接。結果得到具有中点的原繞組的两半;在小的供电电压(不超过几十代)下只靠导綫的漆包絕緣在正确繞法下也是足够的,繞組固有电容的增大不定作用,因为綫路的負載电阻极小。对于发送振盪器的变压器.用同样

方法繞制也是很适宜的。

在具有发送振盪器的变换器中,三极管中所耗散的功率通常是非常小的、远小于最大容許值。所以,在正确工作状态下三极管的发热是极弱的。例如,在由两个 II 3B 型三极管組成具有輸出功率 20 瓦的变换器中,在满载(临界)、控制电压为矩形且没有剩余的(不可控的)集电极电流之下,当綫路接成共基极时三极管中所耗散的功率等于控制功率、即 1 瓦(参看以上),而每个三极管只有 0.5瓦。因此,在这种类型的变换器中可以采用具有簡单散热器的三极管,而有时完全不需外部散热器。

为了获得控制电压的对称和矩形,变换器的自激发生器綫路 应接成推挽的(例如照图 2 的接法).

自激发生器的变压器的計算,也是在給定鉄芯和繞組中的損耗下,象变換器輸出变压器的計算一样地来进行。一个自激发生器可以用来激发几个变换器,为此其功率当然要相应地增大。自激发生器的頻率主要决定于集电极繞組的电感,选择这个繞組的匝数就可以使頻率达到必要的数值。发射极繞組的匝数根据集电极繞組的匝数,供电电压以及为了获得必需的集电极电流脉冲必须加到发射极电路的电压来决定。

按照上面所述緩路构成的变換器,在工作中表現了良好的稳定性,且实际与算出的特性极为符合。例如,在供电电压 22 伏下的具有两个 Π3B型三极管的变换器,当輸出电压为 250 伏时給出功率 20 瓦,效率等于 92%;而算出的效率为 93%。

半导体器件的电压稳定器

Б. Н. 康农諾夫 (Кононов)

引

和电子管相比,半导体器件的主要优点之一是其經济性。半导体二极管和三极管沒有加热的阴极,因此,在半导体綫路中完全沒有用以加热的能量損耗,而在电子管綫路中这部分損耗約占总損耗中的一半。半导体三极管所需的供电电压很低,且能在非常小的电流下工作,这就使得,在創制一些目前还远远沒有被充分利用的經济綫路方面开辟了广泛的可能性。由于半导体器件的这一优点,可以将具有自备供电源的携带設备的結构大大簡化,以及使复杂的固定电子設备如計算机的尺寸縮小。如果供电源具有很高的效率,这种可能性就可以实現。

目前,工业上已生产出合金强力二极管 Д7А—Д7Ж (ДГ-Ц21—ДГ-Ц27),它們可以有成效地用在整流电流为 100—300 毫安的整流器中。但是在許多情形下,整流电压的不稳定度及交流声,以及整流器的輸出电阻值在某些綫路中可以大到不能容許的程度。在这种情形下,电压的稳定是必要的。采用电压的稳定可以使綫路的可靠性提高,并便于工作和簡化計算。

已經談到, 低的供电电压(1.5-20 伏) 是半导体綫路的特点。同时, 目前在大多数綫路中, 电流的消耗是和同样的电子管綫路中的消耗差不多的; 而且, 如果必須在負載中給出一定的功率, 則还可以大得多. 因此, 半导体綫路供电綫間的电阻可以比同样的电子管綫路的电阻小儿干或几百倍。由于这种情况, 对供电源的输出电阻就提出了更高的要求, 这也強調指出了稳定的必要性.

低压电子管稳压器是十分不經济的。所以,自然有必要制作 半导体器件的稳定电源。半导体三极管在这方面的应用还沒有获 得足够的发展,虽然如此,象其他情形一样,半导体器件的新性能 在这方面也开辟了广泛的可能性。

巴有的稳定器可以分成两种类型:

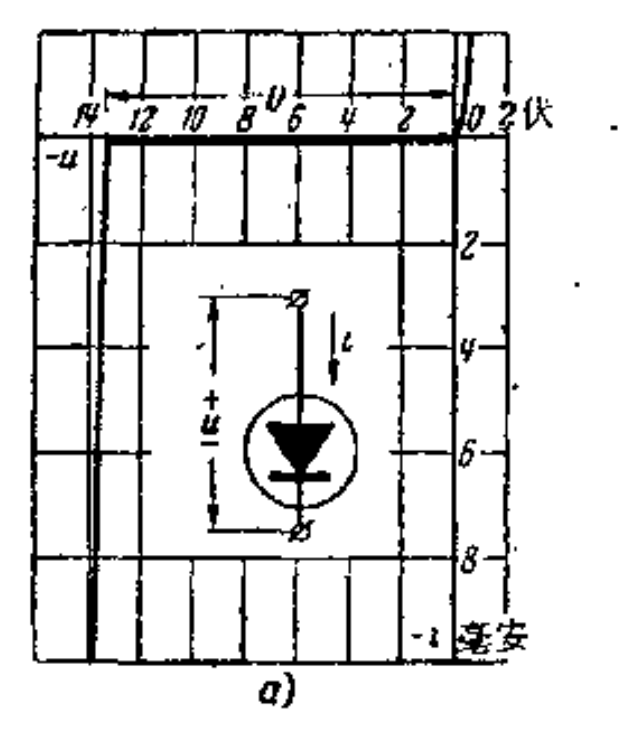
- 1.参数稳定器。`
- 2. 具有反饋的稳定器。

参数稳定器利用了某些特殊元件的伏安特性曲綫的非 綫性, 已經有一系列这种元件和它們的連接綫路(鎮流管、桥形綫路中的 白熾灯),但在电子管电子学中用得最广泛的是充气稳压管。充气 稳压管的伏安特性曲綫具有这样一个区段,在其中管上的电压与 流过管中的电流沒有多大关系;这个区段就可作稳压之用。

随着面結合型半导体器件的出現,已經制成了其伏安特性曲 綫宜于作稳压之用的新元件——工作在击穿区的 硅 合金 二 极管 [文献 1,2].

1. 硅二极管电压稳定器

图1所示是国产(苏联)硅稳压管某一样品的实验伏安特性曲 綫,在負电压之下,二极管中流过很小的鲍和电流——二极管封



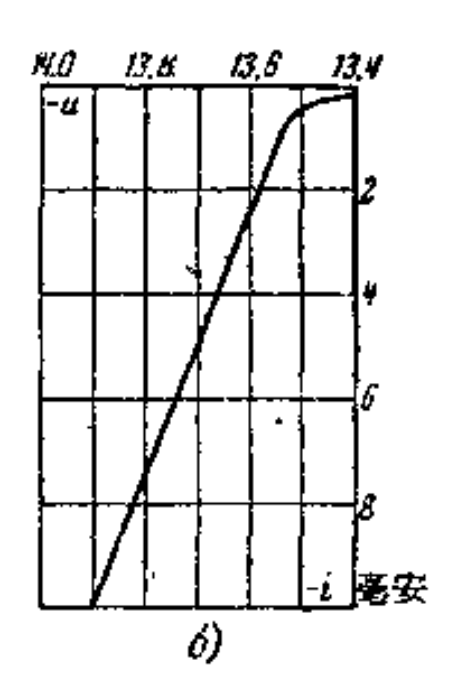


图 1 a----硅二极管的实验代安特性曲綫: 6-----标尺放大了的击穿区段

一鎖,但当进一步增大負电压时,从某一电压值U开始反向电流急 剧增长——开始击穿。这个現象是可逆的和可重复的,且不是因 器件的完整性遭到破坏所引起的,而是和少数截流者的雪崩式累

积有关的,在这种情形下结中电流 将急剧增长。这种性能在硅器件中 表現得最为明显,因而将硅二极管 作为稳压之用。

二极管作为电压稳定器的連接 綫路与充气稳压管的連接綫路沒有 区别(图 2).

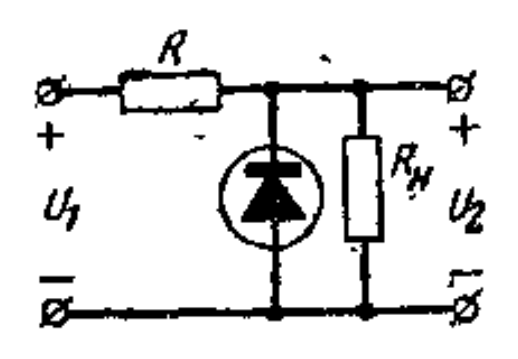


图 2 硅二极管电压稳定器

当輸入电压改变时,稳压器的輸出电压的恆定程度用稳定系数来表征:

$$K = \frac{dU_1/U_1}{dU_2/U_2} = \frac{U_2}{U_1} \frac{dU_1}{dU_2} \Big|_{R_H = \frac{R}{2}},$$
 (1)

其中 U₁ 和 U₂ 为輸入和輸出电压;

Ru 为負載电阻、

当負載电流 I 改变时,輸出电压的稳定程度用稳压器的輸出(内部的)电阻来表征:

$$R_{\text{BMX}} = -\frac{dU_2}{dI} \Big|_{U_1 = \# \underline{W}}. \tag{2}$$

硅二极管稳压器(图 2)的这些参数,以及采用稳压器的綫路 参数决定于下列公式:

$$K = \frac{U \cdot R}{U_1} \cdot \frac{R}{r_i}, \qquad (3)$$

$$R_{\text{BMX}} = r_i, \tag{4}$$

其中U为稳定电压;

 r_i 为二极管在工作区域内的电阻,而且 $r_i \ll R, r_i \ll R_{H}$.

下面引出了充气稳压管和硅二极管电压稳定器的参数比較表:

| · 参 | 数 | 光气稳压管 | 硅 稳 压 器 (按照美国刊 物上的数据) |
|--------------------|---|-------------------|--------------------------------|
| 电压变化范围,伏 电流变化范围 | | 70—160 5—40 豪安 | 5—1000 1 微安— ¹ 安 |
| ri,欧 | | 100—200 | 1—250 |
| 电压的温度系数,%/℃ | | 0.0020.04 | 0.01—0.07 |

其特性曲綫如图 1 所示的二极管实驗样品具有稳定电压 U = 13.5 伏,內阻 $r_i = 39$ 欧及温度系数 +0.08%/ \mathbb{C} .

比較这些数据可以指出,硅二极管作为电压稳定器在所有参数方面都胜过充气稳压管。此外,硅二极管的特性曲綫沒有負电阻的区段,这一点是充气稳压管經常发生自激的原因。

应当指出,为低电压(約为 5—10 伏)設計的二极管具有較小的力和电压温度系数值,也就是具有比高压二极管较好的性能.至于温度系数可以和干电池比較一下,干电池电动势的温度系数大约是 0.02%/℃.

2. 具有反饋的半导体稳定器

要想在其所有优点下应用参数稳定器不总是可能的。参数稳定器的輸出电压不能均匀調节;对于具体綫路的供电,其稳定系数、輸出电阻、工作电流和电压也不总是适合的。在这种情况下就利用具有反饋的电压稳定器。

具有反饋的稳定器是包含下列元件的設备:标准元件,多年是恆定的支持电压源;比較元件,将輸出电压和支持电压相比較,是一不平衡放大器(反饋放大器);調整元件,用不平衡放大器的輸出信号来控制,并将輸出信号与其起因間的依从关系縮減到最小程度.

可以利用干电池或参数稳定器(例如上面所研究的二极管稳定器)作为支持电压源,利用参数稳定器是更常遇到的情形。

按照調整元件的連接方式,分为具有串联調整元件的綫路(串

联稳定器)和具有与負載

華联的調整元件的

核路(

持联稳定器)。在

在串联的情形下,电压的变化

加到串联的平衡电阻上。串联稳定器,尤其是采用

非导体三极管的串联稳定器的特点是效率高,因为

作为調整元件三极管可以在非常小的压降下工作。

采用發射極跟隨器的电压穩定器 在最簡单的情形下,放大 与調整元件的作用可用一个三极管来完成,这种稳定器的綫路是 以发射极跟随器为基础的(图3)[文献3,4].

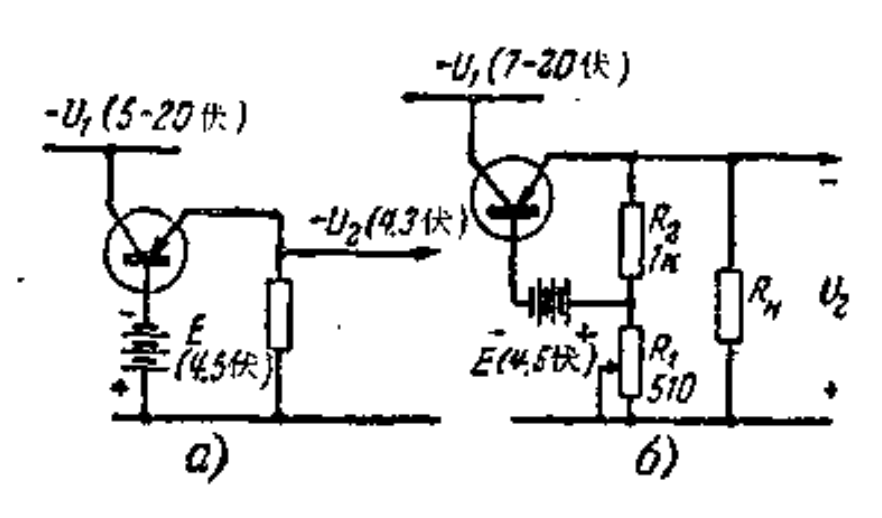


图 3 根据发射极跟随器的电压稳定器

在图 3,a 的綫路中,輸出电压 U_2 接近于标准电压 E_1 因为基极与发射极間的电位差很小,且不大随負載电流和輸出电压 U_2 的改变而改变。因为整流器的內阻通常很小,故稳定器的輸出电阻是从发射极方面看进去的綫路的 L_{11} :

$$R_{\text{Balx}} = h_{11} = r_0 + r_0(1 - \alpha).$$

图 3,a 綫路的負載特性示于图 4 中。这种最簡单稳定器的輸出电阻很小,約为 10-11 欧。可以和阴极跟随器比較一下,通常阴极跟随器的輸出电阻 $R_{\rm REX}=1/S$ 不小于 100-200 欧。

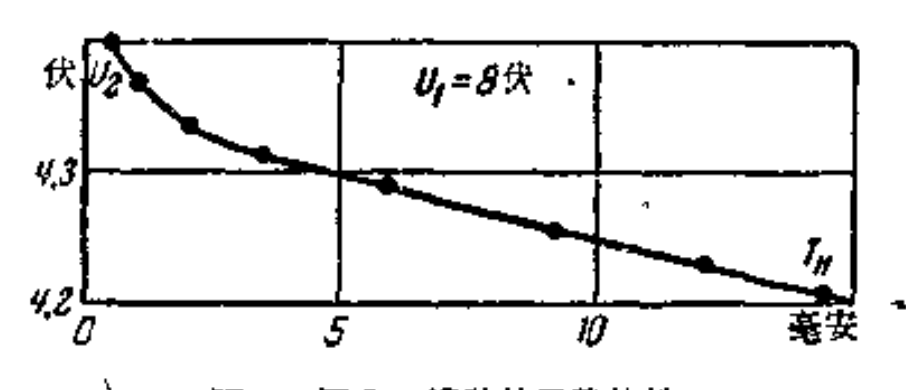


图 4 图 3,a 綫路的資獻特性

利用三极管的等效綫路容易算出图 3,a 綫路的稳定系数。它、近似等于

$$K = \frac{U_2}{U_1} \frac{1}{h_{12}} = \frac{U_2}{U_1} \frac{r_{R}}{r_6}.$$

在这个綫路中,K 随着負載电流和电压 U_1 从 400 变化到 800.

当利用具有大 rε 的三极管时, K之值可达几千。 我們知道, 空載时电子管跟随器的稳定系数等于 μ, 即不超过几十。

因此,最簡单的半导体三极管稳定器按其参数說来比最簡单 的电子管稳定器好得多。

在图 3,6 的**线**路中,可以預見到,电压的調节是遵守下列規律的:

$$U_2 = E\left(1 + \frac{R_1}{R_2}\right). \tag{5}$$

这个綫路的稳定系数和輸出电阻要比上面的情形坏一些,因为在基极电路中接入了分压器的电阻。具体說来,在这个綫路中得到K = 100-200, $R_{\rm BLIX} = 50-60$ 欧.

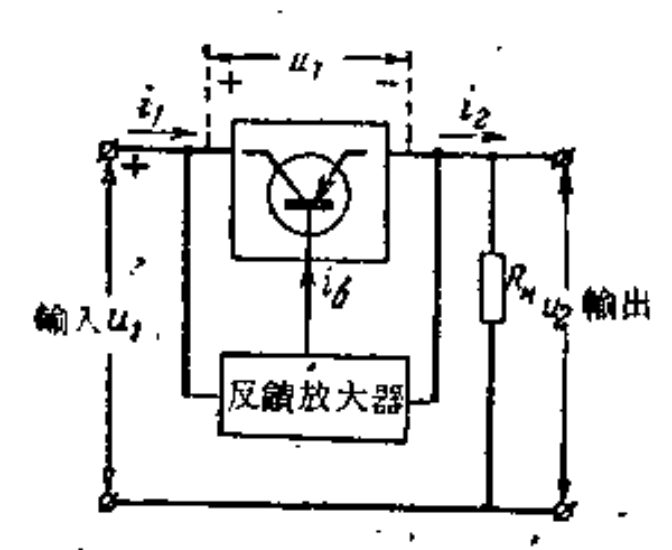


图 5 具有反饋的卑联稳定器的方框图 故可以訊为 $i_1 \approx i_2 = i_1$

串联穩定器的一般分析 引入放大器可以进一步改进稳 定器的质量。

現在对串联稳定器进行一般的分析[文献 4], 串联稳定器的方框图如图 5 所示。

在这个情形下,調节元件 是用基极电流 is 控制的面結合 型三极管。因为 is 《 is ≈ is,

我們来引出調节元件的方程式. 大家知道,对于小信号*

$$i_{\rm R} = \alpha i_{\rm S} + \frac{u_{\rm K,S}}{r_{\rm R}}$$

^{*} 在这里及以下,用小写字母来标記各电量的小增量。

进行置换 10 = 1x + 16, 我們有:

$$i_{\rm E} = \frac{\alpha}{1-\alpha}i_{\rm S} + \frac{u_{\rm E},6}{r_{\rm E}(1-\alpha)}.$$

引用 $\beta = \alpha/(1-\alpha)$ (共发射极綫路中三极管的电流放大系数), 并进行置换 $u_{K,6} \approx u_{K,6} = u_{T}$ 和 $i_{K} \approx i$, 我們得到:

$$u_{\tau} = (i - \beta i_6) R_i, \tag{6}$$

其中 we 为三极管上的电压;

;为流过三极管的电流;

$$R_r = r_K(1 - \alpha) = \frac{r_K}{\beta + 1}$$
为三极管的内阻。

半导体三极管能够在很小的压降下工作,是它作为调节元件的优点。即令当 ue,s ≈ 0.5 伏时,三极管仍能很好工作,而电子管则要求阳极电压约为 100 伏。

可控的基极电流是放大器的輸出电流。在一般情形下,它可以既与輸出电压有关,也与輸入电压有关;

$$i_6 = S_2 u_2 + S_1 u_1$$

其中 S_2 和 S_1 为放大器对輸出和輸入电压而言的跨导。

不难看出:

$$u_1 = u_1 + u_2,$$

$$i = \frac{u_2}{R_H}.$$

将最后三个表达式代入三极管的方程式(6)中,我們有:

$$u_1 - u_2 = \left[\frac{u_2}{R_H} - \beta (S_1 u_1 + S_2 u_2) \right] R_i.$$
 (7)

由此就容易得出稳定系数。

$$K = \frac{u_1}{u_2} = \frac{1 + \frac{R_i}{R_H} - \beta S_2 R_i}{1 + \beta S_1 R_i}.$$
 (8).

* 因为稳定器的調整半导体三极管上的压降很小,故 $u_1\approx u_2$,而从公式(1)得出 $K=\frac{dU_1}{dU_2}=\frac{u_1}{u_2}$.

以 $u_1 = 0$ (輸入电压不变)代入式(7), 对进行**監換** $u_2/R_2 = i$ 就可以得出輸出电阻:

$$-u_1=iR_i-\beta S_2u_2R_i,$$

从而有

$$R_{\text{BMX}} = -\frac{u_2}{i} = \frac{R_i}{1 - \beta S_2 R_i}. \tag{9}$$

我們来分析一下得到的公式、設 $S_1 = 0$ ——沒有正向耦合 ij . 于是

$$K = 1 + R_i / R_H - \beta S_2 R_i. \tag{10}$$

这个公式的前两項是三极管作为参数稳定器的稳定系数;最后一項考虑了反饋,当 $\beta S_2 < 0$ 就是負反饋、調整三极管的 β ,其内阻及反饋放大器的跨导愈大,稳定系数就愈大。如果有正向耦合,即 $S \neq 0$,則会影响到稳定度。当 $\beta S_1 > 0$,正向耦合使稳定度。如果这时 $\beta S_1 R_2 \gg 1$,則稳定系数急剧降落到数值

$$K = -\frac{S_2}{S_1} \tag{11}$$

但是,也可以利用正向耦合来使 K 增大、为此,从式(8)看出, β S₁R, 应是負的并接近等于 1.

至于輸出电阻,則通常 $|\beta S_2 R_i| \gg 1$, 而公式簡化为

$$R_{\rm BMX} \approx \frac{1}{-\beta S_2}$$

即β和跨导S₂愈大, Raux愈小、

具有反饋放大器的串联穩定器綫路。图 6 所示是具有单級放大器的稳定器綫路。容易相信,在这里相位关系应該是使得成为 負反饋。在这个綫路中,反饋放大器的跨导决定于下列表达式:

$$S_{2} = -\beta_{ye} \frac{i_{6,ye}}{u_{2}} = -\frac{\beta_{ye}}{R_{1} \cdot 1 \cdot \left(1 + \frac{R_{1}}{R_{2}}\right) R_{yx,ye}}$$
(12)

¹⁾与反饋的意义正好相反(反饋是反向耦合),但不是正反饋——譯者注。

(下标 yc 表示是属于放大三极管的参数).

于是, 要获得良好的結果, 分压器的电阻应当是足够小的, 而,

放大三极管的 β 应 当 很大。 自 然,分压器电阻减小的极限由綫 路的經济性所确定。有必要強調 指出,与电子管稳定器的綫路不 同,分压器的电阻在这里是有很 大关系的。

当利用图 6 的綫路时,要保 証三极管工作的正确状态是会有 困难的。在正常情况下,电流既

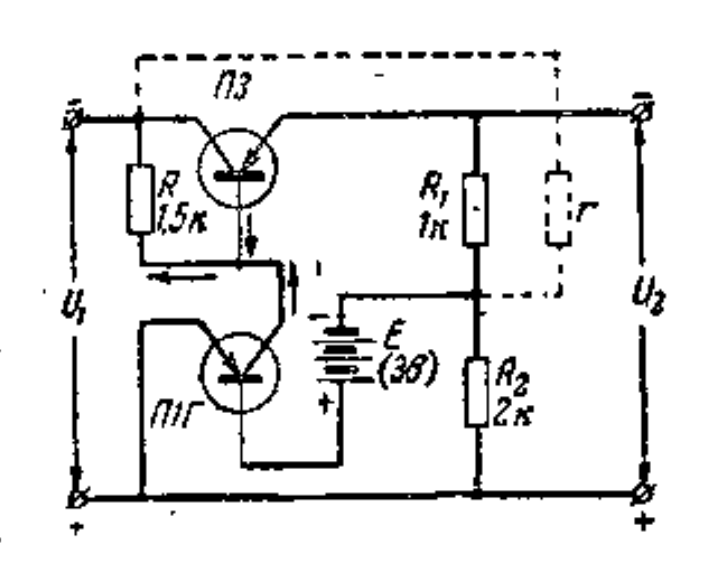


图 6 具有单級反饋放大器的穩定器

从調整三极管的基极流出,也从放大三极管的集电极流出. 如果利用与 U_1 无关的电源来选定这个合成电流,则所得结果非常良好. 例如,在具有给定参数($\beta_{per}=20$, $\beta_{ye}=40$, $R_{/per}=5$ 千欧)¹³的綫路中得到 K=2000 和 $R_{BEIX}=2.2$ 欧,这与根据公式(9)、(10)和(12)所得结果极为符合.

如果調整三級管入端和放大三极管出端的偏压是象图 6 所示那样来实现的,则 R_{BMX} 仍然大致不变,而 K 会急剧降落。这是由于,在这种情况下发生了强烈的不稳定的正向耦合。因为輸出电压沒有什么改变,而調整三极管的 $u_{0,0}$ 很小,故 $S_{1} \approx 1/R$. 于是按照式 (11) 和 (12),在这个綫路中得到:

$$K = -\frac{S_2}{S_1} = \frac{\beta_{yc}R}{R_1 + \left(1 + \frac{R_1}{R_2}\right)R_{xx,yc}},$$

当 $R_{\text{nx,ye}} = 700$ 欧时給出 K = 29 (在这个情形下实际上得到 K = 33).

可以用下述方法来增大化。

1. 用稳定系数比较低的耐加稳定器向放大三极管供电.

¹⁾ 下标 per 表示調整——壽者往.

2. 引进正向耦合的补偿,如图 6 中虛緩 所示。其目的在于补偿正向耦合的不稳定作用。 为此,大致說来,必須使 $S_{1,1007}=S_{1,1004}$,即 $r/\beta_{ye}=R$.

在实际上,补偿正向耦合的电阻值必須由实驗來确定.图7 所示是在不同的补偿程度下稳定器的特性.从曲綫看出,当r小 时綫路中要发生过度补偿的現象.

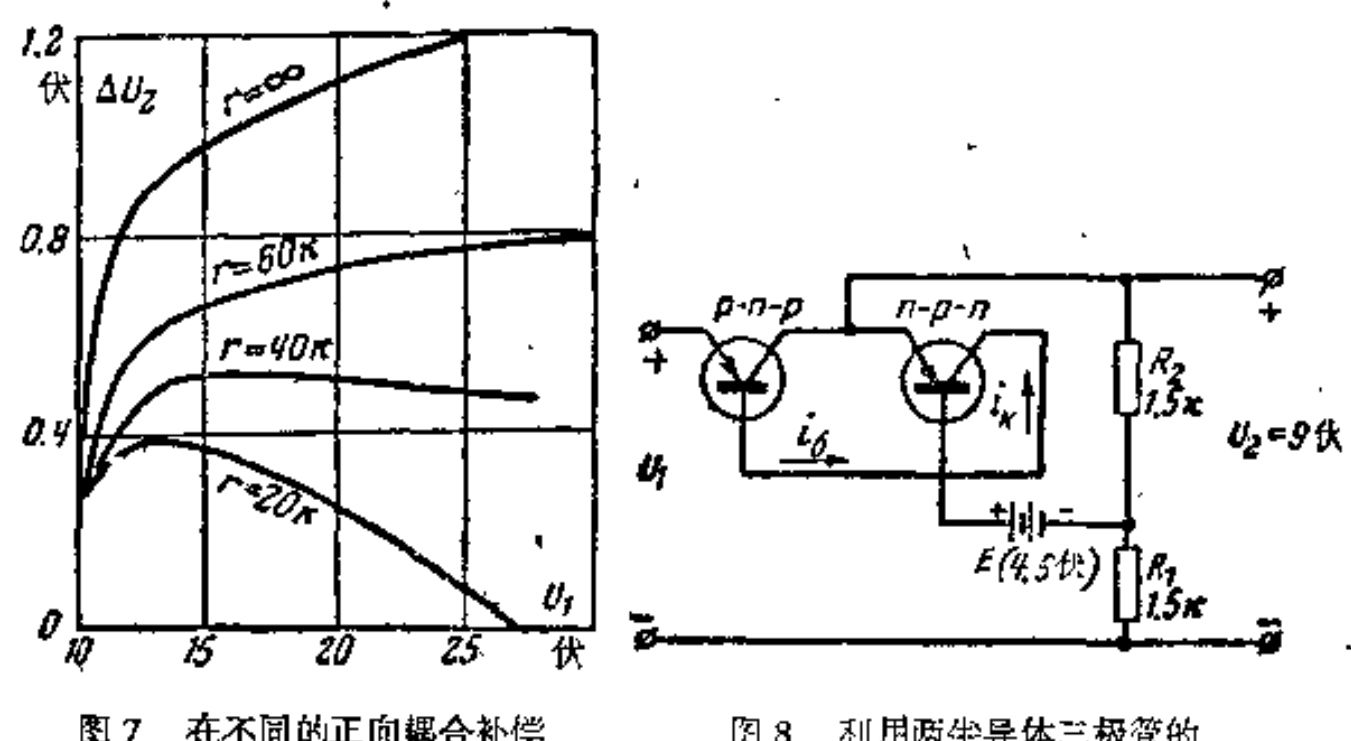


图 7 在不同的正向耦合补偿 电阻 * 下图 6 機路的特性

图 8 利用两半导体三极管的 对称性的稳定器

当采用不同类型的三极管时,非常容易获得符合我們需要的状态。图 8 所示是文献 1 中所述某一变形的 6 路,在其中利用 p-n-p 型作为調整三极管,n-p-n 型作为放大三极管.在这个 6 路中,集电极电流流入放大三极管中,而基极电流从调整三极管中流出。所以,在这个 6 路中不需要任何附加元件来产生偏压。实际上,当利用 n-p-n 型三极管的实验样品时,在具有所指出参数的 6 路中曾經得到 K=700 和 Rmix = 3. 欧.

和图 6 的綫路一样,在图 8 的綫路中可以按照方程式(5)来改变 R_1 或 R_2 以获得輸出电压的調整.

在图 8 的綫路中,虽然表面上看不出来,还是有不稳定的正向 耦合存在的。輸入电压的变化加在放大三极管的集电极一发射极

¹⁾ 下标 geer 表示不稳定, комп 表示补偿 -譯者注。

之間,因而,在这里 $S_1 \approx 1/R_{iye}$.这个值通常很小,但是,如果有必要的話,在这个綫路中也可以引进正向耦合的补偿。应当指出,利用两半导体三极管的对称性,一般說來,使得制作多級直流放大器,其中也包含稳定器要容易得多。

輸出电压的温度穩定度 我們知道,三极管的主要参数—— 起始集电极电流 In 与温度有极密切的关系。

但是,如果估計輸出电压因 I_{K0} 变化引起的温度系数,就会发現,其值远小于实驗值.在这些綫路中輸出电压温度漂移的主要原因是放大三极管发射結上电压的改变,因为考虑了这个电压调整的特性(5)应当写成如下形式:

$$U_2 = (E + u_6)_0 (1 + \frac{R_1}{R_2})_0$$

温度每升高一度时,u6.0 之值約減小 2 毫伏。要补偿这个效应,例如,自然可以串联接入一变化相反的 p-n 結,这 p-n 結是在正向加以偏压,如图 9 所示。这时温度漂移急剧減小,如图 10 中所說明的情况。沒有补偿时輸出电压的温度系数等于 3.8 毫伏/ \mathbb{C} ,即 $9.086\%/\mathbb{C}$,而有补偿时在 $20-40\mathbb{C}$ 的区間內为 0.8 毫伏/ \mathbb{C} ,即 $0.02\%/\mathbb{C}$. 后一数值是能与支持电池的温度漂移相比拟的.

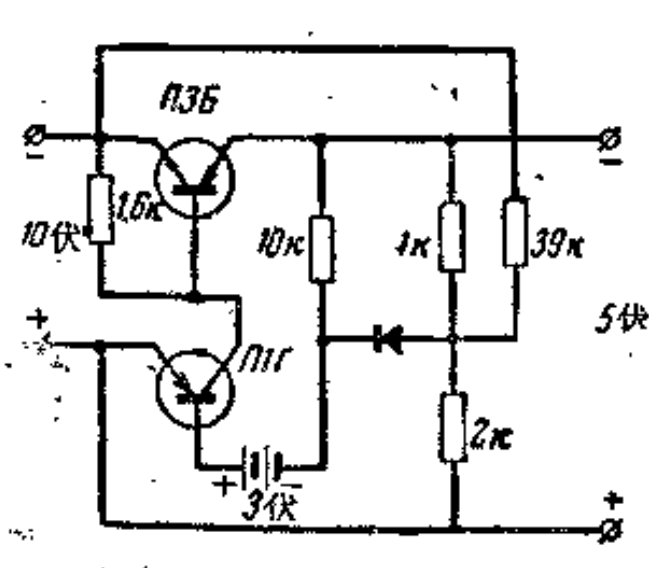


图 9 具有溫度补偿的穩定器

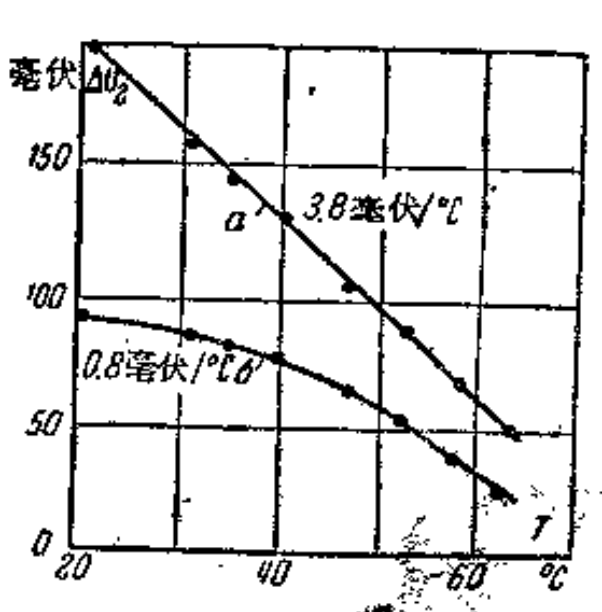


图 10 图 9 經路中輸出电压的溫度憑律 a---沒有溫度补偿(将二极管短路);

-有溫度补偿

要实現有效的补偿,补偿二极管中必须有足够大的正向电流流过

在美国文献中,建議在稳定器綫路中采用經过特殊选择的热敏电阻来获得温度补偿,上面所述"自然"补偿的方法,显然优于利用热敏电阻的补偿方法。

、 应当指出,在高温下 J_{*0} 对輸出电压的影响可能还是相当可 观的。

結 論

使用目前生产的半导体三极管可以制造經济的电压 稳 定器, 其稳定系数从几百到几千,輸出电阻从几十欧到几十分之一欧或 更小。 负载电流决定于调整三极管的功率及 β 与电流的 依 从 关 系。实际上用 Π1 型三极管电流可达 10—20 毫安, 用 П3 型可达 100 毫安, 而用 П4 型則約为 1 安。

可以稳定的最大电压则与集电极的容許电压和輸入电压容許的不稳定度有关。

对調整三极管的主要要求是:高β和高 rs. 放大三极管应当 具有尽可能大的β和rs,和尽可能小的 Iso,以及在許多情形下尽可能小的 r6.

利用 n-p-n 和 p-n-p 型三极管的組合,容易使状态符合要求。

参考文献

[1] Chase F. H. and oth., BSIJ, 1954, XXXIII, 4, 827-858.

Smith D. H., Electrical Engineering, 1955, 1, 43.

nger R. H. and oth., Comm. and Electronics, 1956, 23, 15-17.

жы раза Б. И., Гіриборостроевие, 1956, 110, 9—12.

[General Information] 书名=半导体电子学 作者= 页数=286 SS号=10171601 出版日期= 封书版前目正面名权言录文